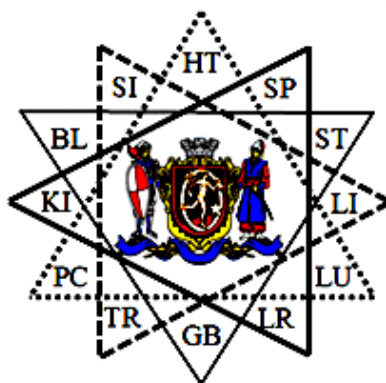


МАКАЦ В.Г.  
МАКАЦ С.Ф.  
МАКАЦ Д.В.  
МАКАЦ Д.В.

MAKATS V.G.  
MAKATS E.F.  
MAKATS D.V.  
MAKATS D.V.

ОСНОВЫ ФУНКЦИОНАЛЬНОЙ ВЕГЕТОЛОГИИ  
(НЕИЗВЕСТНАЯ КИТАЙСКАЯ ИГЛОТЕРАПИЯ)  
ТОМ V

BASES OF FUNCTIONAL VEGETOLOGY  
(UNKNOWN CHINESE ACUPUNCTURE)  
VOLUME V



ЕВРОПЕЙСКИЙ ЦЕНТР ПОСЛЕДИПЛОМНОГО  
ОБРАЗОВАНИЯ ВРАЧЕЙ УКРАИНСКОЙ  
НАЦИОНАЛЬНОЙ АКАДЕМИИ ЕСТЕСТВОЗНАНИЯ  
\*

EUROPEAN CENTER FOR POSTGRADUATE  
EDUCATION OF DOCTORS OF THE UKRAINIAN  
NATIONAL ACADEMY OF NATURAL SCIENCES  
\*

ВИННИЦКИЙ ФИЛИАЛ ГОСУДАРСТВЕННОГО  
ПРЕДПРИЯТИЯ УКРАИНСКИЙ НИИ МЕДИЦИНЫ  
ТРАНСПОРТА МОЗ УКРАИНЫ

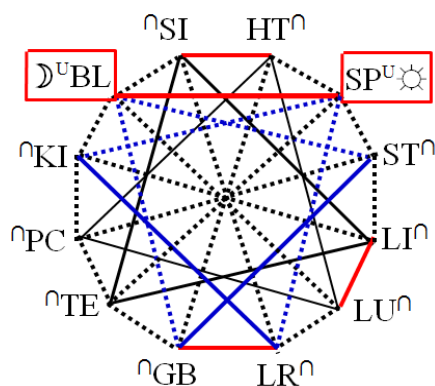
VINNYTSIA BRANCH  
OF THE STATE ENTERPRISE UKRAINIAN SRI OF  
TRANSPORT MEDICINE MH OF UKRAINE

В.Г. МАКАЦ  
Є.Ф. МАКАЦ  
Д.Д. МАКАЦ  
Д.Д. МАКАЦ

V.G. MAKATS  
E.F. MAKATS  
D.D. MAKATS  
D.D. MAKATS



ОСНОВЫ ФУНКЦИОНАЛЬНОЙ ВЕГЕТОЛОГИИ  
ТОМ V  
BASES OF FUNCTIONAL VEGETOLOGY  
(UNKNOWN CHINESE ACUPUNCTURE)  
VOLUME V



УКРАИНА – ВИННИЦА – 2018  
UKRAINE – VINNYTSIA – 2018

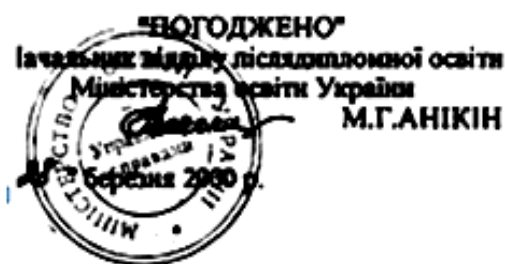
УДК: 615.83:615.89

М 94

Авторы:  
В.Г.Макац, Е.Ф. Макац, Д.Д. Макац,  
Д.Д. Макац.

*Перевод на английский: ЯН ПЕТИНОВ*  
*Перевод на русский: ЯН ПЕТИНОВ*

Рекомендована как учебное пособие для медицинских ВУЗ-ов и колледжей на основе открытой в Украине неизвестной ранее "Функционально-вегетативной системы человека" и выводов научных семинаров, проведенных по поручению Департамента науки и технологий Министерства науки и образования Украины (№13 / 5 100 от 11.12.2000).



М94 Основы функциональной вегетологии (Неизвестная китайская иглотерапия). Том 5.- Винница Издательство "Научная инициатива" Редакция Нилан ЛТД, 2018, - 152 С.

ISBN 978-617-7706-69-3

В монографии приведены базовые положения нового научно-практического направления. В его основе лежит идентификация биофизической реальности "акупунктурных каналов" и их непосредственного отношения к вегетативному гомеостазу. Рассмотрены реальные механизмы функционально-вегетативного патогенеза. Разработанное направление трансформирует гипотетические положения Восточной терапевтической философии в современную доказательную медицину и требует своего места в системной физиологии. Книга адресована научным работникам, студентам медицинских учебных заведений и врачам общей практики, заинтересованным в современных реабилитационных технологиях ...

*Авторские права защищены современным международным законодательством. Никакая часть монографии не может быть воспроизведена без письменного согласия авторов. Нарушение авторских прав будет преследоваться в судебном порядке.*

*Наследственные права на интеллектуальную собственность принадлежат Макац Алексею Дмитриевичу и Макац Дарье Денисовне.*

Authors:  
V.G. Makats, E.F. Makats, D.D. Makats,  
D.D. Makats

*Translation into English: IAN PETINOV*  
*Translation into Russian: IAN PETINOV*

The textbook is recommended as the main book for medical colleges and higher educational institutions on the basis of the conclusions of seminars that were conducted according to the order of the Department of science and technologies of the Ministry of science and education of Ukraine (№13/5-100, 11.12.2000).



М94 Bases of functional vegetology (unknown chinese acupuncture). Vol.5 - Vinnytsia: "Naukova Initsiatyva", Editorial office "Nilan Ltd.", 2018. - 152 P.

ISBN 978-617-7706-69-3

The monograph contains the basic provisions of the new scientific and practical direction. It is based on the identification of the biophysical reality of "acupuncture channels" and their direct relation to the vegetative homeostasis. The real mechanisms of functional-vegetative pathogenesis are considered. The developed direction transforms the hypothetical positions of the Eastern Therapeutic Philosophy into modern evidentiary medicine and requires its place in system physiology. The book is addressed to scholars, students of medical schools and general practitioners who are interested in modern rehabilitation technologies ...

*All rights reserved. The authorship is protected by the international law. None of the parts of the book can be copied without the written approval of the authors. Violation of the rights of the authors will be persecuted according to the law.*

*Legal successors of intellectual property are: Makats Oleksij Dmytrovych and Makats Daryna Denysivna.*

© V. Makats, E. Makats, D. Makats, D. Makats 2018

*ПОЗНАЙ ИСТИНУ И ОНА СДЕЛАЕТ ТЕБЯ СВОБОДНЫМ ...*  
*ЭККЛЕЗИАСТ*  
*KNOW THE TRUTH AND IT WILL SET YOU FREE...*  
*ECCLESIASTES*

**ПРИОРИТЕТ ОТКРЫТИЯ ФУНКЦИОНАЛЬНО-ВЕГЕТАТИВНОЙ СИСТЕМЫ ЧЕЛОВЕКА ПРИНАДЛЕЖИТ НАРОДУ УКРАИНЫ !**

**THE PRIORITY OF THE DISCOVERY OF THE HUMAN FUNCTIONAL-VEGETATIVE SYSTEM BELONGS TO THE UKRAINIAN NATION.**

Диплом на открытие НВ №18 от 07.11.2000р.  
"ФУНКЦИОНАЛЬНО-ЭНЕРГЕТИЧЕСКАЯ СИСТЕМА  
БИОЛОГИЧЕСКИХ ОБЪЕКТОВ (Эффекты В.Г.Макаца)"

Discovery diploma НВ №18 07.11.2000  
"FUNCTIONAL-POWER SYSTEM OF BIOLOGICAL  
OBJECTS (EFFECTS OF V. MAKATS)"



**АВТОРСКИЙ  
КОЛЛЕКТИВ**

**AUTHORS**



Макац В.  
Makats V.



Макац Е.  
Makats E.



Макац Дм.  
Makats Dm.



Макац Ден.  
Makats Den.



АББРЕВИАТУРА И ЗНАЧЕНИЕ	ANALOGUES, TERMS AND ABBREVIATIONS
1. <b>АК</b> – Традиционные акупунктурные каналы	1. <b>AC</b> – traditional acupuncture channels
2. <b>ФВС</b> – Функционально-вегетативная система человека ( <i>современная терминология</i> )	2. <b>FVS</b> – Human functional-vegetative system ( <i>contemporary terminology</i> )
3. <b>ФАЗ</b> – Функционально-активные зоны	3. <b>FAZ</b> – Functionally-active zones
4. <b>ФВГ</b> – Функционально-вегетативный гомеостаз ( <i>современная терминология</i> )	4. <b>FVH</b> – functional-vegetative homeostasis ( <i>contemporary terminology</i> )
5. <b>ФВМ</b> – Функционально-вегетативная Матрица ( <i>современная терминология</i> )	5. <b>FVM</b> – functional-vegetative Matrix ( <i>contemporary terminology</i> )
6. <b>ФВД</b> – Функционально-вегетативная диагностика по В.Г. Макацу ( <i>современная терминология</i> )	6. <b>FVD</b> – Functional-vegetative diagnostics according to the method of V.G. Makats ( <i>contemporary terminology</i> )
7. <b>ВБ</b> – Вегетативный биоритм	7. <b>WB</b> - Vegetative biorhythm

УСЛОВНАЯ СИМВОЛИКА СИСТЕМНЫХ АКУПУНКТУРНЫЕ ЗОН ...	CONDITIONAL SYMBOLISM SYSTEM ACUPUNCTURE ZONES...
--	---

<b>УСЛОВНАЯ СИМВОЛИКА ФУНКЦИОНАЛЬНО АКТИВНЫХ ЗОН</b> CONVENTIONAL SYMBOLS OF FUNCTIONALLY ACTIVE ZONES			
<b>▼ ВХОДА</b> INLET	<b>▲ ВЫХОДА</b> OUTLET	<b>▲ ВОЗБУЖДЕНИЯ</b> EXCITATION	<b>▼ УГНЕТЕНИЯ</b> OPPRESSION
- ПОСОБНИК ACCOMPLICE	- ТРЕВОГИ AGITATION	СОЧУВСТВИЯ SYMPATHETIC	- КЛЮЧ ЧМ = KEY MM
- СВЯЗИ ЧМ = CONNECTIONS OF MM	СТАБИЛИЗАЦИИ STABILIZATION	ГРУППОВОЙ СТАБИЛИЗАЦИИ GROUP STABILIZATION	(  ) ПРОТИВОБОЛЕВАЯ (КОНТАКТ С ФС) ANALGETIC (CONTACT WITH FS)

МЕЖДУНАРОДНАЯ КЛАССИФИКАЦИЯ АКУПУНКТУРНЫЕ КАНАЛОВ (ФУНКЦИОНАЛЬНО-ВЕГЕТАТИВНЫХ СИСТЕМ).	THE INTERNATIONAL CLASSIFICATION OF ACUPUNCTURE CHANNELS (FUNCTIONALLY-AUTONOMIC SYSTEMS).
--	--

ТРАДИЦИОННЫЙ КАНАЛ	МАН *	ФН **	ТРАДИЦИОННЫЙ КАНАЛ	МАН *	ФН **
ЛЁГКИЕ	LU	P	МОЧЕВОЙ ПУЗЫРЬ	BL	V
ТОЛСТЫЙ КИШЕЧНИК	LI	DI	ПОЧКИ	KI	R
ЖЕЛУДОК	ST	E	ПЕРИКАРД	PC	MC
СЕЛЕЗЕНКА-ПОДЖЕЛУДОЧНАЯ ЖЕЛЕЗА	SP	RP	ЛИМФАТИЧЕСКАЯ СИСТЕМА (ТРОЙНОЙ ОБОГРЕВАТЕЛЬ)	TE	TR
СЕРДЦЕ	HT	C	ЖЕЛЧНЫЙ ПУЗЫРЬ	GB	VB
ТОНКИЙ КИШЕЧНИК	SI	IG	ПЕЧЕНЬ	LR	F

\* МАН – международная номенклатура ВОЗ;  
\*\* ФН – её французский аналог.

Traditional channel	IAN *	FN	Traditional channel	IAN *	FN
Lungs	LU	P	Urinary bladder	BL	V
Large intestine	LI	GI	Kidney	KI	R
Stomach	ST	E	Pericardium	PC	MC
Spleen – Pancreas	SP	RP	Triple energizer	TE	TR
Heart	HT	C	Gall bladder	GB	VB
Small intestine	SI	IG	Liver	LR	F

\* IAN - International Acupuncture Nomenclature (WHO);  
FN - its French analogue.

УРОВНИ ВЕГЕТАТИВНОЙ АКТИВНОСТИ	LEVELS OF VEGETATIVE ACTIVITY
--------------------------------	-------------------------------

ЗОНА КОНТРОЛЯ ВЕГЕТАТИВНЫХ КОЭФФИЦИЕНТОВ		
к-ВР	ЗОНЫ ВЕГЕТАТИВНЫХ НАРУШЕНИЙ	СИМВОЛ ЗОНЫ
до 0,75	Зона значительной парасимпатикотонии	ПА-з
0,76-0,86	Зона выраженная парасимпатикотонии	ПА-в
0,87-0,94	Зона функциональной компенсации ПА	ФкП
0,95-1,05	Зона вегетативного равновесия	ВР
1,06-1,13	Зона функциональной компенсации СА	ФкС
1,14-1,26	Зона выраженной симпатикотонии	СА-в
1,26 и >	Зона значительной симпатикотонии	СА-з

ZONE OF ATTENTION OF VEGETATIVE COEFFICIENTS		
VALUE of k	ZONE OF FUNCTIONAL ATTENTION	SYMBOL OF ZONE
to 0,75	syndrome of significant parasympathetic prevalence	PA-s
0,76-0,86	syndrome of significant parasympathetic prevalence;	PA-e
0,87-0,94	zone of functional compensation of parasympathetic activity	FcP
0,95-1,05	zone of functional-vegetative equilibrium	VE
1,06-1,13	zone of functional compensation of sympathetic activity	FcS
1,14-1,26	syndrome of expressed sympathetic prevalence	SA-e
1,26 and >	syndrome of significant sympathetic prevalence	SA-s



*Доктор медицинских наук, профессор, эксперт высшего уровня НАН Украины, директор Винницкого филиала ГП "Украинский НИИ медицины транспорта" МЗ Украины В. Макац утверждает:*

*"... Биофизическая реальность традиционных акупунктурных каналов, их вегетативная сущность и системная взаимозависимость экспериментально доказаны. Забытые знания предыдущих цивилизаций должны стать понятными и доступными через их научную адаптацию [3,4,5,6]"!*

*Генеральный директор Всесоюзного НИИ "БИНАР", академик РАМТН, доктор технических наук, лауреат премии А. Чижевского Е. Крюк заявил:*

*"... Биополе есть! Его диапазон в радиочастотах 7-8 миллиметров. Доказано, что организм человека открытий резонансный контур а "точки акупунктуры" являются волновыми диодами. Весь мир пронизан виртуальными фотонами, для которых нет никаких препятствий [1, с.14, 7, с.67]."*

*"На основе собственных исследований авторы открыли неизвестную ранее "Функционально-вегетативную систему человека", которая впервые позволила идентифицировать биофизическую реальность гипотетических "акупунктурных каналов" Чжень-цзю терапии, их вегетативную сущность и функциональную системность. Универсальная логичность открытия указывает на значение восточной терапевтической философии и впервые объединяет гносеологические позиции традиционной китайской и современной западной медицины. Такой, поддерживаемый ВОЗ курс, обеспечит развитие двух направлений и персонифицированный подход в здравоохранении".*

*А. Василенко - доктор медицинских наук, профессор, вице-президент профессиональной ассоциации рефлексотерапевтов РФ, Главный редактор журнала "Рефлексотерапия и комплементарной медицины".*

*Doctor of medical sciences, professor, senior expert of the NAS of Ukraine, Director of the Vinnytsia branch of the State Enterprise "Ukrainian Research Institute of Transport Medicine" of the Ministry of Health of Ukraine:*

*"... Biophysical reality of traditional acupuncture channels, their vegetative orientation and the systemic interdependence is experimentally proved. The forgotten knowledge of previous civilizations should become clear and accessible through their scientific adaptation [3,4,5,6]"!*

*General Director of the All-Union Scientific Research Institute "BINAR", academician of RAMTS, doctor of technical sciences, winner of the prize A. Chizhevsky E.Kryuk said:*

*"...The biosphere is! Its range in the radio frequencies 7-8 millimeters. It is proved that the human resonance path and the "acupuncture point" are the wave diode, the whole world is permeated with virtual photons that do not know any obstacles [1, p.14; 7, p.67;]."*

*"On the basis of their own research, the authors discovered the previously unknown "Human functional-vegetative system", which for the first time allowed identifying the hypothetical "acupuncture channels" of Zhenjiu therapy, their biophysical reality, vegetative essence and functional systemacy. The universal logicity and completeness of the discovered system point to the significance the Eastern therapeutic philosophy and for the first time unites the epistemological positions of traditional Chinese and modern Western medicine. This, supported by the WHO course, will provide further development of the both trends and a holistic personified approach in health care"*

*O. Vasilenko - MD, professor, vice-president of the Pro-fessional Association of Reflexologists of the Russian Federation, editor-in-chief of the journal "Reflex therapy and Complementary Medicine".*

Реальность "акупунктурных каналов", которые на протяжении веков разделяли терапевтическую философию Востока и Запада, поставила традиционную Чжень-цзю терапии перед ревизией собственной теоретической и практической базы.

И причины для её проведения более чем весомые. Пользоваться в начале III-го тысячелетия эмпирической теоретической базой Восточной терапевтической философии некорректно (западные специалисты её не понимают и не используют).

Работами школы профессора В.Г. Макац (Украина, Винница) создана база для инновационного прорыва в направлении нетрадиционной терапии. В частности.

1) Разработаны основы и возрастные нормативы ФВД (функционально-вегетативной диагностики) по акупунктурным зонам, которая дает сопоставимые результаты при повторных обследованиях.

2) Открытая "Функционально-вегетативная система человека" есть биофизическим аналогом "акупунктурных каналов" традиционной Чжень-цзю терапии

3) Выявлены её биофизические феномены и функционально-вегетативные закономерности (основа современной "функциональной вегетологии" и ЦЦТ)...

– системно-комплексная зависимость "акупунктурных каналов" и их вегетативная направленность;

– "функционально-вегетативна Матрица", которая стала патогенетической основой разработанных направлений;

– "парадоксальные реакции" и их значение в механизмах вегетативного патогенеза;

4) Экспериментально доказан ряд теоретических и практических ошибок традиционной Чжень-цзю терапии.

Разработанное направление переводит Восточную терапевтическую философию на уровень современной доказательной медицины. Его научно-практическое значение трудно переоценить, поскольку положения иглотерапии сегодня "apriori" приняты западным обществом.

"Рефлексотерапия" признана медицинской специальностью и введена в программы государственного последиplomного образования. Мы готовим врачей на основе эмпирических теорий, терапевтическая логика которых для них необоснована, непонятна и не приемлема...

Пришло время обнародовать заключительные биофизические основы "функциональной вегетологии" (традиционной Чжень-цзю терапии). При этом наше решение обусловлено следующим:

современному поколению медицинских специалистов необходима информация о неизвестной ранее реальности, да-

The reality of the hypothetical "acupuncture channels", which over the centuries shared the therapeutic philosophy of the East and West, today put the traditional Zhen-Tszyu therapy before the revision of its own theoretical and practical basis.

And the reasons for its implementation are more than weighty. To use the beginning of the third millennium as an empirical theoretical basis of the Eastern Therapeutic Philosophy is incorrect (Western experts do not understand it, do not perceive it and do not use it).

Works by Professor School of V.G. Makat's (Ukraine, Vinnytsia) has created a base for an innovative breakthrough in the direction of non-traditional therapy. In particular.

1) Fundamentals and age standards of "Functional-vegetative diagnostics" (FVD) have been developed for "acupuncture zones", which gives comparable results in repeated surveys.

2) Open previously unknown "Functional-vegetative system" - a biophysical analogue of "acupuncture channels" of traditional Zhen-Tszyu therapy (TZTT).

3) Its biophysical phenomena and functional-vegetative regularities (the basis of the modern "Functional Vegetology" and TZTT) are revealed:

– system-complex dependence of "acupuncture channels" and their vegetative orientation;

– "functional-vegetative Matrix", which became the pathogenetic basis of the developed directions;

– "paradoxical reactions" and their importance in the mechanisms of vegetative pathogenesis;

4) Several theoretical and practical errors of traditional Zhen-Tszyu therapy have been experimentally proved.

Together, the developed direction translates the Oriental Therapeutic Philosophy to the level of modern evidence-based medicine. Its scientific and practical importance cannot be overestimated, as the age-old positions of Acupuncture today are "apriori" taken by Western society

"Reflexotherapy" is officially recognized as a medical specialty and introduced into the curricula of state postgraduate education. We train "physicians - reflexologists" on the basis of empirical theories, whose therapeutic logic is unreasonable, incomprehensible and unacceptable to Western understanding.

It's time to publish the final provisions on the biophysical foundations of "Functional Vegetology" (traditional Zhen-Tszyu therapy). In this case, our decision is due to the following:

the current generation of medical specialists needs information about the previously unknown reality, even if it contradicts the

же если она противоречит "классическим" знаниям и официально замалчивается на уровне МОН Украины и подчиненными ему уровнями высшего и среднего медицинского образования ...

Сегодня Генеральная ассамблея ВОЗ предлагает своим членам включить в национальные программы здравоохранения достижения традиционной китайской Чжень-цзю ("акупунктурную диагностику" и "рефлексотерапию"). Обнародована информация об их регистрации в ООН, как ресурса жизни и здоровья общества.

Понимая, что критика апологетов без веских аргументов дело неблагодарное, мы обращаем внимание читателя на следующее.

1) Наши выводы обусловлены экспериментальным материалом (18.454 наблюдений), доступных для любого контроля.

2) Открытие, рано или поздно окажется в центре внимания системной физиологии и обусловит ревизию терапевтических и реабилитационных канонов на принципах "Ньютоновской механики".

3) Принципиальные первоисточники Восточной терапевтической философии теряются в глубине предыдущих цивилизаций. На это указывает универсальная логичность и системная завершенность открытой структуры, которая оставалась неизвестной до последнего времени.

4) Она же указывает на современную парадигму о сущности живого и значение полевых взаимодействий в системе функционально-информационного управления биологическими процессами.

5) Информация о биофизическую реальность "Функционально-вегетативной системы человека" положительно оценена международными научными семинарами [3, с.9-12]. Рекомендуются для внедрения в систему здравоохранения Поручениями КМ Украины (№1861 / 4 и №12010/87).

С целью распространения знаний по "Функциональной вегетологии" создан Европейский центр последипломного образования врачей при ОО "Украинская национальная академия естествознания".

Выпускаются международные научные журналы "Современные реабилитационные технологии" (ISSN 2518-1904) и "Contemporary Rehabilitation Technologies" (ISSN 2523-4129).

Мы надеемся, что открытая информация не останется без внимания и станет поводом для дальнейших научных изысканий по открытым направлениям ...

*От авторского коллектива эксперт высшего уровня НАН Украины, доктор медицинских наук, профессор В.Г.Макац.*

Винница, 30.06.2018

"classical knowledge" and is officially silenced at the level of the Ministry of Education and Science of Ukraine and subordinate to him the leading levels of higher and secondary education;

Today, the General assembly of the WHO insistently proposes to all member-states to include in their national health programs the achievements of the traditional Chinese Zhenjiu (acupuncture diagnostics and "reflex therapy"). Publication of information about their registration in the WHO as a life and health resource of society.

Understanding that the criticism of apologists without substantial arguments is an ungrateful business, we draw the readers' attention to the following.

1) Our conclusions are conditioned by the experimental material (18.454 observations), which are available for any control and analysis.

2) The discovery, sooner or later, will appear in the center of attention of systemic physiology and will condition the revision of therapeutic and rehabilitation canons, based on the principles of Newton's mechanics.

3) The primary sources of the Eastern therapeutic philosophy are getting lost in the depth of the previous civilizations. This is pointed by the universal logic and systemic completeness of the discovered structure, which had remained unknown until the recent days.

4) She points to the need for a modern biological paradigm about the essence of the Living and the value of field interactions in the system of functional and information management biological processes.

5) Information on the biophysical reality of the "functional-vegetative system of man" is positively evaluated by international scientific seminars [3, p.9-12]. Recommended for introduction into the system of public health by the orders of the Cabinet of Ministers of Ukraine (No.1861/4 and number 12010/87).

For the purpose of disseminating innovative knowledge on "Functional Vegetology," the European Center for Postgraduate Education of Physicians" NGO "Ukrainian National Academy of Natural Sciences" works.

We publish two electronic scientific journals "Modern Rehabilitation Technologies" (ISSN 2518-1904; ISSN 2523-4129 in Ukrainian and English).

We hope that the open information will not be left unattended and will become the motive for further scientific research on open directions ...

*From the team of authors The expert of the higher level of the NAS of Ukraine, Doctor of Medical Sciences, Professor V.G. Makats.*

Vinnitsia, June 30.2018





1. ФУНКЦИОНАЛЬНО-ВЕГЕТАТИВНАЯ ДИАГНОСТИКА  
БЕЗ ВНЕШНИХ ИСТОЧНИКОВ ТОКА  
1. FUNCTIONAL-VEGETATIVE DIAGNOSTICS WITHOUT  
EXTERNAL CURRENT SOURCES

Методология функционально-вегетативной диагностики (ФВД) не имеет аналогов, постоянно совершенствуется и в достаточной мере обнародована [3, с.13; 6, с.119,205]. Её главным отличием от известных "электропунктурных диагностик" является повторяемость предыдущих результатов. Рассмотрим биофизические основы ФВД.

Methodology of Functional-Vegetative Diagnostics (FVD) has no analogues, is constantly being improved and published to a sufficient degree [3, p.13; 6, p.119,205]. Its main difference from the known "electro puncture diagnostics" is the probable repeatability of the previous results. Consider the biophysical foundations of FVD.

**1.БИОФИЗИЧЕСКИЕ ОСНОВЫ ФВД**

**1.BIOPHYSICAL BASIS OF FVD**

До сегодняшнего дня общепринятым средством интегральной оценки вегетативного гомеостаза был вегетативный анамнез с использованием опросных таблиц. При этом исторически сохраненная обособленная оценка симпатических и парасимпатических реакций базовых отделов ВНС, противоречит современным представлениям об их функционально-зависимую организацию. К тому же, сложность изучения надсегментарного и сегментарного уровней вегетативной регуляции ограничивает необходимую для клиницистов информацию. Важно помнить и о неоднородности симпатических и парасимпатических реакций, нелинейности параметров вегетативного статуса при изменении активности одного из отделов ВНС и их зависимость от ряда регулирующих факторов. При этом признаётся (Вейн, 2000; Ноздрачёв, 2003), что показатели инструментального обследования ВНС характеризуют только отдельные механизмы вегетативной регуляции.

Описана функционально-вегетативная диагностика (ФВД), с помощью которой доказана биофизическая реальность акупунктурных каналов и их системная взаимозависимость.

Технология ФВД не требует внешних источников тока, ориентирована на оценку уровней вегетативного гомеостаза, имеет собственную нормативную базу и характеризуется аналогичными повторными результатами.

На основе исследований представительных групп людей разного возраста и пола обоснована возможность интегральной оценки вегетативного гомеостаза и уровней его функциональных нарушений методом ФВД.

Till the recent days, vegetative anamnesis with the usage of questionnaire tables has been generally accepted as the means of integral evaluation of vegetative homeostasis. At the same time, historically preserved detached evaluation of sympathetic and parasympathetic reactions of the basic divisions of vegetative nervous system (VNS) contradicts contemporary ideas of their functional-dependent composition. Additionally, complexity of study of super-segmental and segmental levels of vegetative regulation restricts necessary information for clinicians. It is also necessary to remember about the heterogeneity of sympathetic and parasympathetic reactions, nonlinearity of parameters of vegetative status during the change of activity of one of the divisions of VNS and their dependency on a range of regulating factors. At the same time, it has been defined (Wane 2000; Nozdrachov, 2003), that the indications of instrumental examination of VNS characterize only separate mechanisms of vegetative regulation.

Functional-vegetative diagnostics (FVD) has helped to prove the biophysical reality of acupuncture channels and their systemic interdependence.

FVD technology does not require external sources of power, is oriented to assess the levels of autonomic homeostasis, has its own regulatory framework and is characterized by reliably reproducible results.

On the basis of studies of representative groups of people of different ages and genders, the possibilities of an integral assessment of vegetative homeostasis and the levels of its functional disorders by the FVD method are substantiated.

Полученные данные показали возможность использования ФВД для оценки функционального здоровья по коэффициентам вегетативного гомеостаза.

Проведенные нами с 1975 года по настоящее время исследования привели к открытию неизвестных биофизических феноменов и разработке ФВД, послуживших современной интерпретацией методологических основ традиционной Чжень-Цзю терапии. ФВД характеризуется следующими особенностями:

1) вместо внешних источников энергии используется способность биологических систем генерировать слабые токи;

2) её показатели непосредственно характеризуют симпатическую и парасимпатическую активность ВНС и функциональный вегетативный гомеостаз;

3) позволяет получать стабильные при повторном тестировании данные.

Диагностическая стабильность ФВД обусловлена:

- феноменами симметричной асинхронности репрезентативных функционально активных зон (ФАЗ, точек акупунктуры) и их суммарной биоэлектрической активностью;

- параметрами короткого (3 с) "тест-сигнала", не превышающего мембранные потенциалы (1-5 мкА; 0,03-0,6 В);

- уменьшенным вдвое (с 24 до 12) количеством репрезентативных ФАЗ;

- влажным контактом диагностических электродов - доноров (ДЭ) и опорного акцептора электронов (АЭ). В качестве ДЕ выступают точки-поспособники Тай-юань, Да-лин, Шэнь-мень, Вань-гу, Ян-чи, Ян-си, Тай-бай, Тай-чун, Тай-си, Шу-гу, Цю-суй и Чун-ян. АЭ располагается в равноудаленной от 12 репрезентативных ФАЗ пупковой области.

На основе указанных принципов разработан диагностический комплекс ВИТА-01-М, в котором анализу подлежат не абсолютные значения показателей, а коэффициенты  $k-V$ , отражающие соотношение симпатической и парасимпатической активности ЯН и ИНЬ каналов по формуле ( $k-V = \Sigma \text{ЯН} / \Sigma \text{ИНЬ}$ ). Показатели  $k-V$  дают возможность определять 7 вариантов вегетативного гомеостаза (ВГ) и показания к его коррекции.

$k (<0,75)$  - нарушение ВГ со значительным преимуществом парасимпатической активности.

$k (0,76-0,86)$  - нарушение ВГ с выраженным преимуществом парасимпатической активности.

The obtained data showed the possibility of using FVD for the assessment of the level of health by the coefficients of vegetative homeostasis.

The researches carried out by us from 1975 to the present time led to the discovery of unknown biophysical phenomena and the development of FVD, which served as a modern interpretation of the methodological foundations of traditional Zhen-Tszyu therapy. The following features characterize FVD:

1) Instead of traditional external sources of energy, the ability of biological systems to generate weak currents is used;

2) its indicators directly characterize sympathetic and parasympathetic activity of the VNS and functional vegetative homeostasis;

3) allows you to get stable data for repeated testing.

Diagnostic stability of FVD is due to:

- phenomena of symmetrical asynchrony of representative functionally active zones (FAZ) - acupuncture points and summation of their bioelectric activity;

- parameters of a short (3 s) test signal not exceeding the level of membrane potentials (1-5  $\mu\text{A}$ , 0.03-0.6 V);

- reduced by half (from 24 to 12) the number of representative FAZ;

- wet contact of the diagnostic electrodes - electron donors (DE) and the reference electrode - electron acceptor (AE). As DE, acupuncture points are used - the accomplices of Tai-yuan, Da-ling, Shenless, Wan-gu, Yang-chi, Yang-si, Tai-bai, Tai Chun, Tai-si, Shu-gu, syu and Chung-yang. AE is located in equidistant from 12 PHAZ - DE umbilical region.

Based on these principles, the VITA-01-M diagnostic complex has been developed, in which the absolute values of the indicators are subject to analysis, and the  $k-V$  coefficients reflecting the ratio of sympathetic and parasympathetic activity of the YANG and YIN channels by the formula ( $k-V = \Sigma \text{YANG} / \Sigma \text{YIN}$ ). Indices  $k-V$  make it possible to determine 7 variants of vegetative homeostasis (VG) and indications for its correction.

$k (<0.75)$  - a disturbance of VG with a significant predominance of parasympathetic activity.

$k (0,76-0,86)$  - violation of VG with marked predominance of parasympathetic activity.

k (0,87-0,94) - зона функциональной компенсации парасимпатической активности, состояние относительного вегетативного равновесия.

k (0,95-1,05) - зона вегетативного равновесия.

k (1,06-1,13) - зона функциональной компенсации симпатической активности, состояние относительного вегетативного равновесия.

k (1,14-1,26) - нарушение ВГ с выраженным преимуществом симпатической активности.

k (> 1,26) - нарушение ВГ со значительным преимуществом симпатической активности.

При 1-2, 6 и 7-м вариантах показана коррекция ВГ.

Принципиальное отличие ФВД от "электропунктурных" диагностик состоит в том, что фактором диагностики выступает направленный транспорт свободных электронов, перераспределение которых обуславливает энергоинформационные трансформации.

При ФВД движение энергоносителей через биологический объект осуществляется от электрода ДЕ (+) к электроду АЕ (-), не нарушая во внешнем контуре известную направленность от (-) к (+). Если в цепь добавить внешний источник тока (батарею), то транспорт зарядов становится зависимым от его полярности и через объект ток проходит в "узаконенном физикой" направлении от (-) к (+). В контуре между двумя одноканальными ФАЗ биоэлектрическая активность на 73,4% больше, чем в контуре с ФАЗ различных функциональных систем.

k (0,87-0,94) - the zone of functional compensation of parasympathetic activity, the state of relative vegetative equilibrium.

k (0,95-1,05) - zone of vegetative equilibrium.

k (1,06-1,13) - the zone of functional compensation of sympathetic activity, the state of relative vegetative equilibrium.

k (1,14-1,26) - disturbance of VG with marked predominance of sympathetic activity.

k (> 1.26) - a disturbance of VG with a significant predominance of sympathetic activity.

In the 1st, 2nd, 6th and 7th versions, the VH correction is shown.

The fundamental difference between FVD and other methods of electro puncture diagnostics lies in the fact that the directional transport of free electrons acts as a diagnostic factor, the redistribution of which determines the energy-information transformations.

In FVD, the energy carriers move through the biological object from the electrode of the electron donor (DE +) to the electron acceptor of electrons (AE), without disturbing the known directivity from (-) to (+) in the external circuit. If an external current source (battery) is added to the circuit, the charge transport becomes dependent on its polarity and the current passes through the object "legalized" from (-) to (+) through the object. In the circuit between two single-channel FAZ bioelectric activities is 73.4% higher than in the circuit of the FAZ of different functional systems.

## 2 БИОФИЗИЧЕСКИЕ ФЕНОМЕНЫ ФВД

## 2 BIOPHYSICAL PHENOMENA OF FVD

### *Феномен асинхронности ФАЗ.*

Мы идентифицировали несколько типов симметричной асинхронности:

- уравновешенный, когда в течение времени биоэлектрическая активность двух симметричных ФАЗ практически одинакова;

- билатеральный, когда биоэлектрическая активность одной из симметричных ФАЗ периодически превышает другую;

- правостороннее, когда периодически наблюдаем преобладание биоэлектрической активности правой симметричной ФАЗ;

- левостороннее, когда в течение определенного времени наблюдается

### *PHA asynchronous phenomenon.*

We identified several types of symmetric asynchrony:

- balanced, when for a period of time the bioelectric activity of two symmetrical FAZ is practically comparable;

- bilateral, when the bioelectrical activity of one of the symmetric FAZ periodically exceeds the other;

- right-sided, when the bioelectrical activity of the right symmetric FAZ is predominant;

- left-handed, when for a certain time the predominance of the bioelectrical ac-

преобладание биоэлектрической активности левой симметричной ФАЗ;

- смешанный, когда в течение времени наблюдаем чередование разных типов симметричной асинхронности.-

При этом феномен сохраняется и в парных функциональных системах. Следует отметить, что наблюдения за симметричной асинхронностью в парах разных каналов иногда показывали различные типы взаимозависимости.

tivity of the left symmetric FAZ is observed,

- mixed, when over time we see the alternation of the previous types of symmetric asynchrony.

The phenomenon of bioelectric symmetric asynchrony is also preserved in paired functional systems. It should be noted that simultaneous observations of symmetric asynchrony in pairs of FAZ of different channels sometimes established different types of relationships.

***Феномен суммарной активности симметричных ФАЗ.***

Один из принципов ФВД. Возникает в симметричных парах ФАЗ при одновременном тестировании спаренным электродом ДЭ с одним общим выходом на прибор контроля. Например, трехразовое (в течение 15-20 мин.) тестирование правой и левой симметричных ФАЗ покажет разные значения симметричной асинхронности.

При этом если правая ФАЗ условно покажет волну спада (15-10-5 мкА), то её левый аналог, наоборот, покажет волну подъема (условно обратные значения 5-10-15мкА). Если же две симметричные ФАЗ одновременно тестировать специальным электродом ДЭ с одним общим выходом на измерительный блок, мы получим стабильные суммарные результаты: 20-20-20 мкА.

Стоит отметить закономерность открытого феномена. И хотя он не имеет корректного биофизического объяснения, его использование впервые дало возможность получать стабильные показатели и уменьшить в два раза количество тестирований (вместо 24 ФАЗ контролировать суммарную активность 12-ти симметричных пар).

***The phenomenon of the total activity of symmetric FAZ.***

It occurs in symmetrical pairs of FAZ when a coupled DE electrode with one common output to the monitoring device simultaneously tests them. For example, a three-time (within 15-20 minutes) testing of the right and left symmetrical FAZ will show different values of symmetric asynchrony.

At the same time, if the right-hand PHZ conditionally shows a wave of decay (15-10-5  $\mu$ A), then its left analog, on the contrary, will show a wave of rise (conditionally the inverse values are 5-10-15 mкA.) If two symmetric FAZ simultaneously test with a special DE electrode with one the total output to the measuring block, we get stably the total results: 20-20-20  $\mu$ A.

At the same time, it should be noted a clear pattern of the open phenomenon, and although the latter does not have a correct biophysical explanation, its use in FVD practice is essential: We use stable time indicators and halve the number of tests (instead of 24 FAZ we control the total activity of 12 symmetrical pairs).

***Феномен направленной активности "традиционных каналов".***

Учитывая значение вопроса, приводим условия его изучения. Выбранные параметры "тест-сигнала" были оптимальными для графической объективизации ожидаемых реакций: синусоидальной формы, равно переменный, U 1В, 2,5 Гц при чувствительности самописца 0,5 В/см и скорости лентопротяжного механизма 1 мм/сек.

Перед каждым тестированием на ленте самописца фиксировали амплитуду "тест-сигнала", которая принималась за 100% (проводимость каждой

***The phenomenon of the directed activity of the "traditional channels".***

Given the fundamental importance of the issue, we give the conditions for its study. The selected parameters of the test signal were optimal for the graphical objectification of the expected reactions: a sinusoidal form, an alternating one, U 1В, 2.5 Hz with a sensitivity of 0.5 V/cm and a tape speed of 1 mm/s.

Before each testing, the amplitude of the "test signal" was fixed on the tape of the recorder, which was taken as 100% (the conductivity of each FAZ of the LU

ФАЗ канала LU после тестирования рассчитывалась в % от его величины).

В качестве примера приводим электропроводимость между одноканальными ФАЗ "Лёгких" (LU), которая биофизически поддерживает каноническое утверждение о его центробежности (рис.1.1). Установлено, что центробежная электропроводимость (ЦБ ЭП) от LU<sup>3</sup> к LU<sup>11</sup> при совпадении гипотетического и инициированного направления зарядоносителей значительно превышает противоположную позицию: когда их транспорт инициируется в центростремительном (ЦС ЭП) направлении от LU<sup>11</sup> к LU<sup>3</sup>. Феномен указывает на реальность "вентильного механизма", то есть о естественной центробежной активности канала.

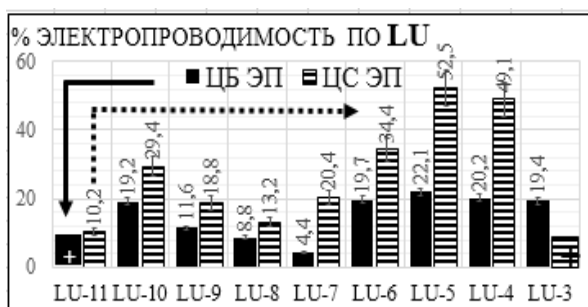


Рис.1.1 Центробежность и центростремительность энергоносителей на примере канала LU (по оси ординат - диапазон активности в %; цифры диаграммы - активность ФАЗ в % от "тест-сигнала").

Феномен направленного транспорта отмечен и при использовании электродной пары ДЭ-АЭ. В данном случае максимальная проводимость была при позиции электрода ДЕ на ФАЗ LU<sup>3</sup>, а АЭ - последовательно на ФАЗ от LU<sup>4</sup> к LU<sup>11</sup>. При этом следует обратить внимание, что изучение вентильных канальных эффектов имеет значительную перспективу (наши работы следует рассматривать как методологический аспект проблемы).

**Феномен системной зависимости от каналов BL-SP.**

Учитывая значение проблемы, обратим внимание на ось ординат в демонстрируемых рисунках. В наших исследованиях суммарная активность репрезентативных ФАЗ (в мкА) принималась за 100%, от которой определялись относительные значения активности каждого канала в%. При этом динамика функциональной активности оп-

channel after testing was calculated in% of its value).

As an example, we give the phenomenon of electrical conductivity (EP) between single-channel FAZ in the "Light" (LU) system, which biophysically supports the canonical statement about its centrifugal direction (Fig.1.1). It is established that the electrical conductivity in the centrifugal direction (EC) from LU<sup>3</sup> to LU<sup>11</sup> with the coincidence of the hypothetical and initiated direction of the charge carriers is much greater than the opposite position: when their transport is initiated in the centripetal (ES) direction from LU<sup>11</sup> to LU<sup>3</sup>. The phenomenon indicates the reality of the "valve mechanism," that is, the natural centrifugal activity of the system.

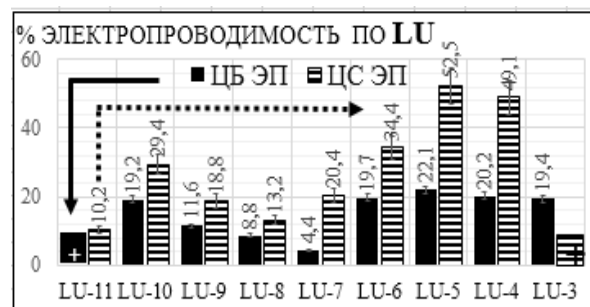


Fig.1.1 Centrifugal and centripetal directions of energy carriers by the example of the LU channel (ordinate - activity range in%, diagram numbers - PHA activity in% of the "test signal").

The phenomenon of directional transport was noted also with the use of the electrode pair DE-AE. In this case, the maximum conductivity was at the position of the DE electrode on the PHAZ LU<sup>3</sup>, and the AE was sequentially on the PHAZ from LU<sup>4</sup> to LU<sup>11</sup>. At the same time, it should be noted that the study of channel effects has a significant perspective (our work should be regarded as a methodological aspect of the problem).

**The phenomenon of systemic dependence on BL-SP channels.**

Taking into account the fundamental importance of the problem, one should pay attention to the value of the ordinate axis in the illustrations shown. In our studies, the total activity of representative FAZ (in  $\mu A$ ) was taken as 100%, from which the relative activity values of each channel in % were determined. At the same time, the directed dynamics of func-

ределялась по разнице индивидуального значением и возрастной нормой (последняя может быть +или -). Используемый диапазон активности по оси ординат (+2, -2) – "выборочный" (для наглядности системной зависимости слабых каналов). При этом отсекались выходящие за пределы "+2, -2" значения более активных каналов (в данном случае BL, SR, TE, LI). При этом ось ординат сохраняет свое смысловое (в %) значения.

Разработанная методология обнаружила специфику влияния каналов BL-SP на направленную активность других систем. Нарастание их активности сопровождается угнетением других каналов (и, наоборот), что обуславливает значение ортостатической позы при проведении ФВД (рис.1.2).

tional activity was determined by the difference between its individual value and the age norm (the latter after the sign can be + or -). The range of activity in the ordinate (+2, -2) used in our examples is "selective" (for greater clarity of the dynamics of the systemic dependence of weak channels). At that, the values of more active channels, out of the range "+2, -2", in this case BL, SR, TE, LI, were cut off. In this case, the ordinate axis retains its semantic value (in %).

The developed methodology has revealed the specific effect of BL-SP channels on the directional activity of other systems. The growth of their activity is accompanied by the suppression of other channels (and vice versa), which determines the importance of orthostatic posture in the FVD (Fig.1.2).

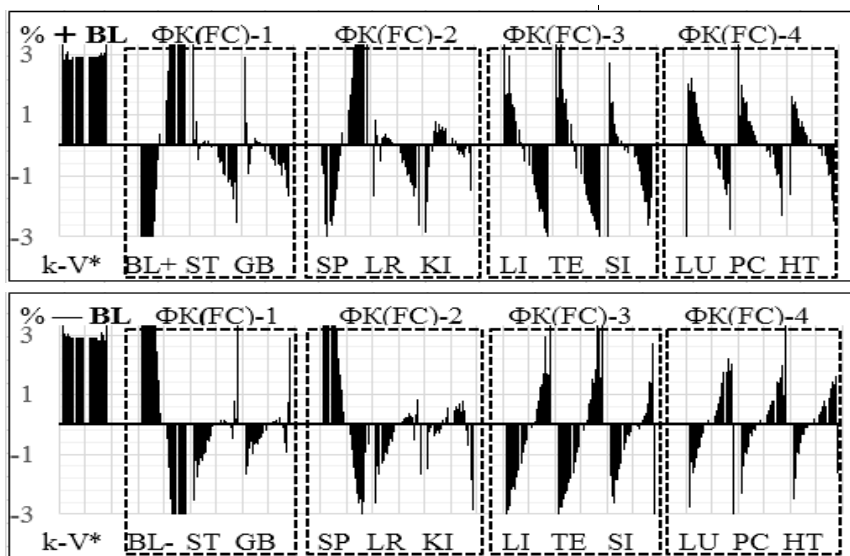


Рис.1.2. Системная зависимость при возбуждении (+) и угнетении (-) BL на примере женской группы (ЖГ) юношеского школьного возраста (ЮШВ).

Fig.1.2. Systemic dependence upon excitation (+) and inhibition (-) BL by example the women's group (WG) of youthful school age (JUSH).

Более наглядно дальнейшую трансформацию системной зависимости в этой же группе представляет нарастающее возбуждение (угнетение) функциональной системы GB (рис.1.3).

More clearly, the further transformation of the systemic dependence in this group is represented by the growing excitation (oppression) of the functional system GB (Fig.1.3).

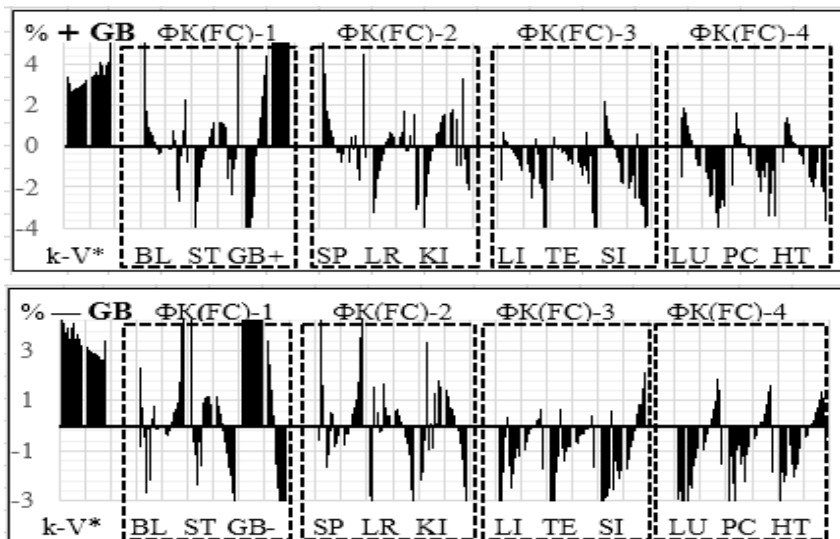


Рис.1.3. Системная зависимость при нарушении (+) и угнетении (-) GB на примере женской группы (ЖГ) юношеского школьного возраста (ЮШВ).

Fig.1.3. Systemic dependence upon excitation (+) and inhibition (-) GB by example the women's group (WG) of youthful school age (JSA).

<p><b>Феномен позы. Значение орто- и клиностатики в ФВД.</b></p>	<p><b>Phenomenon of the posture. The value of ortho- and clinostatics in FVD.</b></p>
<p>В 73% наблюдений переход с ортостатики в клиностатику сопровождается изменением вегетативного гомеостаза в сторону парасимпатической активности. При этом возрастает биоэлектрическая активность BL-SP, что сопровождается угнетением других каналов. Противоположные изменения наблюдаются при переходе с клиностатики в ортостатику. Обнаруженный "феномен позы" стал аргументом для проведения ФВД в положении "стоя". Имея в виду, что практически все функциональные диагностики (ЭКГ, ЭЭГ и ряд других) проводятся в клиностатическом положении тела, нужно учитывать его функциональные последствия...</p>	<p>The value of ortho- and clinostatics in HPF. In 73% of cases, the transition from the orthostatic to the clinostatic position of the body of the subject is accompanied by a change in the vegetative homeostasis towards parasympathetic activity. In this case, the activity of a pair of BL-SP channels increases, which causes the predominant oppression of other channels. Directly opposite changes are observed in the transition from clinostatics to orthostatics. The discovered "pose phenomenon" became an argument in favor of the FVD in the "standing" position. Bearing in mind that practically all functional diagnostics (ECG, EEG and a number of others) are conducted in a clinostatic position, one must take into account its consequences...</p>

<p><b>Нормативная база ФВД</b></p>	<p><b>The normative base of FVD</b></p>
<p>Нормативная база ФВД специфична. Она касается оценки уровней функционально-вегетативного равновесия и обусловлена статистически достоверным количеством наблюдений (14.304 обследованных детей разных половозрастных групп). Основана на обследовании возрастных групп разного пола: 3-6, 7-11, 12-16, 17-21, 22-29 и 31-50 лет. Нормативные диаграммы дошкольного (3-6 лет) и младшего (7-11 лет) школьного возраста представлены на рис.1.4 а, б.</p> <p>Группы ДВ и МШВ имеют нормативно-идентичные вариационные ряды, которые не фиксируют недопустимые системные отклонения. В дошкольном и младшем школьном возрасте динамика нормативных системных диаграмм в женской и мужской группах существенно не отличается и находится в пределах вегетативного равновесия (<math>k-V = 0,95-1,05</math>).</p> <p>При этом следует помнить, что коэффициент вегетативного равновесия (<math>k-V</math>) имеет ведущее диагностическое значение и функционально-вегетативную коррекцию необходимо проходить под его контролем.</p>	<p><b>The standardization framework of FVD</b> is specific. It is related to evaluation of functional-vegetative equilibrium and is conditioned by statistically probable amount of observations (14. 304 examined children of different age and gender groups). Is based on examination of age groups of different sex and age: 3-6, 7-11, 12-16, 17-21, 22-29 and 31-50 years. Normative diagrams of pre-school (3-6 years) and younger (7-11) school-age are shown in Fig.1.4 a, b.</p> <p>Groups of preschool and primary school age are characterized by practically identical normative variational series, they did not show any worthy attention to systemic deviations. In the pre-school and early school age, the system dynamics of the normative diagrams in the male and female groups do not differ significantly and is within the limits of vegetative equilibrium (<math>k-V = 0,95-1,05</math>).</p> <p>It should be remembered that the coefficient of vegetative equilibrium (<math>k-V</math>) remains the only indicator having diagnostic value, and the necessary functional-vegetative correction should be under its control.</p>

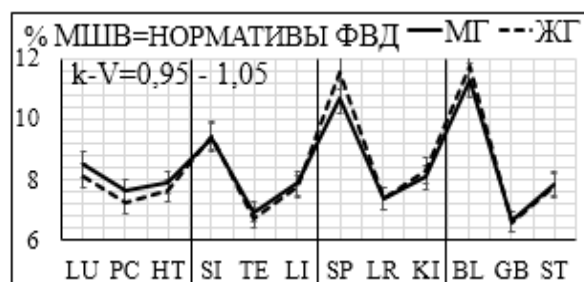
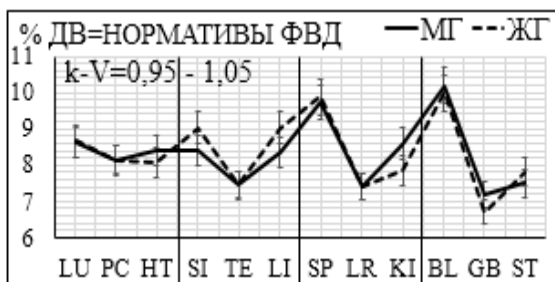


Рис.1.4 Нормативные диаграммы мужской (МГ) и женской (ЖГ) групп дошкольного возраста (ДВ) (а) и младшего школьного возраста (МШВ) (б).  
 Fig.1.4 Normative diagrams of male (MG) and female (WG) pre-school age groups (PS) (a) and primary school age (JS) (b).

В женской подростковой группе выявлено существенное снижение активности канала КИ (рис. 1.5 а), а в молодой группе каналов LU и SI (рис.1.5а,б).

In the female adolescent group, a significant decrease in the activity of the KI (Fig.1.5a,b) channel was revealed, in girls unlike the young men (Fig.1.5 b), the activity of LU (lungs) and SI was significantly decreased.

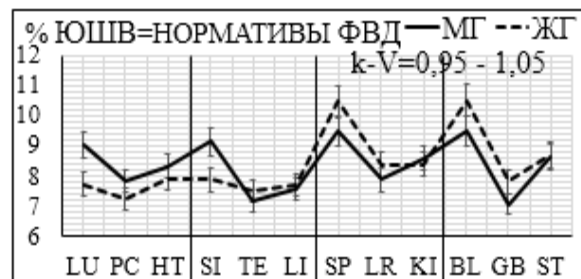
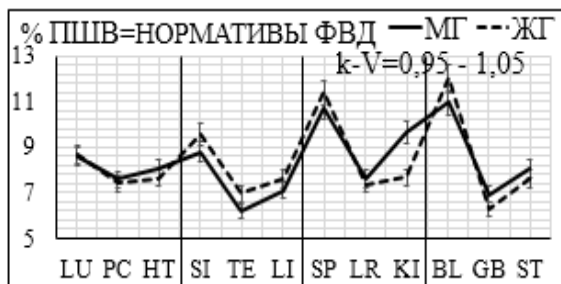


Рис.1.5 Нормативные диаграммы мужской (МГ) и женской (ЖГ) групп подросткового (ПСВ) (а) и юношеской (ЮШВ) (б) школьного возраста.  
 Fig.1.5 Normative diagrams of the male (MG) and female (WG) adolescent (ASA) (a) and youth (JSA) groups (b) of school age.

На рис.1.6 представлены нормативные диаграммы лиц 21-29 (а) и 31-50-летнего (б) возраста.

In Fig.1.6 shows the normative diagrams of persons 21-29 (a) and 31-50-year (b) age.

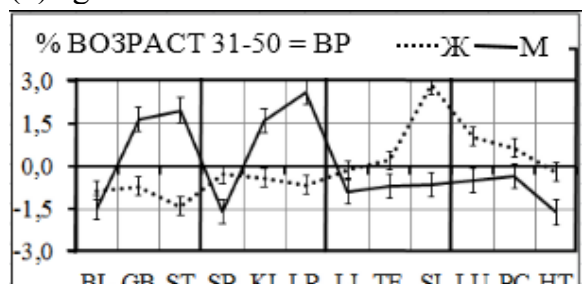
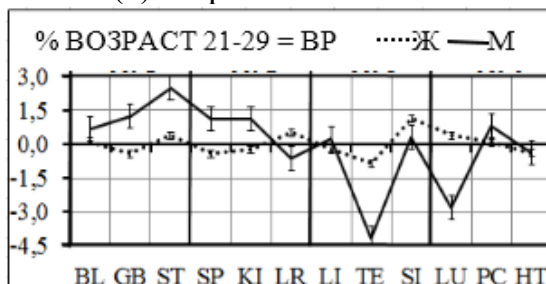


Рис. 1.6 Нормативные диаграммы женщин и мужчин 21-29 и 31-50 лет.  
 Fig.1.6 Normative diagrams of women and men of age ranges 21-29 and 31-50 years old.

Обращает внимание, что с возрастом амплитуда отклонений функциональной активности и их отличие в женской и мужской группах возрастает. Это еще раз подтверждает, что k-V имеет базовое диагностическое значение и системная функциональная коррекция должна проходить под его контролем.

Attention is drawn that with age, the amplitudes of deviations of the functional state of a number of acupuncture canals and their differences between women and men increase. These circumstances once again confirm that k-V is the only indicator that has a basic diagnostic value and systemic functional correction should be under its control.

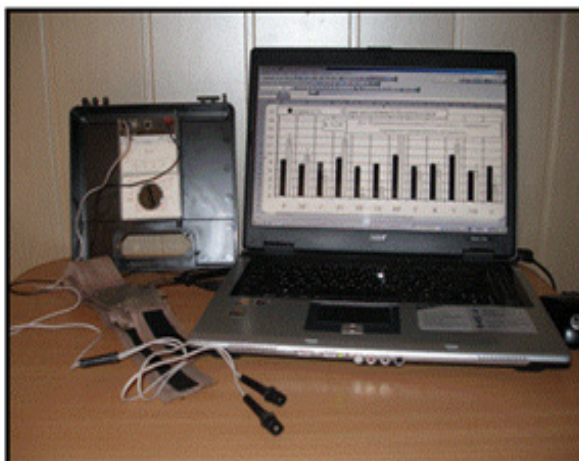
3. ОСОБЕННОСТИ ФВД	3. PECULIARITIES OF FVD
<p>Диагностические комплексы ВИТА-01-М и компьютеризированные системы ВИТА-01-Биотест (рис.1.7) рекомендованы для использования в практической медицине РПК МЗ Украины "Новая медицинская техника и новые средства диагностики, профилактики и</p>	<p>Diagnostic complexes VITA-01-M and computerized system VITA-01-Biotest (fig.1.7) are recommended for use in practical medicine RPC HM of Ukraine "New medical technology and new means for diagnostics, prevention and rehabilita-</p>



реабилитации" (протокол №5 от 25.12.91) и Ученым советом МЗ Украины (протокол №1.08-01 от 11.01.94).



*Система ВИТА-01-М  
System VITA-01-M*



*Комплекс ВИТА-01-БИОТЕСТ  
Complex VITA-01-BIOTEST*

*Рис.1.7 Аппаратура для ФВД по В.Макацу  
Fig.1.7 Equipment for FVD According to V. Makats*

Системы ВИТА-01-М метрологической стандартизации не подлежат по следующим причинам:

1) методология ФВД не предусматривает использования внешних источников энергии;

2) напряжение замкнутого индивидуально-диагностического круга не превышает уровня мембранных потенциалов (0,03-0,6 В);

3) анализа подлежат не абсолютные значения диагностических показателей, а относительное соотношение суммарной активности функциональных систем "ЯН/ИНЬ групп" (синдромов "симпатической/парасимпатической активности»).

Фактором внимания ФВД является способность биологических систем генерировать ток во внешней замкнутой контур "электрод донор электронов (ДЭ) - биологический объект - электрод акцептор электронов (АЭ)". При этом следует помнить, что электромагнитные факторы внешних источников значительно превышают биофизический уровень клеточных мембран и обуславливают прогнозируемое возбуждения (угнетение) акупунктурных зон.

Уже только по этой причине говорить о функциональной достоверности результатов некорректно. Кроме того, биодинамика каждой акупунктурной зоны имеет собственный колебательный профиль, который ошибочно трактуют с "диагностической" точки зрения...

tion" (record №5, 25.12.91) and Scientific council of HM of Ukraine (record №1. 08-01, 11.01. 94).

Systems VITA-01-M do not require metrological standardization because:

1) methodology FVD does not require external sources of power;

2) voltage of closed individually-diagnostic circuit does not exceed the level of membrane potential (0,03-0,6 V);

3) analysis is needed not for absolute values of diagnostic indices, but for relative correlation of the total activity of functional systems "YANG/YIN groups" (syndromes of "sympathetic / parasympathetic activity").

Factor of attention of FVD is ability of biological systems to generate current into external closed circuit "electrode-donor of electrons (DE) – biological object – electrode acceptor of electrons (AE)". At the same time, it should be remembered, that electromagnetic factor of external sources significantly exceed the biophysical level of cellular membranes and condition expected excitation (oppression) of acupunctural zones.

It is incorrect to take the reason as the basis to talk about the functional reliability of results. Additionally, biodynamics of every acupunctural zone has an individual frequency profile, which by mistake is interpreted from "diagnostic" point of view...

МЕТОДИЧЕСКИЕ ОСОБЕННОСТИ ФВД	METHODOLOGICAL FEATURES OF FVD
<p>Методологические особенности ФВД обусловлены:</p> <p>а) коротким (3 сек.) контактом парного диагностического электрода ДЭ с симметричными репрезентативными зонами и сокращением количества тестов с 24 до 12;</p> <p>б) влажным электродной контактом с акупунктурными зонами (нейтрализует вегето-сосудистые реакции кожи)</p> <p>в) использованием для электрода АЭ централизованной "опорной зоны" (пупочная область, равноудаленная от зон репрезентативного контакта).</p> <p>При этом внимание ФВД сосредоточено на биоэлектрической активности симметричных зон-пособников (Тай-юань, Да-лин, Шэнь-мень, Вань-гу, Ян-чи, Ян-си, Тай-бай, Тай-чун, Тай-си, Шу -гу, Цю-суй и Чун-ян). Их индивидуальная сопротивляемость постоянному току эквивалентна средней сопротивляемости других равно канальных зон (J.Nakatani).</p> <p>Полученные в mV (mkA) данные ФВД переводят в относительные значения. Определяется суммарная биоэлектрическая активность функциональных систем ЯН и ИНЬ групп и вегетативный коэффициент их взаимозависимости (<math>k = \frac{\sum \text{ЯН}}{\sum \text{ИНЬ}}</math>). С точки зрения вегетативного гомеостаза, последний указывает на соотношение симпатической (ЯН) и парасимпатической (ИНЬ) функциональной активности.</p>	<p>Methodological peculiarities of FVD are conditioned by:</p> <p>a) short (3 sec.) contact of paired diagnostic electrode DE with symmetric representative zones and limitation of number of tests from 24 to 12;</p> <p>b) wet electrode contact with acupunctural zones (neutralizes vegetative-vascular reactions of skin);</p> <p>c) usage for electrode AE of the centralized "basic zone" (navel region, equidistant from the zones of representative contact).</p> <p>At the same time, the attention of FVD is concentrated on the bioelectrical activity of symmetrical zones-accomplices (tai-yuan, da-ling, shen-men, wang-gu, yang-chi, yang-xi, tai-bai, tai-chong, tai-xi, shu-gu, qiu-xu and chong-yang). Their individual resistance to direct current is equivalent to average resistance of other single-channel zones (J. Nakatani).</p> <p>The received in mV (mkA) data of FVD is transformed into average values. We determine the overall bioelectric activity of functional systems <i>YANG</i> and <i>YIN</i> groups, and vegetative coefficient of their interdependency (<math>k = \frac{\sum \text{YANG}}{\sum \text{YIN}}</math>). From the point of view of vegetative homeostasis, the latter points to correlation of sympathetic (<i>YANG</i>) and parasympathetic (<i>YIN</i>) functional activity.</p>
ФУНКЦИОНАЛЬНЫЕ ПРИНЦИПЫ ФВД	FUNCTIONAL PRINCIPLES OF FVD
<p>С биофизической точки зрения функциональная активность отдельных акупунктурных зон не является носителем базовой информации. А соотношение ЯН/ИНЬ синдромов непосредственно указывает на преобладание системного возбуждения (симпатическая направленность функционально-вегетативной активности), или угнетение (парасимпатическая направленность функционально-вегетативной активности).</p> <p>Это обуславливает следующие принципы ФВД:</p> <ul style="list-style-type: none"> <li>– суммарная биоэлектрическая активность репрезентативных зон группы ЯН сопоставима с симпатической активностью, а группы ИНЬ - с парасимпатической;</li> <li>– симпатичный и парасимпатический отделы ВНС на органном уровне обеспечивают биохимический кон-</li> </ul>	<p>From the biophysical point of view, functional activity of separate acupunctural zones is not a carrier of basic information. However, interrelation <i>YANG/YIN</i> syndromes directly shows the prevalence of systemic excitation (sympathetic orientation of functional-vegetative activity), or oppression (parasympathetic orientation of functional-vegetative activity).</p> <p>This conditions the following principles of FVD:</p> <ul style="list-style-type: none"> <li>– overall bioelectrical activity of representative zones of group <i>YANG</i> is comparable with sympathetic activity, and of group <i>YIN</i> – with parasympathetic;</li> <li>– sympathetic and parasympathetic divisions of VNS at organ level ensure biochemical control over systemic vege-</li> </ul>

троль за системной вегетативной равновесием (последняя в обычных условиях динамично стабильная, нарушение равновесия обусловлено преимуществом активности одного из отделов ВНС)

– соотношение ЯН и ИНЬ синдромов на биофизическом уровне характеризует функционально-вегетативное равновесие, то есть взаимозависимость функционального возбуждения и угнетения (последнее в обычных условиях динамично стабильно, нарушение функционального равновесия обусловлено преобладанием одного из синдромов)

– по своему функциональному назначению органы (системы) ЯН являются органами активного действия, а органы (системы) ИНЬ – органами накопления (покоя)

– динамично-стабильное соотношение ЯН и ИНЬ синдромов достоверно коррелирует с динамически стабильным функциональным соотношением симпатической и парасимпатической активности, то есть функционально-вегетативным равновесием;

– преобладание ЯН синдрома над ИНЬ синдромом свидетельствует о нарушении вегетативного равновесия с преобладанием симпатической активности;

– преобладание ИНЬ синдрома над ЯН синдромом свидетельствует о нарушении вегетативного равновесия с преобладанием парасимпатической активности.

И следующий логический вывод: симпатичный и парасимпатический отделы ВНС на органном уровне выступают исполнителями функционально-информационной программы вегетативного контроля. При этом последняя обусловлена вегетативными коэффициентами.

Разработанные на указанных принципах вегетативные коэффициенты ( $k$ ) указывают на соотношение симпатической и парасимпатической активности. Они рассчитаны на материалах обследования 14.304 детей и формируют заключительные функциональные диагнозы (табл. 1.1).

tative equilibrium (the latter under ordinary conditions is dynamically stable; disorder of equilibrium is conditioned by prevalence of activity of one of the divisions of VNS);

– correlation of YANG and YIN syndromes at the biophysical level characterizes the functional vegetative equilibrium, i.e. interdependency of functional excitation and oppression (the latter under ordinary conditions is dynamically stable; disorder of functional equilibrium is conditioned by prevalence of one of syndromes);

– according to functional peculiarities, YANG organs (systems) are active, whereas YIN organs (systems) – accumulative (tranquility) organs;

– dynamically-stable correlation of YANG and YIN syndromes, probably correlates with dynamically-stable functional correlation of sympathetic and parasympathetic activity, i.e. with functional-vegetative equilibrium;

– prevalence of the YANG syndrome over YIN syndrome testifies to disorder of vegetative equilibrium with a prevalence of sympathetic activity;

– prevalence of the YIN syndrome over YANG syndrome testifies to disorder of vegetative equilibrium with a prevalence of parasympathetic activity.

And, the following logical conclusion: Sympathetic and parasympathetic divisions of VNS at organ level act as the executives of functional-informational program of vegetative control. At the same time, the latter is conditioned by vegetative coefficients.

The developed on the mentioned principles vegetative coefficients ( $k$ ) point to a correlation of sympathetic and parasympathetic activity (tab.1.1). They have been calculated according to the data of examination of 14.304 children and form final functional diagnoses.

#### **БИОЭНЕРГЕТИЧЕСКИЕ ПРИНЦИПЫ ФВД**

Теперь обратим внимание на неизвестные ранее биофизические феномены, которые обеспечивают стабильность ФВД. И начнем со следующего.

#### **BIOENERGETIC PRINCIPLES OF FVD**

Now let's draw your attention to previously unknown biophysical phenomena that ensure stability of FVD. And we start with the following.

Реальность природных генераторов энергии обусловлена двумя базовыми положениями.

1. Биоэлектрические явления (процессы распределения и транспорта электрических зарядов) обусловлены наличием в живых тканях большого количества фиксированных (заряженные группы биомакромолекул) и подвижных (свободные электроны и ионы) электрических зарядов.

Таблица 1.1

**ЗОНА КОНТРОЛЯ ВЕГЕТАТИВНЫХ  
КОЭФФИЦИЕНТОВ**

к-ВР	ЗОНЫ ВЕГЕТАТИВНЫХ НАРУШЕНИЙ	СИМВОЛ ЗОНЫ
до 0,75	Зона значительной парасимпатикотонии	ПА-з
0,76-0,86	Зона выраженная парасимпатикотонии	ПА-в
0,87-0,94	Зона функциональной компенсации ПА	ФкП
0,95-1,05	Зона вегетативного равновесия	ВР
1,06-1,13	Зона функциональной компенсации СА	ФкС
1,14-1,26	Зона выраженной симпатикотонии	СА-в
1,26 и >	Зона значительной симпатикотонии	СА-з

2. Биологические системы являются естественными генераторами, способными обеспечить транспорт свободных зарядоносителей в искусственно созданный внешний контур.

Для реализации биологического источника энергии нужно три составляющие:

- а) биологическая система (природный генератор энергии)
- б) химически инертные электроды донор электронов (ДЭ) - поставщик зарядоносителей в функциональные системы через акупунктурные зоны и акцептор электронов (АЭ) - приемник свободных зарядоносителей через акупунктурные зоны;
- в) внешний контур с прибором контролю, контактирующий с электродами ДЭ и АЭ.

Источник энергии для ФВД – способность биологических систем генерировать ток в замкнутый контур. Таким образом диагностическим фактором выступает направленный транспорт свободных электронов, перераспределение которых обуславливает энергоинформационные трансформа-

Reality of natural generators of energy is conditioned by two basic positions.

1. Bioelectrical phenomena (processes of distribution and transport of electric charges) are conditioned by the presence in living tissues of a great number of fixed (charged groups of bio macromolecules) and mobile (free electrons and ions) electric charges.

Table 1.1

**ZONE OF ATTENTION OF VEGETATIVE  
COEFFICIENTS**

VALUE of k	ZONE OF FUNCTIONAL ATTENTION	SYMBOL OF ZONE
to 0,75	syndrome of significant parasympathetic prevalence	PA-s
0,76-0,86	syndrome of significant parasympathetic prevalence;	PA-e
0,87-0,94	zone of functional compensation of parasympathetic activity	FcP
0,95-1,05	zone of functional-vegetative equilibrium	VE
1,06-1,13	zone of functional compensation of sympathetic activity	FcS
1,14-1,26	syndrome of expressed sympathetic prevalence	SA-e
1,26 and >	syndrome of significant sympathetic prevalence	SA-s

2. Biological systems are natural generators, able to provide transport of free charge carriers into the artificially created external circuit.

For realization of biological source of energy, only three components are needed:

- a) biological system (natural generator of energy);
- b) chemically inert electrode donor of electrons (DE) – supplier of charge carriers into functional systems through acupunctural zones, and acceptor of electrons (AE) – receiver of free charge carriers through acupunctural zones;
- c) external circuit with device for control, contacting with electrodes DE and AE.

Source of energy for FVD is the ability of biological systems to generate weak currents into closed circuit. Thus, diagnostic factor for FVD is directed transport of free charge carriers (electrons), redistribution of which conditions power-informational transformations. This part requires additional explanation, which we will

ции. Это требует дополнительного объяснения, которое мы начнем с вопроса об отношении ФАЗ кожи к биогенной генерации энергии.

Исследование их функциональной активности позволило по-новому оценить этот биофизический феномен и дать ответ на поставленный вопрос.

Так, имеют, и самое непосредственное! Что же говорит в пользу этого?

1) Движение энергоносителей через биологический объект (рис.1.8б) осуществляется от электрода ГДЕ (+) к электроду АЕ (-), не нарушая во внешнем круге известную направленность от (-) к (+). Если в цепь добавить внешний источник тока (батарею, рис.1.8а), то транспорт зарядов становится зависимым от его полярности и через объект ток проходит в "узаконенному физикой" направления от (-) к (+).

3) В цепи между двумя одноканальными ФАЗ биоэлектрическая активность на 73,4% больше, чем при контакте с ФАЗ различных функциональных систем.



Мал.1.8 Спрямованість енергоносіїв через ФАЗ

begin with the question whether there is a relation of functionally active zones (FAZ) of skin to biogenic generation of energy.

Research of their functional activity allowed to take a fresh look at this biophysical phenomenon, and giving answers to the question. They *do* have, and even direct relation! What testifies in favor of this?

1) Movement of charge carriers through a biological object (fig.1.8b) from electrode DE (+) to electrode AE (-), without violation of known direction from (-) to (+) in the external circuit. If we add external source of power (battery, fig. 1.8a) to the circuit, then the transport of charges becomes dependent on its polarity and it is streaming through the object according to "physical law" from (-) to (+).

3) In the circuit between two single-channel FAZ bioelectrical activity of the circuit is in 73,4% higher, than during the contact with FAZ of different functional systems.

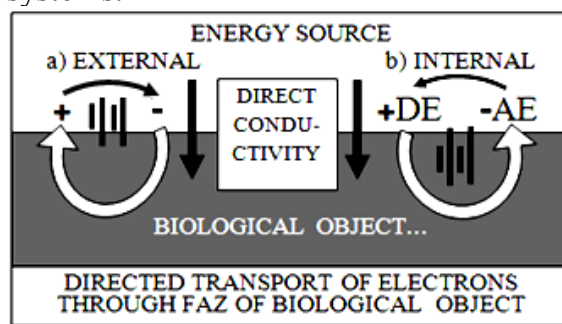


Fig.1.8 Direction of charge carriers through FAZ

ВЫВОДЫ, НА КОТОРЫЕ СЛЕДУЕТ ОБРАТИТЬ ВНИМАНИЕ	CONCLUSIONS TO PAY ATTENTION TO
<p>Специфической особенностью ФВД по методу В.Макаца является следующее.</p> <ol style="list-style-type: none"> <li>1) Отсутствие внешних источников питания (тока) при ее проведении;</li> <li>2) Биофизическое соответствие тест-сигналов, диагностическая активность которых не превышает уровней мембранных потенциалов (0,03-0,6В)</li> <li>3) Реальность технологических, методологических и биофизических особенностей ФВД;</li> <li>4) Использование неизвестных ранее феноменов асинхронности и суммарной активности симметричных функционально активных зон (ФАЗ)</li> </ol>	<p>Specific peculiarities of FVD according to Makats V. are:</p> <ol style="list-style-type: none"> <li>1) Absence of external sources of power;</li> <li>2) The biophysical relation of diagnostic signals, that do not exceed the levels of membrane potentials (0,03-0,6 V);</li> <li>3) Reality of technological, methodological and biophysical peculiarities FVD;</li> <li>4) Usage of previously unknown phenomena of asynchronicity and total activity of symmetrical functionally active zones (FAZ);</li> </ol>

5) Предметом диагностической внимани-  
я выступают уровни вегетативного  
гомеостаза и их функциональная  
продолжительность;

6) Возможность получения стабиль-  
ных диагностических результатов при  
повторных обследованиях;

7) Наличие собственной норматив-  
ной базы;

8) Отсутствие аналогов ФВД, обу-  
словленное открытием неизвестной  
ранее функционально-вегетативной  
системы;

9) Биофизическая альтернативность  
традиционной пульсовой диагностике.

10) Технология ФВД допущена к ис-  
пользованию в медицинской практике  
ученым советом МЗ Украины (прото-  
кол №1.08-01 от 11.09.94). diagnosti-  
ческие комплексы ВИТА-01-М реко-  
мендованы для практической меди-  
цины Проблемной комиссией "Новая  
медицинская техника и новые средства  
диагностики и реабилитации" (пр. №5  
от 25.12.91) и Ученым советом Мини-  
стерства здравоохранения Украины  
(пр. №1.08-01 от 11.01.94).

11) Целесообразность ФВД при об-  
следовании детей подтверждена про-  
граммой "Двух этапная система реабил-  
итации вегетативных нарушений у  
детей, проживающих в зоне экологиче-  
ского (радиационного) контроля" (вы-  
полняется согласно поручениям Каби-  
нета Министров Украины №1861/4 от  
4.04.97 и №12010/87 от 01.06.99).

5) The main focus of the diagnostics  
are the levels of vegetative homeostasis  
and their functional duration;

6) Possibility to receive stable diag-  
nostic results during repeated examina-  
tions;

7) Availability of authentic standardi-  
zation framework;

8) Absence of analogues of FVD, con-  
ditioned by discovery of previously un-  
known functional-vegetative system;

9) Biophysical alternative to tradi-  
tional pulse diagnostics...

10) FVD technology is allowed to be  
used in medical practice by the scientific  
council of the Ministry of Health of  
Ukraine (No.1.08-01 of 11.09.94). Diag-  
nostic complexes VITA-01-M are recom-  
mended for practical medicine by the  
Problem Commission "New Medical Eq-  
uipment and New Diagnostic and Reha-  
bilitation Tools" (No.5 of 25.12.91) and  
the Academic Council of the Ministry of  
Health of Ukraine (No.1.08-01 of 11.01.  
94).

11) The expediency of the FVD for the  
examination of children is confirmed by  
the program "Two-stage system of reha-  
bilitation of vegetative disorders in chil-  
dren living in the zone of environmental  
(radiation) control" performed according  
to the orders of the Cabinet of Ministers  
of Ukraine No. 1861./4 of 04.04.97 and  
No. 12010/87 of 01.06.99).





## 2. ИДЕНТИФИКАЦИЯ ГИПОТЕТИЧЕСКИХ "АКУПУНКТУРНЫХ КАНАЛОВ" КАК ПРОБЛЕМА ФУНКЦИОНАЛЬНОЙ ВЕГЕТОЛОГИИ

### 2. BIOPHYSICAL IDENTIFICATION OF "ACUPUNCTURAL CHANNELS" AS A PROBLEM OF FUNCTIONAL VEGETOLOGY

Основная проблема Восточной терапевтической философии и Западной "рефлексотерапии"! В данном разделе впервые приводится полная идентификация гипотетических "акупунктурных каналов", которая доказывает их биофизическую реальность и системную взаимозависимость ...

The main problem of Oriental Therapeutic Philosophy and Western "reflexology"! In this section for the first time the full identification of hypothetical "acupuncture channels" is presented. She discovered their biophysical reality and system interdependence ...

#### 1. БИОФИЗИЧЕСКАЯ РЕАЛЬНОСТЬ "АКУПУНКТУРНЫХ ЗОН" [6,с.225-228]

Биофизическая реальность "акупунктурных зон" (ФАЗ) сегодня не вызывает сомнения. Они существуют на поверхности кожи и внутренних органов, характеризуются низким электрическим сопротивлением (20-250 кОм), большой ёмкостью (0,1-1,0 мкФ), высоким потенциалом напряжения (до 350 мВ) и постоянной регистрацией тока (0,5-30 мкА), характеристики которых зависят от параметров внешнего электрического поля и физиологического состояния организма.

ФАЗ характеризуются интенсивным метаболизмом, повышенным поглощением CO<sub>2</sub>, инфракрасным излучением и определенной направленностью электротепловых биоэнергетических трансформаций. Они длительное время сохраняются на коже после биологической смерти.

Обнаружен феномен миграции ФАЗ (чем реже они расположены, тем на большее расстояние мигрируют). По информации исследователей, миграция наблюдается в зоне равностороннего треугольника и подтверждена инфракрасным излучением.

Суточные наблюдения зафиксировали геометрию их смещение через 12-14 часов. Проведенные в ВНИИОФ исследования выявили в области ФАЗ низкочастотные (0,1-15 Гц) сигналы, интенсивность которых падала при выходе датчика из зоны и имела анизотропный характер (*данные нейтральных участков были изотропные и имели характер спектрального шума*).

Вместе с этим, синхронные сигналы одних и тех же ФАЗ имели разные спектральные портреты, а факторы влияния вызвали существенное изменение их параметров по амплитуде и

#### 1. THE BIOPHYSICAL REALITY OF "ACUPUNCTURAL ZONES" [6,с.225-228]

The biophysical reality of "acupunctural zones" (FAZ) is undeniable today. They are in the surface of skin and internal organs, are characterized by low electric resistance (20-250 kOhm), high capacity (0,1-1,0 mcF), high potential (to 350 mV) and by constant registration of current (0,5-30 mcA), characteristics of which depend on the parameters of external electric field and physiological state of the organism.

FAZ is characterized by intensive metabolism, increased absorption of CO<sub>2</sub>, infrared radiation and certain direction of electro-heat bioenergy-based transformations. For some time, they remain in the skin after biological death.

Phenomenon of migration of FAZ was detected (*the more rarely they are located, the far they migrate*). According to information from some researchers, migration is observed in the zone of equilateral triangle and is confirmed by infrared radiation.

Daily observations registered the geometry of their shift in 12-14 hours. Performed researches found in the area of FAZ low frequency (0,1-15 Hz) electric signals, intensity of which sharply decreased during the withdrawal of indicator from the zone and had anisotropic character (*data from neutral areas were isotropic and had the character of spectral noise*).

Additionally, synchronous signals of the same FAZ had different spectral portraits, and the causes of influence produced a significant change of their parameters in amplitude and spectral composi-

спектральному составу. При этом сигналы с нейтральных зон оставались практически неизменными, что подтверждает наличие в биологических объектах специфической информационной системы, рецепторами которой (трансформаторами) являются ФАЗ.

Биофизические характеристики ФАЗ зависят от биоритмов и внешней среды. Они провоцируются светом, звуком, изменением погоды, магнитными всплесками, зависят от космического излучения и фазы Лунной и Солнечной активности, физического и эмоционального напряжения.

Функциональная патология и стрессовые ситуации сопровождаются повышением электрической проводимости, нормализация которой коррелирует с оздоровлением, то есть активность ФАЗ зависит от функционального состояния организма и существенно отличается между собой.

Интересна информация Новосибирского НИИ экспериментальной медицины о фотопроводимости ФАЗ в зоне 0,35 мк УФ. При этом зафиксировано сквозное перемещение положительных зарядов с активностью 10-4 см.Г/с. Формируется уверенность, что синхронизация колебательных процессов различной энергетической природы функционально объединяет организм и окружающую среду в одну целостную систему.

Такой механизм должен быть универсальным и доступным пониманию зависимости функционального состояния организма от Солнечной активности, напряжения геомагнитного поля и поляризационного эффекта (*отраженного Луной солнечного сияния*). Кроме того установлено, что активность ФАЗ закономерно меняется в течение суток, повторяя фазы электромагнитных возмущений Солнца и Луны....

На канонической глубине ФАЗ регистрируют потенциалы действия продолжительностью 0,3-0,5 Мс, амплитудой 300-900 мкВ и динамикой текущей частоты 0,5-100 Гц. Следует отметить, что их биоэлектрическая активность не имеет ничего общего с электрическими мышечными или нервными явлениями. Об этом свидетельствует запись потенциалов действия с участков ушной раковины человека и животных, которая лишена мышечных волокон. Интересно, что прототип ФАЗ обнаружен у растений, не имеющих нервной системы! Они расположены дву-

tion. At the same time, signals from neutral zones remained practically stable, which confirms the presence within biological objects of specific informational system, receptors (*transformers*) of which are FAZ.

Biophysical characteristics of some FAZ depend on biorhythms and conditions of external environment. They are provoked by light, sound, weather change, magnetic splashes; depend on cosmic radiation and are vividly connected with the periods of Solar and Lunar activity, physical and emotional tension.

Functional pathology and stressful situations are accompanied by the increase of electric conductivity, normalization of which is correlated with health improvement, i. e. activity of FAZ depends on functional state of organism and significantly differs between each other.

Very interesting is the information of Novosibirsk National Research Institute of experimental medicine about photoconductivity of FAZ in the zone of 0,35 mc UV. At the same time through-movement of positive charges with the activity of 10<sup>-4</sup> cm.g/s was registered. We may be certain, that synchronization of the oscillation processes of different energy nature functionally combines organism and external environment into one integral system.

This kind of mechanism must be universal and comprehensible in order to understand the dependency of functional state of organism on Solar activity, tension of geomagnetic field and polarizing effect (*reflection of sunlight by the Moon*). Additionally, it has been established, that activity of FAZ appropriately changes throughout the day repeating the staging electro-magnetic agitation of Sun and Moon.

At the canonical depth FAZ register potentials of action with the duration of 0,3-0,5 Ms, amplitude of 300-900 mcV and dynamics of running frequency of 0,5-100 Hz. It should be noted, that their bioelectrical activity has nothing in common with electric muscular or nervous phenomena. The proof is the record of potentials of action from the areas of internal auricle of human and animal samples, which were deprived of muscle fiber. The most interesting is that the prototype of FAZ was found in plants, which have no nervous system! They are located in two rows parallel to medial line of leaf and



мя рядами параллельно средней линии листа и по его краю и биофизически аналогичны ФАЗ человека.

В свое время мы зафиксировали биофизические особенности пигментных пятен (родинок). Как и в области акупунктурных зон, в центре пигментных пятен отмечается снижение сопротивления, значительная асимметрия обратной электропроводимости и направленная биоэлектрическая активность между отдельными пигментными образованиями. Обнаруженные динамические особенности их активности на коже, вместе с известной способностью меланина стабилизировать радикалы и участвовать в электронном транспорте, указывают на биофизическую аналогию и энергетическую сущность указанных феноменов.

Остается открытым "больной вопрос" о биофизической реальности "акупунктурных каналов"!

along its edges, and biophysically analogical to FAZ of the human beings.

In due time, weird biophysical peculiarities of pigment spots (*moles, birthmarks and nevuses*) were registered. Just as in the area of acupunctural zones, in the center of pigment spots the decrease of electric resistance has been constantly registered, as well as significant asymmetry of recurrent electro conductivity and presence of directed bio-electrical activity between separate pigment compositions. The disclosure of dynamic peculiarities of their existence in skin, together with known ability of melanin to stabilize radicals and take part in transport of electrons, testify to biophysical relationship and energy essence of the mentioned phenomena.

It remains to be seen the "painful question" about the biophysical reality of "acupuncture channels"!

<b>2. БИОФИЗИЧЕСКАЯ РЕАЛЬНОСТЬ "АКУПУНКТУРНЫХ КАНАЛОВ"</b>	<b>2. THE BIOPHYSICAL REALITY OF "ACUPUNCTURAL CHANNELS"</b>
--	--

<b>МЕТОДОЛОГИЯ ИДЕНТИФИКАЦИИ</b>	<b>IDENTIFICATION METHODOLOGY</b>
----------------------------------	-----------------------------------

Легенды о "акупунктурных каналах" на протяжении веков разделявшие терапевтическую философию Востока и Запада, сегодня перестали быть экзотическим тайной! Методология идентификации на основе функционально-вегетативной диагностики позволила доказать их биофизическую реальность и выявить неизвестную ранее функционально-вегетативную систему человека [3, с.75; 6, с.123].

Для понимания методологии "Идентификации акупунктурных каналов", рассмотрим результаты 24-х функционально-вегетативных диагностик, проведенных по методу В.Г.Макаца. Последовательность их размещения в таблице 2.1 хаотична с соответствующим положением сопутствующих значений активности отдельных каналов.

Принципиальным моментом идентификации акупунктурных каналов выступает вертикально упорядоченная динамика (по возбуждению, или угнетению) активности выбранного для анализа канала, которая обуславливает соответствующее горизонтальное расположение зависимых системных рядов.

Теперь на отдельных примерах разберемся с результатами использования

Legends about hypothetical "acupunctural channels", which during centuries separated therapeutic philosophies of the East and West have been disclosed! Methodology of identification, based on functional-vegetative diagnostics (according to V. Makats), allowed proving their biophysical reality and to reveal previously unknown functional-vegetative system of human [3,c.75; 6,c.123].

In order to understand the methodology for the "Identification of acupunctural channels", let us observe the results of 24 functional diagnostics (FVD) that were conducted according to the method of V.G. Makats. The sequence of their location within the table 2.1 is random, with the corresponding value of the activity of separate channels.

The principle moment in the identification of acupunctural channels is in the vertically arranged dynamics (with regard to excitation or oppression) of the activity of the selected channel for the analysis, which conditions corresponding horizontal arrangement of the dependent systemic rows.

Let us use examples to clarify the outcomes of the elaborated methodology.

разработанной методологии ...

**Пример-1.**

Рассмотрим базовую табл.2.1. Активность акупунктурных каналов (LU-LI-ST-SR-HT-SI-BL-KI-PC-TE-GB-LR) представлена в порядке проведенных диагностик (ФВД №1-24). На примере хаотичной ( $\pm$ ) активности канала **BL** видим их неупорядоченную последовательность. В этих условиях "акупунктурные каналы" идентифицировать невозможно (рис.2.1).

Таблица 2.1  
Упорядоченная по очередности проведенных ФВД (хаотичная по активности канала  $\pm$ BL).

№	$\pm$ BL	GB	ST	SP	LR	KI	SI	TE	LI	LU	PC	HT
1	-6,42	-0,13	-0,12	-2,48	0,23	0,46	0,70	1,86	1,71	1,78	1,39	1,22
2	5,48	-0,64	-1,01	4,17	-0,99	-0,30	-1,32	-1,95	-1,79	-0,74	-0,38	-0,36
3	-0,50	-0,02	0,00	-0,34	0,11	0,47	-0,09	-0,19	-0,10	0,31	0,35	0,32
4	0,39	-0,20	-0,06	0,43	-0,03	0,57	-0,26	-0,76	-0,53	0,14	0,16	0,22
5	-8,32	-0,94	0,82	-2,61	0,35	-0,70	1,38	3,24	1,70	1,83	1,98	1,37
6	6,53	-0,69	-1,24	4,03	-0,95	-0,21	-1,48	-2,23	-2,18	-0,80	-0,28	-0,34
7	-1,47	0,09	0,15	-0,83	0,19	0,61	-0,14	0,17	0,11	0,48	0,50	0,43
8	9,47	-0,82	-1,75	6,80	-1,69	-0,13	-2,65	-2,77	-2,71	-1,62	-0,92	-0,95
9	-3,46	0,15	0,14	-1,83	0,27	0,70	0,14	0,83	0,81	0,95	0,79	0,79
10	8,45	-0,57	-1,36	5,38	-1,33	-0,40	-1,85	-2,49	-2,16	-1,45	-0,97	-1,00
11	-7,34	-0,62	-0,47	-3,64	-0,55	-0,20	1,45	3,43	2,95	2,20	1,59	1,44
12	1,49	-0,28	-0,37	1,16	-0,27	0,23	-0,38	-0,93	-0,67	-0,01	0,05	0,07
13	-4,45	0,23	0,13	-2,30	0,39	0,44	0,28	1,55	1,26	1,39	0,80	0,62
14	15,5	-1,67	-2,56	9,21	-2,63	-1,48	-1,73	-3,48	-3,34	-2,78	-2,32	-2,48
15	-2,49	0,10	0,01	-1,43	0,23	0,52	0,03	0,70	0,54	0,73	0,66	0,60
16	10,5	-1,40	-1,22	6,44	-1,38	-0,24	-2,41	-2,77	-2,85	-1,25	-1,39	-1,81
17	-9,33	0,75	0,21	-0,92	0,85	-1,86	2,74	1,60	1,65	2,02	0,98	1,62
18	2,46	-0,43	-0,57	1,68	-0,58	0,06	-0,36	-1,27	-0,96	0,02	0,05	0,03
19	-10,0	2,91	3,85	-0,67	-1,69	-2,89	-3,46	4,87	7,42	-6,08	7,81	-1,63
20	-5,44	0,02	-0,03	-2,63	0,30	0,82	0,38	1,39	1,37	1,75	1,45	0,88
21	3,45	-0,50	-0,52	2,23	-0,50	0,18	-0,60	-1,65	-1,33	-0,31	-0,20	-0,12
22	7,48	-1,00	-1,11	5,10	-1,22	-0,28	-1,87	-2,34	-2,07	-1,12	-0,75	-0,63
23	4,47	-0,68	-0,93	3,12	-0,71	-0,15	-0,86	-1,81	-1,54	-0,43	-0,18	-0,12

**Example-1.**

Let us observe basic table. The activity of its acupunctural channels (LU-LI-ST-SR-HT-SI-BL-KI-PC-TE-GB-LR) is represented in the series of performed diagnostics (FVD) №1-24. Table 2.1 is random, disordered by **BL**. ... Acupunctural channels are not identified (fig.2.1)

Table 2.1  
Is organized in the order of FVD (data of individual diagnostics disordered (random) by  $\pm$ BL activity).

При хаотичной ( $\pm$ BL) последовательности проведенных диагностик (ФВД) идентификация "акупунктурных каналов" невозможна (табл.2.1, рис.2.1.).

In the chaotic ( $\pm$ BL) sequence of performed diagnostics (FVD) the identification of "acupuncture channels" is impossible (tab.2.1, fig.2.1.).

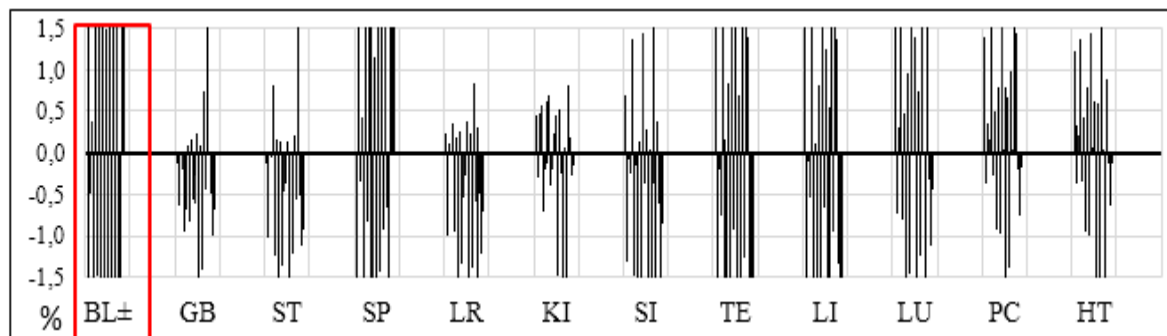


Рис.2.1 Идентификация каналов при  $\pm$ BL невозможна

Fig.2.1 Identification of channels at  $\pm$ BL is impossible

**Пример-2.**

На основе базовой табл.2.1, "акупунктурный канал"  $\pm$ BL упорядочен

**Example-2.**

On the basis of the main table 2.1, the activity of the channel  $\pm$ BL is ordered ac-

по росту его активности (табл. 2.2). В данном случае наступает идентификация акупунктурных каналов (рис.2.2)! Возникает вопрос о реальности межсистемной зависимости и возможность её дальнейшей идентификации ...

according to the growth of its activity (tab.2.2). In this case appears the identification of "acupunctural channels" (fig. 2.2)! Here, the question appears about the reality of intersystem dependency and the possibility of its further identification...

Таблица 2.2  
Таблица №2.1 упорядоченная по возрастанию активности канала +BL

Table 2.2  
Data in the table 2.1 arranged according to the growth of the activity of the channel+BL

№	+BL	GB	ST	SP	LR	KI	SI	TE	LI	LU	PC	HT
19	-10,0	2,91	3,85	-0,67	-1,69	-2,89	-3,46	4,87	7,42	-6,08	19	-10,0
17	-9,33	0,75	0,21	-0,92	0,85	-1,86	2,74	1,60	1,65	2,02	17	-9,33
5	-8,32	-0,94	0,82	-2,61	0,35	-0,70	1,38	3,24	1,70	1,83	5	-8,32
11	-7,34	-0,62	-0,47	-3,64	-0,55	-0,20	1,45	3,43	2,95	2,20	11	-7,34
1	-6,42	-0,13	-0,12	-2,48	0,23	0,46	0,70	1,86	1,71	1,78	1	-6,42
20	-5,44	0,02	-0,03	-2,63	0,30	0,82	0,38	1,39	1,37	1,75	20	-5,44
13	-4,45	0,23	0,13	-2,30	0,39	0,44	0,28	1,55	1,26	1,39	13	-4,45
9	-3,46	0,15	0,14	-1,83	0,27	0,70	0,14	0,83	0,81	0,95	9	-3,46
15	-2,49	0,10	0,01	-1,43	0,23	0,52	0,03	0,70	0,54	0,73	15	-2,49
7	-1,47	0,09	0,15	-0,83	0,19	0,61	-0,14	0,17	0,11	0,48	7	-1,47
3	-0,50	-0,02	0,00	-0,34	0,11	0,47	-0,09	-0,19	-0,10	0,31	3	-0,50
4	0,39	-0,20	-0,06	0,43	-0,03	0,57	-0,26	-0,76	-0,53	0,14	4	0,39
12	1,49	-0,28	-0,37	1,16	-0,27	0,23	-0,38	-0,93	-0,67	-0,01	12	1,49
18	2,46	-0,43	-0,57	1,68	-0,58	0,06	-0,36	-1,27	-0,96	0,02	18	2,46
21	3,45	-0,50	-0,52	2,23	-0,50	0,18	-0,60	-1,65	-1,33	-0,31	21	3,45
23	4,47	-0,68	-0,93	3,12	-0,71	-0,15	-0,86	-1,81	-1,54	-0,43	23	4,47
2	5,48	-0,64	-1,01	4,17	-0,99	-0,30	-1,32	-1,95	-1,79	-0,74	2	5,48
6	6,53	-0,69	-1,24	4,03	-0,95	-0,21	-1,48	-2,23	-2,18	-0,80	6	6,53
22	7,48	-1,00	-1,11	5,10	-1,22	-0,28	-1,87	-2,34	-2,07	-1,12	22	7,48
10	8,45	-0,57	-1,36	5,38	-1,33	-0,40	-1,85	-2,49	-2,16	-1,45	10	8,45
8	9,47	-0,82	-1,75	6,80	-1,69	-0,13	-2,65	-2,77	-2,71	-1,62	8	9,47
16	10,5	-1,40	-1,22	6,44	-1,38	-0,24	-2,41	-2,77	-2,85	-1,25	16	10,5
14	15,5	-1,67	-2,56	9,21	-2,63	-1,48	-1,73	-3,48	-3,34	-2,78	14	15,5

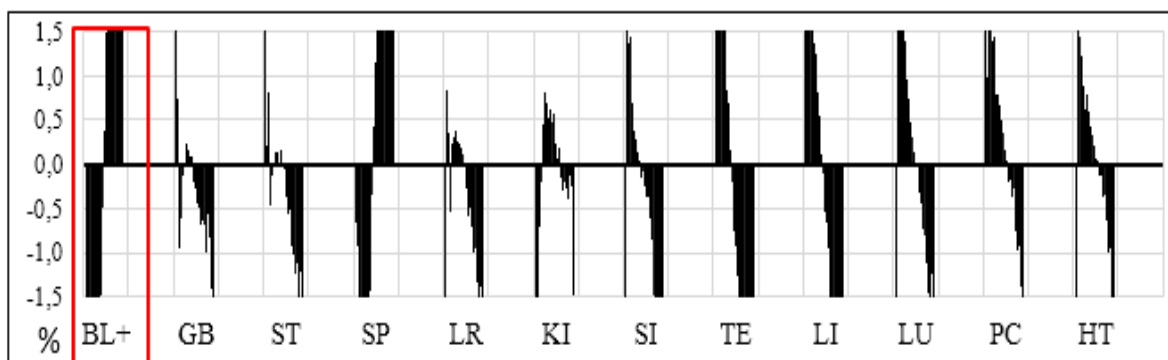


Рис.2.2 Идентификация "акупунктурных каналов" (упорядоченное возбуждение BL)

Fig.2.2 Identification of "acupunctural channels" during the excitation of BL

Возникает вопрос о реальности идентификации системной зависимости в случае угнетения активности канала BL.

The question appears about the reality of identification of system dependency in the case of oppression of activity on the mentioned channel BL.

**Пример-3.**

**Example-3.**

На основе базовой табл.2.1, акупунктурный канал -BL упорядочен по мере угнетению его активности (табл. 2.3). В данном случае наступает идентификация "акупунктурных каналов" (рис.2.3)! Возникает вопрос о реальности межсистемной зависимости и воз-

On the basis of the basic table 2,1 the activity of the channel BL is ordered according to the growth of its activity (tab.2.3). In this case appears the identification of "acupunctural channels" (fig.2.3)! Here, the question appears about the reality of intersystem dependen-

возможность ее дальнейшей идентификации ...

cy and the possibility of its further identification...

Таблица 2.3  
Результаты таблицы 2.1 упорядочены по угнетению активности канала –BL.

Table 2.3  
Data of the table 2.1 is arranged according to the activity regression of –BL.

№	–BL	GB	ST	SP	LR	KI	SI	TE	LI	LU	PC	HT
14	15,5	-1,67	-2,56	9,21	-2,63	-1,48	-1,73	-3,48	-3,34	-2,78	-2,32	-2,48
16	10,5	-1,40	-1,22	6,44	-1,38	-0,24	-2,41	-2,77	-2,85	-1,25	-1,39	-1,81
8	9,47	-0,82	-1,75	6,80	-1,69	-0,13	-2,65	-2,77	-2,71	-1,62	-0,92	-0,95
10	8,45	-0,57	-1,36	5,38	-1,33	-0,40	-1,85	-2,49	-2,16	-1,45	-0,97	-1,00
22	7,48	-1,00	-1,11	5,10	-1,22	-0,28	-1,87	-2,34	-2,07	-1,12	-0,75	-0,63
6	6,53	-0,69	-1,24	4,03	-0,95	-0,21	-1,48	-2,23	-2,18	-0,80	-0,28	-0,34
2	5,48	-0,64	-1,01	4,17	-0,99	-0,30	-1,32	-1,95	-1,79	-0,74	-0,38	-0,36
23	4,47	-0,68	-0,93	3,12	-0,71	-0,15	-0,86	-1,81	-1,54	-0,43	-0,18	-0,12
21	3,45	-0,50	-0,52	2,23	-0,50	0,18	-0,60	-1,65	-1,33	-0,31	-0,20	-0,12
18	2,46	-0,43	-0,57	1,68	-0,58	0,06	-0,36	-1,27	-0,96	0,02	0,05	0,03
12	1,49	-0,28	-0,37	1,16	-0,27	0,23	-0,38	-0,93	-0,67	-0,01	0,05	0,07
4	0,39	-0,20	-0,06	0,43	-0,03	0,57	-0,26	-0,76	-0,53	0,14	0,16	0,22
3	-0,50	-0,02	0,00	-0,34	0,11	0,47	-0,09	-0,19	-0,10	0,31	0,35	0,32
7	-1,47	0,09	0,15	-0,83	0,19	0,61	-0,14	0,17	0,11	0,48	0,50	0,43
15	-2,49	0,10	0,01	-1,43	0,23	0,52	0,03	0,70	0,54	0,73	0,66	0,60
9	-3,46	0,15	0,14	-1,83	0,27	0,70	0,14	0,83	0,81	0,95	0,79	0,79
13	-4,45	0,23	0,13	-2,30	0,39	0,44	0,28	1,55	1,26	1,39	0,80	0,62
20	-5,44	0,02	-0,03	-2,63	0,30	0,82	0,38	1,39	1,37	1,75	1,45	0,88
1	-6,42	-0,13	-0,12	-2,48	0,23	0,46	0,70	1,86	1,71	1,78	1,39	1,22
11	-7,34	-0,62	-0,47	-3,64	-0,55	-0,20	1,45	3,43	2,95	2,20	1,59	1,44
5	-8,32	-0,94	0,82	-2,61	0,35	-0,70	1,38	3,24	1,70	1,83	1,98	1,37
17	-9,33	0,75	0,21	-0,92	0,85	-1,86	2,74	1,60	1,65	2,02	0,98	1,62
19	-10,0	2,91	3,85	-0,67	-1,69	-2,89	-3,46	4,87	7,42	-6,08	7,81	-1,63

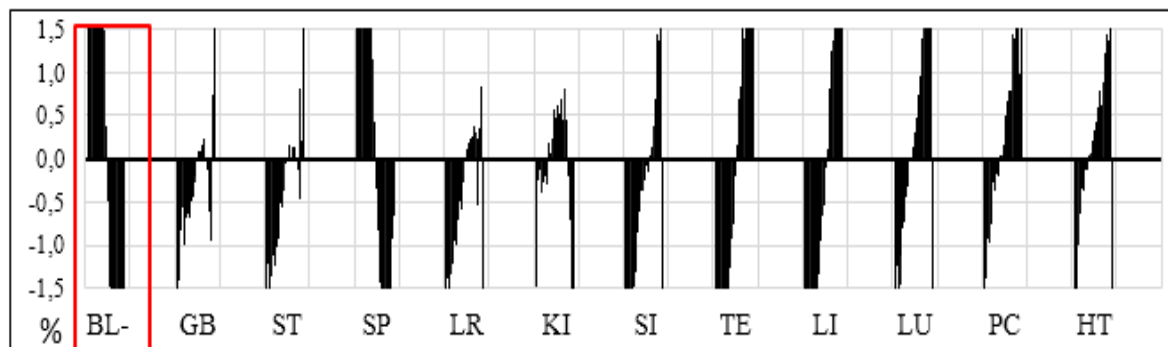


Рис.2.3 Идентификация "акупунктурных каналов при упорядоченном угнетении BL.

Fig.2.3 Identification of the "acupunctural channels" under sequential oppression BL

Приведенный материал свидетельствует о биофизической реальности гипотетических "акупунктурных каналов" и их системной взаимозависимости. Иными словами, отныне они стали биофизической системной реальностью и тысячелетняя проблема закономерно требует своего места в классической физиологии и доказательной медицине!

The represented materials directly testify to the probability of experimental identification of systemic interdependency of the hypothetical acupunctural channels. In other words, from now on, they have become a biophysical reality and the millennium-long issue fairly requires its place in classical physiology and empirical medicine!

Но давайте на основе базовой таблицы 2.1 проанализируем идентификацию остальных "акупунктурных каналов" ...

But let's look at the identification of the remaining "acupuncture channels" on the base of Table 2.1 ...

Рассмотрим три варианта их биофизической реальности на примерах хаотичной ( $\pm$ ) активности и упорядоченного возбуждения ( $+$ ) и угнетения ( $-$ ) других традиционных каналов (рис.2.4-

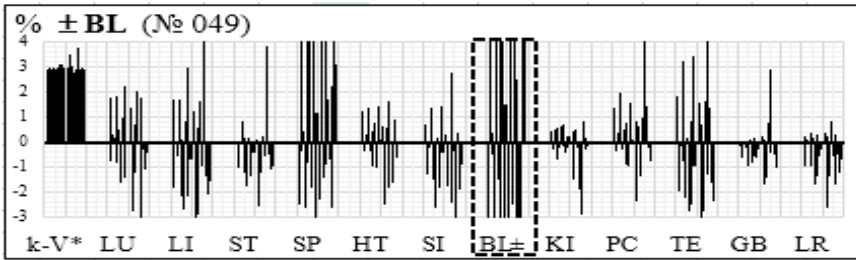
Let us have a look at the three variants of its reality in the examples of disordered ( $\pm$ ), rising activity of the channel ( $+$ ) and its oppression ( $-$ ) (fig.2.4-15)...

15) ...

При этом обращаем внимание, что данные ФВД были индивидуальные и на уровне "вегетативного равновесия» (k-V 0,95-1,05). Поэтому "вегетативная направленность" канала не подлежит анализу ...

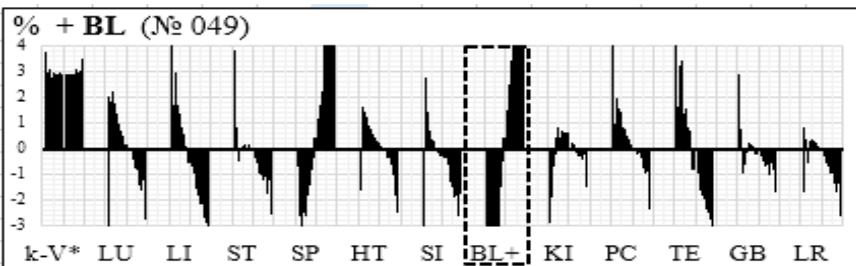
At the same time, we draw attention that the data of FVD were individual and at the level of "vegetative equilibrium" (k-V 0,95-1,05). Therefore, the "vegetative orientation" of the channels is not subject to analysis ...

<b>3. РЕАЛЬНОСТЬ СИСТЕМНОЙ ЗАВИСИМОСТИ</b>	<b>3. THE REALITY OF SYSTEM DEPENDENCE</b>
<b>ИДЕНТИФИКАЦИЯ СИСТЕМОГО ЗАВИСИМОСТИ ОТ АКТИВНОСТИ BL</b>	<b>IDENTIFICATION OF SYSTEM DEPENDENCE FROM ACTIVITY BL</b>



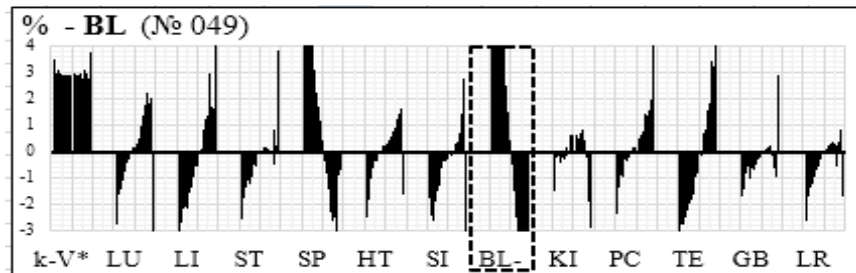
*Идентификация каналов при ±BL невозможна*

*Identification of channels at ±BL is impossible*



*Идентификация каналов при +BL*

*Identification of channels at +BL*

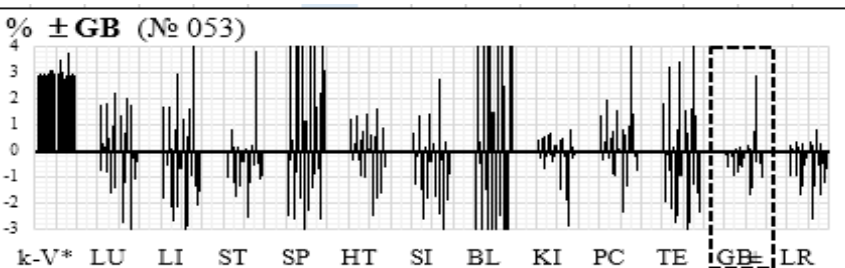


*Идентификация каналов при -BL*

*Identification of channels at -BL*

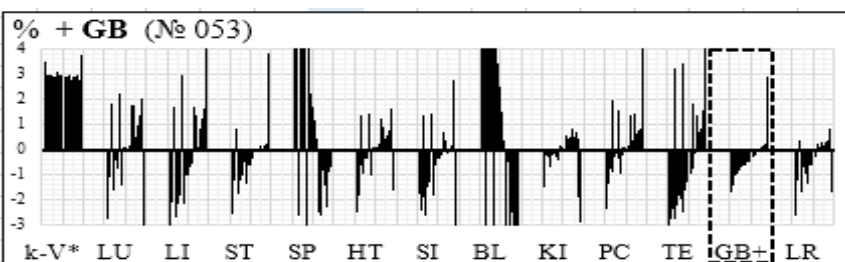
Мал. (Fig.) 2.4

<b>ИДЕНТИФИКАЦИЯ СИСТЕМОГО ЗАВИСИМОСТИ ОТ АКТИВНОСТИ GB</b>	<b>IDENTIFICATION OF SYSTEM DEPENDENCE FROM ACTIVITY GB</b>
---	---



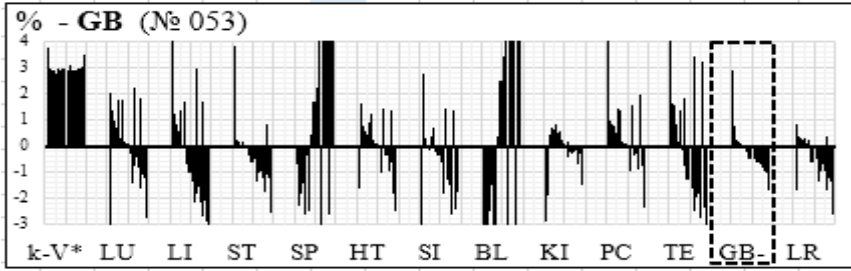
*Идентификация каналов при ±GB невозможна*

*Identification of channels at ±GB is impossible*



*Идентификация каналов при +GB*

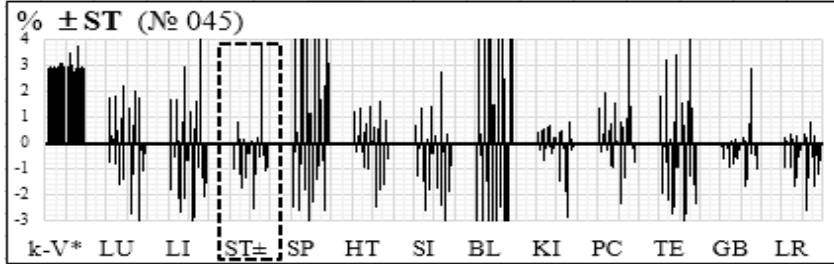
*Identification of channels at +GB*



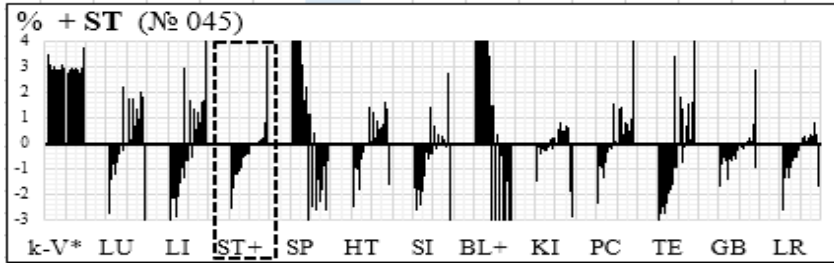
*Идентификация каналов при -GB*  
 Identification of channels at -GB

Мал. (Fig.) 2.5

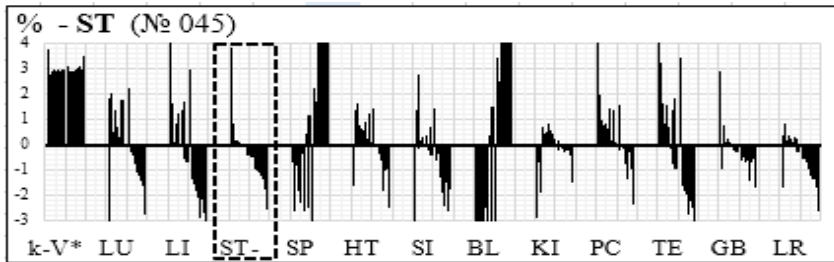
ІДЕНТИФІКАЦІЯ СИСТЕМОЇ ЗАЛЕЖНОСТІ ВІД АКТИВНОСТІ ST	IDENTIFICATION OF SYSTEM DEPENDENCE FROM ACTIVITY ST
--	---



*Идентификация каналов при ±ST невозможна*  
 Identification of channels at ±ST is impossible



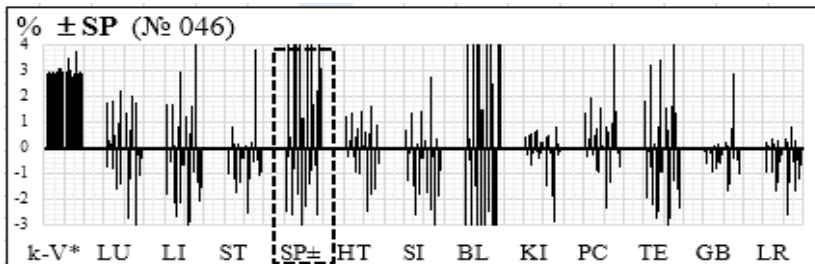
*Идентификация каналов при +ST*  
 Identification of channels at +ST



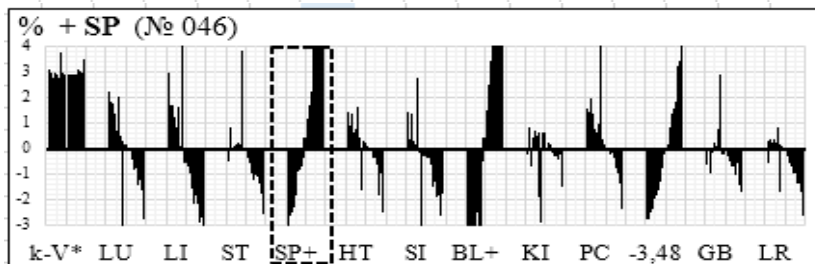
*Идентификация каналов при -ST*  
 Identification of channels at -ST

Мал. (Fig.) 2.6

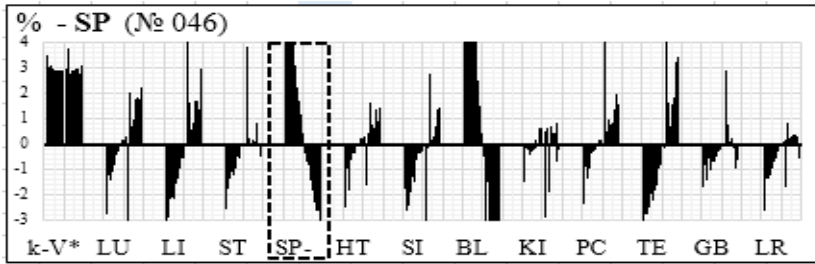
ІДЕНТИФІКАЦІЯ СИСТЕМОЇ ЗАЛЕЖНОСТІ ВІД АКТИВНОСТІ SP	IDENTIFICATION OF SYSTEM DEPENDENCE FROM ACTIVITY SP
--	---



*Идентификация каналов при ±SP невозможна*  
 Identification of channels at ±SP is impossible



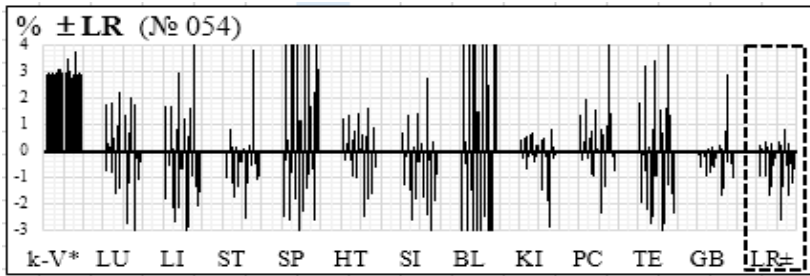
*Идентификация каналов при +SP*  
 Identification of channels at +SP



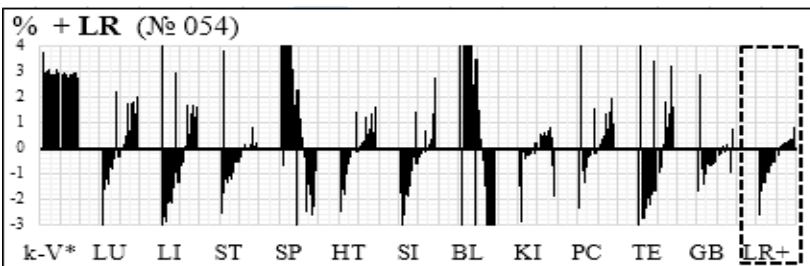
*Идентификация каналов при -SP*  
 Identification of channels at -SP

Мал. (Fig.) 2.7

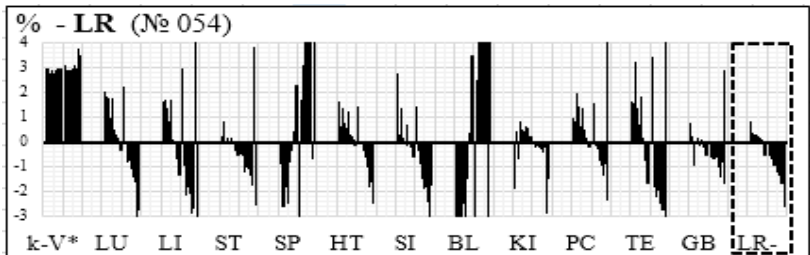
ІДЕНТИФІКАЦІЯ СИСТЕМОЇ ЗАЛЕЖНОСТІ ВІД АКТИВНОСТІ LR	IDENTIFICATION OF SYSTEM DEPENDENCE FROM ACTIVITY LR
---	--



*Идентификация каналов при ±LR невозможна*  
 Identification of channels at ±LR is impossible



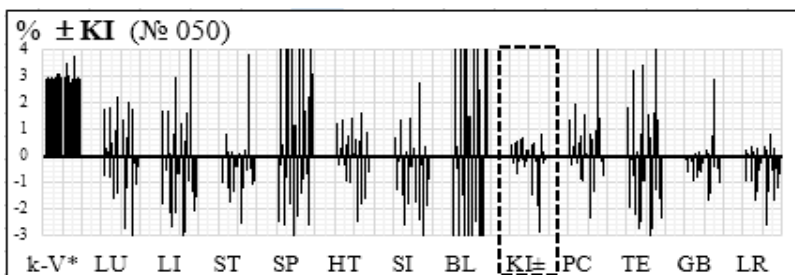
*Идентификация каналов при +LR*  
 Identification of channels at +LR



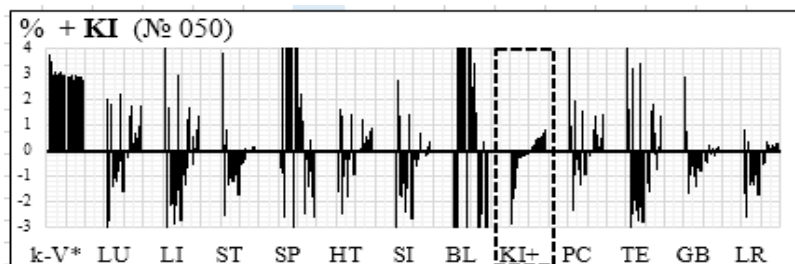
*Идентификация каналов при -LR*  
 Identification of channels at -LR

Мал. (Fig.) 2.8

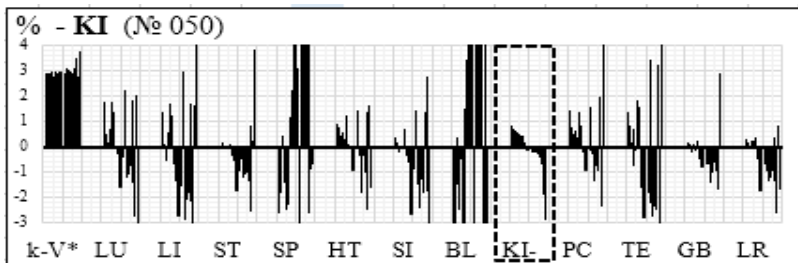
ІДЕНТИФІКАЦІЯ СИСТЕМОЇ ЗАЛЕЖНОСТІ ВІД АКТИВНОСТІ KI	IDENTIFICATION OF SYSTEM DEPENDENCE FROM ACTIVITY KI
---	--



*Идентификация каналов при ±KI невозможна*  
 Identification of channels at ±KI is impossible



*Идентификация каналов при +KI*  
 Identification of channels at +KI

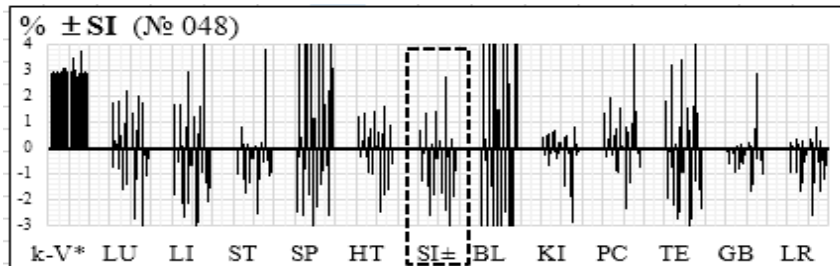


*Идентификация каналов при -KI*

Identification of channels at -KI

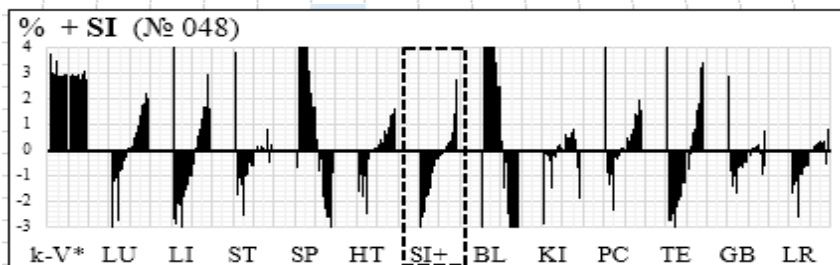
Мал. (Fig.) 2.9

ІДЕНТИФІКАЦІЯ СИСТЕМНОЇ ЗАЛЕЖНОСТІ ВІД АКТИВНОСТІ SI	IDENTIFICATION OF SYSTEM DEPENDENCE FROM ACTIVITY SI
---	---



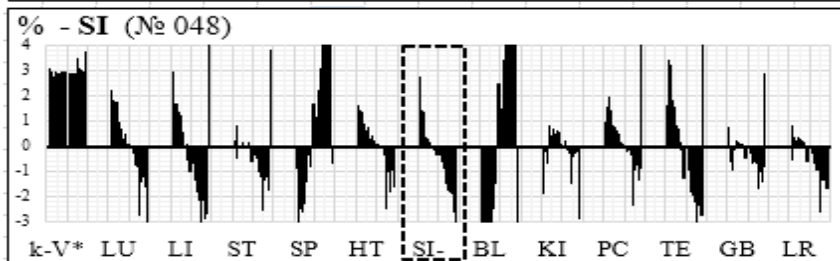
*Идентификация каналов при ±SI невозможна*

Identification of channels at ±SI is impossible



*Идентификация каналов при +SI*

Identification of channels at +SI

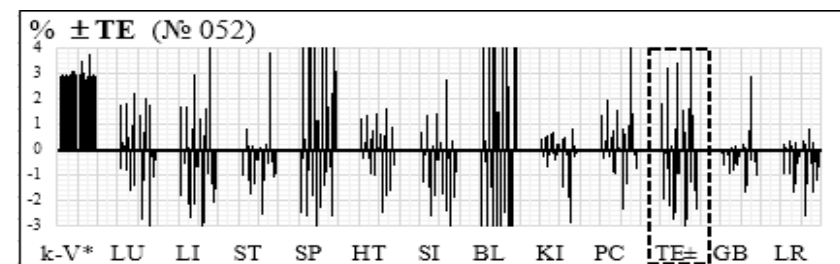


*Идентификация каналов при -SI*

Identification of channels at -SI

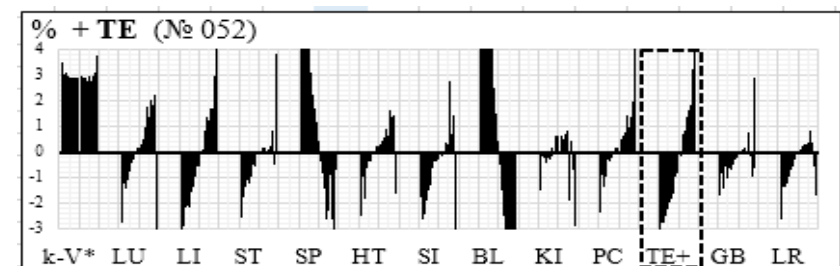
Мал. (Fig.) 2.10

ІДЕНТИФІКАЦІЯ СИСТЕМНОЇ ЗАЛЕЖНОСТІ ВІД АКТИВНОСТІ TE	IDENTIFICATION OF SYSTEM DEPENDENCE FROM ACTIVITY TE
---	---



*Идентификация каналов при ±TE невозможна*

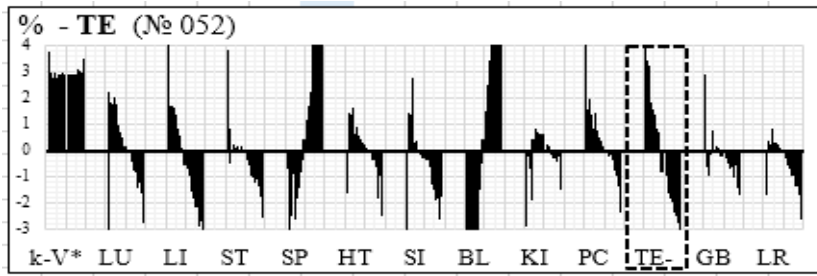
Identification of channels at ±TE is impossible



*Идентификация каналов при +TE*

Identification of channels at +TE





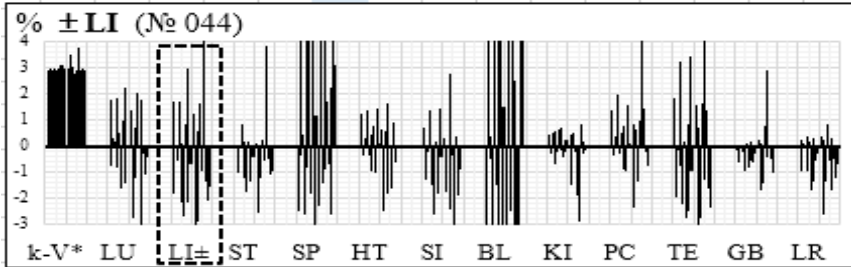
Мал. (Fig.) 2.11

Идентификация каналов при -TE

Identification of channels at -TE

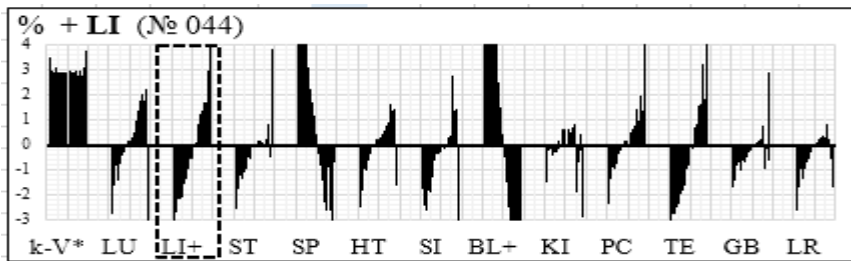
Идентифікація каналів при -TE  
Identification of channels at -TE

ІДЕНТИФІКАЦІЯ СИСТЕМОЇ ЗАЛЕЖНОСТІ ВІД АКТИВНОСТІ LI	IDENTIFICATION OF SYSTEM DEPENDENCE FROM ACTIVITY LI
---	--



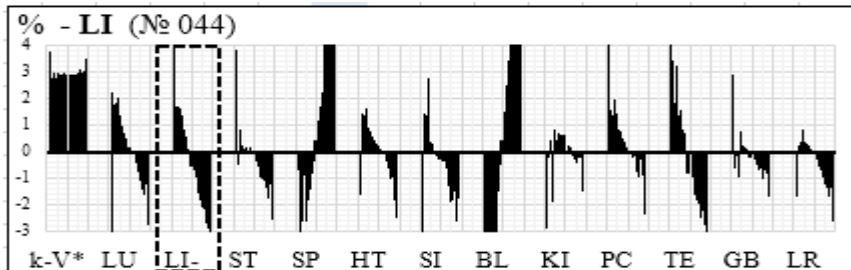
Идентификация каналов при ±LI невозможна

Identification of channels at ±LI is impossible



Идентификация каналов при +LI

Identification of channels at +LI

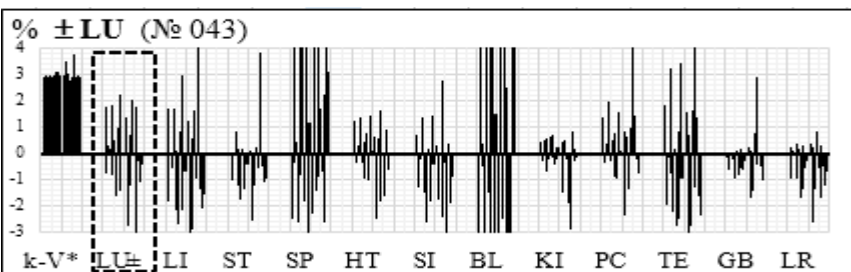


Идентификация каналов при -LI

Identification of channels at -LI

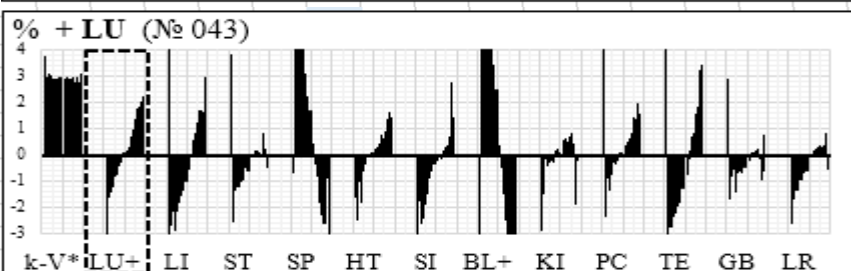
Мал. (Fig.) 2.12

ІДЕНТИФІКАЦІЯ СИСТЕМОЇ ЗАЛЕЖНОСТІ ВІД АКТИВНОСТІ LU	IDENTIFICATION OF SYSTEM DEPENDENCE FROM ACTIVITY LU
---	--



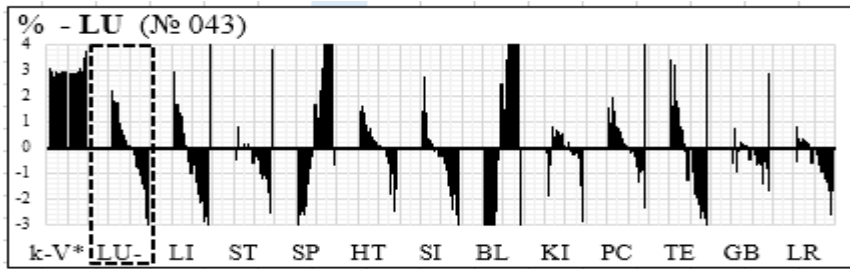
Идентификация каналов при ±LU невозможна

Identification of channels at ±LU is impossible



Идентификация каналов при +LU

Identification of channels at +LU

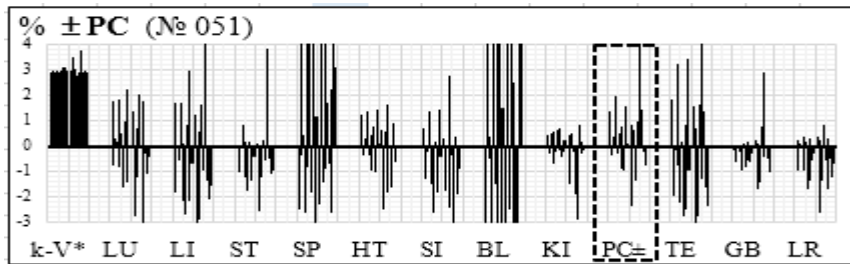


*Идентификация каналов при -LU*

Identification of channels at -LU

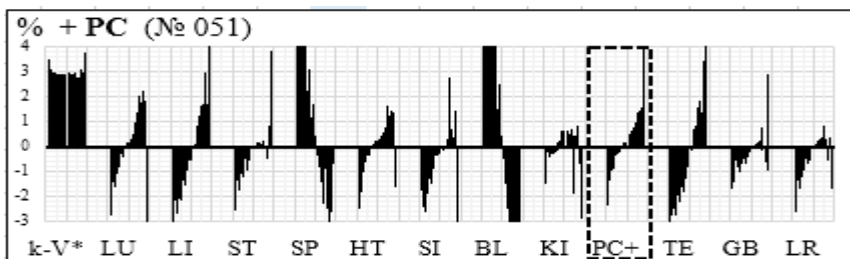
Мал. (Fig.) 2.13

ІДЕНТИФІКАЦІЯ СИСТЕМНОЇ ЗАЛЕЖНОСТІ ВІД АКТИВНОСТІ РС	IDENTIFICATION OF SYSTEM DEPENDENCE FROM ACTIVITY PC
---	---



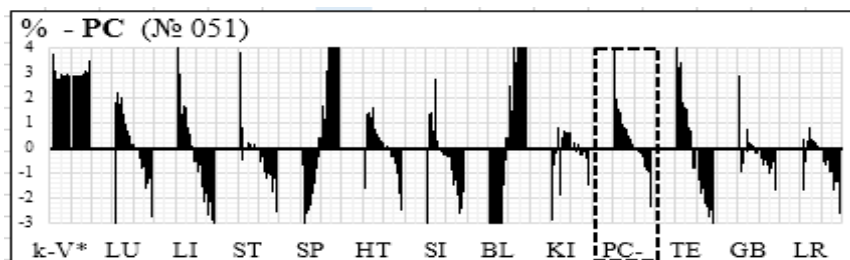
*Идентификация каналов при ±PC невозможна*

*Identification of channels at ±PC is impossible*



*Идентификация каналов при +PC*

Identification of channels at +PC

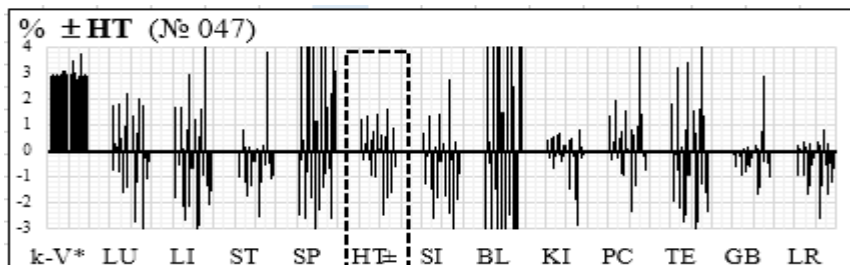


*Идентификация каналов при -PC*

Identification of channels at -PC

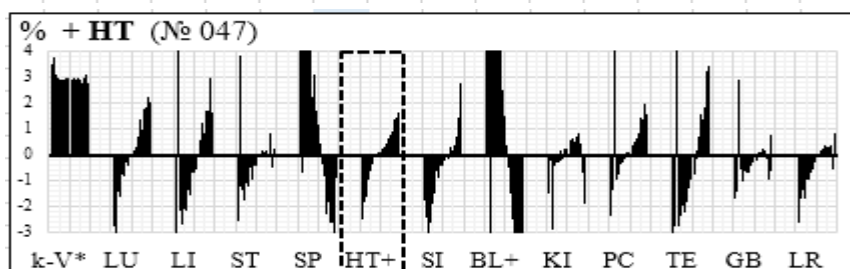
Мал. (Fig.) 2.14

ІДЕНТИФІКАЦІЯ СИСТЕМНОЇ ЗАЛЕЖНОСТІ ВІД АКТИВНОСТІ НТ	IDENTIFICATION OF SYSTEM DEPENDENCE FROM ACTIVITY NT
---	---



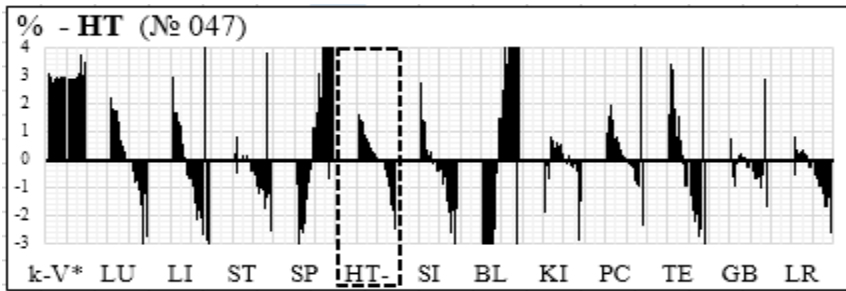
*Идентификация каналов при ±NT невозможна*

*Identification of channels at ±NT is impossible*



*Идентификация каналов при +NT*

Identification of channels at +NT



*Идентификация каналов при -HT*

Identification of channels at -HT

Мал. (Fig.) 2.15

<p><b>4. ИДЕНТИФИКАЦИЯ "АКУПУНКТУРНЫХ КАНАЛОВ" ПО ВЕГЕТАТИВНЫМ УРОВНЯМ</b></p>	<p><b>4. IDENTIFICATION OF "ACUPUNCTURAL CHANNELS" ON THE VEGETATIVE LEVEL</b></p>
<p>На биофизическую реальность "акупунктурных каналов" и системную зависимость также указывает направленная динамика их "вегетативных уровней" (рис.2.16-19) ...</p>	<p>On the biophysical reality of "acupuncture channels" and system dependence also indicates the directional dynamics of their "vegetative levels" (fig.2.16-19)...</p>
<p>ПРИ ВОЗБУЖДЕНИИ "КАНАЛОВ" WITH THE EXCITATION OF "CHANNELS"</p>	<p>ПРИ УГНЕТЕНИИ "КАНАЛОВ" WITH THE SUPPRESSION OF "CHANNELS"</p>

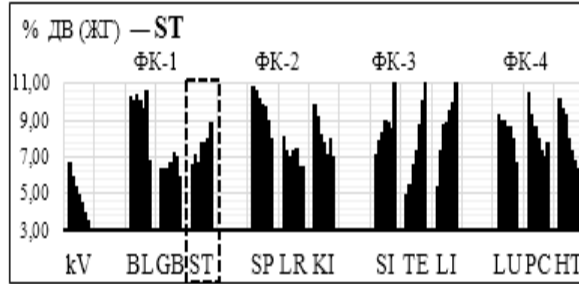
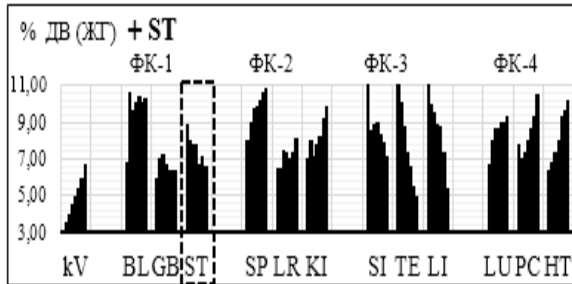
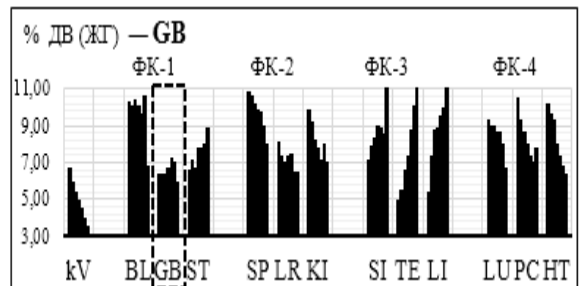
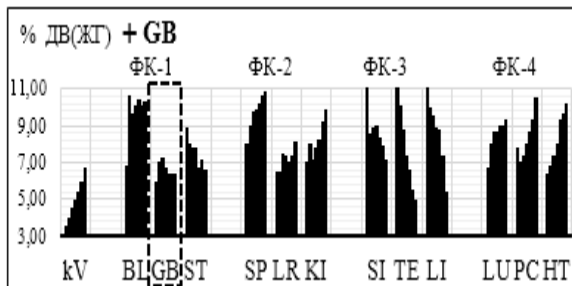
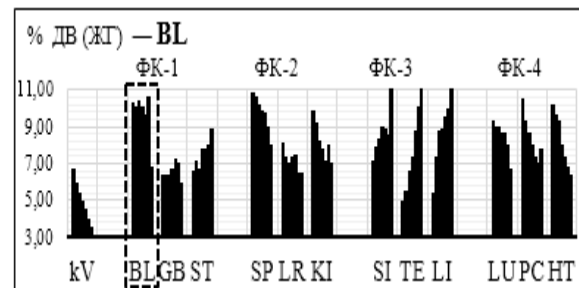
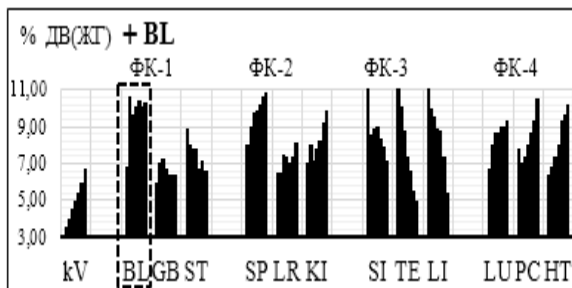
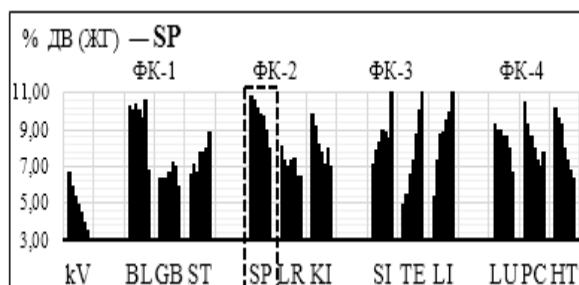
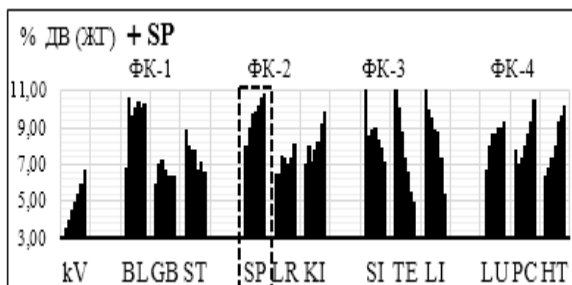


Рис.2.16 Идентификация системной зависимости "акупунктурных каналов" ФК-1  
Fig.2.16 Identification of system dependence of "acupuncture channels" FC-1



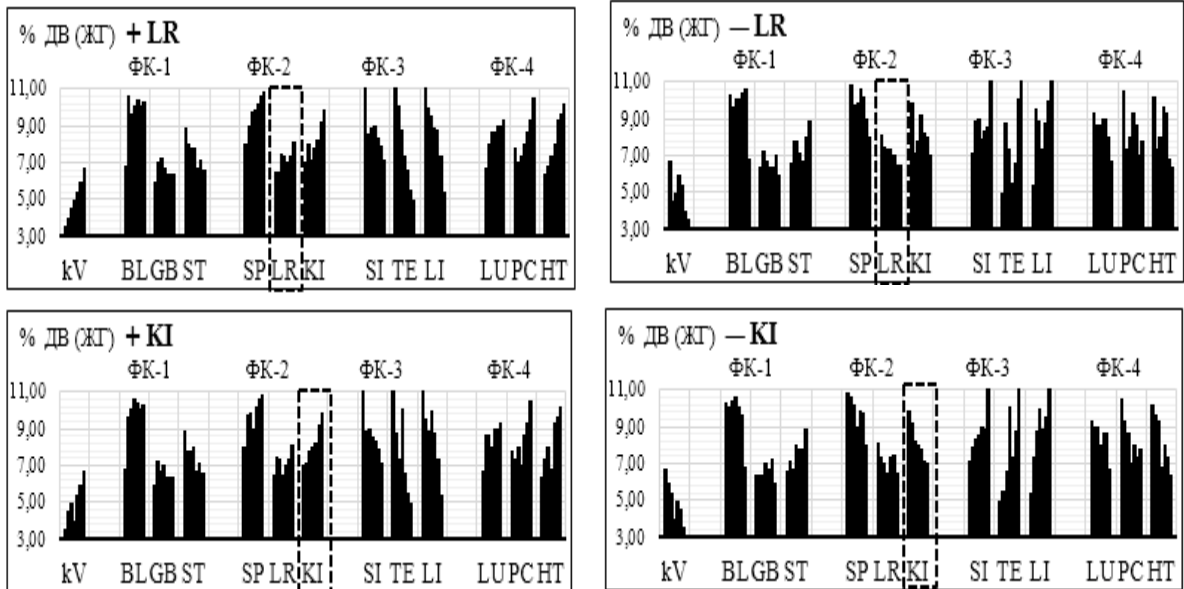


Рис.2.17 Идентификация системной зависимости "акупунктурных каналов" ΦК-2  
 Fig.2.17 Identification of system dependence of "acupuncture channels" FC-2

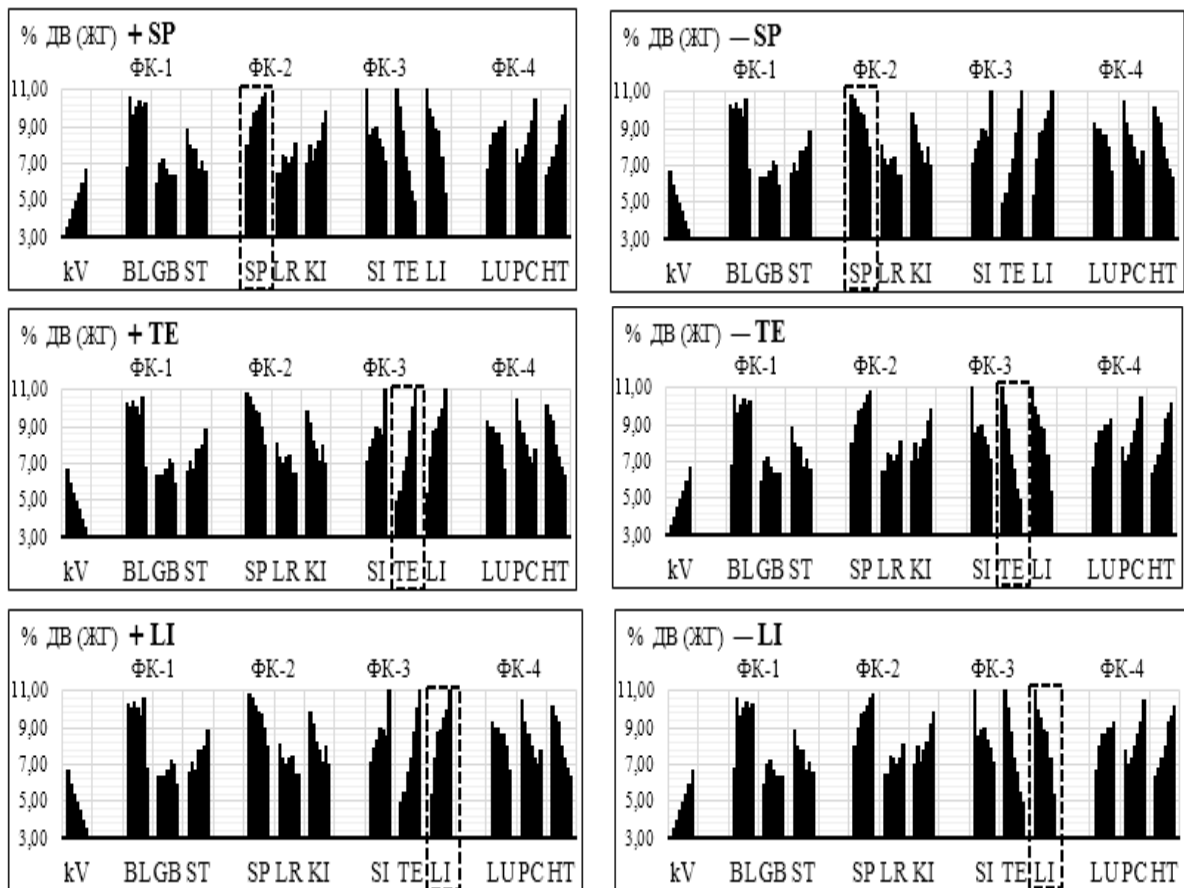
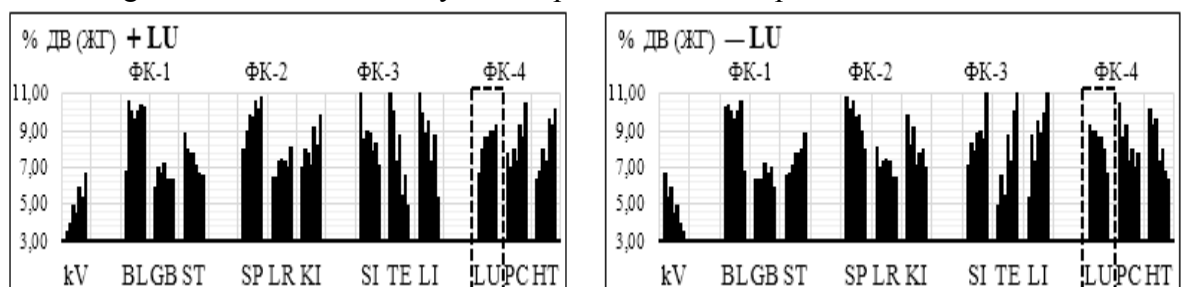


Рис.2.18 Идентификация системной зависимости "акупунктурных каналов" ΦК-3  
 Fig.2.18 Identification of system dependence of "acupuncture channels" FC-3



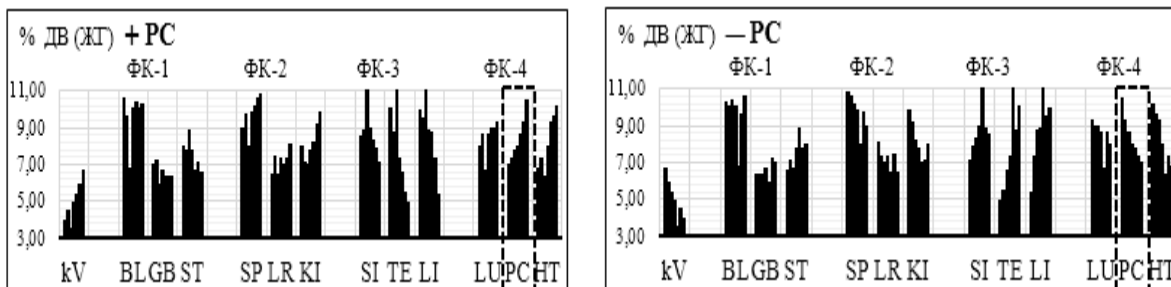


Рис.2.19 Идентификация системной зависимости "акупунктурных каналов" ФК-4  
 Fig.2.19 Identification of system dependence of "acupuncture channels" FC-4

### Выводы

1. Разработанная методология идентификации традиционных "акупунктурных каналов" не мировых аналогов. Она переводит гипотетическую китайскую Чжень-цзю терапию в биофизически обусловленную клиническую дисциплину и впервые сближает теоретические концепции Восточной и Западной терапевтических философий ...

2. Экспериментальные материалы указывают на биофизическую реальность "акупунктурных каналов" и чётко выраженную системную зависимость. Последняя требует внимательного изучения проблемы ...

3. Биофизическая реальность "акупунктурных каналов" выводит Восточную Чжень-цзю терапию за пределы схоластики и требует пристального внимания как сторонников традиционной терапевтической философии, так и её противников. При этом следует отметить следующее: если "акупунктурные каналы" будут официально признаны "биофизической реальностью", современную "системную физиологию" ждут непростые времена "вынужденной перестройки" ...

### Conclusions

1. The elaborated methodology of identification of traditional "acupuncture channels" has no world analogues. It transforms hypothetical Acupuncture therapy into biophysically conditioned clinical discipline and for the first time brings closer theoretical conceptions of the Eastern and Western therapeutic philosophies...

2. The given materials testify to the biophysical reality of "acupuncture channels" and a clearly expressed systemic dependence. The latter requires careful study of the problem ...

3. Judging by the reality of identification of "acupunctural channels", the issue of the Chinese *Acupuncture therapy* goes beyond the borders of scholasticism and requires captious attention of supporters of traditional therapeutic philosophy as well as of its opponents. Also, there should be noted the following: if "acupunctural channels" turn out to be a biophysical reality, contemporary system physiology will expect uneasy times of "reconstruction"...





### 3. СИСТЕМО-ВЕГЕТАТИВНЫЕ КОМПЛЕКСЫ КАК ПРОБЛЕМА ФУНКЦИОНАЛЬНОЙ ВЕГЕТОЛОГИИ И ЧЖЕНЬ-ЦЗЮ ТЕРАПИИ

### 3. SYSTEM-VEGETATIVE COMPLEXES AS A PROBLEM OF FUNCTIONAL VEGETOLOGY AND ZHEN- TSZYU THERAPY

Информация о функциональных комплексах "акупунктурных каналов" обнародована нами в монографиях [3, с.174; 6, с.142]. В данном разделе мы обращаем внимание на биофизическое дополнение их системной организации и вегетативное влияние ...

Под термином "Функционально-вегетативные комплексы" (ФК, ФВК) мы рассматриваем группы "акупунктурных каналов", обуславливающих специфическую вегетативную направленность и системно-вегетативный гомеостаз в целом [3, с.233; 4, с.182; 6, с.126].

Сегодня экспериментально подтверждена биофизическая реальность 4-х комплексов: ФК1 (BL-GB-ST), ФК-2 (SP-LR-KI), ФК-3 (SI-TE-LI) и ФК-4 (LU-PC-HT). Не нарушая топографической последовательности "акупунктурных каналов" по "Большому кругу", они занимают свои места и обеспечивают специфическую вегетативную функцию (рис.3.1).

В общем отдельные ФК формируют специфический "Цветок Живого" (рис. 3.2), который стала основой неизвестной ранее "Функционально-вегетативной Матрицы" (раздел 4).

Information on the functional complexes of "acupuncture channels" was published by us in previous monographs [3,p.174; 6,p.142]. In this section, we pay attention to the biophysical complement of their system organization and controlled vegetative influence ...

Under the term "Functional-vegetative complexes" (FC, FVC) we consider groups of "acupuncture channels" that determine the specific vegetative orientation and system-vegetative homeostasis in general [3,p.233; 4,p.182; 6,p.126].

Today, the biophysical reality of 4 functionally-vegetative complexes has been experimentally confirmed: FC1(BL-GB-ST), FC-2(SP-LR-KI), FC-3(SI-TE-LI) and FC-4(LU-PC-HT). Without violating the topographic sequence of "acupuncture channels" on the "Great Circle", they occupy individual places and provide a specific vegetative function (Fig.3.1).

In general, individual functional complexes form a specific "Flower of the Living" (fig.3.2), which became the basis of the previously unknown "Functional-vegetative Matrix" (Section 4).

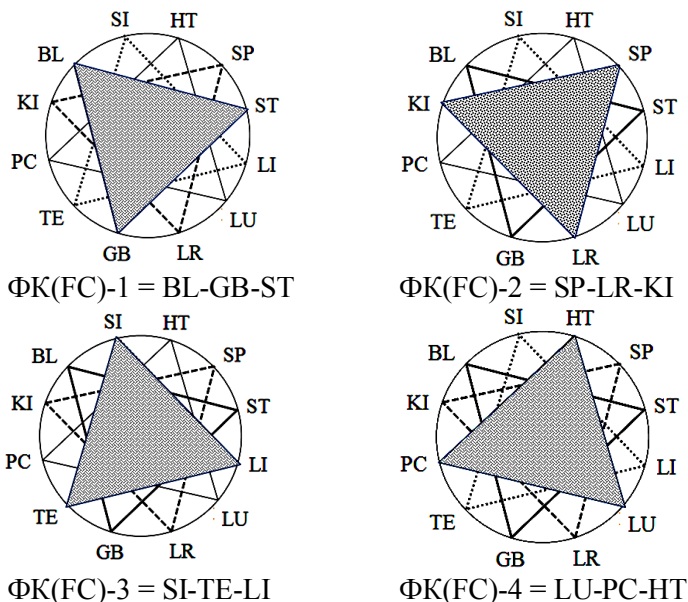


Рис. (Fig.) 3.1

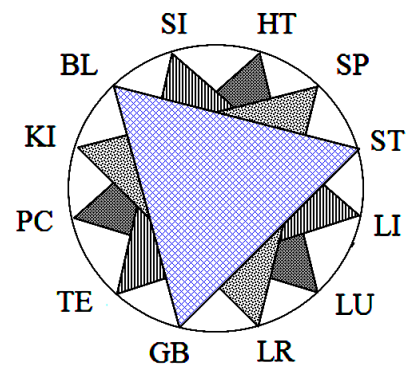


Рис. (Fig.) 3.2

Каждый комплекс обеспечивает специфическую функцию, направленную на поддержание динамического постоянства общего функционально-

Each individual complex provides a specific function aimed at maintaining the dynamic constancy of the total functionally-vegetative homeostasis. It was esta-

вегетативного гомеостаза. Установлено, что системы ФК-1 и ФК-3 относятся к ЯН группы и обуславливают симпатичную вегетативную направленность, а ФК-2 и ФК-4 (группы ИНЬ) - парасимпатическую ...

Перед рассмотрением материала напомним, что признаком комплексной направленности являются его системные синхронные (или асинхронные) и парадоксальные реакции. Последние выступают универсальным механизмом контроля и регуляции функционально-вегетативного патогенеза ...

А теперь рассмотрим отдельные ФК и ознакомимся с их вегетативной активностью. Для анализа взяты материалы ФВД смешанной по возрасту и полу группе детей младшего, подросткового и юношеского школьного возраста.

Established that the systems of FC-1 and FC-3 belong to the group of YN and cause a sympathetic vegetative orientation, while FC-2 and FC-4 (groups INI) are parasympathetic ...

Before considering the given material, we recall that the sign of a complex vegetative orientation is its systemic synchronous, or asynchronous and paradoxical reactions. The latter acts as a universal mechanism for the control and regulation of functional-vegetative pathogenesis ...

Now let's consider some functional complexes and get acquainted with their vegetative orientation. For analysis the materials of functional-vegetative diagnostics in mixed age and sex group of children of junior, teenage and youthful school age are taken.

КАНАЛЫ ПЕРВОГО КОМПЛЕКСА (ЯН - ГРУППА)	CHANNELS OF THE FIRST COMPLEX (YANG - GROUP)
<p>В первый комплекс (ФК-1, рис.3.31) входят акупунктурные каналы BL-ST-GB (ЯН группа). При этом в женской (ЖГ) и мужской (МГ) группах:</p> <ul style="list-style-type: none"> <li>- возбуждение (угнетение) их активности формирует системную динамику других комплексах (рис.3.3-5);</li> <li>- по динамике k-V асинхронная системная зависимость ФК-1 формирует относительно нейтральную вегетативную направленность;</li> <li>- ФК-1 и ФК-2 объединены синхронной взаимозависимостью своих базовых функциональных систем BL-SP.</li> </ul>	<p>The first basic complex (FC-1, fig.3.1) includes acupuncture channels BL-ST-GB (YAN group). In this case, in female (WG) and male (MG) groups:</p> <ul style="list-style-type: none"> <li>- the excitation (or inhibition) of their activity forms a typical systemic dynamics of other complexes (fig.3.3-5);</li> <li>- according to the dynamics of k-V, the asynchronous system dependence of FC-1 forms a relatively neutral vegetative orientation;</li> <li>- FC-1 and FC-2 are united by the synchronous interdependence of their basic functional systems BL-SP.</li> </ul>

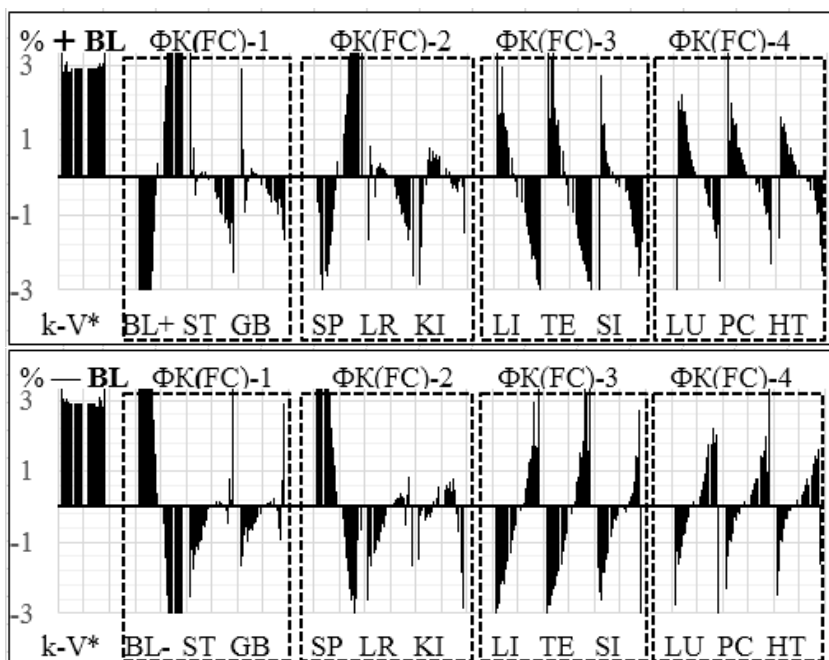


Рис.3.3 Вегетативная направленность и системная зависимость при + и - BL

Fig.3.3 Vegetative orientation and system dependence at + and - BL

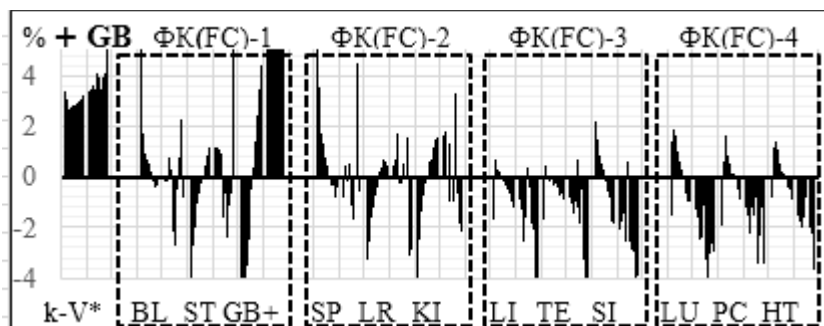


Рис.3.4 Vegetative orientation and system dependence at + and - GB

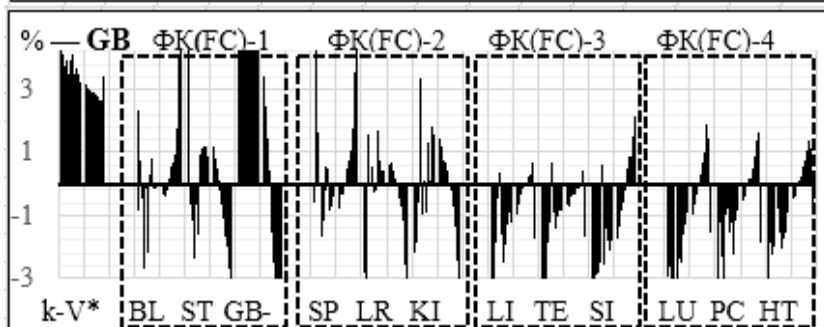


Fig.3.4 Vegetative orientation and system dependence at + and - GB

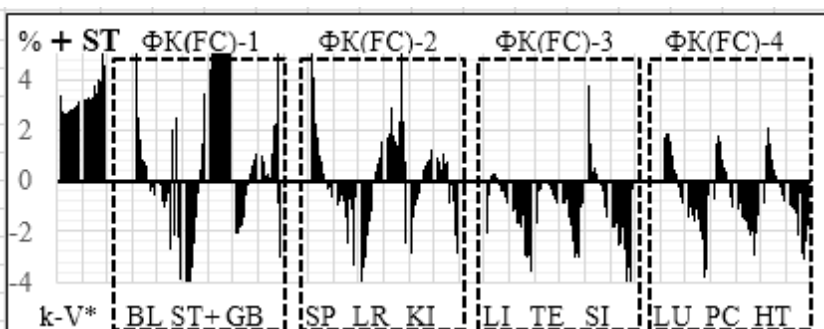


Рис.3.5 Vegetative orientation and system dependence at + and - ST

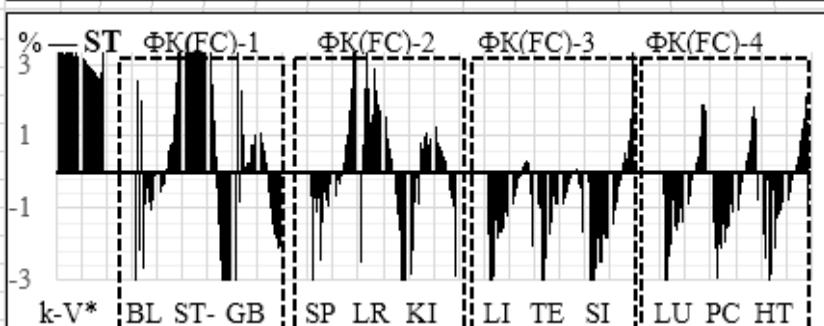


Fig.3.5 Vegetative orientation and system dependence at + and - ST

КАНАЛЫ ВТОРОГО КОМПЛЕКСА (ИНЬ - ГРУППА)	CHANNELS OF THE OTHER COMPLEX (YIN - GROUP)
<p>Во второй комплекс (ФК-2, рис.3.1) входят акупунктурные каналы SP-LR-KI (ЯН группа). При этом в женской (ЖГ) и мужской (МГ) группах:</p> <ul style="list-style-type: none"> <li>- возбуждение (или угнетение) их активности формирует типичную системную динамику других комплексах (рис.3.6-8);</li> <li>- по динамике k-V асинхронная системная зависимость ФК-2 формирует относительно нейтральную вегетативную направленность;</li> <li>- ФК-1 и ФК-2 объединены синхронной взаимозависимостью своих базовых функциональных систем BL-SP.</li> </ul>	<p>The first basic complex (FC-1, Fig.3.1) includes acupuncture channels BL-ST-GB (YAN group). In this case, in female (WG) and male (MG) groups:</p> <ul style="list-style-type: none"> <li>- the excitation (or inhibition) of their activity forms a typical systemic dynamics of other complexes (Fig.3.3-5);</li> <li>- in dynamics k-V, the asynchronous system dependence of FC-2 forms a relatively neutral vegetative direction;</li> <li>- FC-1 and FC-2 are united by the synchronous interdependence of their basic functional systems BL-SP.</li> </ul>



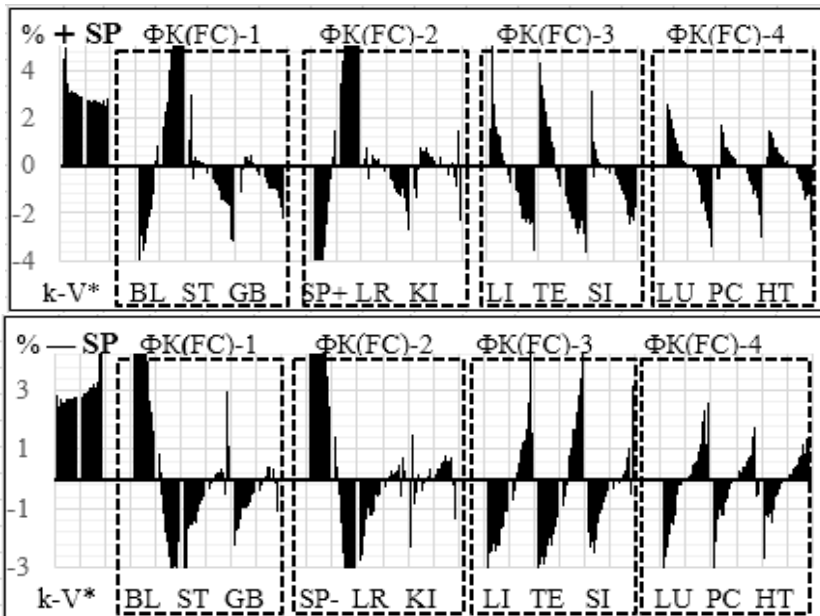


Рис.6 Вегетативная направленность и системная зависимость при + и -SP

Fig.3.6 Vegetative orientation and system dependence at + and - SP

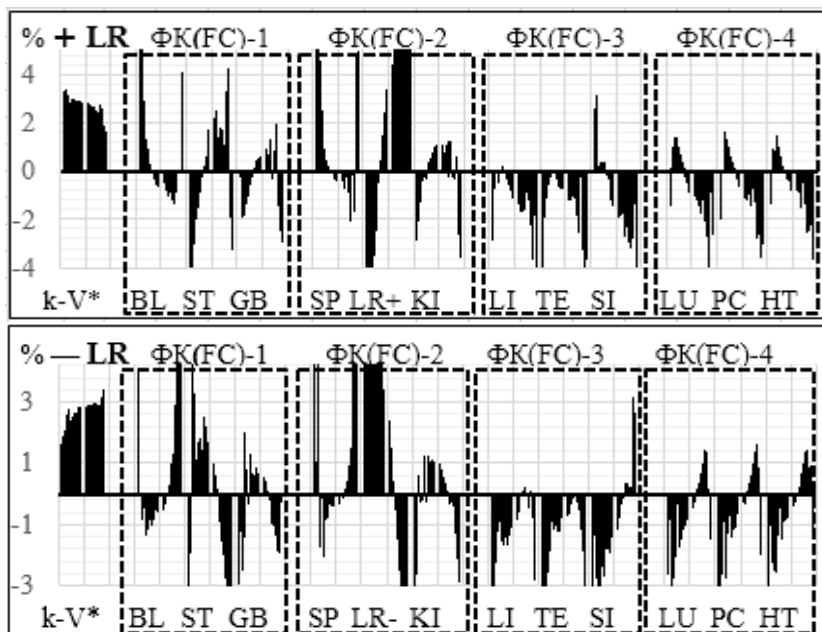


Рис.3.7 Вегетативная направленность и системная зависимость при + и -LR

Fig.3.7 Vegetative orientation and system dependence at + and - LR

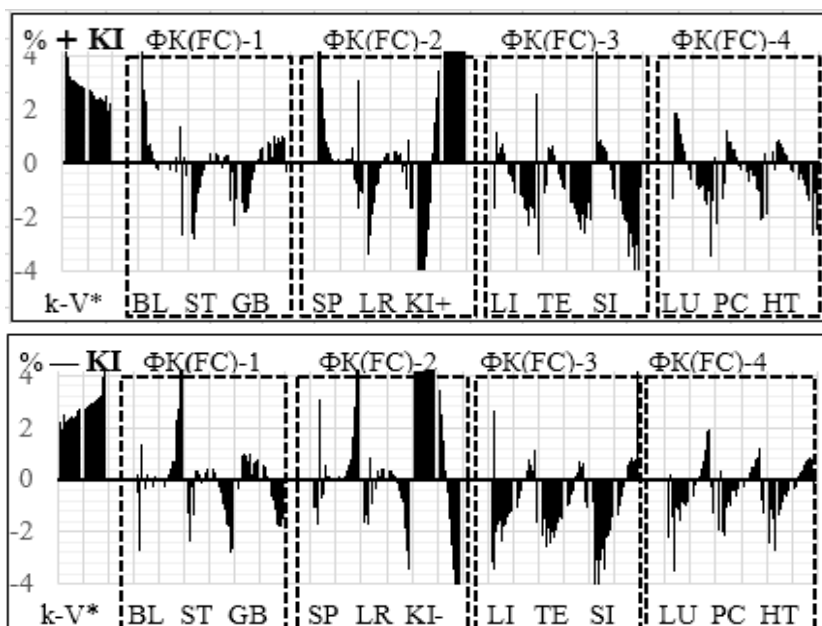


Рис.3.8 Вегетативная направленность и системная зависимость при + и -KI

Fig.3.8 Vegetative orientation and system dependence at + and - KI

КАНАЛЫ ТРЕТЬЕГО КОМПЛЕКСА (ЯН - ГРУППА)	CHANNELS OF THE THIRD COMPLEX (YANG - GROUP)
<p>В третий базовый комплекс (ФК-3, рис.3.1) входят акупунктурные каналы SI-TE-LI (ЯН группа). При этом в женской (ЖГ) и мужской (МГ) группах:</p> <ul style="list-style-type: none"> <li>- возбуждение (угнетение) их активности формирует системную динамику других комплексов (рис.3.9-11);</li> <li>- по динамике k-V системное возбуждение ФК-3 формирует симпатическую направленность, а угнетение – парасимпатическую.</li> </ul> <p>При этом возбуждения (угнетение) SI формирует парадоксальные реакции со стороны TE-LI и ФК-4, а возбуждение LI парадоксальную реакцию со стороны SI...</p>	<p>The first basic complex (FC-1, fig.3.1) includes acupuncture channels BL-ST-GB (YAN group). In this case, in female (WG) and male (MG) groups:</p> <ul style="list-style-type: none"> <li>- the excitation (or inhibition) of their activity forms a typical systemic dynamics of other complexes (Fig.3.9-11);</li> <li>- according to the dynamics of k-V systemic excitation FC-3 forms a sympathetic vegetative orientation, and oppression - parasympathetic;</li> <li>- at the same time, the excitation, or inhibition of SI, causes internal paradoxical reactions of TE-LI and systemic paradoxical reactions of FC-4, and excitation of LI paradoxical reaction from SI...</li> </ul>

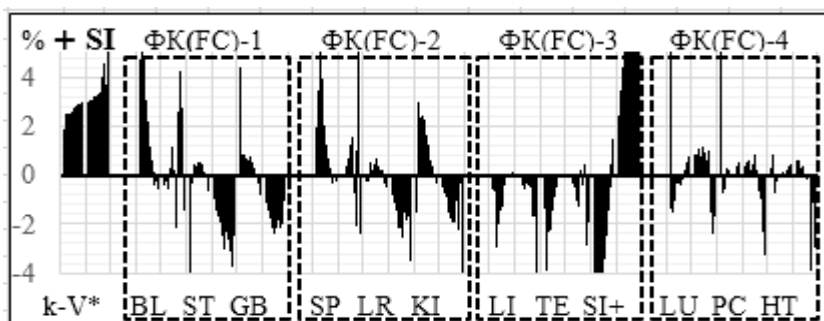


Рис.3.9 Vegetative orientation and system dependence at + and -SI

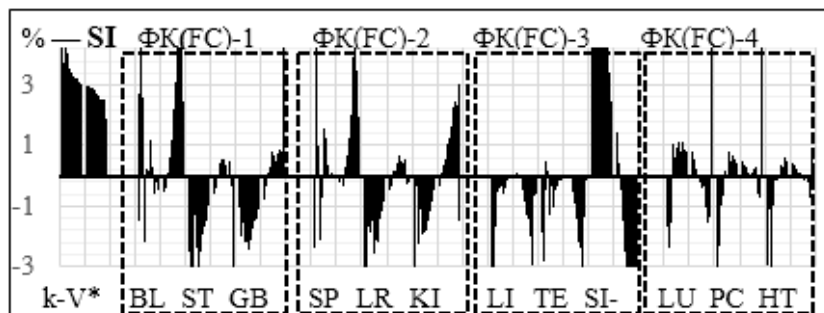


Fig.3.9 Vegetative orientation and system dependence at + and -SI

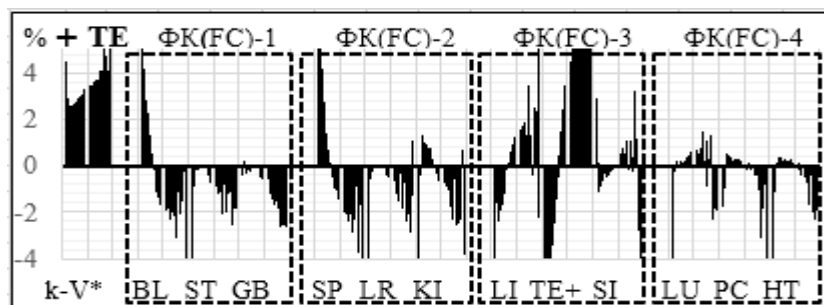


Рис.3.10 Vegetative orientation and system dependence at + and -TE

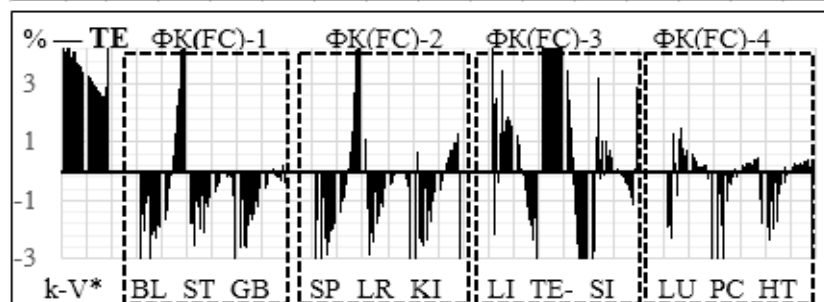


Fig.3.10 Vegetative orientation and system dependence at + and -TE

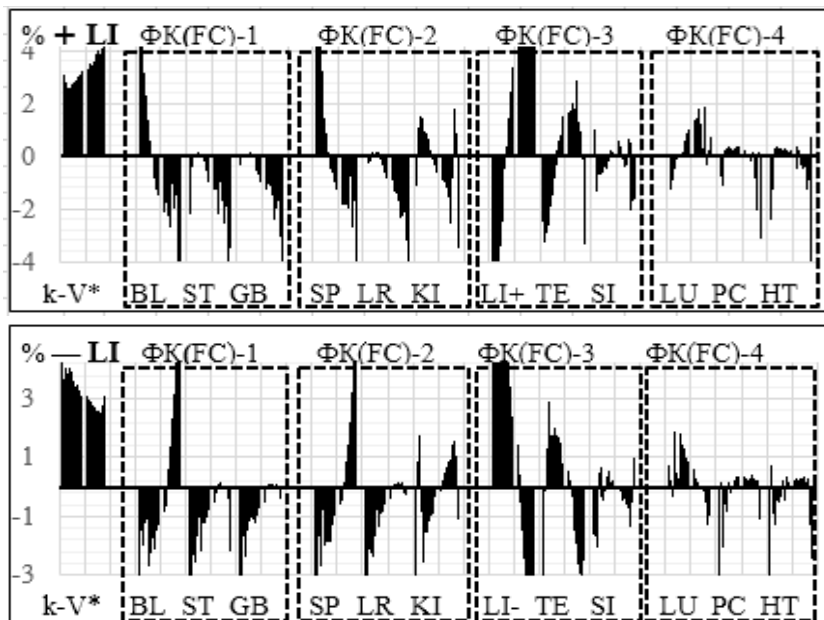


Рис.3.11 Вегетативная направленность и системная зависимость при + и -LI

Fig.3.11 Vegetative orientation and system dependence at + and - LI

КАНАЛЫ ЧЕТВЁРТОГО КОМПЛЕКСА (ИНЬ -ГРУППА)	CHANNELS OF THE FOURTH COMPLEX (YIN - GROUP)
<p>В четвертый комплекс (ФК-4, рис. 3.1) входят акупунктурные каналы LU-PC-HT (ИНЬ группа). При этом в женской (ЖГ) и мужской (МГ) группах:</p> <ul style="list-style-type: none"> <li>- возбуждение (угнетение) их активности формирует типичную системную динамику других комплексов (рис.3.12-14)</li> <li>- по динамике k-V системное возбуждения ФК-4 формирует парасимпатическую вегетативную направленность, а угнетение - симпатичную;</li> <li>- при этом возбуждения, или угнетения LU, PC, HT обуславливает парадоксальные системные реакции ФК-3.</li> </ul>	<p>The first basic complex (FC-1, Fig.3.1) includes acupuncture channels BL-ST-GB (YAN group). In this case, in female (WG) and male (MG) groups:</p> <ul style="list-style-type: none"> <li>- the excitation (or inhibition) of their activity forms a typical systemic dynamics of other complexes (Fig.3.12-14);</li> <li>- according to the dynamics of k-V, the systemic excitation of FC-4 forms a parasympathetic vegetative orientation, and oppression is sympathetic;</li> <li>- in this case, the excitation, or suppression of LU,PC,HT causes paradoxical systemic reactions FC-3.</li> </ul>

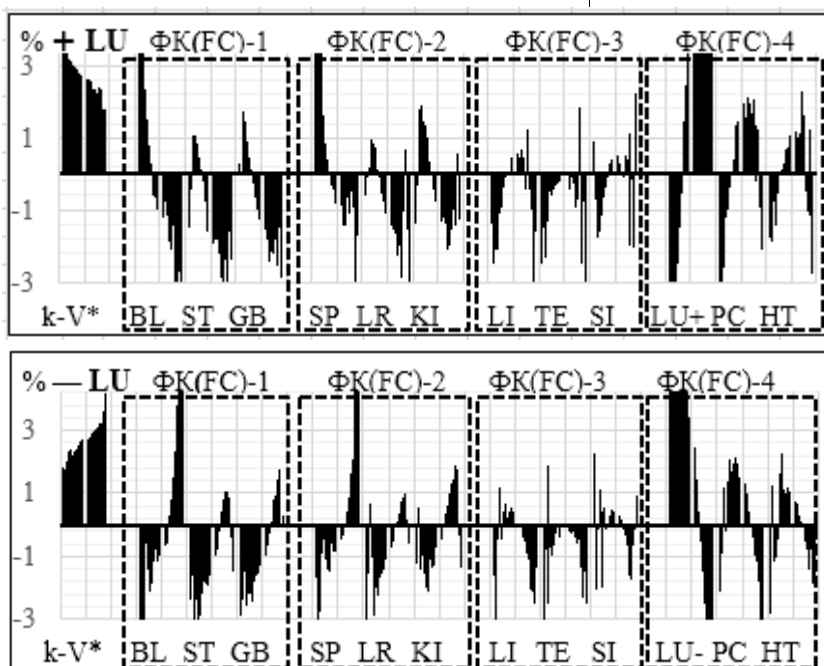


Рис.3.12 Вегетативная направленность и системная зависимость при + и -LU

Fig.3.12 Vegetative orientation and system dependence at + and - LU

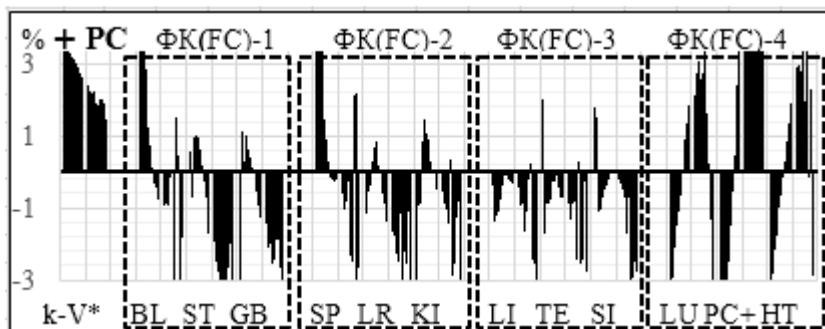


Рис.3.13 Вегетативная направленность и системная зависимость при + и –PC

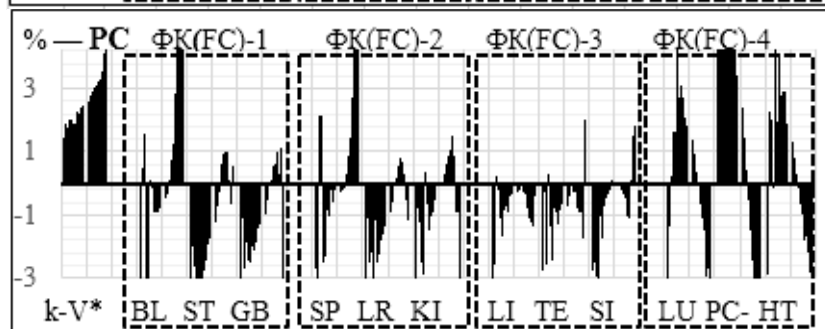


Fig.3.13 Vegetative orientation and system dependence at + and – PC

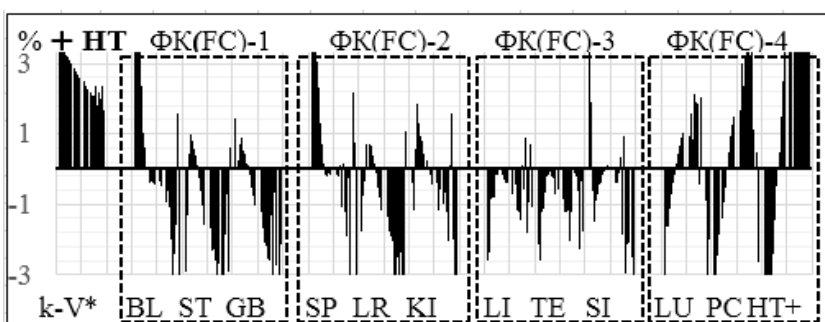


Рис.3.14 Вегетативная направленность и системная зависимость при + и –HT

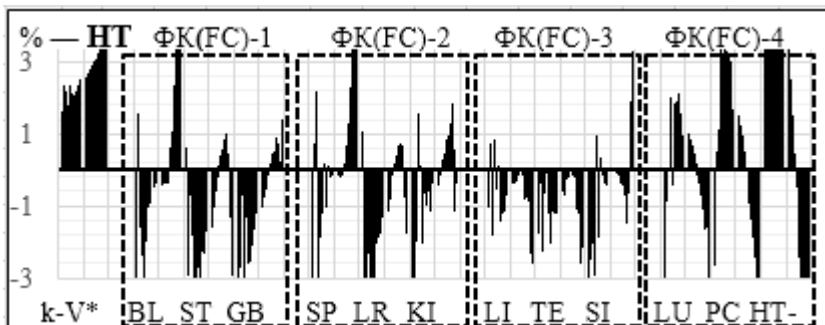


Fig.3.14 Vegetative orientation and system dependence at + and – HT

Биофизическая реальность комплексных "Вегетативных профилей"	Biophysical reality of complex "vegetative profiles"
<p>Детальный анализ предыдущего материала позволил выявить феномен "Функционально-вегетативных профилей" (ВП). Его реальность свидетельствует о следующем:</p> <ul style="list-style-type: none"> <li>- возрастание парасимпатического угнетения зависит от активности группы ИНЬ (SP-LR-KI, LU-PC-HT,). При этом ведущее значение имеет система SP;</li> <li>- возрастание симпатического возбуждения зависит от активности функциональных систем группы ЯН (BL-GB-ST, SI-TE-LI). При этом ведущее значение имеет система BL;</li> </ul>	<p>Detailed analysis of the previous material allowed to reveal the phenomenon of "Functional-vegetative profiles" (VP). His reality testifies to the following:</p> <ul style="list-style-type: none"> <li>- the growth of parasympathetic inhibition depends on the activity of the YIN group (SP-LR-KI, LU-PC-HT,). In this case, the leading value is the system SP;</li> <li>- the growth of sympathetic excitation depends on the activity of the functional systems of the group YANG (BL-GB-ST, SI-TE-LI). In this case, the leading value is the BL system;</li> </ul>

- структура функционально-вегетативных профилей парасимпатической и симпатической направленности зеркально противоположная;

- вегетативные профили в женской (ЖГ) и мужской (МГ) группах идентичны, что свидетельствует о функциональной закономерности;

- структура функционально-вегетативных профилей указывает на уровни вегетативных нарушений.

Теперь рассмотрим функционально-вегетативные профили (ФП) симпатической (СА) и парасимпатической (ПА) активности в женской (9.947 случаев) и мужской (5.492) группах (рис.3.15-17).

- structure of functional-vegetative profiles of parasympathetic and sympathetic orientation is mirror opposite;

- vegetative profiles in the female (WG) and male (MG) groups are identical, indicating a functional pattern;

- the structure of functional-vegetative profiles indicates the level of vegetative violation.

Now consider the functional-vegetative profiles of the sympathetic (CA) and parasympathetic (PA) activity in the female (9.947 cases) and male (5.492) groups (3.15-17).

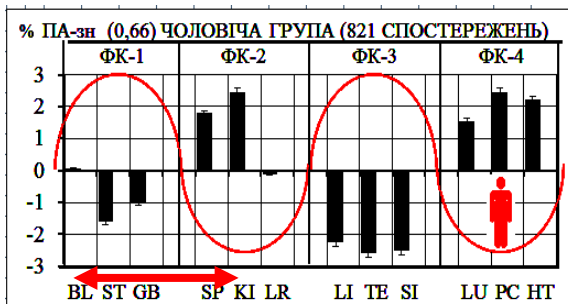
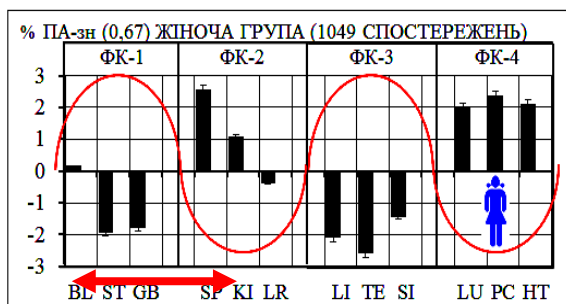


Рис.3.15 Вегетативный профиль парасимпатической активности (ЖГ k-V=0,67; МГ k-V=0,66)

Fig. 3.15. Vegetative profile of parasympathetic activity (WG k-V = 0.67; MG k-V = 0.66)

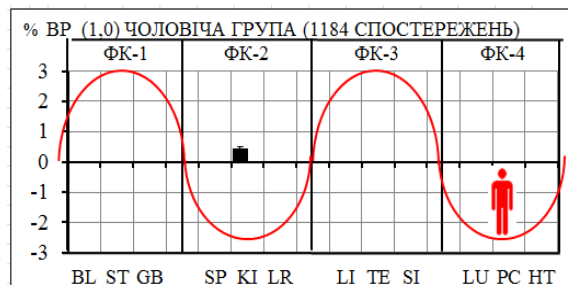
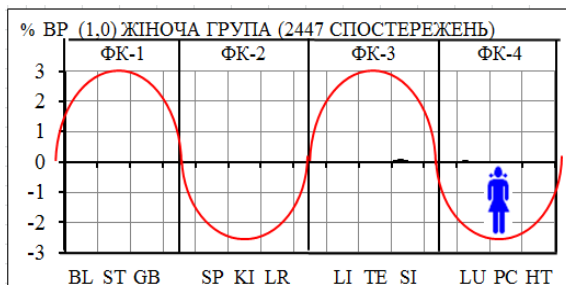


Рис.3.16 Вегетативный профиль функционального равновесия (ЖГ k-V=1,0; МГ k-V=1,0)

Fig.3.16 Vegetative profile of functional equilibrium (WG k-V = 1.0; MG k-V = 1.0)

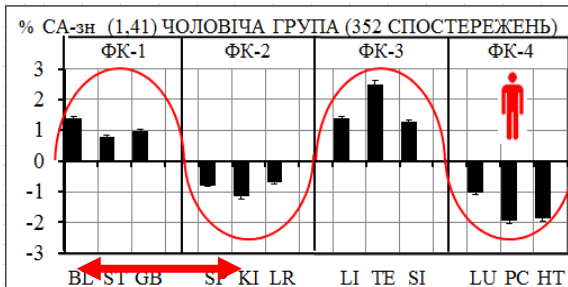
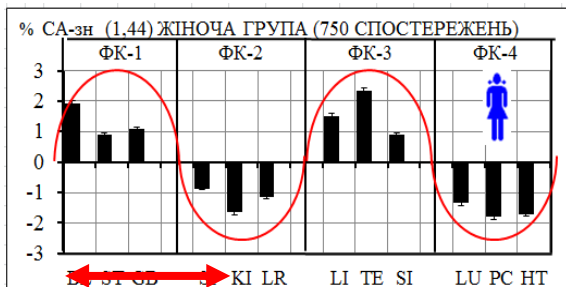


Рис.3.17 Вегетативный профиль симпатической активности (ЖГ k-V=1,44; МГ k-V=1,41)

Fig.3.17 Vegetative profile of sympathetic activity (WG k-V=1,44; MG k-V=1,41)

Сравнительный анализ приведенных гистограмм указывает на четыре существенные положения:

The comparative analysis of the above histograms points to four essential positions:

- парасимпатическую направленность вегетативного гомеостаза формирует преобладание активности SP над BL (рис.3.15, указано стрелкой).

- симпатичную направленность вегетативного гомеостаза формирует преобладание активности BL над SP (мал.3.17, указано стрелкой).

- вегетативные профили парасимпатической и симпатической активности диаметрально противоположные (рис. 3.15-17). Их вегетативные коэффициенты (k-V) указывают на уровни вегетативных нарушений ...

- в каждом функциональном комплексе (ФК) есть главные и зависимые ведущие системы. Главными являются BL (ФК-1) и SP- (ФК-2), а зависимыми - ST (ФК-1), KI- (ФК-2), TE (ФК-3) и PC (ФК-4), на что указывает преимущество их внутри-комплексной активности.

### **Выводы.**

1. Функциональная направленность системной активности формирует четыре вегетативных комплекса ФК-1 (BL-ST-GB), ФК-2 (SP-KI-LR), ФК-3 (LI-TE-SI) и ФК-4 (LU-PC-HT). Их биофизическая реальность отмечена по всем группам наблюдения.

2. Функциональные комплексы формируют противоположную вегетативную зависимость. Каналы ЯН группы ФК-1 (BL-ST-GB) и ФК-3 (LI-TE-SI) обеспечивают симпатичную направленность вегетативного гомеостаза, а каналы ИНЬ-группы ФК-2 (SP-KI-LR) и ФК-4 (LU-PC-HT) - парасимпатическую.

3. Вегетативные профили указывают на состояние вегетативного равновесия и свидетельствуют о симпатической или парасимпатической активности (при вегетативной равновесии системный профиль находится в допустимой "зоне-0").

4. Структура "Функционально-вегетативных профилей" указывает на уровень вегетативных нарушений и по динамике k-V свидетельствует о реабилитационную эффективность.

5. Функционально-вегетативная диагностика по методу В.Макацу целесообразна при контролируемой реабилитации вегетативных нарушений.

- the parasympathetic orientation of the vegetative homeostasis forms the advantage of SP activity over BL (Fig. 3.15, indicated by an arrow).

- sympathetic orientation of vegetative homeostasis forms the advantage of BL activity over SP (Fig. 3.17, indicated by an arrow).

- vegetative profiles of parasympathetic and sympathetic activity are diametrically opposed (Fig. 3.15-17). Their vegetative coefficients (k-V) indicate the level of autonomic violations ...

- in each functional complex (FC) there are main and dependent driving systems. The main ones are BL (FC-1) and SP (FC-2), but dependent - ST(FC-1), KI(FC-2), TE(FC-3) and PC(FC-4), as indicated by the advantage of their intracomplex activity.

### **Conclusions**

1. Functional orientation of systemic activity forms four vegetative complexes: FC-1 (BL-ST-GB), FC-2 (SP-KI-LR), FC-3 (LI-TE-SI) and FC-4 (LU-PC-HT). Their biophysical reality is noted in all observation groups.

2. Functional complexes form the opposite vegetative dependence. The channels of YANG - GROUP FC-1(BL-ST-GB) and FC-3(LI-TE-SI) provide sympathetic orientation of vegetative homeostasis, while the channels of the YIN -group of FC-2 (SP-KI-LR) and FC-4 (LU-PC-HT) is parasympathetic.

3. Vegetative profiles indicate the state of vegetative equilibrium and indicate the superiority of sympathetic or para-sympathetic activity (with a vegetative equilibrium, the system profile is in the permissible "zone-0").

4. The structure of "Functional-vegetative profiles" indicates the level of autonomic violations and the dynamics of k-V shows the rehabilitation efficiency.

5. Functional-vegetative diagnostics by the method of V.Makats is expedient in the controlled rehabilitation of vegetative disorders.





#### 4. ВЕГЕТАТИВНАЯ МАТРИЦА КАК ТЕОРЕТИЧЕСКАЯ БАЗА ФУНКЦИОНАЛЬНОЙ ВЕГЕТОЛОГИИ И ЧЖЕНЬ-ЦЗЮ ТЕРАПИИ

#### 4. VEGETATIVE MATRIX AS A THEORETICAL BASIS FUNCTIONAL VEGETOLOGY AND ZHEN-TSZYU THERAPY

Представленный заключительный вариант графологической структуры "Функционально-вегетативной Матрицы". Информацию о её реальности постоянно уточняли и дополняли [3, с.185, 199; 5, с.165; 6,153]. Отмечается её прогностическое значение в процессе функциональной реабилитации вегетативных нарушений у детей.

The final version of the graph logical structure of the "Functional-Vegetative Matrix" is presented. Information about its reality was constantly updated and supplemented [3,p.185,199; 5,p.165; 6,p.153]. It is emphasized its prognostic value in the process of functional rehabilitation of autonomic disorders in children.

#### 1. Пять шагов к "ВЕГЕТАТИВНОЙ МАТРИЦЕ"

Системные биофизические феномены указали на геометрическую структуру внутреннего энергоинформационного поля человека: функциональную матрицу Живого ("Вегетативная матрица Макаца").

Закономерность её связей вступила в противоречие с гипотетическими канонам классической иглотерапии и выявила ряд теоретических и практических ошибок. При этом оказалось, что структура Матрицы отражает биофизически реальную системно-комплексную зависимость и впервые сближает теоретические концепции Восточной и Западной терапевтических философий.

Начнем с того, что первые признаки Матрицы пришли к нам от китайских Учителей в виде концепции Пяти элементов цикла Звезда (рис.4.1) и Большого Круга циркуляции энергии ЧИ по системе каналов LU-LI-ST-SP-HT-SI-BL -KI PC-TE-GB-LR-LU (рис.4.2).

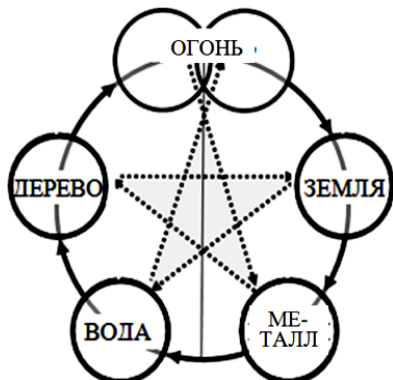


Рис.4.1 Эмпирическая Матрица

#### 1. FIVE STEPS TO "VEGETATIVE MATRIX"

Previously unknown systemic biophysical phenomena point to the geometric structure of the internal power-informational field of human beings: functional Matrix of Alive.

The pattern of its connections appeared in opposition with the hypothetical channels of the classical acupuncture and disclosed a number of its theoretical and practical mistakes. At the same time, the graph logical structure of the Matrix reflects a biophysically real system-complex interdependency and for the first time brings closer theoretical concepts of the Eastern and Western therapeutic philosophies.

We will start with the fact that the initial features of the Matrix came to us from the Chinese Teachers in the form of the conception of Five elements of the Star cycle (fig.4.1) and the Great Circle of Energy Circulation (fig.4.2).

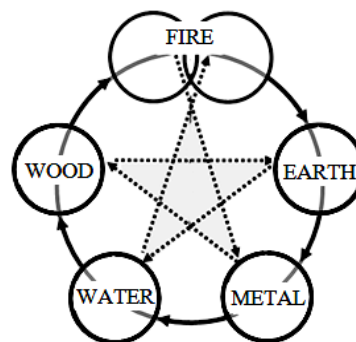


Fig.4.1 Empirical Matrix

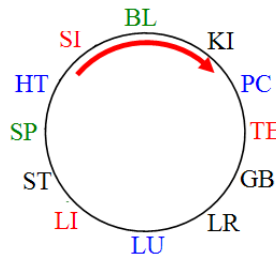


Рис.4.2

**КРОК-1.** Вопреки ожиданию, каждый канал неизвестных ранее функциональных комплексов (ФК) BL-ST-GB, SP-KI-LR, LI-TE-SI, LU-PC-HT (см. предыдущий раздел), без нарушения гипотетической системной последовательности по Большому кругу занял в нём топографически совпадающие места (рис.4.3)!

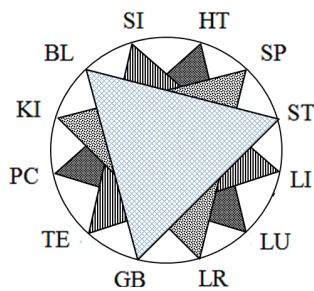


Рис. 4.3

Стало очевидным, что традиционный Большой круг сформирован функциональными комплексами, неизвестными восточным апологетами (BL-ST-GB, SP-KI-LR, LI-TE-SI, LU-PC-HT). При этом стало ясно, что синхронно-асинхронная активность отдельных комплексов и их парадоксальные реакции биофизически противоречат традиционной последовательности "энергетической циркуляции" по Большому кругу и гипотетическом правилу "Биологические часы" (мал.4.4)!

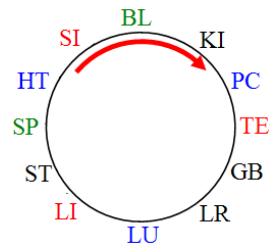


Fig.4.2

**STEP-1.** In opposition to expectations, every channel of the previously unknown functional complexes (FC) BL-ST-GB, SP-KI-LR, LI-TE-SI, LU-PC-HT (see previous section), without disturbance of the hypothetical topography of sequential location in the system of the Big cycle, has captured in its topographically concurring places (fig. 4.3)!

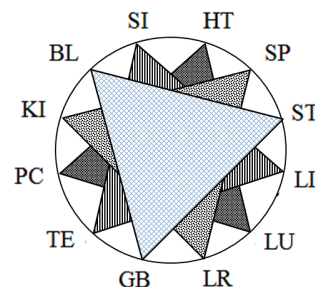


Fig. 4.3

It became obvious, that the traditional Big cycle is formed by functional complexes by unknown Eastern apologists BL-ST-GB, SP-KI-LR, LI-TE-SI, LU-PC-HT. At the same time, it has become evident that synchronous-asynchronous activity of separate complexes and their paradoxical reactions, biophysically contradict the traditional succession of "energy circulation" through the Big cycle, and the hypothetical rule of "Biological clock" (fig.4.4)!

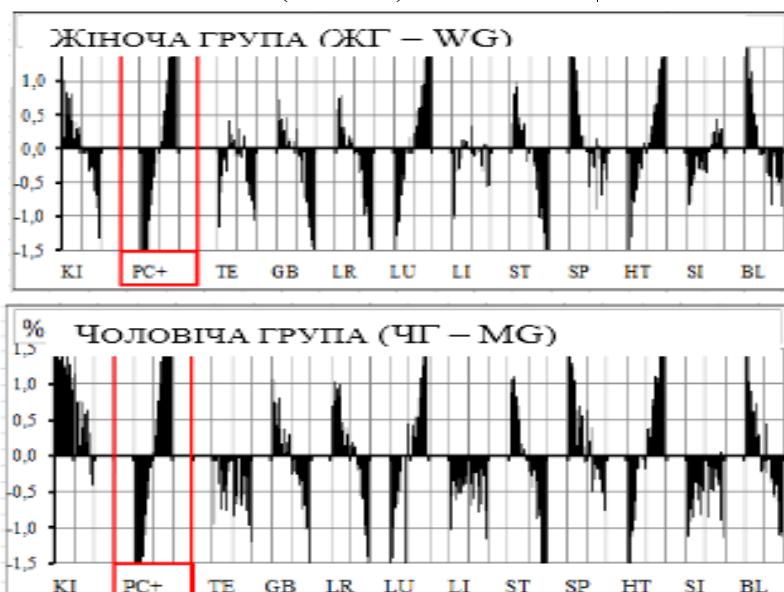


Рис.4.4 Разнонаправленная активность каналов по Большому кругу при возбуждении PC

Fig.4.4 Multidirected activity of channels through the Big Cycle under the excitation of PC



**КРОК-2.** Изучение системной зависимости отдельных функциональных комплексов выявило их биофизические особенности. Последние обусловлены синхронной (—) и асинхронной (---) системной зависимостью при возбуждении (угнетении) отдельных акупунктурных каналов и имеют следующий вид.

Первый (BL-ST-GB) и второй (SP-KI-LR) комплексы (ФК-1 и ФК-2) синхронно-асинхронные (рис.4.5)

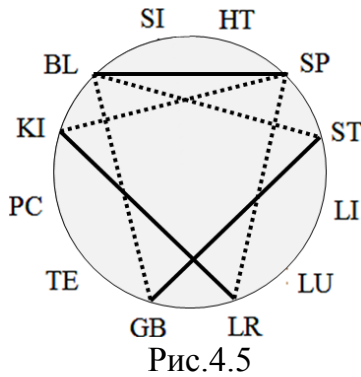


Рис.4.5

Третий (LI-TE-SI) и четвертый (LU-PC-HT) комплексы синхронно-парадоксальные и зависят от активности ФК-1 и ФК-2 (рис.4.6)

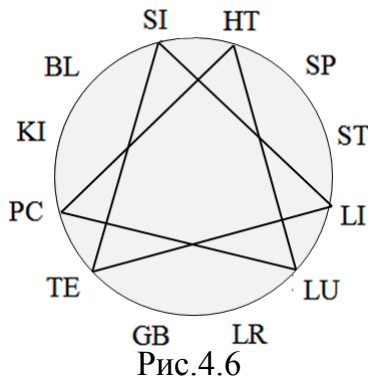


Рис.4.6

В совокупности внутренние комплексные связи формируют графологическую структуру Матрицы (рис. 4.7.)

**ШАГ-3.** Изучение внешней и внутренней системно-комплексной зависимости довело графологическую структуру Матрицы к логическому совершенству. При этом выявлены специфические зоны биофизического конфликта, обеспечивающие фрактальность (незавершенность) биофизических трансформаций: SI-HT, GB-LR, LU-LI (рис.4.7). Указанные элементы существенно дополняют достойную внимания геометрическую структуру вегетативной Матрицы Живого.

**STEP-2.** The study of systemic dependency in separate functional complexes revealed its biophysical peculiarities. The peculiarities are conditioned by synchronous (—) and asynchronous (---) systemic dependency during excitation (inhibition) of separate acupuncture channels and are as follows.

The first (BL-ST-GB) and the second (SP-KI-LR) complexes (FC-1 and FC-2) are synchronous-asynchronous (fig.4.5)

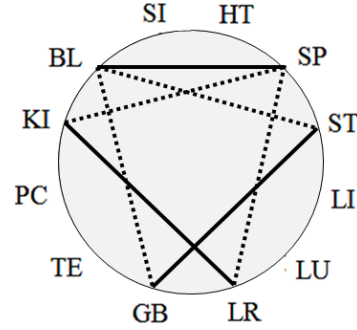


Fig.4.5

The third (LI-TE-SI) and the fourth (LU-PC-HT) complexes are synchronous-paradoxical and depend on the activity of FC-1 and FC-2 (fig.4.6)

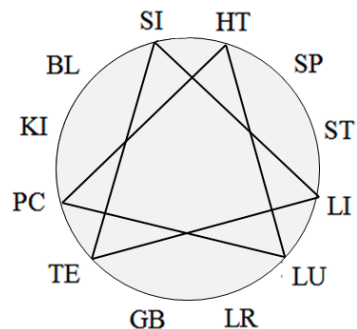


Fig.4.6

Together, internal-complex connections form graphological structure of the Matrix (fig.4.7).

**STEP-3.** The study of external and internal intercomplex dependency has led the graph logical structure of the Matrix to logical perfection. At the same time, we discovered specific zones of biophysical conflict provide fractality (incomplete) of biophysical transformations: SI-HT, GB-LR, LU-LI (fig.4.7). The specified elements of dependency significantly add the attention-worthy geometric structure of the vegetative Matrix of Alive.

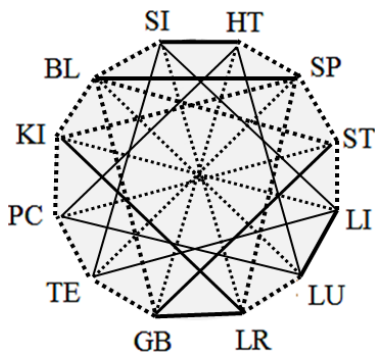


Рис.4.7

**ШАГ-4.** Внешняя и внутренняя синхронно-асинхронная зависимость между системами отдельных комплексов обуславливает биофизические конфликты - феномены "парадоксальных реакций" ( $\cap \cup$ ). Последние доводят топографическую структуру вегетативной Матрицы до геометрического совершенства (рис.4.8).

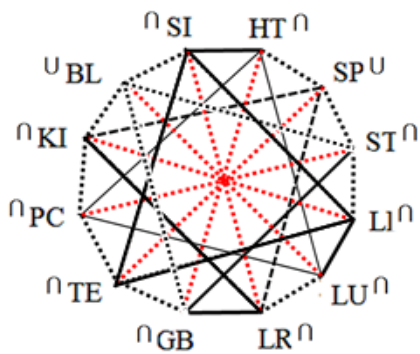


Рис.4.8

**ШАГ-5.** Обнаружен биофизический пейсмейкер (водитель ритма) вегетативной Матрицы. Им оказались системы первого и второго функциональных комплексов **BL-SP**, специфическая активность которых (в виде двух часового функционального биоритма) напрямую зависит от "резонансов Шумана", фазы Лунной активности и УФ - радиации (рис. 4.9).

Последняя особенность довела структуру Матрицы до функционального совершенства ...

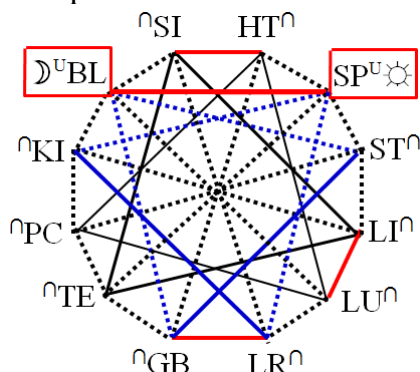


Рис.4.9

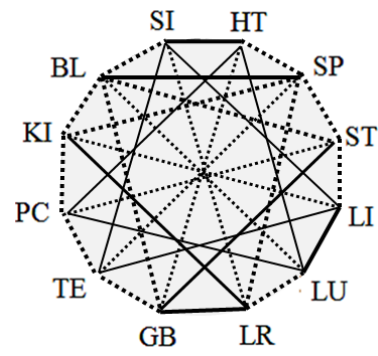


Fig.4.7

**STEP-4.** External and internal synchronous-asynchronous dependency between the systems of separate complexes conditions biophysical conflicts - phenomena of "Paradoxical reactions" ( $\cap \cup$ ). These reactions lead the topographical structure of the vegetative Matrix to geometric perfection (fig.4.8).

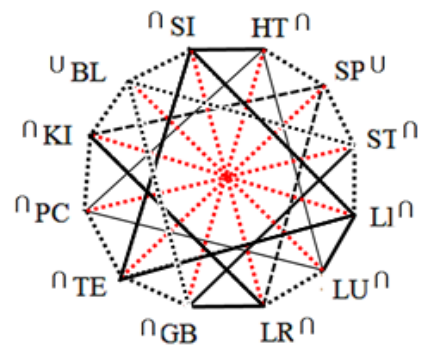


Fig.4.8

**STEP-5.** There has been discovered a biophysical pacemaker (*driver of rhythm*) of the vegetative Matrix. It is composed of the systems of the first and the second functional complexes **SP-BL**, specific activity of which (in the form of two-hour functional biorhythm) directly depends on the phase of the "resonances of Schumann", Moon activity and UV - radiation (fig.4.9).

This peculiarity has led the structure of the Matrix to functional perfection...

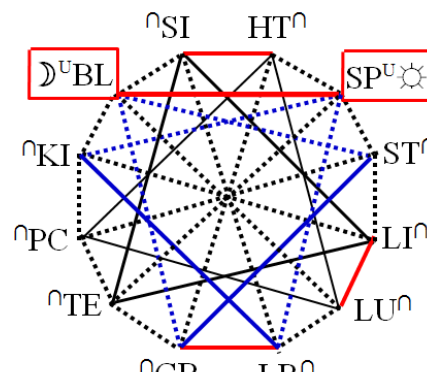


Fig.4.9

При этом обращаем внимание на следующие положения.

1) Графологическая структура функционально-вегетативной "Матрицы Макаца" (рис.4.9) является патогенетической основой восточной иглотерапии и западной "функциональной вегетологии".

2) Структурно-функциональная активность вегетативной Матрицы постоянно направлена на поддержание динамического постоянства функционально-вегетативного гомеостаза.

3) Теоретические и практические ошибки китайской иглотерапии обусловлены отсутствием знаний о её вегетативной направленности и биофизической реальности "функционально-вегетативной Матрицы".

4) Рецептура терапевтической акупунктуры должна быть обусловлена структурой матричных вегетативных ключей (комплексов).

5) Правомерность вегетативной Матрицы для функционального прогноза и коррекции вегетативных нарушений биофизически обусловлена и реабилитационно оправдана;

По большому счету функционально-вегетативная Матрица указывает на биофизически реальные формы системной зависимости, которые противоречат "традиционным правилам Восточной Чжень-цзю терапии".

Имея в виду принципиальное теоретическое и практическое значение вегетативной Матрицы, рассмотрим структуру каждого матричного (вегетативного) ключа и его соответствие системной взаимозависимости.

In addition, we draw your attention to the following important positions.

1) Structure of Makats's functional-vegetative Matrix (fig.4.9) is a pathogenic basis of the Eastern Acupuncture therapy and the Western "Functional vegetology".

2) Structural-functional activity of the vegetative Matrix is constantly aimed at maintenance of dynamic stability of functional-vegetative homeostasis.

3) Theoretical and practical mistakes of the Chinese Acupuncture therapy are conditioned by the absence of knowledge of its vegetative orientation and biophysical reality of the functional-vegetative Matrix;

4) Formulation of therapeutic acupuncture must be conditioned by the structure of Matrix vegetative keys (complexes).

5) Appropriateness of the usage of the Vegetative Matrix for functional prognosis and correction of vegetative disorders is biophysically conditioned and justified from the point of view of rehabilitation;

By and large, the functional-vegetative Matrix points to biophysically real forms of systemic dependence, which contradict "the traditional rules of the Eastern Zhenzhu therapy".

Bearing in mind the fundamental theoretical and practical importance of the vegetative Matrix, let us consider the structure of every Matrix (vegetative) key and its correspondence to the systemic dependencies.

<b>2. МАТРИЧНЫЕ КОМПЛЕКСЫ (ВЕГЕТАТИВНЫЕ КЛЮЧИ).</b>	<b>2. MATRIX COMPLEXES (VEGETATIVE KEYS).</b>
---	---

Сегодня нами выделены 12 функциональных групп, обусловленных синхронно-асинхронной и парадоксальной зависимостью базовых элементов Матрицы и её функциональных комплексов: **BL=LU-ST-GB-SI-KI-SP; SP=TE-KI-LR-ST-HT-BL; LI=KI-SI-TE-ST-LU; TE=SP-SI-LI-PC-GB; SI=LR-TE-LI-BL-HT; LU=BL-HT-PC-LI-LR; PC=ST-HT-LU-KI-TE; HT=GB-PC-LU-SI-SP; ST=PC-BL-GB-SP-LI; GB=HT-BL-ST-TE-LR; KI=LI-SP-LR-BL-PC; LR=SI-KI-SP-LU-GB** (рис. 4.10-21).

Теперь рассмотрим системную зависимость матричных вегетативных ключей (комплексов) и её биофизическую реальность. При этом помним, что изменение активности Ключа обусловит

Today, we have distinguished 12 functional groups that are conditioned by synchronous-asynchronous and paradoxical dependency of the basic elements of the Matrix and its the functional complexes: **BL=LU-ST-GB-SI-KI-SP; SP=TE-KI-LR-ST-HT-BL; LI=KI-SI-TE-ST-LU; TE=SP-SI-LI-PC-GB; SI=LR-TE-LI-BL-HT; LU=BL-HT-PC-LI-LR; PC=ST-HT-LU-KI-TE; HT=GB-PC-LU-SI-SP; ST=PC-BL-GB-SP-LI; GB=HT-BL-ST-TE-LR; KI=LI-SP-LR-BL-PC; LR=SI-KI-SP-LU-GB** (fig.4.10-21).

Now, let us consider the systemic dependency of the Matrix vegetative keys (complexes) and its biophysical reality. At the same time, we know that a change in the orientation of the dynamic activity

противоположную системно-матричную зависимость.

of a Key will cause a reverse system-matrix dependency.

МАТРИЧНЫЕ КЛЮЧИ ФК-1	MATRIX KEYS FC-1
----------------------	------------------

1. Согласно вегетативной Матрице (BL=LU-ST-GB-SI-KI-SP) возбуждение матричного ключа +BL обуславливает следующую системную зависимость: +SP -LU -SI -KI ∩ -ST ∩ -GB. Подобная биофизическая зависимость наблюдается по всем группам наблюдения (рис.4.10). При этом динамика k-V (коэффициентов вегетативного равновесия) указывает на:

- стабилизирующее влияние на вегетативную равновесие и специфическую зависимость отдельных представителей ФК-2, ФК-3 и ФК-4 ...
- синхронный рост активности базовых вегетативных регуляторов BL (ФК-1) и SP (ФК-2).

*Матричный прогноз биофизически реальный.*

1. According to the vegetative Matrix (BL=LU-ST-GB-SI-KI-SP), excitation of the matrix key +BL conditions the following systemic dependency: +SP - LU -SI -KI ∩ -ST ∩ -GB. This biophysical dependency is observed in all groups of observation (fig.4.10). In this case, the dynamics of k-V (vegetative equilibrium coefficients) at +BL indicates:

- stabilizing effect on vegetative balance and specific dependence on the part of representatives of all functional complexes;
- synchronous growth of activity of basic vegetative regulators BL (FC-1) and SP (FC-2).

*Matrix prognosis is biophysically real*

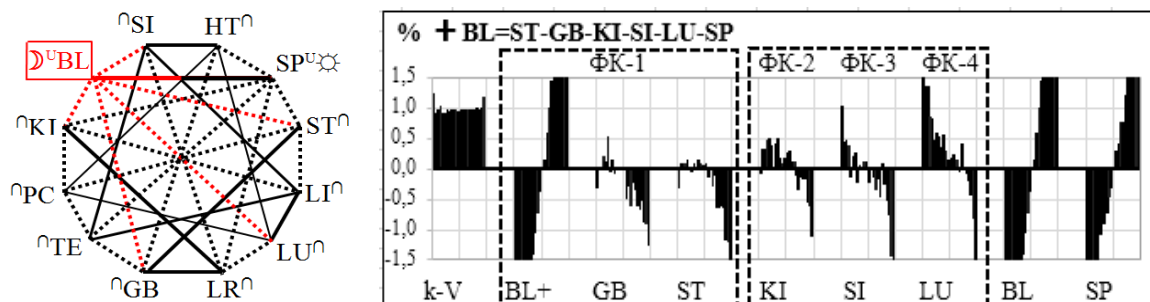


Рис.4.10 Биофизическая реальность Матричного прогноза при +BL  
Fig.4.10 Biophysical reality of the Matrix prognosis with +BL

2. Согласно вегетативной Матрице (GB=HT-BL-ST-TE-LR) возбуждение матричного ключа +GB обуславливает следующую системную зависимость: -BL +ST -HT ∩ +TE +LR. Подобная биофизическая трансформация отмечается по всем группам наблюдения (рис.4.11). При этом динамика k-V (коэффициентов вегетативного равновесия) указывает на:

- симпатическую (ЯН) направленность вегетативного гомеостаза;
- специфическую зависимость со стороны представителей всех функциональных комплексов;
- асинхронное угнетение активности базовых вегетативных регуляторов BL (ФК-1) и SP (ФК-2).

*Матричный прогноз биофизически реальный.*

2. According to the vegetative Matrix (GB=HT-BL-ST-TE-LR), excitation of the matrix key +GB conditions the following systemic dependency: -BL +ST -HT ∩ +TE +LR. This biophysical dependency is observed in all groups of observation (fig.4.11). In this case, the dynamics of k-V (vegetative equilibrium coefficients) at +GB indicates:

- sympathetic (YANG) orientation of vegetative homeostasis;
- specific dependence on the part of representatives of all functional complexes;
- asynchronous inhibition of the activity of the basic vegetative regulators BL (FC-1) and SP (FC-2).

*Matrix prognosis is biophysically real*

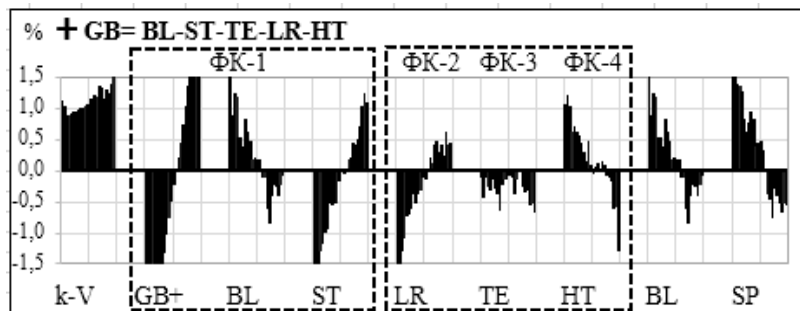
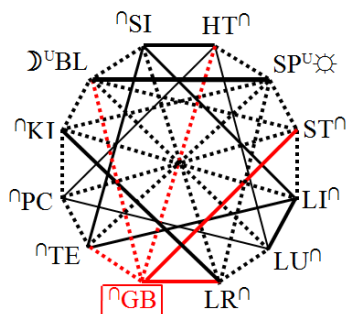


Рис.4.11 Биофизическая реальность Матричного прогноза при + GB  
Fig.4.11 Biophysical reality of the Matrix prognosis with +GB

3. Согласно вегетативной Матрице (ST=PC-BL-GB-SP-LI) возбуждение матричного ключа +ST обуславливает следующую системную зависимость: - BL + GB -PC -SP -LI. Подобная биофизическая зависимость отмечается по всем группам наблюдения (рис.4.12). При этом динамика k-V (коэффициентов вегетативного равновесия) при + ST указывает на:

- симпатическую (ЯН) направленность вегетативного гомеостаза;
- специфическую зависимость со стороны представителей всех функциональных комплексов;
- асинхронное угнетение активности базовых вегетативных регуляторов BL (ФК-1) и SP (ФК-2).

*Матричный прогноз биофизически реальный.*

3. According to the vegetative Matrix (ST=PC-BL-GB-SP-LI), excitation of the matrix key +ST conditions the following systemic dependency: +ST= -BL +GB -PC -SP -LI. This biophysical dependency is observed in all groups of observation (fig.4.12). In this case, the dynamics of k-V (vegetative equilibrium coefficients) at + ST indicates:

- sympathetic (YANG) orientation of vegetative homeostasis;
- Specific dependence on the part of representatives of all functional complexes;
- asynchronous inhibition of the activity of the basic vegetative regulators BL (FC-1) and SP (FC-2).

*Matrix prognosis is biophysically real*

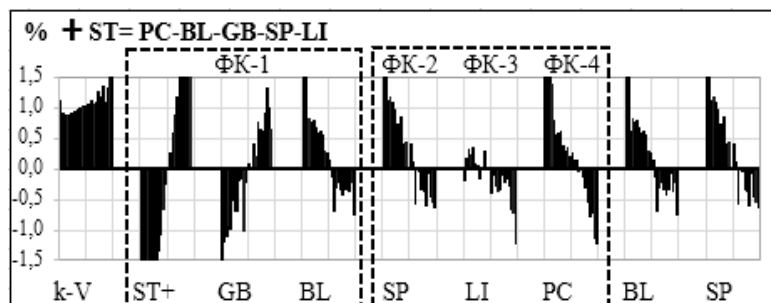
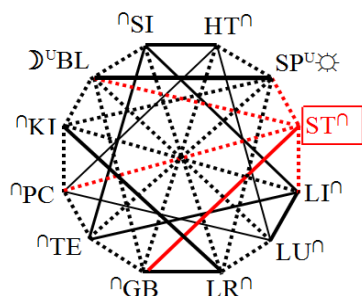


Рис.4.12 Биофизическая реальность Матричного прогноза при + ST  
Fig.4.12 Biophysical reality of the Matrix prognosis with +ST

#### МАТРИЧНЫЕ КЛЮЧИ ФК-2

4. Согласно вегетативной Матрице (SP=TE-KI-LR-ST-HT-BL) возбуждение матричного ключа +SP обуславливает следующую системную зависимость: + BL -TE -KI -LR -ST -HT. Подобная биофизическая зависимость отмечается по всем группам наблюдения (рис.4.13). При этом динамика k-V (коэффициентов вегетативного равновесия) при +SP указывает на:

- непосредственное активирующее влияние на BL (ФК-1) ...;

#### MATRIX KEYS FC-2

4. According to the vegetative Matrix (SP=TE-KI-LR-ST-HT-BL), excitation of the matrix key +SP conditions the following systemic dependency: +SP= +BL -TE -KI -LR -ST -HT. This biophysical dependency is observed in all groups of observation (fig.4.13). In this case, the dynamics of k-V (vegetative equilibrium coefficients) at +SP indicates:

- Direct activating influence on BL (FC-1)...

- парасимпатическую (ИНЬ) направленность вегетативного гомеостаза;
- специфическую зависимость со стороны представителей всех функциональных комплексов;
- синхронное возрастание активности базовых вегетативных регуляторов BL (ФК-1) и SP (ФК-2).

**Матричный прогноз биофизически реальный.**

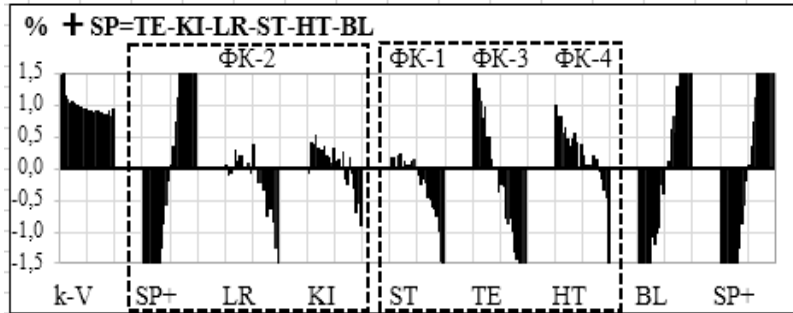
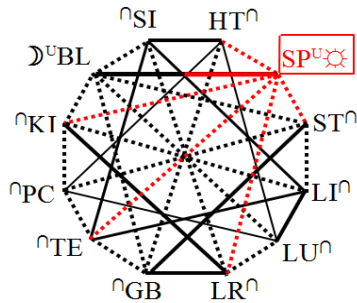


Рис.4.13 Биофизическая реальность Матричного прогноза при + SP  
Fig.4.13 Biophysical reality of the Matrix prognosis with + SP

- parasympathetic (YIN) orientation of vegetative homeostasis;
- Specific dependence on the part of representatives of all functional complexes;
- synchronous growth of activity of basic vegetative regulators BL (FC-1) and SP (FC-2).

**Matrix prognosis is biophysically real**

5. Согласно вегетативной Матрице (LR=SI-KI-SP-LU-GB) возбуждение матричного ключа +LR обуславливает следующую системную зависимость: – SP + KI –LI –SI + GB –LU. Подобная биофизическая зависимость отмечается по всем группам наблюдения (рис. 4.14). При этом динамика k-V (коэффициентов вегетативного равновесия) при +LR указывает на:

- парасимпатическую (ИНЬ) направленность вегетативного гомеостаза;
- специфическую зависимость со стороны представителей всех функциональных комплексов;
- асинхронное угнетение активности базовых вегетативных регуляторов BL (ФК-1) и SP (ФК-2).

**Матричный прогноз биофизически реальный.**

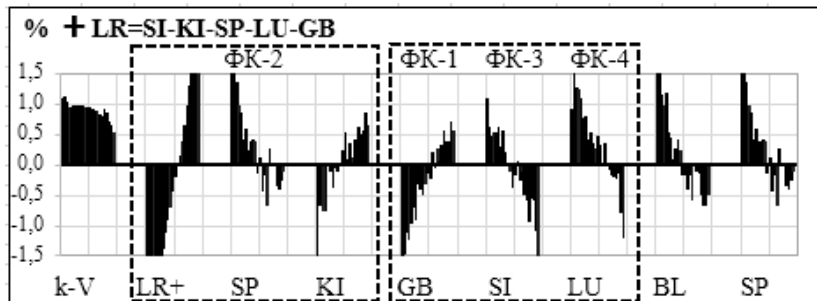
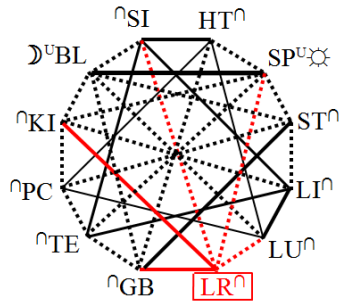


Рис.4.14 Биофизическая реальность Матричного прогноза при + LR  
Fig.4.14 Biophysical reality of the Matrix prognosis with + LR

5. According to the vegetative Matrix (LR=SI-KI-SP-LU-GB), excitation of the matrix key +LR conditions the following systemic dependency: – SP + KI –LI –SI +GB –LU. This biophysical dependency is observed in all groups of observation (fig.4.14). In this case, the dynamics of k-V (vegetative equilibrium coefficients) at +LR indicates:

- parasympathetic (YIN) orientation of vegetative homeostasis;
- specific dependence on the part of representatives of all functional complexes;
- asynchronous inhibition of the activity of the basic vegetative regulators BL (FC-1) and SP (FC-2).

**Matrix prognosis is biophysically real**

6. Согласно вегетативной Матрице (KI=LI-SP-LR-BL-PC) возбуждение матричного ключа +KI обуславливает следующую системную зависимость: U–SP +LR –LI U–BL –PC. Подобная

6. According to the vegetative Matrix (KI=LI-SP-LR-BL-PC), excitation of the matrix key +KI conditions the following systemic dependency: U–SP +LR –LI U–BL –PC. This biophysical dependency

биофизическая зависимость отмечается по всем группам наблюдения (рис. 4.15). При этом динамика k-V (коэффициентов вегетативного равновесия) при +KI указывает на:

- парасимпатическую (ИНЬ) направленность вегетативного гомеостаза;
- специфическую зависимость со стороны представителей всех функциональных комплексов;
- асинхронно-парадоксальную активность базовых вегетативных регуляторов BL (ФК-1) и SP (ФК-2).

**Матричный прогноз биофизически реальный.**

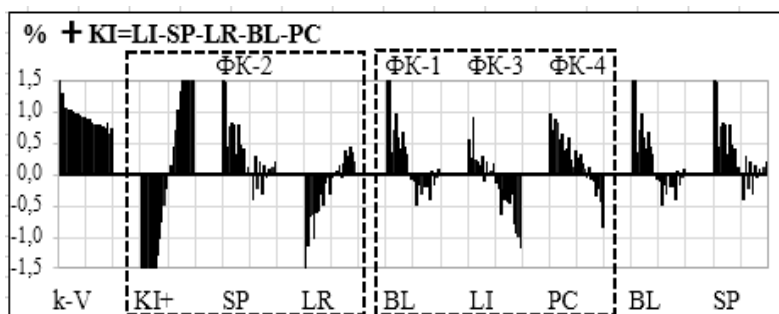
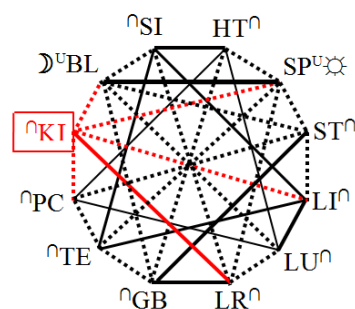


Рис.4.15 Биофизическая реальность Матричного прогноза при + KI  
Fig.4.15 Biophysical reality of the Matrix prognosis with + KI

#### МАТРИЧНЫЕ КЛЮЧИ ФК-3

7. Согласно вегетативной Матрице (SI=LR-TE-LI-BL-HT) возбуждение матричного ключа +SI обуславливает следующую системную зависимость:  $\cap+LI \cap+TE -LR \cup-BL +HT$ . Подобная биофизическая зависимость отмечается по всем группам наблюдения (рис.4.16). При этом динамика k-V (коэффициентов вегетативного равновесия) при +SI указывает на:

- симпатическую (ЯН) направленность вегетативного гомеостаза;
- специфическую зависимость со стороны представителей всех функциональных комплексов;
- асинхронно-парадоксальную активность базовых вегетативных регуляторов BL (ФК-1) и SP (ФК-2).

**Матричный прогноз биофизически реальный.**

8. Согласно вегетативной Матрице (TE=SP-SI-LI-PC-GB) возбуждение матричного ключа +TE обуславливает следующую системную зависимость:  $\cup+SI +LI -SP -PC \cap-GB$ . Подобная биофизическая зависимость отмечается по всем группам наблюдения (рис.4.18). При этом динамика k-V (коэффициентов вегетативного равновесия) при +TE указывает на:

is observed in all groups of observation (fig.4.15). In this case, the dynamics of k-V (vegetative equilibrium coefficients) at + KI indicates:

- parasympathetic (YIN) orientation of vegetative homeostasis;
- specific dependence on the part of representatives of all functional complexes;
- asynchronous-paradoxical activity of basic vegetative regulators BL (FC-1) and SP (FC-2).

**Matrix prognosis is biophysically real**

#### MATRIX KEYS FC-3

7. According to the vegetative Matrix (SI=LR-TE-LI-BL-HT), excitation of the matrix key +SI conditions the following systemic dependency:  $\cap+LI \cap+TE -LR \cup-BL +HT$ . This biophysical dependency is observed in all groups of observation (fig.4.16). In this case, the dynamics of k-V (vegetative equilibrium coefficients) at + SI indicates:

- sympathetic (YANG) orientation of vegetative homeostasis;
- specific dependence on the part of representatives of all functional complexes;
- Asynchronous-paradoxical activity of basic vegetative regulators BL (FC-1) and SP (FC-2).

**Matrix prognosis is biophysically real**

8. According to the vegetative Matrix (TE=SP-SI-LI-PC-GB), excitation of the matrix key +TE conditions the following systemic dependency:  $\cup+SI +LI -SP -PC \cap-GB$ . This biophysical dependency is observed in all groups of observation (fig. 4.18). In this case, the dynamics of k-V (vegetative equilibrium coefficients) at + TE indicates:

- симпатическую (ЯН) направленность вегетативного гомеостаза;
- специфическую зависимость со стороны представителей всех функциональных комплексов;
- асинхронное угнетение активности базовых вегетативных регуляторов BL (ФК-1) и SP (ФК-2).

**Матричный прогноз биофизически реальный.**

- sympathetic (YANG) orientation of vegetative homeostasis;
- specific dependence on the part of representatives of all functional complexes;
- asynchronous inhibition of the activity of the basic vegetative regulators BL (FC-1) and SP (FC-2).

**Matrix prognosis is biophysically real**

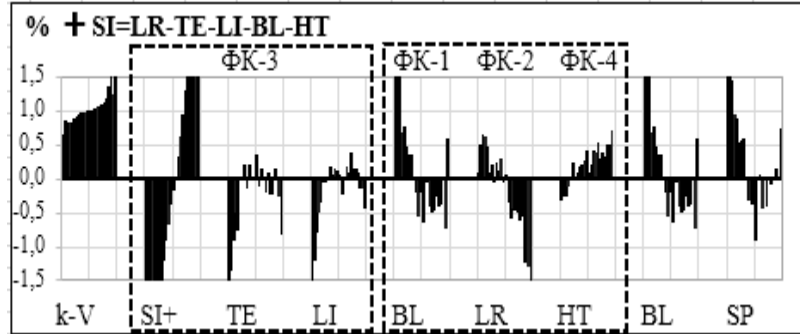
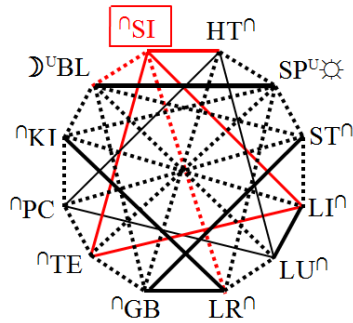


Рис.4.16 Биофизическая реальность Матричного прогноза при +SI

Fig.4.16 Biophysical reality of the Matrix prognosis with +SI

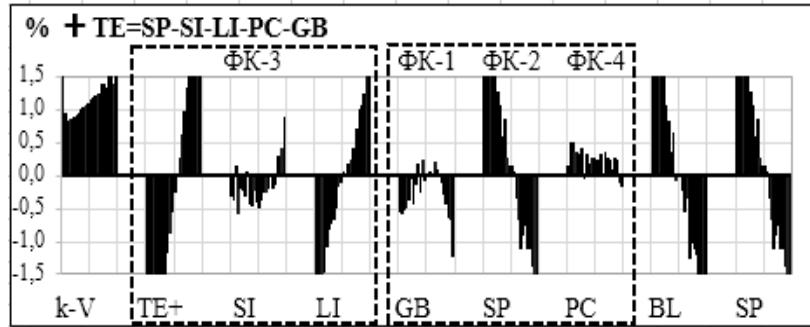
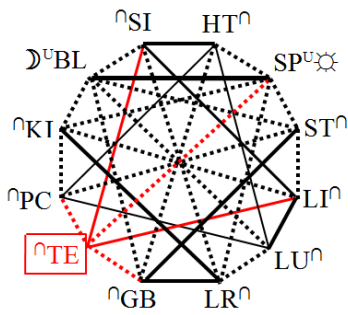


Рис.4.17 Биофизическая реальность Матричного прогноза при +TE

Fig.4.17 Biophysical reality of the Matrix prognosis with +TE

9. Согласно вегетативной Матрице (LI=KI-SI-TE-ST-LU) возбуждение матричного ключа +LI обуславливает следующую системную зависимость: +TE +SI –KI +LU  $\cap$  –ST. Подобная биофизическая зависимость отмечается по всем группам наблюдения (рис.4.18). При этом динамика k-V (коэффициентов вегетативного равновесия) при +LI указывает на:

- симпатическую (ЯН) направленность вегетативного гомеостаза;
- специфическую зависимость со стороны представителей всех функциональных комплексов;
- асинхронное угнетение активности базовых вегетативных регуляторов BL (ФК-1) и SP (ФК-2).

**Матричный прогноз биофизически реальный.**

9. According to the vegetative Matrix (LI=KI-SI-TE-ST-LU), excitation of the matrix key +LI conditions the following systemic dependency: +TE +SI –KI +LU  $\cap$  –ST. This biophysical dependency is observed in all groups of observation (fig.4.18). In this case, the dynamics of k-V (vegetative equilibrium coefficients) at +LI indicates:

- sympathetic (YANG) orientation of vegetative homeostasis;
- specific dependence on the part of representatives of all functional complexes;
- asynchronous inhibition of the activity of the basic vegetative regulators BL (FC-1) and SP (FC-2).

**Matrix prognosis is biophysically real**



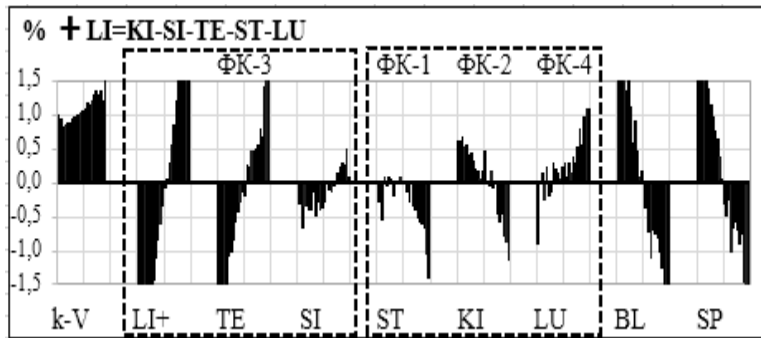
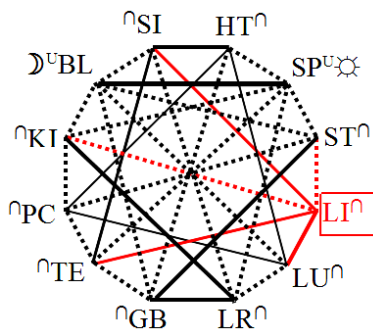


Рис.4.18 Биофизическая реальность Матричного прогноза при +LI  
Fig.4.18 Biophysical reality of the Matrix prognosis with +LI

<b>МАТРИЧНЫЕ КЛЮЧИ ФК-4</b>	<b>MATRIX KEYS FC-4</b>
-----------------------------	-------------------------

10. Согласно вегетативной Матрице (LU=BL-HT-PC-LI-LR) возбуждение матричного ключа +LU обуславливает следующую системную зависимость: +PC +HT -BL +LI -LR. Подобная биофизическая зависимость отмечается по всем группам наблюдения (рис.4.19). При этом динамика k-V (коэффициентов вегетативного равновесия) при +LU указывает на:

- парасимпатическую (ИНЬ) направленность вегетативного гомеостаза;
- специфическую зависимость со стороны представителей всех функциональных комплексов;
- асинхронное угнетение активности базовых вегетативных регуляторов BL (ФК-1) и SP (ФК-2).

**Матричный прогноз биофизически реальный.**

10. According to the vegetative Matrix (LU=BL-HT-PC-LI-LR), excitation of the matrix key +LU conditions the following systemic dependency: +PC +HT -BL +LI -LR. This biophysical dependency is observed in all groups of observation (fig.4.19). In this case, the dynamics of k-V (vegetative equilibrium coefficients) at +LU indicates:

- parasympathetic (YIN) orientation of vegetative homeostasis;
- specific dependence on the part of representatives of all functional complexes;
- asynchronous inhibition of the activity of the basic vegetative regulators BL (FC-1) and SP (FC-2).

**Matrix prognosis is biophysically real**

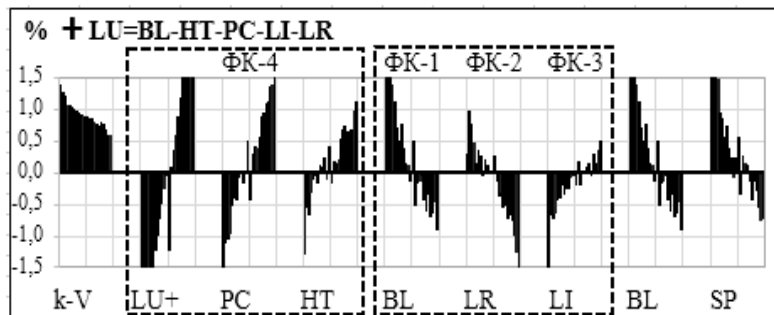
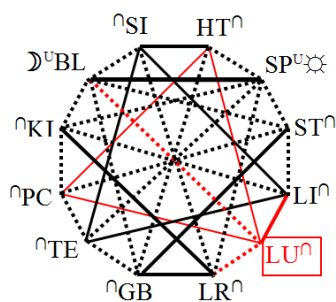


Рис.4.19 Биофизическая реальность Матричного прогноза при +LU  
Fig.4.19 Biophysical reality of the Matrix prognosis with +LU

11. Согласно вегетативной Матрице (PC=ST-HT-LU-KI-TE) возбуждение матричного ключа +PC обуславливает следующую системную зависимость: +HT +LU -ST -KI -TE. Подобная биофизическая зависимость отмечается по всем группам наблюдения (рис.4.20). При этом динамика k-V (коэффициентов вегетативного равновесия) при +PC указывает на:

11. According to the vegetative Matrix (PC=ST-HT-LU-KI-TE), excitation of the matrix key +PC conditions the following systemic dependency: +HT +LU -ST -KI -TE. This biophysical dependency is observed in all groups of observation (fig.4.20). In this case, the dynamics of k-V (vegetative equilibrium coefficients) at +PC indicates:

- парасимпатическую (ИНЬ) направленность вегетативного гомеостаза;
- специфическую зависимость со стороны представителей всех функциональных комплексов;
- асинхронное угнетение активности базовых вегетативных регуляторов BL (ФК-1) и SP (ФК-2).

**Матричный прогноз биофизически реальный.**

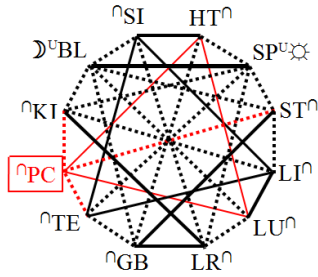


Рис.4.20 Биофизическая реальность Матричного прогноза при +PC  
Fig.4.20 Biophysical reality of the Matrix prognosis with +PC

21. Согласно вегетативной Матрице (HT=GB-PC-LU-SI-SP) возбуждение матричного ключа +HT обуславливает следующую системную зависимость: +LU +PC –GB +SI ∩ –SP. Подобная биофизическая зависимость отмечается по всем группам наблюдения (рис.4.21). При этом динамика k-V (коэффициентов вегетативного равновесия) при +HT указывает на:

- парасимпатическую (ИНЬ) направленность вегетативного гомеостаза;
- специфическую зависимость со стороны представителей всех функциональных комплексов;
- асинхронно-парадоксальное угнетение активности базовых вегетативных регуляторов BL (ФК-1) и SP (ФК-2).

**Матричный прогноз биофизически реальный.**

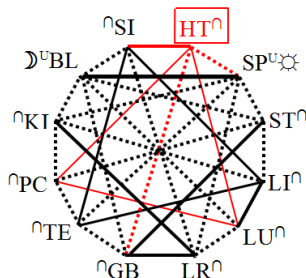
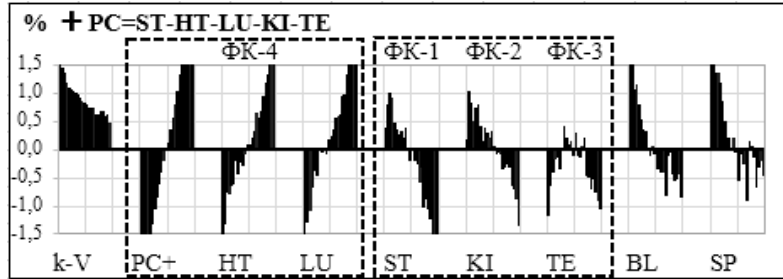


Рис.4.21 Биофизическая реальность Матричного прогноза при +HT  
Fig.4.21 Biophysical reality of the Matrix prognosis with +HT

- parasympathetic (YIN) orientation of vegetative homeostasis;
- specific dependence on the part of representatives of all functional complexes;
- asynchronous inhibition of the activity of the basic vegetative regulators BL (FC-1) and SP (FC-2).

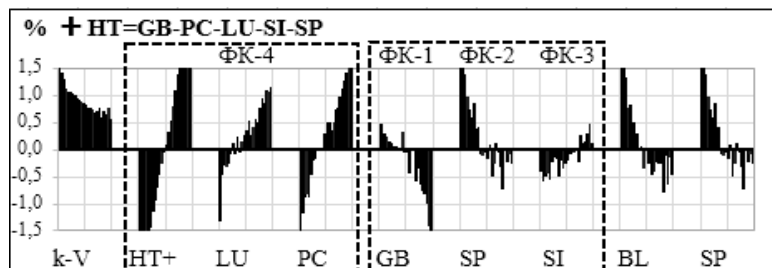
**Matrix prognosis is biophysically real**



21. According to the vegetative Matrix (HT=GB-PC-LU-SI-SP), excitation of the matrix key +HT conditions the following systemic dependency: +LU +PC –GB +SI ∩ –SP. This biophysical dependency is observed in all groups of observation (fig.4.21). In this case, the dynamics of k-V (vegetative equilibrium coefficients) at +HT indicates:

- parasympathetic (YIN) orientation of vegetative homeostasis;
- specific dependence on the part of representatives of all functional complexes;
- Asynchronous-paradoxical activity of basic vegetative regulators BL (FC-1) and SP (FC-2).

**Matrix prognosis is biophysically real**



## ВЫВОДЫ

1. Приведенные материалы свидетельствуют о биофизической реальности Матричного прогноза.

2. "Вегетативные ключи" запускают системную трансформацию всех функциональных комплексов.

3. "Вегетативная матрица Макаца" биофизически объединяет Восточную теоретическую базу иглотерапии и переводит её в реально существующую Западную "Функциональную вегетологию".

## CONCLUSIONS

1. These materials show the biophysical reality of the Matrix prognosis.

2. "Vegetative Keys" launch a systemic transformation of all functional complexes.

3. Makats's vegetative matrix biophysically combines Eastern theoretical basis of acupuncture therapy and translates it into a really existing Western "Functional vegetology."





## 5. МАТРИЧНЫЕ ВЕГЕТАТИВНЫЕ КЛЮЧИ - КАК БИОФИЗИЧЕСКИЙ АНАЛОГ "ЧУДЕСНЫХ МЕРИДИАНОВ"

### 5. MATRIX VEGETATIVE KEYS - AS A BIOPHYSICAL ANALOGUE OF "MAGIC MERIDIANS" ...

В свое время мы рассмотрели реабилитационную эффективность традиционных "Чудесных меридианов" (ЧМ) при различных уровнях вегетативных нарушений [5, с.147-164].

Их реабилитационная направленность обуславливает неконтролируемую дисперсию (рассеивание) вегетативных уровней. Указанное влияние отмечено по группам наблюдения с различными начальными (100%) уровнями симпатической или парасимпатической активности.

Сегодня проблему ЧМ целесообразно рассмотреть с двух позиций: традиционной китайской теории и нашей концепции матричных "Вегетативных ключей" (*предыдущий раздел*) ...

Восточная терапевтическая философия выделяет восемь временных ЧМ. Они образуются при "тяжелой патологии с избытком энергии ... и выступают как шлюзы для её выведения из организма" [2, с.84-93] ...

ЧМ разделяют на две группы: первая (ЧМ I-IV) контролирует синдромы ЯН, вторая (ЧМ V-VIII) ИНЬ синдромы. Для усиления лечебного эффекта ЧМ эмпирически объединили по парам: первая пара ЧМ=I-II; вторая пара ЧМ=III-IV; третья пара ЧМ=V-VI и четвертая пара ЧМ=VII-VIII.

Логика объединения ЧМ по указанным парам обусловлена противоположным расположением их "ключей" (одного на руке, другому на ноге), что соответствует традиционной концепции "Верх-низ (Рука-нога)". Каждую функциональную пару ЧМ объединяет "зона связи", которая одновременно является "ключом" для другого.

Следует отметить, что древние трактаты говорят о ЧМ "как с выпущенным на волю тигром", хотя рекомендации по их использованию содержат все известные патологические состояния ...

Не вдаваясь в полемику, мы хотим на основе новых знаний о функционально-вегетативных уровнях найти биофизическое обоснование для применения ЧМ. Поэтому рассмотрим их вегетативную суть, признавая ценность полученной от китайских Учителей информации.

At one time, we considered the rehabilitation effectiveness of the traditional "Magic Meridians" (MM) at various levels of vegetative violations [5, p.147-164].

Their relative vegetative orientation causes uncontrolled dispersion (dispersion) of vegetative levels. The indicated effect is marked by observation groups with different initial (100%) levels of sympathetic, or parasympathetic activity.

Today, the Magic Meridian (MM) problem should be considered from two points: the traditional Chinese theory and our concept of Matrix "Vegetative Keys" (*previous section*) ...

The Eastern therapeutic philosophy distinguishes eight temporal "Magic meridians" (MM). They "form during severe pathology with the surplus of energy and are gateways for its release from organism" [2, p.84-93]...

MM are divided into two groups: the first (MM I-IV) controls YANG syndromes, while the second (MM V-VIII) YIN syndromes. In order to enhance therapeutic effect, MM were empirically composed according to pairs: first pair MM=I-II; second MM=III-IV; third MM=V-VI and fourth MM=VII-VIII.

The logic of combination of MM by the mentioned pairs is conditioned by the opposite location of their "keys" (in one MM on hand, in another on leg), which corresponds to the traditional position "Top-Bottom (Hand-Leg)". Functional pair of MM is formed by the "zone of connection" of one of them, which simultaneously is the "key zone" of another.

It should be noted that ancient treatises warn of the necessity to treat MM "as a released tiger", however recommendations on their usage contain practically all known pathological states...

Not discussing the essence of the latter, we want, on the basis of new knowledge on functional-vegetative levels, to find biophysical ground for the usage of MM. That is why let us observe their vegetative essence, recognizing the pricelessness of the received information from Chinese Teachers.

**5.1 Первая пара ЧМ (SI-BL)**  
 Vegetative status - "Управляющий ЯН" активностью (симпатической)...

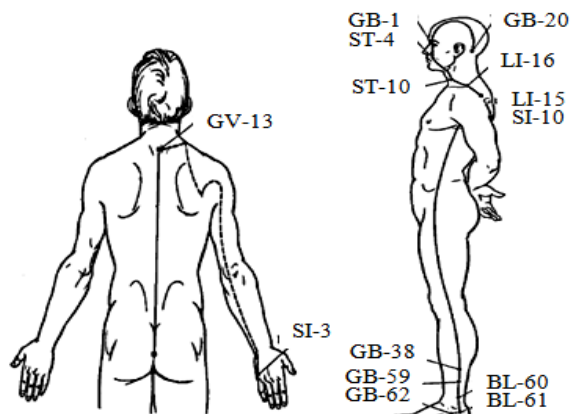


Рис.5.1 Первая пара ЧМ=I-II (Ду-май + Ян-цзяо-май).

**5.1 FIRST PARK MM (SI-BL)**  
 Vegetative status - "Governor of YANG" activity (sympathetic) ...

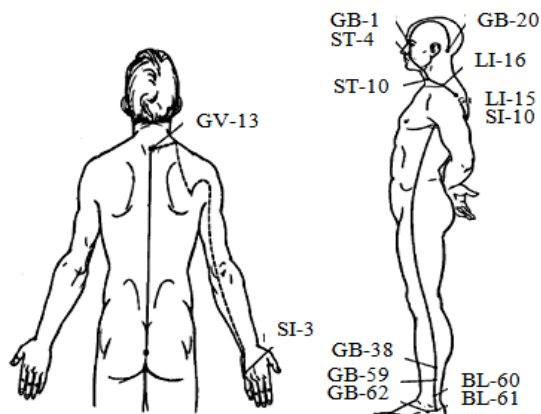


Fig.5.1 First pair MM=I-II (Governor v. + Yang heel v.).

**ВЛИЯНИЕ ПЕРВОЙ ПАРЫ ЧМ (SI-BL) НА ДИСПЕРСИЮ ВЕГЕТАТИВНЫХ УРОВНЕЙ**

Влияния первой пары ЧМ (SI<sup>3</sup>-BL<sup>62</sup>) на вегетативную дисперсию (VK-1) при исходной значительной парасимпатической (ПА-зн, рис.5.2) и симпатической (СА-зн, рис.5.3) активности:

- переводит 100% ПА-зн на более высокие вегетативные уровни (ПА-в – СА-зн);
- снижает на 66,4% исходное состояние СА-зн и переводит на более низкие вегетативные уровни (СА-в – ПА-зн).

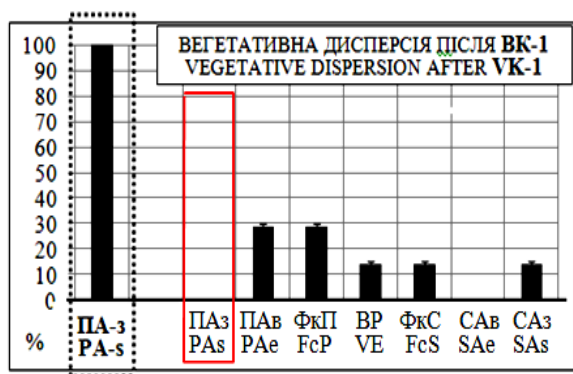


Рис. (Fig.) 5.2

**EFFECT OF THE FIRST PARK MM (SI-BL) TO DISPERSION OF VEGETATIVE LEVELS**

Effects of the first pair of MM (SI<sup>3</sup>-BL<sup>62</sup>) on the vegetative dispersion (VK-1) at the initial significant parasympathetic (PAs, Fig.5.2) and sympathetic (SAs, Fig. 5.3) activity:

- translates 100% PAs into higher vegetative levels (PAe - SAs);
- reduces by 66,4% the initial state of SAs and translates into lower vegetative levels (SAe - PAs).

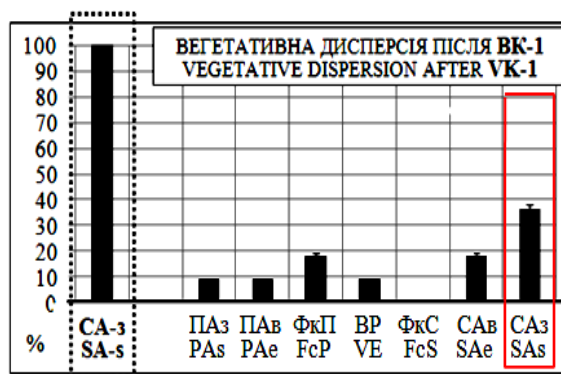


Рис. (Fig.) 5.3

**МАТРИЧНАЯ ЗАВИСИМОСТЬ ВЕГЕТАТИВНОГО КЛЮЧА ЧМ-I (+SI)**

2. Согласно вегетативной Матрице возбуждение вегетативного ключа +SI формирует системную зависимость +SI ∩ +TE ∩ +LI -LR ∪ -BL +HT (рис. 5.4). В зону его биофизической зависимости входит 37,5% "акупунктурных каналов" первой пары (табл.5.1).

**MATRIX DEPENDENCE VEGETATIVE KEY MM-I (+SI)**

2. According to the vegetative Matrix excitation of the matrix key +SI conditions the following systemic dependency +SI ∩ +LI ∩ +TE -LR ∪ -BL +HT (fig. 5.4). The zone of its biophysical dependence includes 37,5% of the "acupuncture channels" of the first pair (table 5.1).

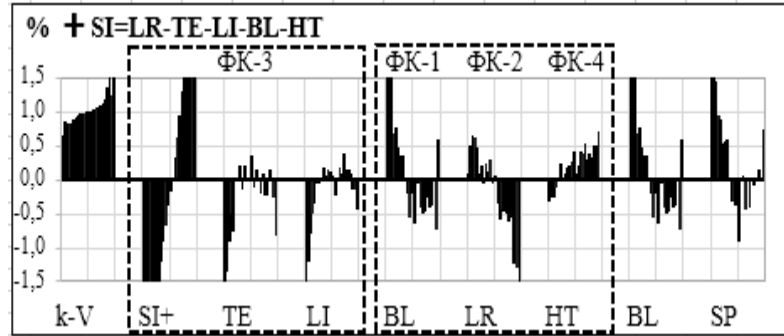
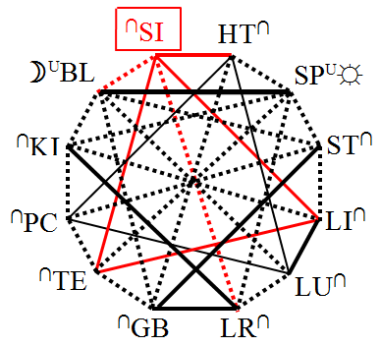


Рис. (Fig.) 5.4

Таблица (Table) 5.1

МАТРИЧНЫЙ ВЕГЕТАТИВНЫЙ КЛЮЧ ⊙SI (MATRIX VEGETATIVE KEYS ⊙+SI)

ЧМ (MM)	Точки ЧМ - Points of the MM					Используемые меридианы Involved meridians
	➤	➤	⊙	⊙	♣	
I	BL-62	GB-20	BL-62	SI-3	BL-59	BL, ST, GB, SI, LI
II	GV-1	GV-28	SI-3	BL-62		GV, SI, BL
ЗОНА ВЛИЯНИЯ (ZONE OF EFFECTS) ⊙+SI						+SI=∩+LI ∩+TE -LR, U-BL +HT

*Примечание:* ➤ начальная (Starting), ➤ конечная (end point), ⊙ Ключ (key), ⊙ связывающая (connecting), ♣ противоположная (painful).

В зоне биофизической зависимости ⊙SI находятся "акупунктурные каналы" ЧМ-I BL-SI-LI и ЧМ-II SI-LI (табл.5.1).

При этом динамика функционально-вегетативного гомеостаза (по k-V) указывает на его симпатическую направленность и специфическую системную зависимость комплексов ФК-3, ФК-1, ФК-2 и ФК-4...

Напомним, что угнетение Ключа обусловит противоположную системно-матричную зависимость.

*Симпатическая динамика k-V +SI говорит о ЯН-активности ЧМ-I.*

In the traditional zone of the FM-1 there are "acupuncture channels" GV-SI-BL, and in the zone of FM-II BL-ST-GB-SI-LI (tab. 5.1).

At the same time, the dynamics of functional-vegetative homeostasis (in k-V) indicates its sympathetic orientation and the specific systemic dependence of complexes FC-3, FC-1, FC-2 and FC-4 ...

Recall that the oppression of the Key will cause the opposite system-matrix dependence.

*Sympathetic dynamics k-V +SI confirms the YANG-activity of the first pair of MM-1*

**МАТРИЧНАЯ ЗАВИСИМОСТЬ ВЕГЕТАТИВНОГО КЛЮЧА ЧМ-II (+BL)**

**MATRIX DEPENDENCE VEGETATIVE KEY MM-II (+BL)**

1. Согласно вегетативной Матрице вегетативный ключ +BL формирует системную зависимость +BL +SP -LU -SI -KI ∩-ST ∩-GB (рис.5.5). В зону его биофизической активности входит 50,0 % "акупунктурных каналов" первой пары (табл.5.2).

1. According to the vegetative Matrix excitation of the matrix key +BL conditions the following systemic dependency: + SP -LU -SI -KI ∩-ST ∩-GB (fig.5.5). The zone of its biophysical dependence includes 50,0 % of the "acupuncture channels" of the first pair (table 5.2).

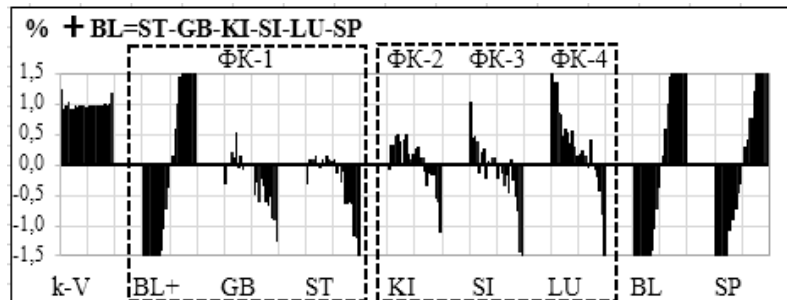
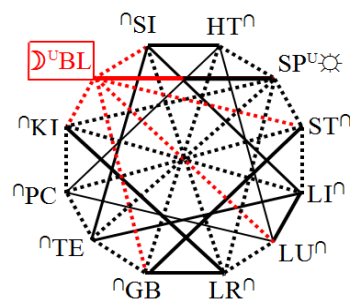


Рис. (Fig.) 5.5

ЧМ (MM)	Точки ЧМ - Points of the MM					Используемые меридианы Involved meridians
	➤	➤	⊙	●	♣	
I	GV-1	GV-28	SI-3	BL-62	BL-59	GV, SI, BL
II	BL-62	GB-20	BL-62	SI-3		BL, ST, GB, SI, LI
ЗОНА ВЛИЯНИЯ (ZONE OF EFFECTS) ⊙ BL						+ BL = -ST-GB-KI-SI-LU+SP

*Примечание (Note):* ➤ начальная (Starting), ➤ конечная (end point), ⊙ Ключ (key), ● связывающая (connecting), ♣ противоположная (painful).

В зоне биофизической зависимости ⊙BL находятся "акупунктурные каналы" ЧМ-I SI-BL и ЧМ-II BL-ST-GB (табл.5.1).

При этом динамика функционально-вегетативного гомеостаза (по k-V) указывает на его стабилизацию и специфическую системную зависимость комплексов (ФК 1-2-3-4)...

Напомним, что угнетение Ключа обусловит противоположную системно-матричную зависимость.

*Нейтрально-симпатическая динамика k-V SI-BL говорит о ЯН-активности первой пары ЧМ.*

In the traditional zone of the FM-1 there are "acupuncture channels" GV-SI-BL, and in the zone of FM-II BL-ST-GB-SI-LI (tab. 5.1).

In this case, the dynamics of functional vegetative homeostasis (in k-V) indicates its stabilization and the specific systemic dependence of the complexes (FC 1-2-3-4) ...

Recall that the oppression of the Key will cause the opposite system-matrix dependence.

*Нейтрально-симпатическая динамика k-V SI BL говорит о ЯН-активности первой пары ЧМ.*

<p><b>5.2 ВТОРАЯ ПАРА ЧМ (TE-GB)</b> Вегетативный статус – "Охранник ЯН" активности(симпатической) ...</p>	<p><b>5.2 OTHER PART MM (TE-GB)</b> Vegetative status - "Guardian YANG" activity (sympathetic) ...</p>
--	--

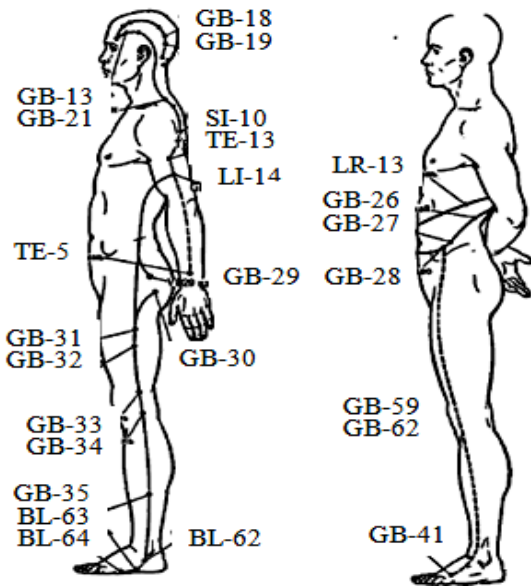


Рис.5.6 Вторая пара ЧМ=III-IV (Ян-вей-май + Дай-май).

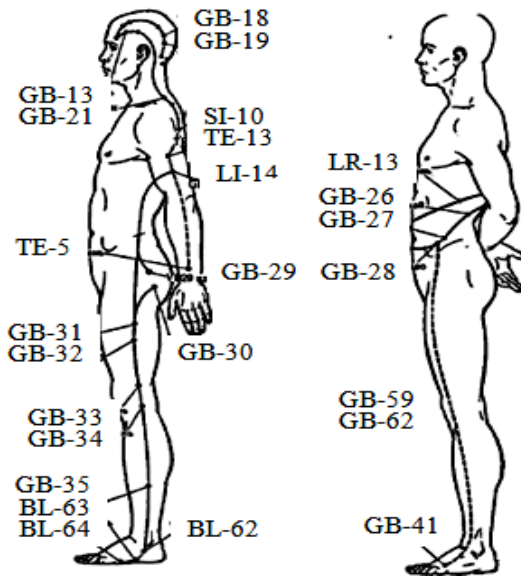


Fig.5.6 Second pair MM=III-IV (Yang link v. + Belt v.).

<p><b>ВЛИЯНИЕ ВТОРОЙ ПАРЫ ЧМ (TE-GB) НА ДИСПЕРСИЮ ВЕГЕТАТИВНЫХ УРОВНЕЙ</b></p>	<p><b>EFFECT OF THE OTHER PARK MM(TE-GB) TO DISPERSION OF VEGETATIVE LEVELS</b></p>
--	---

Влияние второй пары ЧМ (TE<sup>2</sup>-GB<sup>41</sup>) на вегетативную дисперсию (VK-2) при значительной исходной парасимпатической (ПА-зн; рис.5.7) и симпатической (СА-зн; рис.5.8) активности:

Effects of the other pair of MM (TE<sup>2</sup>-GB<sup>41</sup>) on the vegetative dispersion (VK-2) at the initial significant parasympathetic (PAs; Fig.5.7) and sympathetic (SAs; Fig.5.8) activity:

- переводит 100% ПА-зн на более высокие вегетативные уровни (ПА-в – СА-в);  
 - переводит 100% СА-зн на более низкие вегетативные уровни (СА-в – ВР).

- translates 100% PAs into higher vegetative levels (PAe - SAe);  
 - translates 100% SAs into lower vegetative levels (SAe - VE).

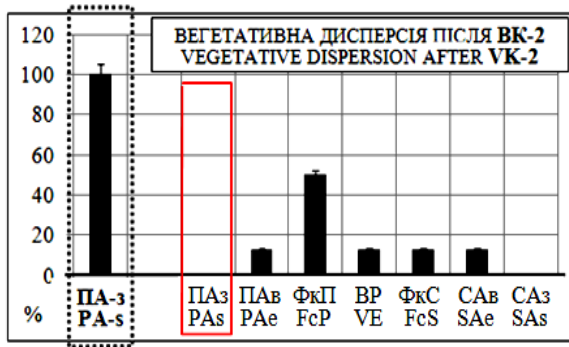


Рис. 5.7

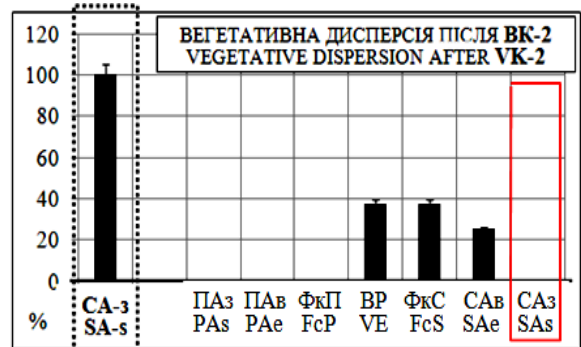


Fig. 5.8

**МАТРИЧНАЯ ЗАВИСИМОСТЬ ВЕГЕТАТИВНОГО КЛЮЧА ЧМ-III (+TE)**

**MATRIX DEPENDENCE VEGETATIVE KEY MM-III (+TE)**

Согласно вегетативной Матрице вегетативный ключ +TE формирует системную зависимость +TE U+SI+LI – SP –PC ∩–GB (рис.5.9). В зону его биофизической активности (таб.5.3) входит 37,5% "акупунктурных каналов" второй пары (ЧМ-III GB-TE-LI и ЧМ-IV GB).

According to the vegetative Matrix excitation of the matrix key + TE conditions the following systemic dependency: +TE U+SI+LI –SP –PC ∩–GB (fig.5.9). In the zone of its biophysical activity (tab.5.3) is 37.5% of the "acupuncture channels" of the second pair (MM-III GB-TE-LI and MM-IV GB).

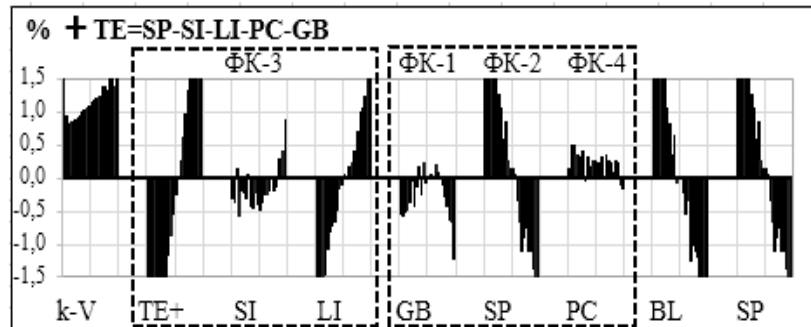
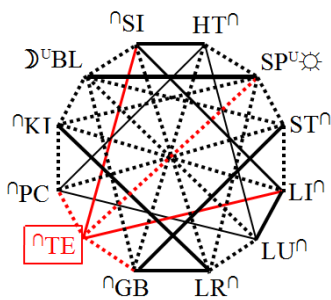


Рис. (Fig.) 5.9

Таблица (Table) 5.3

**ЗОНА БИОФИЗИЧЕСКОЙ ЗАВИСИМОСТИ (ZONE OF BIOPHYSICAL DEPENDENCE) ⊙TE**

ЧМ (MM)	Точки ЧМ - Points of the MM					Используемые меридианы Involved meridians
	➤	➤	⊙	⊙	♣	
III	LR-13	GB-28	GB-41	TE-5	GB-35	BL, GB, TE, ST, LI
IV	BL-64	GB-13	TE-5	GB-41	ЧМ-III	LR, GB,
ЗОНА ВЛИЯНИЯ (ZONE OF EFFECTS) ⊙TE						+ TE= U+SI, +LI, -SP, -PC, ∩–GB

*Примечание (Note):* ➤ начальная (Starting), ➤ конечная (end point), ⊙ Ключ (key), ⊙ связывающая (connecting), ♣ противоположная (painful).

При этом динамика функционально-вегетативного гомеостаза (по k-V) указывает на его симпатическую направленность и специфическую системную зависимость комплексов (ФК 3-1-2-4)...

At the same time, the dynamics of functional-vegetative homeostasis (in k-V) indicates its sympathetic orientation (parasympathetic stabilization) and the specific systemic dependence of complexes (ФК 3-1-2-4)...

Напомним, что угнетение Ключа обусловит противоположную системно-матричную зависимость.

Recall that the oppression of the Key will cause the opposite system-matrix dependence.



<b>МАТРИЧНАЯ ЗАВИСИМОСТЬ ВЕГЕТАТИВНОГО КЛЮЧА ЧМ-IV (+GB)</b>	<b>MATRIX DEPENDENCE VEGETATIVE KEY MM-IV (+GB)</b>
--	---

Согласно вегетативной Матрице вегетативный ключ +GB формирует системную зависимость +GB -BL +ST -HT ☉+TE +LR (рис.5.10). В зону его биофизической активности (таб.5.4) входит 100% "акупунктурных каналов" второй пары (ЧМ-III BL-GB-TE-ST-LI и ЧМ-IV LR-GB).

According to the vegetative Matrix excitation of the matrix key +GB conditions the following systemic dependency: +GB -BL +ST -HT ☉+TE +LR (fig.5.10). In the zone of its biophysical activity (tab.5.4) is 37.5% of the "acupuncture channels" of the second pair (MM-III BL-GB-TE-ST-LI and MM-IV LR-GB).

Согласно вегетативной Матрице вегетативный ключ +GB формирует системную зависимость +GB -BL +ST -HT ☉+TE +LR (рис.5.10). В зону его биофизической активности (таб.5.4) входит 100% "акупунктурных каналов" второй пары (ЧМ-III BL-GB-TE-ST-LI и ЧМ-IV LR-GB).

According to the vegetative Matrix excitation of the matrix key +GB conditions the following systemic dependency: +GB -BL +ST -HT ☉+TE +LR (fig.5.10). In the zone of its biophysical activity (tab.5.4) is 37.5% of the "acupuncture channels" of the second pair (MM-III BL-GB-TE-ST-LI and MM-IV LR-GB).

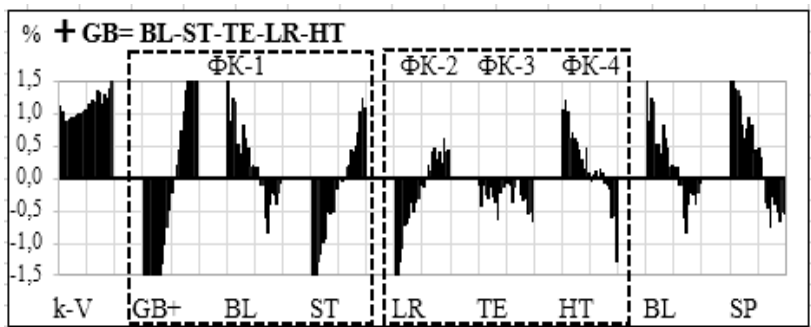
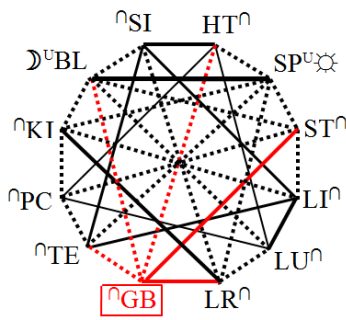


Рис. (Fig.) 5.10

Таблица (Table) 5.4

ЗОНА БИОФИЗИЧЕСКОЙ ЗАВИСИМОСТИ (ZONE OF BIOPHYSICAL DEPENDENCE) ☉GB

ЧМ (MM)	Точки ЧМ - Points of the MM					Используемые меридианы Involved meridians
	➤	➤	☉	●	♣	
III	LR-13	GB-28	GB-41	TE-5	GB-35	BL, GB, TE, ST, LI
IV	BL-64	GB-13	TE-5	GB-41	ЧМ-III	LR, GB
ЗОНА ВЛИЯНИЯ (ZONE OF EFFECTS) ☉GB						<b>+GB = -BL, +ST, -HT, ☉+TE, +LR</b>

*Примечание (Note):* ➤ начальная (Starting), ➤ конечная (end point), ☉ Ключ (key), ● связывающая (connecting), ♣ противоположная (painful).

При этом динамика функционально-вегетативного гомеостаза (по k-V) указывает на его симпатическую направленность и специфическую системную зависимость комплексов (ФК 1-2-3-4)...

At the same time, the dynamics of functional-vegetative homeostasis (in k-V) indicates its sympathetic orientation (parasympathetic stabilization) and the specific systemic dependence of complexes (ФК 1-2-3-4)...

Напомним, что угнетение Ключа обусловит противоположную системно-матричную зависимость.

Recall that the oppression of the Key will cause the opposite system-matrix dependence.

**5.3 ТРЕТЬЯ ПАРА ЧМ (LI-KI)**  
 Вегетативный статус - "Управляющий ИНЬ" активностью (симпатической).

**5.3 THIRD PARK MM (LI-KI)**  
 Vegetative status - "Governor of YIN" activity (sympathetic).

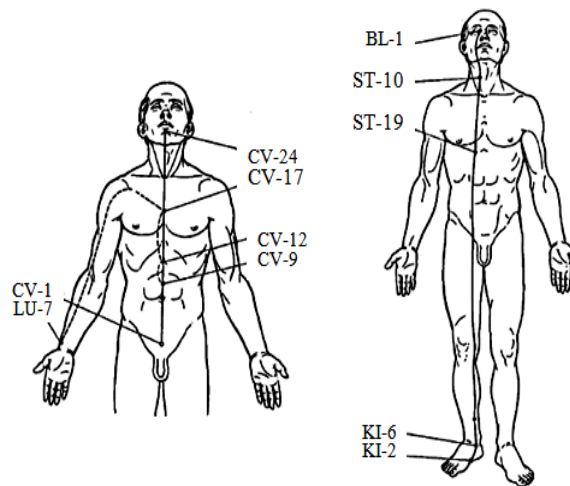
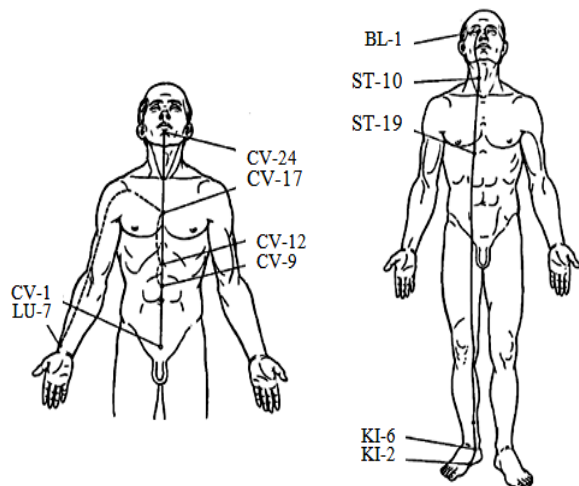


Рис.5.11 Третья пара ЧМ =V-VI (Жэнь-май + Инь-цзяо-май).

Fig.5.11. Third pair MM=V-VI (Жэнь-май + Инь-цзяо-май).

**ВЛИЯНИЕ ТРЕТЬЕЙ ПАРЫ ЧМ (LI-KI) НА ДИСПЕРСИЮ ВЕГЕТАТИВНЫХ УРОВНЕЙ**

**EFFECT OF THE THIRD PAIR MM(LI-KI) TO DISPERSION OF VEGETATIVE LEVELS**

Влияние третьей пары ЧМ (LI'-KI') на вегетативную дисперсию (VK-3) при значительной исходной парасимпатической (ПА-зн; рис.5.12) и симпатической (СА-зн; рис.5.13) активности:

Effects of the third pair of MM (LI'-KI') on the vegetative dispersion (VK-3) at the initial significant parasympathetic (PAs; Fig.5.12) and sympathetic (SAs; Fig.5.13) activity:

- снижает на 78,4% исходное состояние ПА-зн и переводит на более высокие вегетативные уровни (ПА-зн - VE);

- reduces the initial state of the PAs by 78.4% and transfers it to higher vegetative levels (PAs -VE);

- снижает на 82,2% исходное состояние СА-в и переводит на более низкие вегетативные уровни (СА-в - ПА-зн).

- reduces by 82.2% the initial state of CA-B and translates into lower vegetative levels (SAe-PAs).

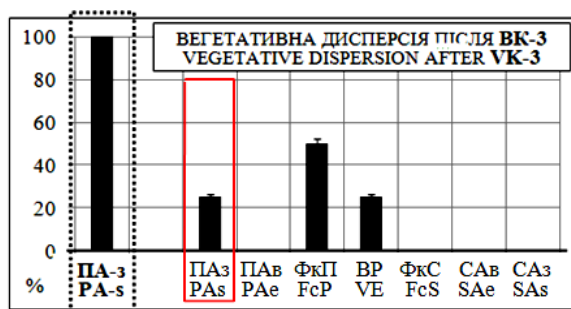


Рис. (Fig.) 5.12

Обращает на себя внимание положительная дисперсия уровня ПА-зн в сторону ВР.

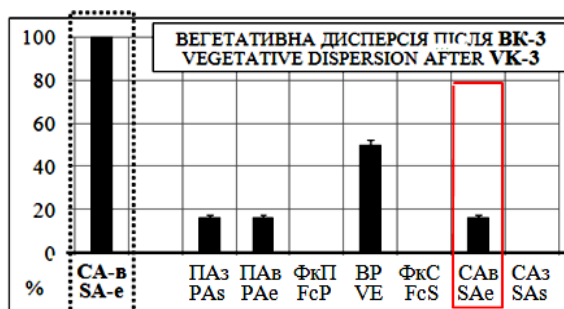


Рис. (Fig.) 5.13

It is interesting to note positive dispersion of the level of PAs to the side of VE.

**МАТРИЧНАЯ ЗАВИСИМОСТЬ ВЕГЕТАТИВНОГО КЛЮЧА ЧМ-V (+LU)**

**MATRIX DEPENDENCE VEGETATIVE KEY MM-V (+LU)**

Согласно вегетативной Матрице вегетативный ключ +LU формирует системную зависимость +LU +PC +HT - BL +LI -LR (рис.5.14). В зону его био-

According to the vegetative Matrix excitation of the matrix key +LI conditions the following systemic dependency: +LU +PC +HT -BL +LI -LR (fig.5.14). In the

физической активности (таб.5.5) входит 40 % "акупунктурных каналов" третьей пары (ЧМ-V BL, KI, ST и ЧМ-VI CV, LU).

zone of its biophysical activity (tab.5.5) is 37.5% of the "acupuncture channels" of the third pair (MM-V BL, KI, ST and MM-VI CV, LU).

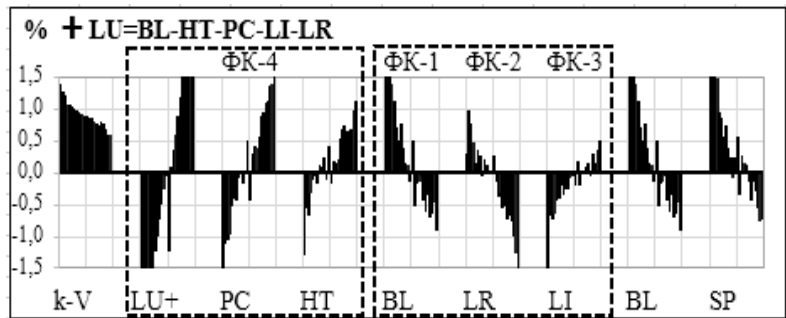
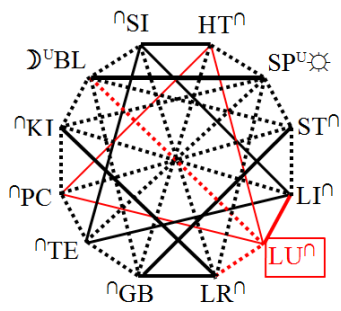


Рис. (Fig.) 5.14

Таблица (Table) 5.5

ЗОНА БИОФИЗИЧЕСКОЙ ЗАВИСИМОСТИ (ZONE OF BIOPHYSICAL DEPENDENCE) ⊙+LI

ЧМ (MM)	Точки ЧМ - Points of the MM					Используемые меридианы Involved meridians
	➤	➤	⊙	⊙	♣	
V	KI-2	BL-1	KI-6	LU-7	KI-8	BL, KI, ST
VI	CV-1	CV-24	LU-7	KI-6(3)		CV, LU
ЗОНА ВЛИЯНИЯ (ZONE OF EFFECTS) ⊙+LU						+ LU= +PC, +HT, -BL, +LI, -LR

Примечание (Note): ➤ начальная (Starting), ➤ конечная (end point), ⊙ Ключ (key), ⊙ связывающая (connecting), ♣ противоположная (painful).

При этом динамика функционально-вегетативного гомеостаза (по k-V) указывает на его парасимпатическую направленность и специфическую системную зависимость комплексов (ФК 4-1-2-3)...

At the same time, the dynamics of functional-vegetative homeostasis (in k-V) indicates its parasympathetic orientation and the specific systemic dependence of complexes (ФК 4-1-2-3)...

Напомним, что угнетение Ключа обусловит противоположную системно-матричную зависимость.

Recall that the oppression of the Key will cause the opposite system-matrix dependence.

Парасимпатическая динамика k-V ⊙+LU говорит о ИНЬ-активности ЧМ-V.

Parasympathetic dynamics k-V ⊙+LU confirms the YIN-activity of the MM-V

<b>МАТРИЦНАЯ ЗАВИСИМОСТЬ ВЕГЕТАТИВНОГО КЛЮЧА ЧМ-VI (+KI)</b>	<b>MATRIX DEPENDENCE VEGETATIVE KEY MM- VI (+KI)</b>
--	--

Согласно вегетативной Матрице вегетативный ключ +KI формирует системную зависимость +KI U-SP +LR -LI U-BL -PC (рис.5.15). В зону его биофизической активности (таб.5.6) входит 40 % "акупунктурных каналов" третьей пары (ЧМ-V BL, KI, ST и ЧМ-VI CV, LU).

According to the vegetative Matrix excitation of the matrix key +LI conditions the following systemic dependency: +KI U-SP +LR -LI U-BL -PC (fig.5.15). In the zone of its biophysical activity (tab.5.6) is 40 % of the "acupuncture channels" of the third pair (MM-V BL, KI, ST and MM-VI CV, LU).

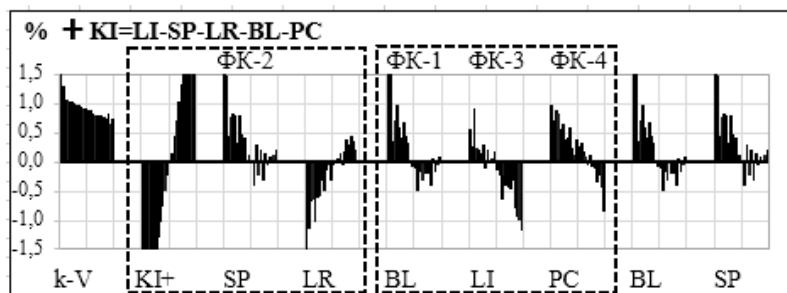
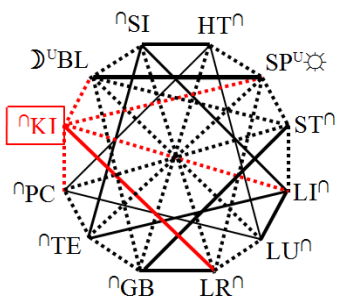


Рис. (Fig.) 5.15

ЧМ (MM)	Точки ЧМ - Points of the MM					Используемые меридианы Involved meridians
	➤	➤	⊙	●	♣	
V	KI-2	BL-1	KI-6	LU-7	KI-8	BL, KI, ST
VI	CV-1	CV-24	LU-7	KI-6(3)		CV, LU
ЗОНА ВЛИЯНИЯ (ZONE OF EFFECTS) ⊙+KI						+ KI=U-SP, +LR, -LI, U-BL, -PC

*Примечание (Note):* ➤ начальная (Starting), ➤ конечная (end point), ⊙ Ключ (key), ● связывающая (connecting), ♣ противоположная (painful).

При этом динамика функционально-вегетативного гомеостаза (по k-V) указывает на его парасимпатическую направленность и специфическую системную зависимость комплексов (ФК 2-1-3-4)...

Напомним, что угнетение Ключа обусловит противоположную системно-матричную зависимость.

*Парасимпатическая динамика k-V ⊙+KI говорит о ИНЬ-активности ЧМ-VI.*

*Парасимпатическая динамика k-V LU-KI подтверждает ИНЬ-статус третьей пары ЧМ.*

At the same time, the dynamics of functional-vegetative homeostasis (in k-V) indicates its parasympathetic orientation and the specific systemic dependence of complexes (ФК 2-1-3-4)...

Recall that the oppression of the Key will cause the opposite system-matrix dependence.

*Parasympathetic dynamics k-V ⊙+KI confirms the YIN-activity of the MM-VI*

*Parasympathetic dynamics of k-V LU-KI confirms the YIN status of the third pair of MM.*

<p><b>5.4 ЧЕТВЁРТАЯ ПАРА ЧМ (PC-SP)</b> Вегетативный статус - "Управляющий ИНЬ" активностью (симпатической).</p>	<p><b>5.4 FOURTH PARK MM (PC-SP)</b> Vegetative status - "Governor of YIN" activity (sympathetic).</p>
--	--

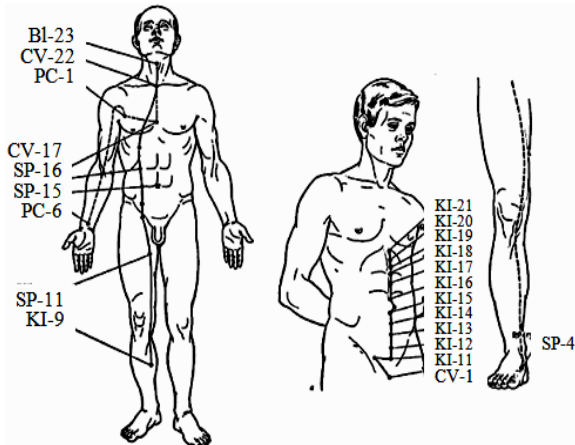


Рис.5.16 Четвёртая пара ЧМ = VII-VIII (Инь-вэй-май + Чжун-май).

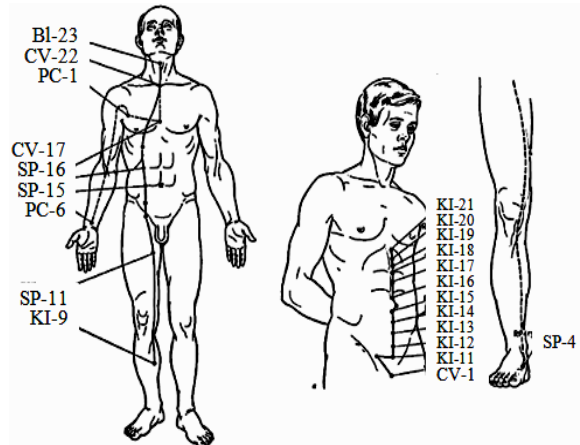


Fig. 5.16 Fourth pair MM=VII-VIII (Yin link v. + Thoroughfare v.).

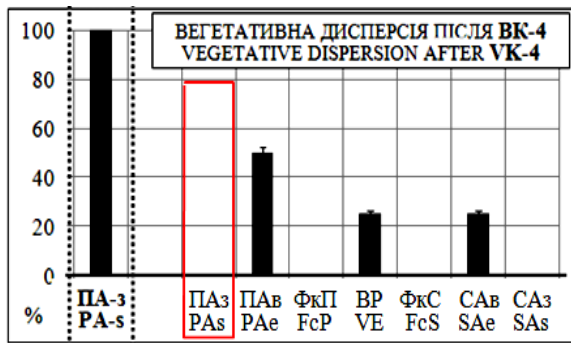
<p><b>ВЛИЯНИЕ ЧЕТВЁРТОЙ ПАРЫ ЧМ (PC-SP) НА ДИСПЕРСИЮ ВЕГЕТАТИВНЫХ УРОВНЕЙ</b></p>	<p><b>EFFECT OF THE FOURTH PARK MM (PC-SP) TO DISPERSION OF VEGETATIVE LEVELS</b></p>
---	---

Влияние четвёртой пары ЧМ (PC/-SP<sup>4</sup>) на вегетативную дисперсию (ВК-4) при значительной исходной парасимпатической (ПАЗн; рис.5.17) и симпатической (САзн; рис.5.18) активности:

- снижает 100% исходное состояние ПА-зн и переводит на высокие вегетативные уровни (ПАЗн - САв);
- снижает на 100% исходное состояние СА-в и переводит на более низкие вегетативные уровни (ФкС- ПА-зн).

Effects of the fourth pair of MM (PC/-SP<sup>4</sup>) on the vegetative dispersion (VK-4) at the initial significant parasympathetic (Pas; Fig.5.17) and sympathetic (SA-s; Fig.5.18) activity:

- reduces the initial state of the PAs by 100 % and transfers it to higher vegetative levels (PAs - SAe);
- reduces by 82.2% the initial state of CA-B and translates into lower vegetative levels (FrS - PAs).



Мал. 5.17

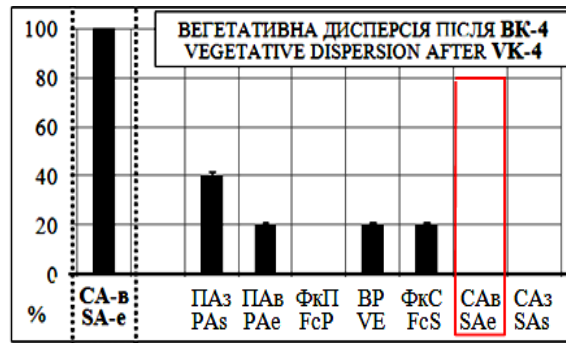


Fig. 5.18

**МАТРИЧНАЯ ЗАВИСИМОСТЬ ВЕГЕТАТИВНОГО КЛЮЧА ЧМ-VII (+PC)**

Согласно вегетативной Матрице вегетативный ключ +PC формирует системную зависимость +PC +HT +LU – ST –KI ∩-TE (рис.5.19). В зону его биофизической активности (таб.5.7) входит 37,5 % "акупунктурных каналов" третьей пары (ЧМ-V BL, KI, ST и ЧМ-VI CV, LU).

**MATRIX DEPENDENCE VEGETATIVE KEY MM-VII (+PC)**

According to the vegetative Matrix excitation of the matrix key +PC conditions the following systemic dependency: +PC +HT +LU –ST –KI ∩-TE (fig.5.19). In the zone of its biophysical activity (tab.5.7) is 37,5 % of the "acupuncture channels" of the third pair (MM-V BL, KI, ST and MM-VI CV, LU).

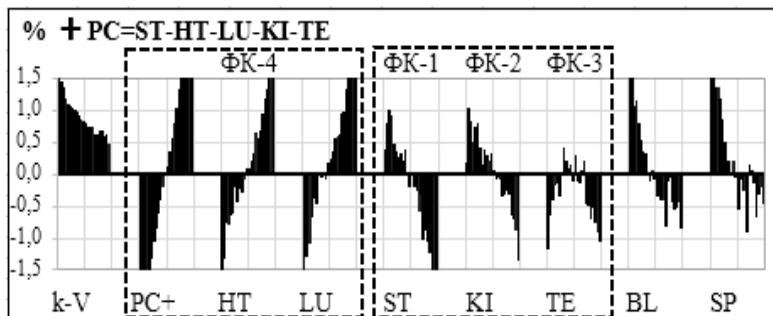
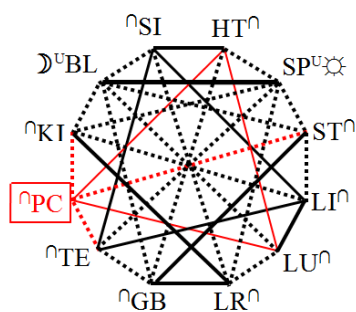


Рис. (Fig.) 5.19

Таблица (Table) 5.7

**ЗОНА БИОФИЗИЧЕСКОЙ ЗАВИСИМОСТИ (ZONE OF BIOPHYSICAL DEPENDENCE) ⊙+PC**

ЧМ (MM)	Точки ЧМ - Points of the MM					Используемые меридианы Involved meridians
	➤	➤	⊙	⊙	♣	
VII	CV-1	KI-21	SP-4	PC-6	KI-9	CV, SP, KI
VIII	KI-9	CV-23	PC-6	SP-4	ЧМ-VII	SP, KI, CV, BL, PC
ЗОНА ВЛИЯНИЯ (ZONE OF EFFECTS) ⊙+PC						+ PC=+HT, +LU, -ST, -KI, ∩-TE

*Примечание (Note):* ➤ начальная (Starting), ➤ конечная (end point), ⊙ Ключ (key), ⊙ связывающая (connecting), ♣ противоположная (painful).

При этом динамика функционально-вегетативного гомеостаза (по k-V) указывает на его парасимпатическую направленность и специфическую системную зависимость комплексов (ФК 4-1-2-3)...

Напомним, что угнетение Ключа обусловит противоположную системно-матричную зависимость.

*Парасимпатическая динамика k-V ⊙ +PC говорит о ИНЬ-активности ЧМVII*

At the same time, the dynamics of functional-vegetative homeostasis (in k-V) indicates its parasympathetic orientation and the specific systemic dependence of complexes (ФК 4-1-2-3)...

Recall that the oppression of the Key will cause the opposite system-matrix dependence.

*Parasympathetic dynamics k-V ⊙+PC confirms the YIN-activity of the MM-VII*

**МАТРИЧНАЯ ЗАВИСИМОСТЬ ВЕГЕТАТИВНОГО КЛЮЧА ЧМ-VIII (+SP)**

**MATRIX DEPENDENCE VEGETATIVE KEY MM-VIII (+SP)**

Согласно вегетативной Матрице вегетативный ключ +SP формирует системную зависимость +SP +BL -TE -KI -LR -ST -HT (рис.5.20). В зону его биофизической активности (таб.5.8) входит 62,5 % "акупунктурных каналов" четвертой пары (ЧМ-V BL,KI.ST и ЧМ-VI CV, LU).

According to the vegetative Matrix excitation of the matrix key +SP conditions the following systemic dependency: +SP +BL -TE -KI -LR -ST -HT (fig.5.20). In the zone of its biophysical activity (tab.5.8) is 62,5 % of the "acupuncture channels" of the fourth pair (MM-V BL,KI.ST and MM-VI CV, LU).

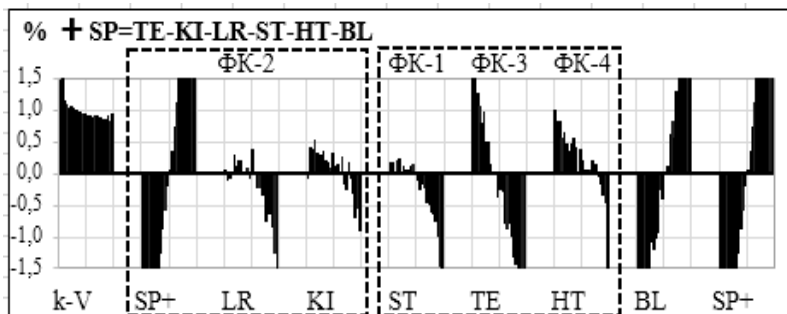
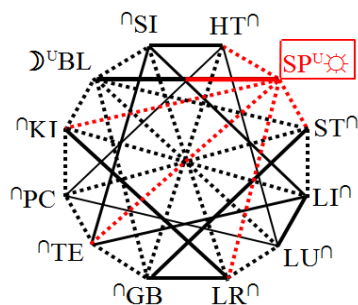


Рис. (Fig.) 5.20

Таблица (Table) 5.8  
 ЗОНА БИОФИЗИЧЕСКОЙ ЗАВИСИМОСТИ (ZONE OF BIOPHYSICAL DEPENDENCE) ⊕+SP  
 L

ЧМ (MM)	Точки ЧМ - Points of the MM					Используемые меридианы Involved meridians
	➤	➤	⊙	⊙	♣	
VII	CV-1	KI-21	SP-4	PC-6	KI-9	CV, SP, KI
VIII	KI-9	CV-23	PC-6	SP-4	ЧМ-VII	SP, KI, CV, BL, PC
ЗОНА ВЛИЯНИЯ (ZONE OF EFFECTS) ⊕+SP						+ SP= +BL, -TE, -KI, -LR, -ST, -HT

*Примечание (Note):* ➤ начальная (Starting), ➤ конечная (end point), ⊙ Ключ (key), ⊙ связывающая (connecting), ♣ противоположная (painful).

При этом динамика функционально-вегетативного гомеостаза (по k-V) указывает на его парасимпатическую направленность и специфическую системную зависимость комплексов (ФК 4-1-2-3)...

At the same time, the dynamics of functional-vegetative homeostasis (in k-V) indicates its parasympathetic orientation and the specific systemic dependence of complexes (ФК 4-1-2-3)...

Напомним, что угнетение Ключа обусловит противоположную системно-матричную зависимость.

Recall that the oppression of the Key will cause the opposite system-matrix dependence.

**Парасимпатическая динамика k-V ⊕+SP говорит о ИНЬ-активности ЧМ-VIII**

**Parasympathetic dynamics k-V ⊕+SP confirms the YIN-activity of the MM-VIII**

**Парасимпатическая динамика k-V PC-SP подтверждает ИНЬ-статус четвертой пары ЧМ.**

**Parasympathetic dynamics of k-V LU-KI confirms the YIN status of the fourth pair of MM.**

НА ЧТО СЛЕДУЕТ ОБРАТИТЬ ВНИМАНИЕ?	WHAT SHOULD YOU PAY ATTENTION?
<p>1. Системная организация "матричных комплексов" заслуживает внимания с традиционной точки зрения о "Чудесных меридианах".</p> <p>2. Отдельные каналы по каждой паре ЧМ частично совпадают с системной организацией отдельных матричных комплексов (их вегетативных ключей), что указывает на относительную правомерность традиционных знаний.</p>	<p>1. System organization of "Matrix Complexes" deserves attention from the traditional point of view about "Miraculous meridians".</p> <p>2. The list of individual channels for each pair of FMs partially coincides with the system organization of individual matrix complexes (their vegetative keys), indicating the relative legitimacy of traditional knowledge.</p>

3. Системная зависимость каждого матричного комплекса и его биофизически аргументированная вегетативная направленность обуславливают системную трансформацию других комплексов, направленную на динамическую стабильность вегетативного гомеостаза;

4. Матричные комплексы (и их вегетативные ключи) представляет собой современные "Чудесные меридианы" и требуют научно обоснованной интерпретации ...

5. Матрица биофизически объединяет Восточную теоретическую базу Чжень-цзю терапии и переводит её в реально существующую Западную "Функциональную вегетологию" (доказательную медицину).

3. The systemic interdependence of each matrix complex and its biophysically substantiated vegetative orientation condition the systemic transformation of the remaining complexes, aimed at the dynamic stability of vegetative homeostasis;

4. Each matrix complex (and its vegetative key) is a modern " Magic meridians" and requires a scientifically sound interpretation ...

5. The vegetative matrix of biophysical unites the Eastern theoretical base of Chzhen-Tszyu therapy and translates it into the actually existing Western "Functional vegetology" (*evidence-based medicine*).





## 6. ВЕГЕТАТИВНЫЙ БИОРИТМ КАК ПРОБЛЕМА ФУНКЦИОНАЛЬНОЙ ВЕГЕТОЛОГИИ И ЧЖЕНЬ-ЦЗЮ ТЕРАПИИ

### 6. VEGETATIVE BIORITHM AS A PROBLEM FUNCTIONAL VEGETOLOGY AND ZHEN-TSZYU THERAPY

Информация об открытом суточном "двух часовом функционально-вегетативном биоритме" обнародована в последних монографиях [3, с.191-207]. Механизм его патогенеза мы связывали с космофизическими факторами (в частности с Солнечной и фазовой Лунной активностью). Но информация о атмосферных "стоячих электромагнитных волнах" [8-13] поставила вопрос о его уточнении ...

Чтобы рассмотреть современный вариант патогенеза "функционально-вегетативного биоритма" нужно ознакомиться с краткой информацией о "резонансах Шумана".

Verified and supplemented information about our open "two hour functionally-vegetative biorhythm" published in the recent monographs [3,p.191-207]. The mechanism of its pathogenesis, we hypothetically associated with cosmophysical factors (in particular, the solar and phase Moon activity). But information on the reality of atmospheric "standing electromagnetic waves" [8-13] raised the question of its refinement ...

To consider the modern version of the pathogenesis of functional-vegetative biorhythm, one needs to get acquainted with the brief information about the "resonances of Schumann".

#### 6.1 РЕЗОНАНСЫ ШУМАНА

Сегодня стала доступной информация о резонансах Шумана - "стоячих электромагнитных волнах (СЭМ) низких и сверхнизких частот между поверхностью Земли и ионосферой" [8,9,10]. Они возникают в резонансной полости между поверхностью земли и ионосферой и обусловлены разрядами молний в разных регионах планеты (рис.6.1). Такие волны существуют длительное время, если после огибания земного шара совпадают с собственной фазой (входят в резонанс).

В 1952 году Кёниг обнаружил поразительный связь: основная частота "резонанса Шумана" соответствует частоте альфа-ритма мозга человека - 7,83 Гц (рис. 6.2), а частота второй гармоники (14 Гц) - его ускорению [11,13]

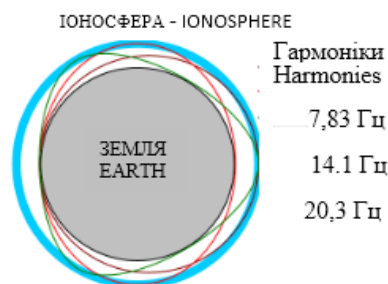


Рис. 6.1

После длительных проверок была определена частота "резонанса Шумана" - 7,83 Гц (то есть атмосфера Земли вибрирует с частотой 7,83 Гц). Волны

#### 6.1 RESONANCES OF SCHUMANN

Today, information on the resonances of Schumann has been made available - "standing electromagnetic waves" (SEW) of low and ultralow frequencies between the surface of the Earth and the ionosphere" [8,9,10]. They arise in the resonant cavity between the surface of the earth and the ionosphere and are due to lightning discharges in different regions of the planet (fig.6.1). Such waves exist for a long time, if, after the bending of the globe, they coincide with their own phase (they come in resonance).

In 1952, König discovered an impressive connection: the main frequency of the "resonance of Schumann" corresponds to the frequency of the alpha rhythm of the human brain - 7.83 Hz (fig.6.2), and the frequency of the second harmonic (14 Hz) - to accelerate it [11,13].

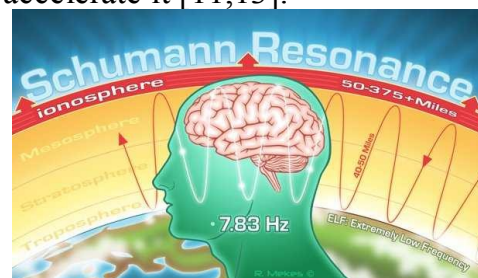


Fig. 6.2

After lengthy inspections, the frequency of "Schuman resonance" was determined - 7.83 Hz (in other words, the Earth's atmosphere vibrates at 7.83 Hz). Wa-



с этой частотой и их гармоники (14, 20, 26, 33, 39 и 45 Гц) формируют "резонансы Шумана" (рис.6.3-4).

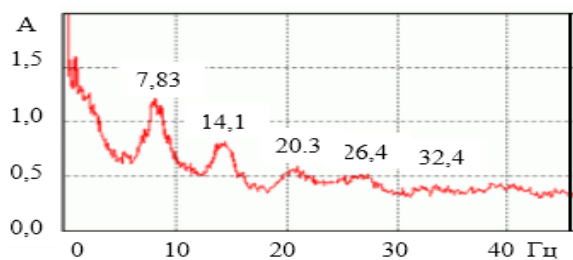


Рис.(Fig.) 6.3

(рис.6.3-4 Типичный спектр электромагнитных колебаний с резонансами Шумана; fig.6.3-4 Typical spectrum of electromagnetic oscillations with Schumann resonances)

Как фоновые частоты они влияют на колебания мозга человека и являются основой ритмической пульсации планеты и всего живого на Земле.

Сегодня атмосферное электромагнитный фон радикально изменился. Появилось понятие о "Электромагнитном смоге" (частотных излучениях промышленной и бытовой техники). В атмосфере столько "электромагнитного мусора", что организм перестает слышать "резонансы Шумана" и формирует функциональный дисбаланс.

В пределах современного города изучение резонансов Шумана стало невозможно. Поэтому В. Людвиг [12] провел исследования в подземных шахтах, экранированных от атмосферных "резонансов Шумана". В результате были выявлены другие электромагнитные сигналы – колебания магнитного поля Земли. Его 28-суточный ритм связывают с оборотами Солнца и фазами Лунной активности.

В книге "Информационная медицина" В. Людвиг описал как добровольцы провели три недели в подземном бункере, экранированном отражателями "резонансов Шумана"... В группе развились эмоциональные нарушения и мигрени, которые после кратковременного воздействия частотой 7,83 были ликвидированы...

В ходе исследований В.Людвиг обратил внимание на Восточную терапевтическую философию. Согласно её канонам для здорового долголетия необходимы два сигнала из окружающей среде: ИНЬ (женская энергия) снизу и ЯН (мужская энергия) сверху. Если сопоставить это учение с проведенным экспериментами, то "резонансы Шумана" совпадает с "мужской энергией" ЯН, а геомагнитные сигналы – с "женской энергией" ИНЬ. Древ-

ves with this frequency and their harmonics (14,20,26,33,39 and 45 Hz) form the "resonances of Schumann" (Fig. 6.3-4).

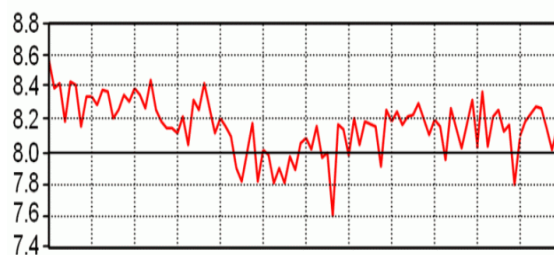


Рис.(Fig.) 6.4

As background frequencies, they affect the vibrations of the human brain and are the basis of the rhythmic pulsations of the planet and all living things on Earth.

Today, the atmospheric electromagnetic background has radically changed. There was a concept about "Electromagnetic smog" (different frequency radiation of industrial and household appliances). In an atmosphere of so much "electromagnetic waste" that the body ceases to hear "resonances of Schumann" and causes a functional imbalance.

In fact, within Schumann's resonance, scholar resonances have become impossible in the modern city. Therefore V. Ludwig [12] conducted research in underground mines shielded from atmospheric "resonances of Schumann". As a result, other electromagnetic signals were detected - fluctuations of the Earth's magnetic field. His 28-day rhythm is associated with the rotation of the Sun and the phases of the Moon activity.

In the book "Information Medicine" V. Ludwig described an experiment in which volunteers spent three weeks in an underground bin, shielded by reflectors of the signals "resonance of Schumann". Three weeks later, the group developed emotional disorders and migraines, which after a short-term effect of 7.83 were completely eliminated...

In the course of research, V. Ludwig drew attention to the Eastern Therapeutic Philosophy. According to its canons for a healthy longevity, two signals from the environment are required: YIN (female energy) from the bottom and YANG (male energy) from above. If we compare this theory with the experiments conducted, then "resonances of Schumann" coincide with the "man's energy" YANG, and the weak geomagnetic signals of the Earth - with "female energy" YIN. Anci-

ние знания утверждают, что оба сигнала должны быть сбалансированы.

Вспышки на Солнце влияют на электромагнитные свойства нижней ионосферы. Это обуславливает изменение резонансных частот полости и расстройство вегетативных адаптационных механизмов у детей и пожилых людей [11]. Но остаются непонятными механизмы указанной зависимости. Предложенная схема двух колебательных систем (человек – атмосферные резонансы Шумана) ставит вопрос о природе "двух часового вегетативного биоритма" [3, с.191].

При этом необходимо заметить, что в последнее время стандартная "частота Шумана" растёт. Если в 1990г. она составляла 7,83 Гц то в 1994 – 8,6 Гц, а в 1998г. выросла до 11,2 Гц, многократно превышая допустимый расчетный уровень [13].

Сегодня известны лаборатории, где изучают "резонансы Шумана". Одна из них находится в России (Томский государственный университет). Материалы ее суточных наблюдений [11-12] мы использовали для анализа пусковых механизмов открытого нами функционально-вегетативного биоритма.

Наше внимание привлекло совпадение суточной динамика "резонансов Шумана" с "двух часовым функционально-вегетативным биоритмом" (рис.6.5-6). Их динамика в Гц приведена в часах Томского летнего декретного времени (ТЛДЧ = UTC + 7часов).

ent knowledge argues that for health and harmony, both signals must be balanced.

The flares in the Sun change the electromagnetic properties of the lower ionosphere. This causes a change in the resonance frequencies of the cavity and the disruption of vegetative adaptation mechanisms in children and the elderly [11]. But the mechanisms of this dependence remain unclear. The proposed scheme of two oscillatory systems (human - Schumann's atmospheric resonance) allows us to ask about the nature of the two-hour "vegetative biorhythm" [3,c.191] detected by us.

It should be noted that recently the standard "Schumann frequency" has begun to increase. If in 1990 it was 7.83 Hz, then in 1994 – 8.6 Hz, and in 1998. has grown to 11.2 Hz, which is many times higher than the permissible estimated level [13].

Today, the famous laboratories are known for a long time studying "resonances of Schumann". One of them is in Russia (Tomsk State University). Materials of her daily observations [11-12] we used to analyze the triggers of the functionally-vegetative biorhythm discovered by us.

The reason for our attention was the similarity of the daily dynamics of the "resonances of Schumann" with a two-hour functionally-vegetative biorhythm (Fig.6.5-6). Their dynamics in Hz is given in the hours of the Tomsk Summer Fetal Time (TLDCH = UTC + 7hrs).

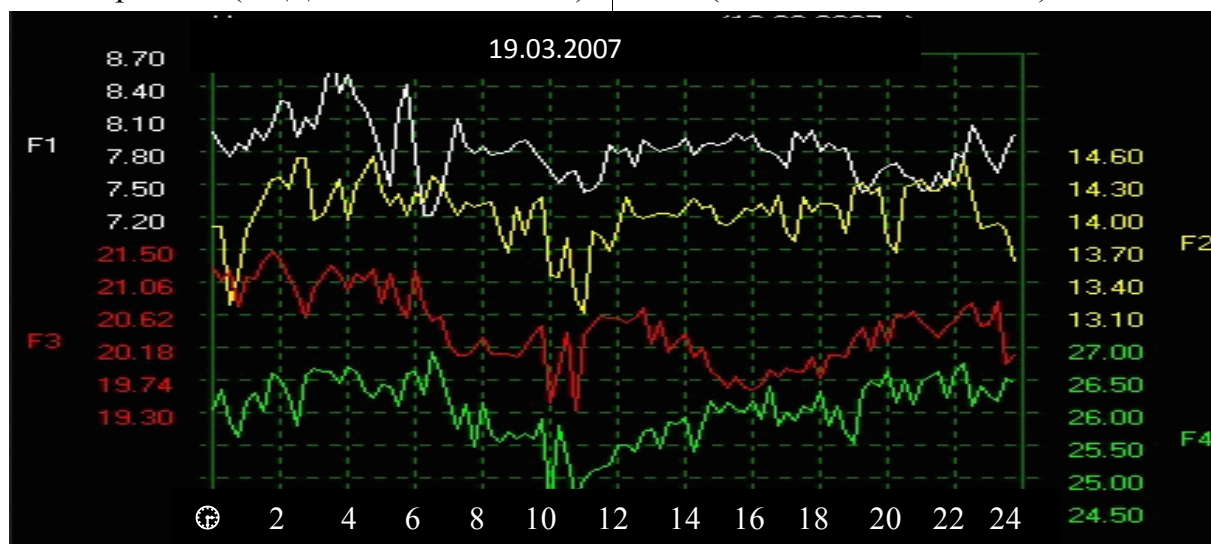


Рис.6.5 Суточные частотные гармоника резонансов Шумана (F1–F4)  
Fig.6.5 Daily frequency harmonics of Schumann resonances (F1-F4)

Для сравнения приводим двух часовый вегетативный биоритм каналов BL-SP (женская группа юношеского возраста; фаза полной Луны).

For comparison, we show the two-hour vegetative biorhythm of channels BL-SP (female group of adolescence, phase of the Full Moon).

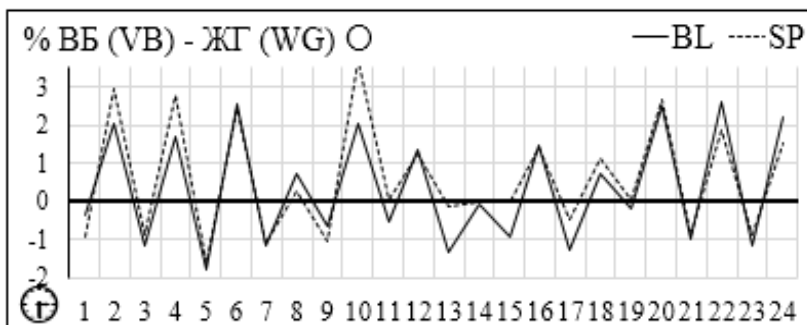


Рис.6.6 Двух часовой функционально-вегетативный системный биоритм BL-SP  
Fig.6.6 Two hours functional and vegetative biorhythm BL-SP system

Заключительный анализ экспериментального материала обнаружил неизвестные ранее суточные системные зависимости: синхронную, асинхронную и синхронно-асинхронную (несинхронную). Выявлены особенности системно-комплексной зависимости ...

The final analysis of the experimental material revealed the previously unknown daily systemic dependencies (synchronous, asynchronous, and unsynchronized). The revealed features of the system-complex dependence ...

**6.2 СИХРОННАЯ СИСТЕМНАЯ ЗАВИСИМОСТЬ КАК ФАКТОР ВЕГЕТАТИВНОГО ПАТОГЕНЕЗА**

**6.2 SYNCHRONOUS SYSTEM DEPENDENCE AS A VEGETATIVE PATHOGENESIS FACTOR**

Установлено, что суточная системная зависимость существует в виде синхронной, асинхронной и не синхронизированной (синхронно-асинхронных) активности отдельных каналов. Все варианты имеют экспериментальное подтверждение и заслуживают на профессиональное внимание.

Today it is established that daily system interdependence exists in the form of synchronous, asynchronous and not synchronized (synchronous-asynchronous) activity of separate channels. Both variants have received experimental confirmation and deserve special attention.

Механизмы суточной синхронной зависимости функциональных систем (их вегетативный портрет) приведены в табл.6.1 и рис.6.7-12). Например: суточная активность канала BL формирует суточную синхронную зависимость системы SP<sup>-2</sup> (второй функционально-вегетативный комплекс) ...

Mechanisms of the daily synchronous dependence of individual functional systems (their vegetative portrait) are given in Table 6.1, Diagram 6.2 and Diagrams (fig.6.7-10). For example: the daily activity of the channel BL causes the synchronous daily dependence of the system SP<sup>-2</sup> (second functional and vegetative complex) ...

Таблица (Table) 6.1

**СИХРОННАЯ ЗАВИСИМОСТЬ – SYNCHRONAL DEPENDENCE**

ФК FC	Системные пары синхронной активности System pairs of synchronous activity											
	BL	GB	ST	SP	LR	KI	SI	TE	LI	LU	PC	HT
	SP <sup>-2</sup>	ST <sup>-1</sup>	GB <sup>-1</sup>	BL <sup>-1</sup>	GB <sup>-1</sup>	LR <sup>-2</sup>	LU <sup>-4</sup>	GB <sup>-1</sup>	GB <sup>-1</sup>	SI <sup>-3</sup>	SI <sup>-3</sup>	GB <sup>-1</sup>
		LR <sup>-2</sup>	LR <sup>-2</sup>		ST <sup>-1</sup>	HT <sup>-4</sup>	PC <sup>-4</sup>	LI <sup>-3</sup>	ST <sup>-1</sup>	PC <sup>-4</sup>	LU <sup>-4</sup>	KI <sup>-2</sup>
		LI <sup>-3</sup>	LI <sup>-3</sup>		KI <sup>-2</sup>		HT <sup>-4</sup>	HT <sup>-4</sup>	TE <sup>-3</sup>	HT <sup>-4</sup>		SI <sup>-3</sup>
		*TE <sup>-3</sup>							HT <sup>-4</sup>			TE <sup>-3</sup>
		HT <sup>-4</sup>										LI <sup>-3</sup>
												LU <sup>-4</sup>

Примечание: "-1 -4" – указывает на определённый функциональный комплекс  
Note: "-1 -4" - indicates the affiliation of the channel to a particular functional complex

Подтверждением табл.6.1 выступает следующее:  
- "матричная" синхронная зависимость (прямые черные линии; рис.6.7) и обусловленные асинхронным системным воздействием (прямые красные

Confirmation of Table 6.1 is the following:  
- "matrix" synchronous dependence (straight black lines, fig.6.7) and is due to asynchronous systemic influence (directed lines; fig.6.8);

линии; рис.6.8)

- материалы "Биофизического атласа синхронной системной зависимости" (рис. 6.9-12).

- Materials "Biophysical Atlas of Synchronous System Dependence" (Figure 6.9-12).

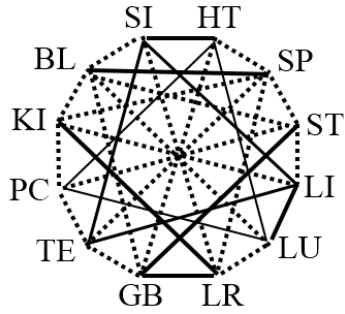
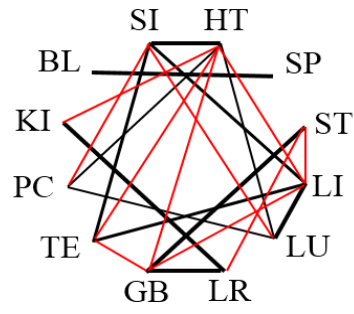


Рис. (Fig.) 6.7



Мал. (Fig.) 6.8

**БИОФИЗИЧЕСКИЙ АТЛАС СИНХРОННОЙ СИСТЕМНОЙ ЗАВИСИМОСТИ (рис.6.9-6.12)**

**BIOPHYSICAL ATLAS OF SYNCHRONOUS SYSTEM DEPENDENCE (Fig.6.9-6.12)**

**СИНХРОННЫЕ КАНАЛЫ ФК-1**

**CHANNELS OF THE FIRST COMPLEX**

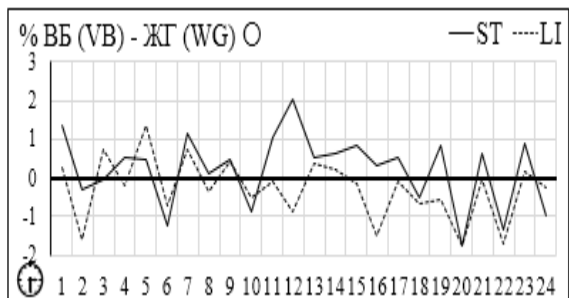
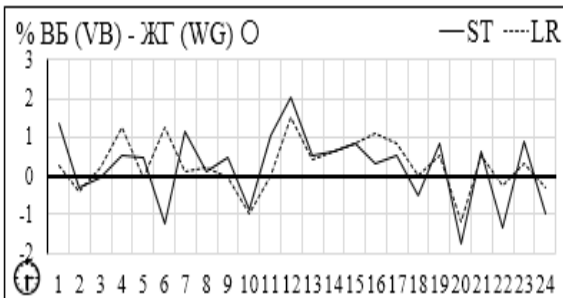
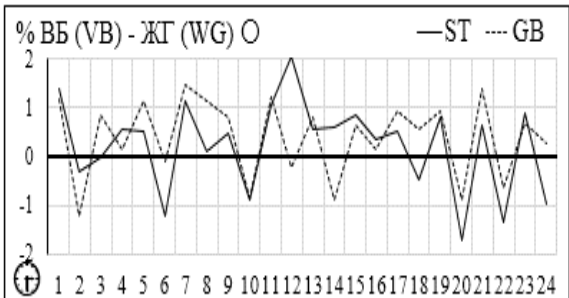
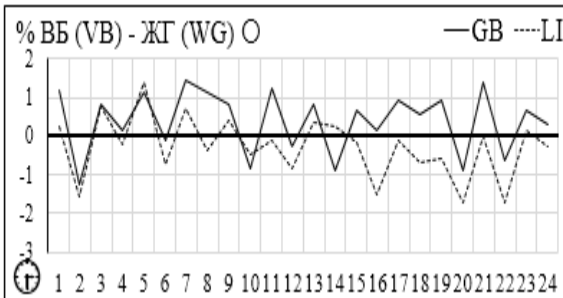
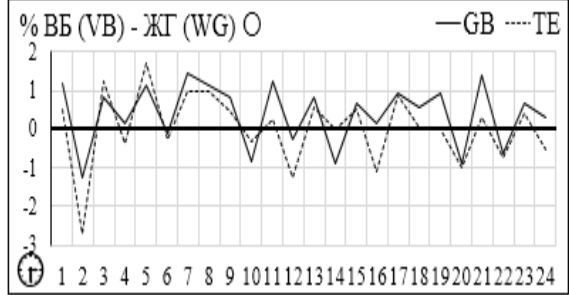
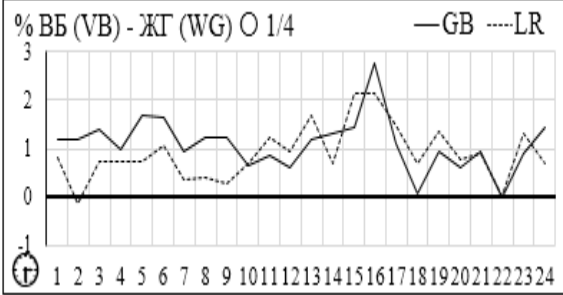
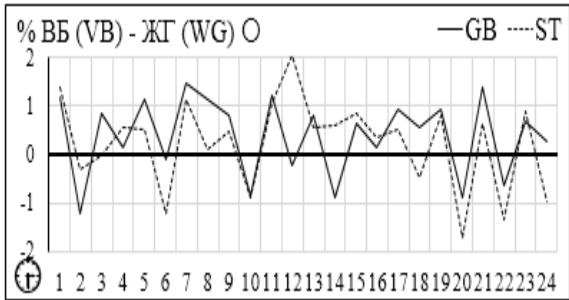
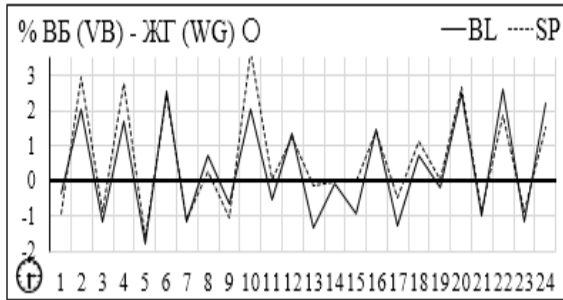


Рис.6.9 Системная синхронная зависимость от активности ФК-1 (BL-GB-ST)  
Fig.6.9 System synchronous dependence on the activity of FC-1 (BL-GB-ST)

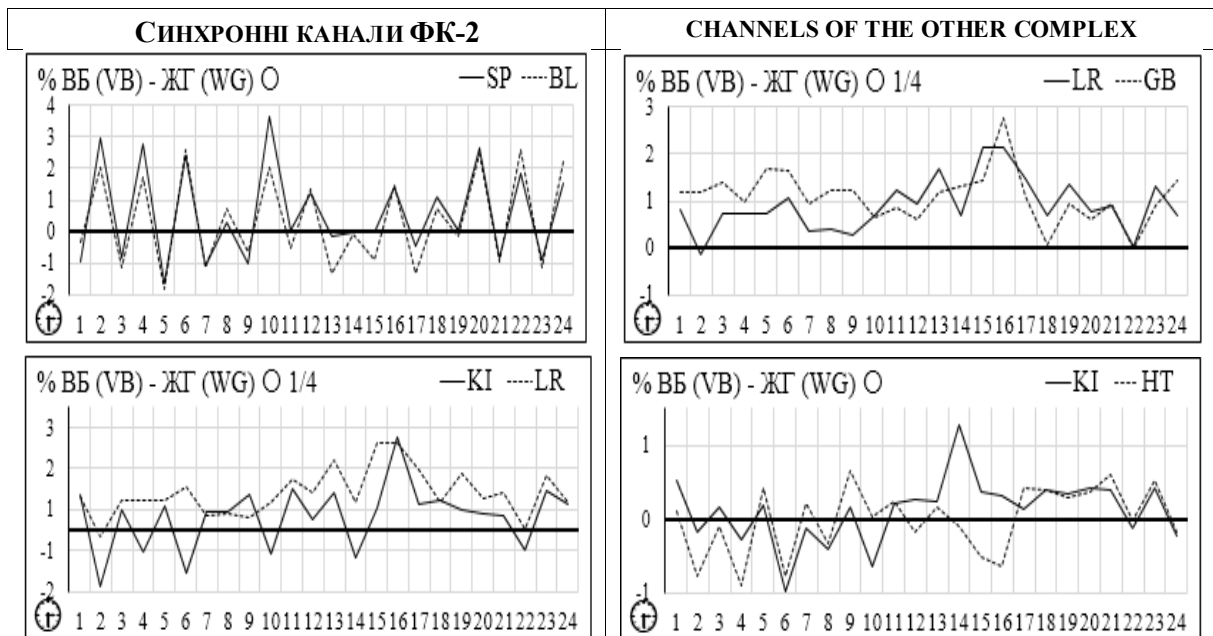
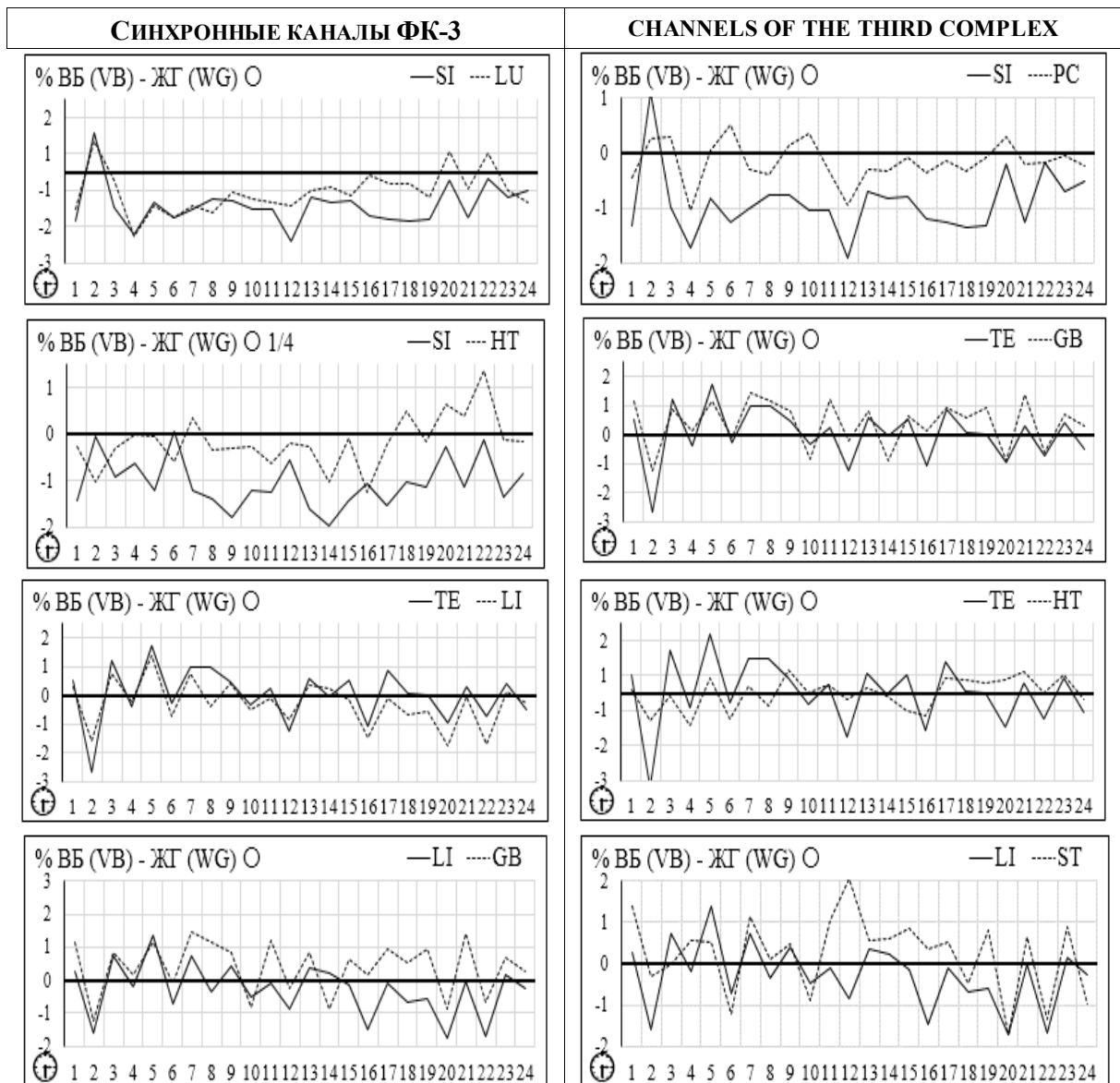


Рис.6.10 Системная синхронная зависимость от активности ФК-2 (SP-LR-KI)  
 Fig.6.10 System synchronous dependence on the activity of FC-2 (SP-LR-KI)



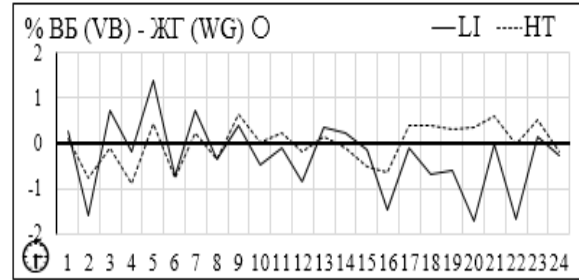
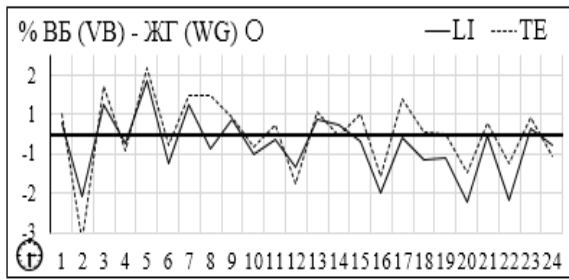


Рис.6.11 Системная синхронная зависимость от активности ФК-3 (SI-TE-LI)  
 Fig.6.11 System synchronous dependence on the activity of FC-3 (SI-TE-LI)

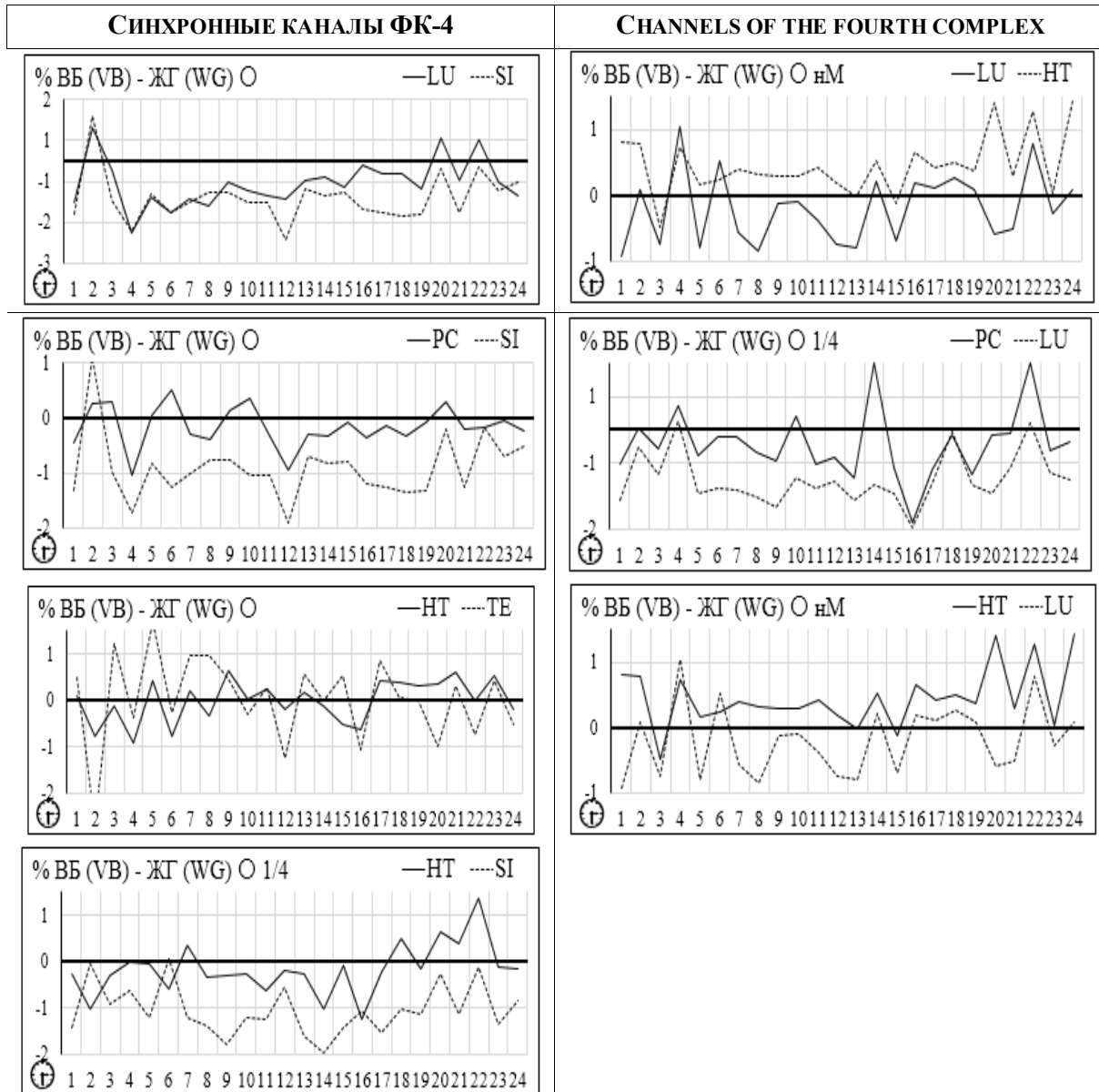


Рис.6.12 Системная синхронная зависимость от активности ФК-4 (LU-PC-HT)  
 Fig.6.12 System synchronous dependence on the activity of FC-4 (LU-PC-HT)

**6.3 АСИНХРОННАЯ ЗАВИСИМОСТЬ КАК ФАКТОР ВЕГЕТАТИВНОГО ПАТОГЕНЕЗА**

Механизмы суточной асинхронной зависимости отдельных функциональных систем (их вегетативный портрет) приведены в табл.6.2, схеме 6.4 и диаграммах (рис.6.13-16). Например: суточная активность канала ВЛ обуславливает асинхронную суточную зависи-

**6.3 ASYNCHRONOUS SYSTEM DEPENDENCE AS A VEGETATIVE PATHOGENESIS FACTOR**

Mechanisms of the daily asynchronous dependence of individual functional systems (their vegetative portrait) are given in Table 6.3, Diagram 6.4 and Diagrams (Fig.6.11-14). For example: the daily activity of the channel BL causes the asynchronous daily dependence of the

мость системы SP<sup>-2</sup> (второй функционально-вегетативный комплекс) ...

system SP<sup>-2</sup> (second functional and vegetative complex) ...

Таблица (Table) 6.2

АСИНХРОННАЯ ЗАВИСИМОСТЬ – ASYNCHRONAL DEPENDENCE

ФК FC	СИСТЕМЫ ЗАВИСИМОГО РИТМА - SYSTEMS OF DEPENDENT RHYTHM											
	BL	GB	ST	SP	LR	KI	SI	TE	LI	LU	PC	HT
I	±GB ±ST	±BL ±SP	±BL ±SP	±GB ±ST	±BL	±BL	±BL	±BL ±GB	±BL ±ST	±BL	±ST	±BL ±GB
II	±LR ±KI			±LR ±KI	±SP	±SP	±LR	±SP	±SP ±KI	±LR	±KI	±SP
III	±SI ±TE	±TE	±LI	±TE ±LI	±SI	±LI					±TE	
IV	±LU ±HT	±HT	±PC	±HT	±LU	±PC		±PC				

Подтверждением табл.6.2 выступает следующее:

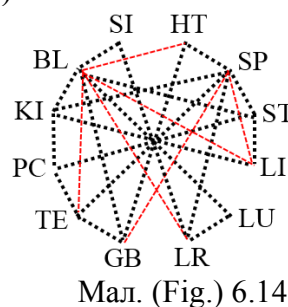
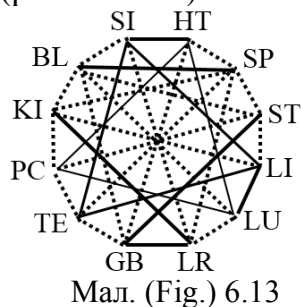
- "матричная" асинхронная зависимость (пунктирные черные линии; рис.6.13) и обусловленных ею дополнительные асинхронные системные воздействия (пунктирные красные линии; рис.6.14)

- материалы "Биофизического атласа асинхронной системной зависимости" (рис. 6.15-18).

Confirmation of Table 6.2 is the following:

- "matrix" asynchronous dependence (dashed black lines; fig.6.13) and due to it additional asynchronous systemic effects (dashed red lines; fig.6.14);

- Materials of "Biophysical Atlas of Asynchronous System Dependence" (Fig. 6.15-18).

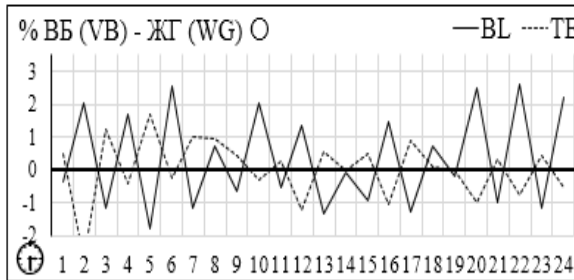
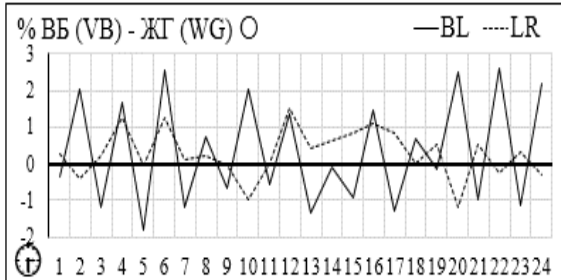
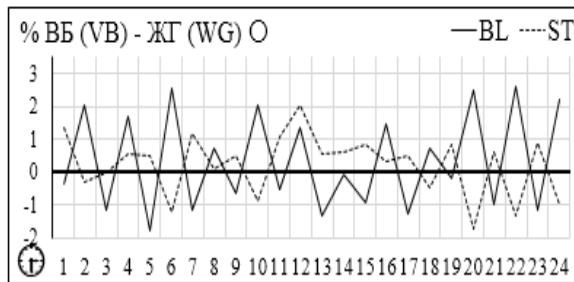
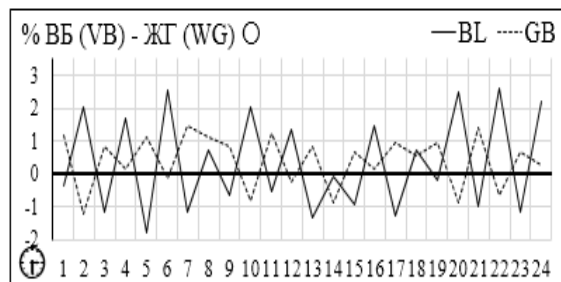


БИОФИЗИЧЕСКИЙ АТЛАС АСИНХРОННОЙ СИСТЕМНОЙ ЗАВИСИМОСТИ (рис.6.15-18)

BIOPHYSICAL ATLAS OF ASYNCHRONOUS SYSTEM DEPENDENCE (Fig.6.16-6.18)

АСИНХРОННЫЕ КАНАЛЫ ФК-1

CHANNELS OF THE FIRST COMPLEX



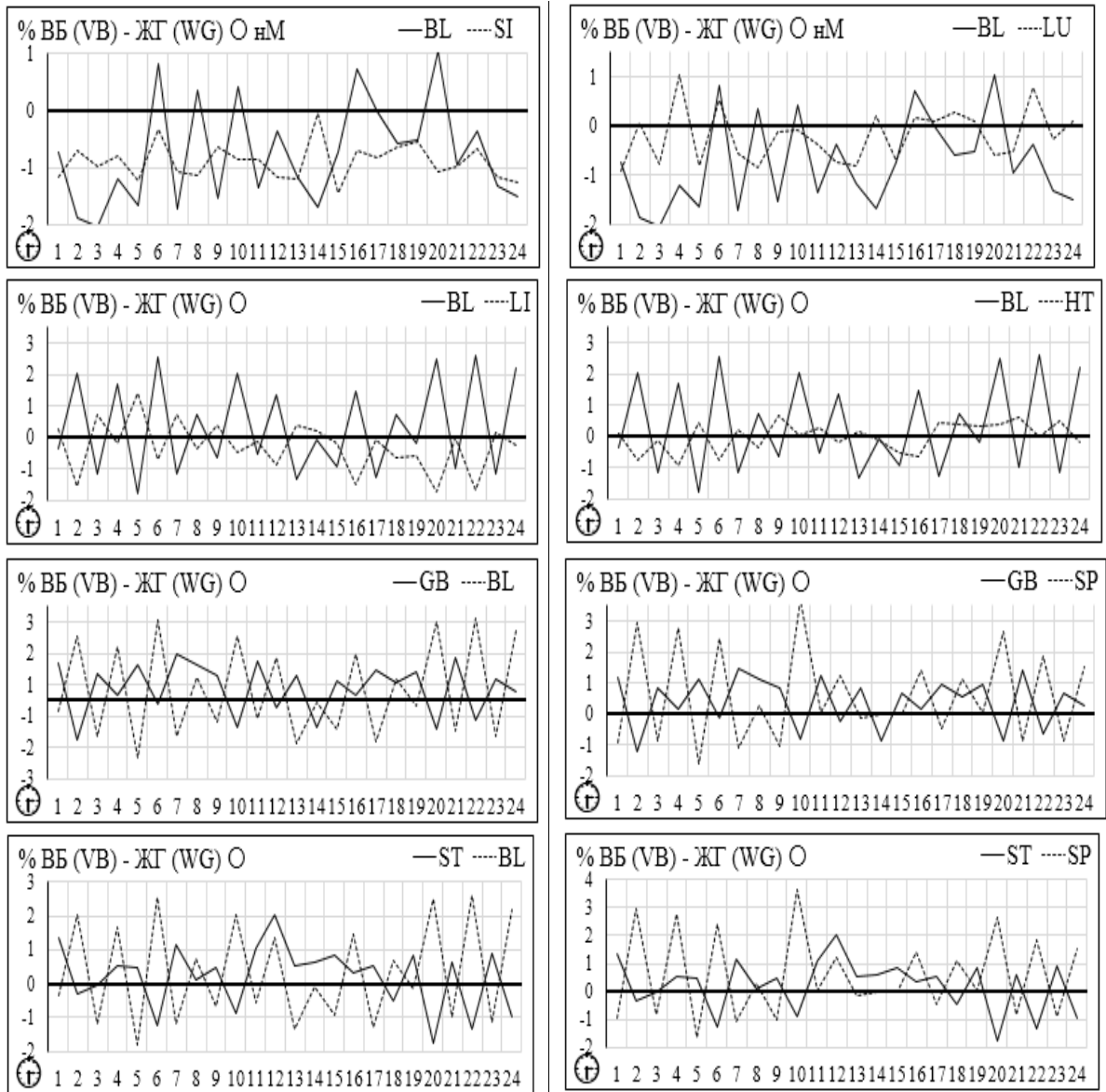
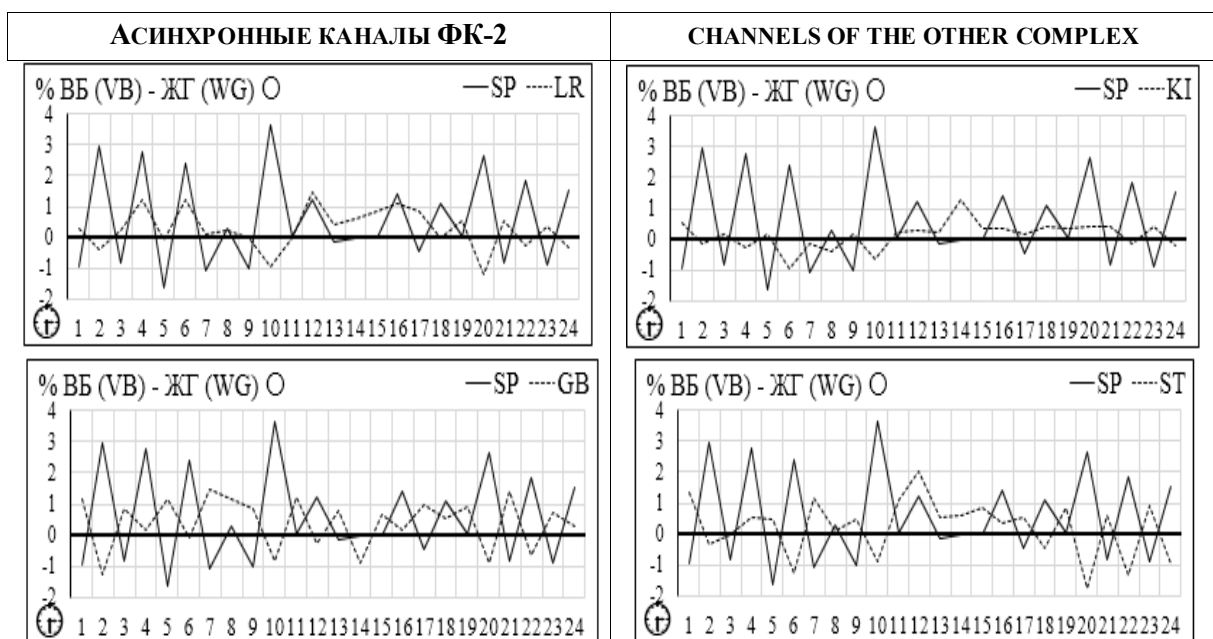


Рис.6.15 Системная асинхронная зависимость от активности ФК-1 (BL-GB-ST)  
 Fig.6.15 System asynchronous dependence on the activity of FC-1 (BL-GB-ST)





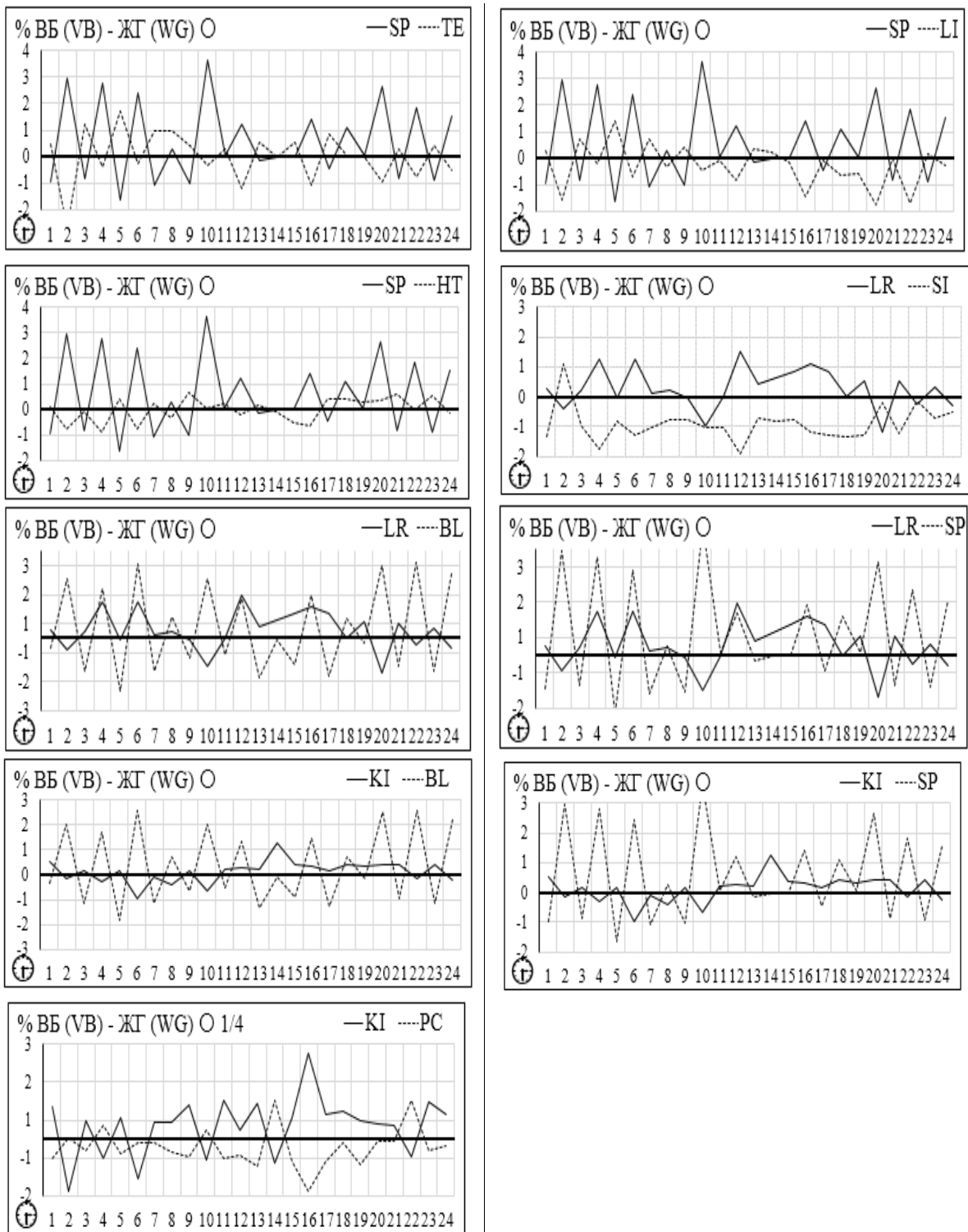
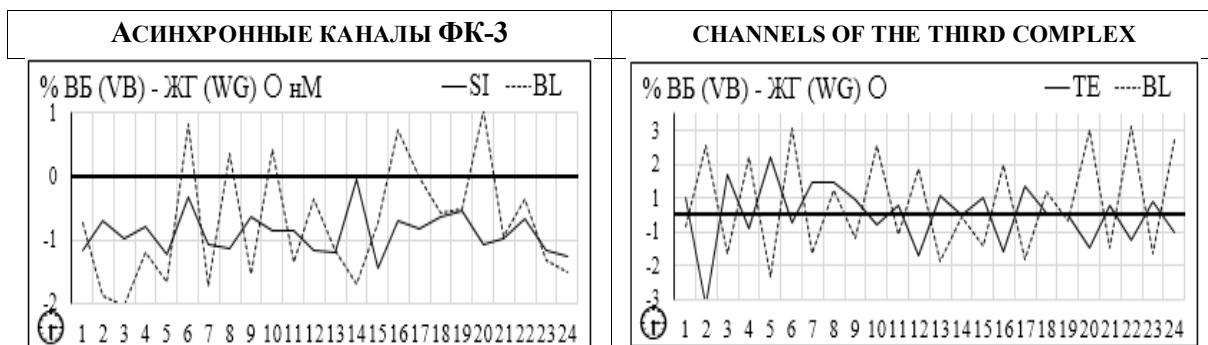


Рис.6.16 Системная асинхронная зависимость от активности ФК-2 (SP-LR-KI)  
 Fig.6.16 System asynchronous dependence on the activity of FC-2 (SP-LR-KI)



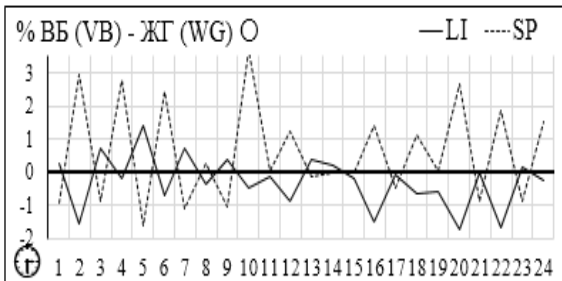
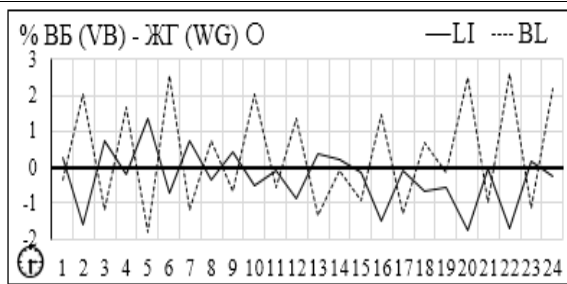
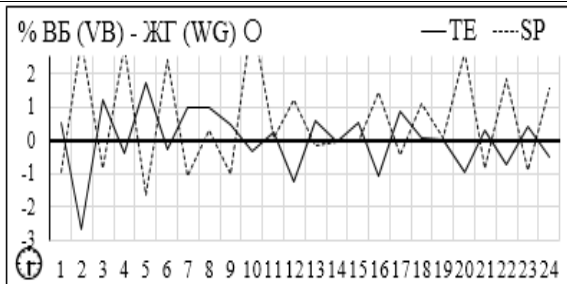


Рис.6.17 Системная асинхронная зависимость от активности ФК-3 (SI-TE-LI)  
Fig.6.17 System asynchronous dependence on the activity of FC-3 (SI-TE-LI)

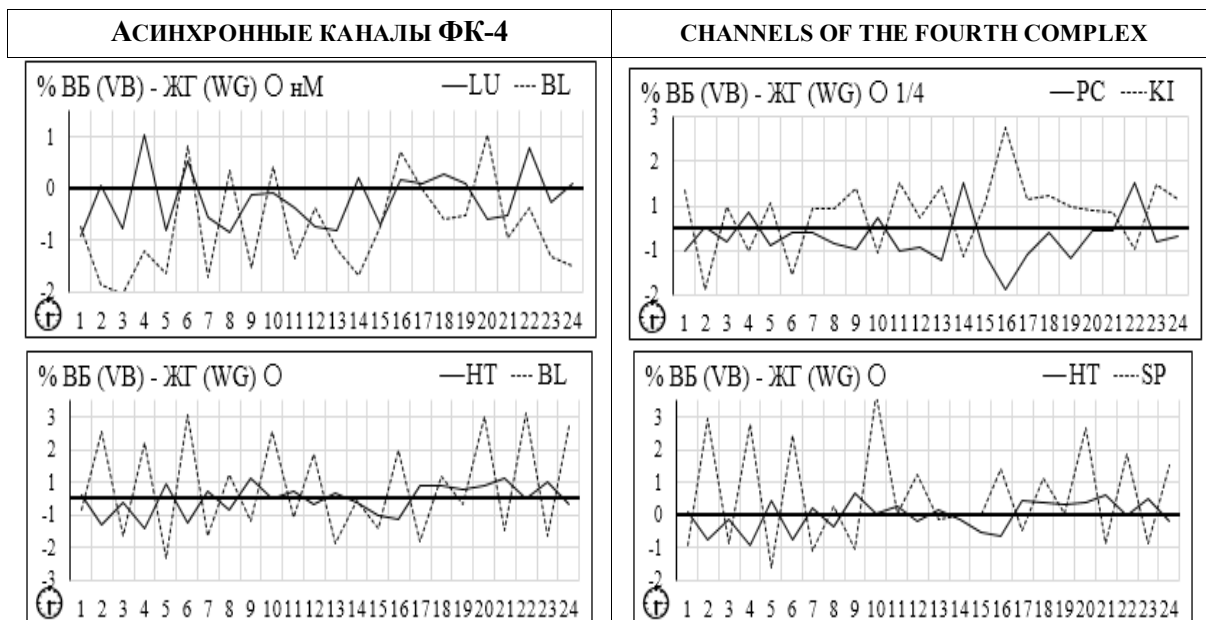


Рис.6.18 Системная асинхронная зависимость от активности ФК-4 (LU-PC-HT)  
Fig.6.18 System asynchronous dependence on the activity of FC-4 (LU-PC-HT)

<b>6.4 БИОФИЗИЧЕСКИЙ АТЛАС СИНХРОННО-АСИНХРОННОЙ (НЕ СИНХРОНИЗОВАННОЙ) СИСТЕМНОЙ АКТИВНОСТИ (рис.6.15-18)</b>	<b>6.4 BIOPHYSICAL ATLAS NOT SYNCHRONIZED (SYNCHRONO-ASYNCHRONOUS) SYSTEM DEPENDENCE (fig.6.15-18)</b>
---	--

Таблица (Table) 6.3

НЕ СИНХРОНИЗОВАННАЯ СИСТЕМНАЯ ЗАВИСИМОСТЬ -  
NOT SYNCHRONIZED SYSTEM DEPENDENCE

ФК FC	Системные пары несинхронной активности - System pairs of synchronous activity											
	BL	GB	ST	SP	LR	KI	SI	TE	LI	LU	PC	HT
		TE <sup>-3</sup>				LI <sup>-3</sup>	LI <sup>-3</sup>	GB <sup>-1</sup>	KI <sup>-2</sup>	LI <sup>-3</sup>	TE <sup>-3</sup>	
							TE <sup>-3</sup>	SI <sup>-3</sup>	SI <sup>-3</sup>			
								PC <sup>-4</sup>	LU <sup>-4</sup>			

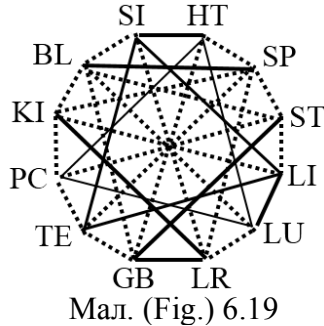
Примечание: "-1 -4" - указывает принадлежность канала к функциональному комплексу  
Note: "-1 -4" - indicates the affiliation of the channel to a particular functional complex

Подтверждением табл.6. выступает следующее:

Confirmation of Table 6. is the following:

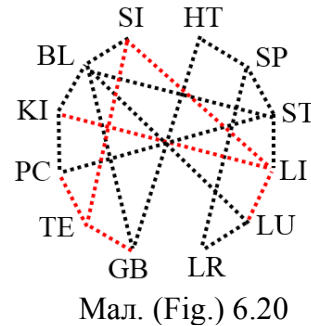
- "матричная" синхронно-асинхронная зависимость (пунктирные черные линии; рис. 6.19) и обусловленных ею дополнительные синхронно-асинхронные системные воздействия (пунктирные красные линии; мал.6.20);

- материалы "Биофизического атласа несинхронной системной зависимости" (рис. 6.21-24).



- "matrix" synchronous-asynchronous dependence (dashed black lines; fig.6.19) and due to it additional synchronous-asynchronous systemic influences (dashed red lines, fig.6.20);

- Materials of "Biophysical Atlas of Non-Synchronized System Dependence" (Figure 6.21-24).



<b>КАНАЛЫ ПЕРВОГО КОМПЛЕКСА</b>	<b>CHANNELS OF THE FIRST COMPLEX</b>
---------------------------------	--------------------------------------

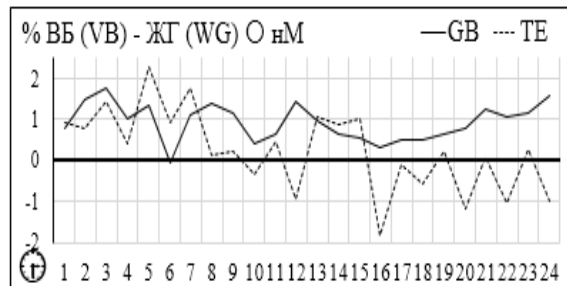
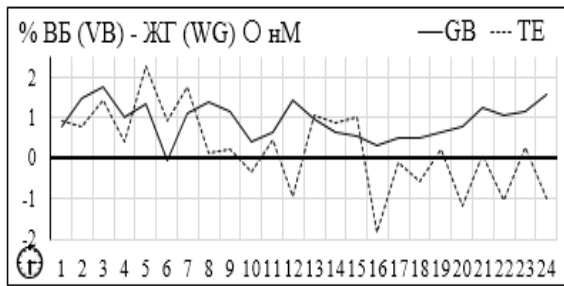


Рис.6.21 Системная "синхронно-асинхронная" зависимость ФК-1 (GB)  
Fig.6.21 System asynchronous dependence on the activity of FC-1 (GB)

<b>КАНАЛЫ ВТОРОГО КОМПЛЕКСА</b>	<b>CHANNELS OF THE OTHER COMPLEX</b>
---------------------------------	--------------------------------------

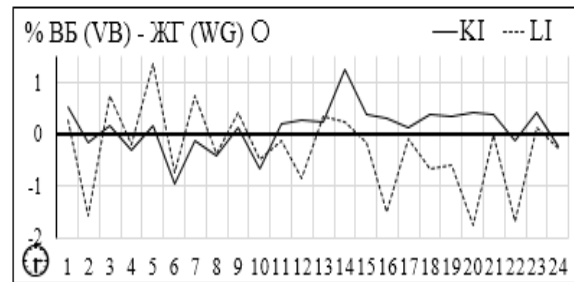
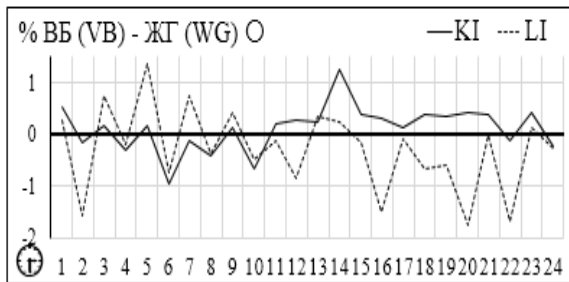
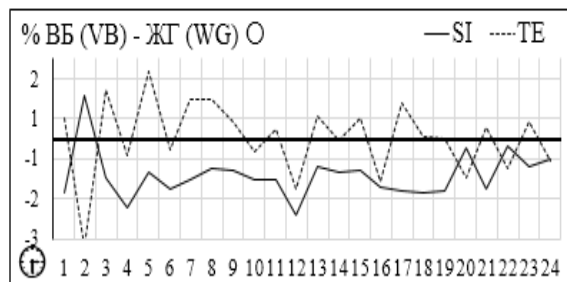
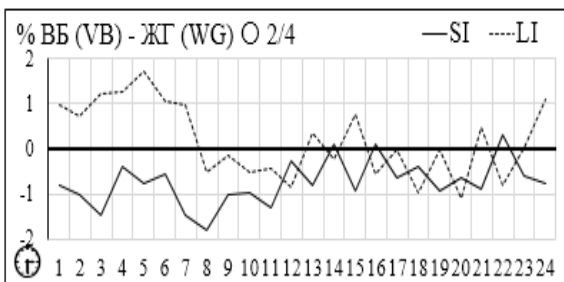


Рис.6.22 Системная "синхронно-асинхронная" зависимость ФК-2 (KI)  
Fig.6.22 System asynchronous dependence on the activity of FC-2 (KI)

<b>КАНАЛЫ ТРЕТЬЕГО КОМПЛЕКСА</b>	<b>CHANNELS OF THE THIRD COMPLEX</b>
----------------------------------	--------------------------------------



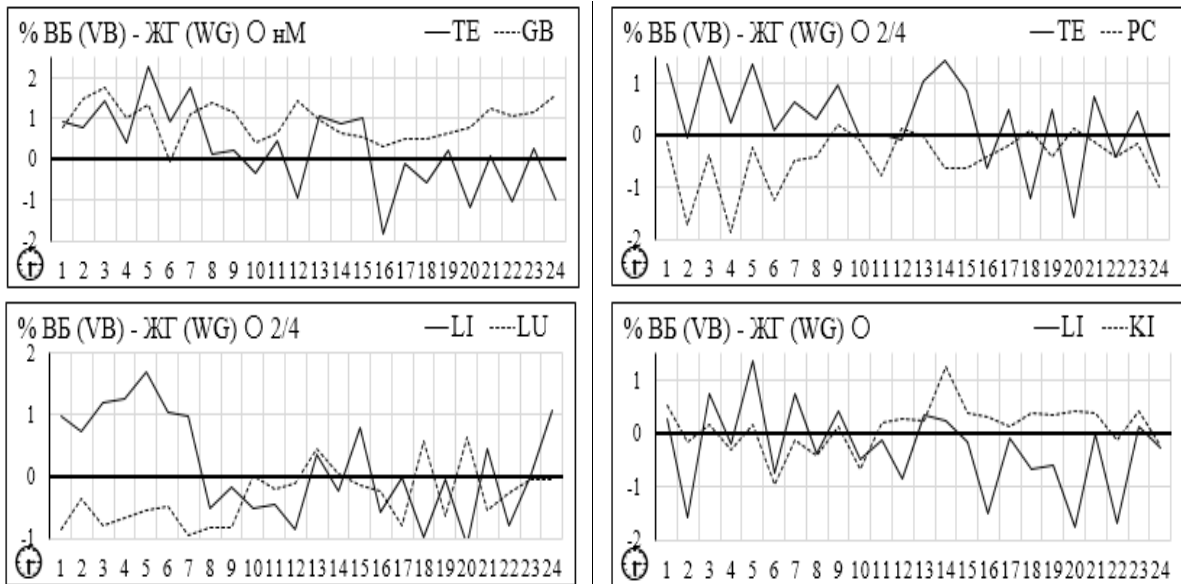


Рис.6.23 Системная "синхронно-асинхронная" зависимость ФК-3 (SI-TE-LI)  
 Fig.6.23 System asynchronous dependence on the activity of FC-3 (SI-TE-LI)

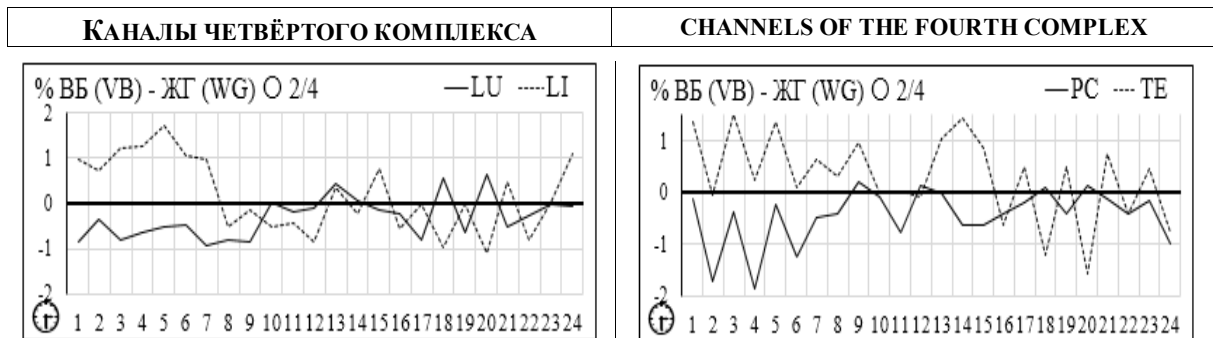


Рис.6.24 Системная "синхронно-асинхронная" зависимость ФК-4 (LU-PC)  
 Fig.6.24 System asynchronous dependence on the activity of FC-4 (LU-PC)

#### 6.4 СИСТЕМНЫЕ ПАРАДОКСАЛЬНЫЕ РЕАКЦИИ КАК ФАКТОР ВЕГЕТАТИВНОГО ПАТОГЕНЕЗА

Биофизический феномен системных "парадоксальных реакций" известен и подробно описан [6, с.209-217]. Они возникают когда активность ведущей системы выходит из зоны "вегетативной нормы" и формируют противоположную симпатическую (или парасимпатическую) активность ..

Напомним их базовые положения.

До наших исследований феномен парадоксальных реакций (ПР) был неизвестен. Нами установлено, что на чрезмерное возбуждение (угнетение) любого из каналов каждая система дает три типа ответа: синхронное возбуждение, асинхронное угнетение и парадоксальную реакцию. Для последней характерно синхронное возбуждение (угнетение) до зоны функциональной нормы и противоположно направленную реакцию угнетения (возбуждения) за её пределами (мал.6.25).

#### 6.4 SYSTEM PARADOXES REACTIONS AS FACTOR OF VEGETATIVE PATHOGENESIS

The biophysical phenomenon of systemic "paradoxical reactions" is known and described in detail [6, p.209-217]. They arise when the activity of the driving system comes from the zone of "vegetative norm" and forms the advantage of sympathetic (parasympathetic) activity.

Recall their basic position.

The phenomenon of paradoxical reactions (PR) had been unknown before our researches. Now, it has been established that for the excitation of any channel every system provides three types of response: synchronous excitation, synchronous oppression, and paradoxical reactions. For the latter, synchronous excitation of the dependent system is typical. This excitation accompanies growing activity of the Main channel to the zone of the norm, and its paradoxical oppression after channel exceeds the zone of the functional norm (fig. 6.25).

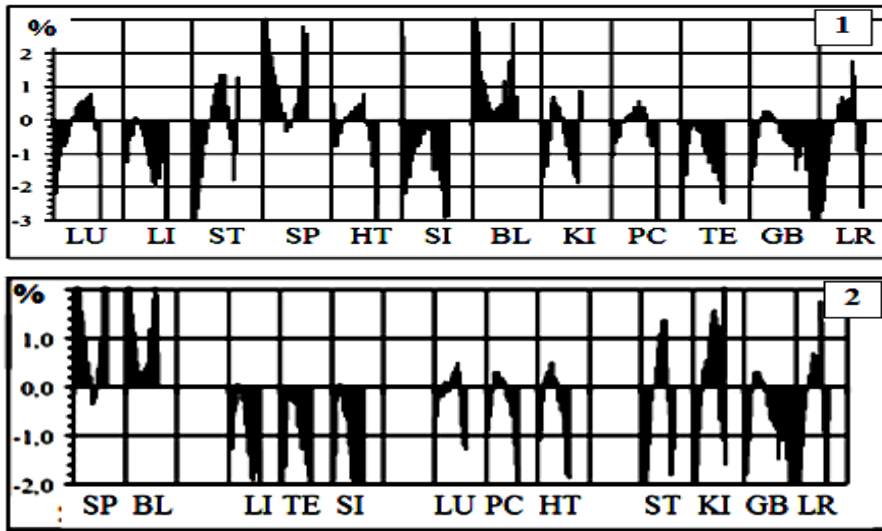


Рис.6.25 Типы системных (1) и комплексных (2) парадоксальных реакций.

Fig.6.25 Types of systemic (1) and complex (2) paradoxical reactions.

Примером парадоксального возбуждения (**ПВ**) выступают парадоксальные реакции BL-SP (угнетение до зоны нормы и последующее возбуждение). Примером парадоксального угнетения (**ПУ**) являются парадоксальные реакции LI-TE-SI, LU-PC-TE, ST-GB-KI-LR (возбуждение и последующее угнетение). При этом для реакций характерны специфические уровни биофизического конфликта - вегетативные зоны развития парадоксальных реакций (ПР). Так, если системные ПР BL-SP (ФК-1) и LI-TE-SI (ФК-2) возникают в зоне вегетативного равновесия, то каналы LU-PC-HT (ФК-3) начинают биофизическое угнетение выше своего функционального уровня, а ST-GB-KI-LR формируются на грани избыточного (критического) возбуждения.

Теперь обратим внимание на существенную деталь. Один и тот же канал способен к парадоксальным реакциям на возбуждение (угнетение) нескольких различных каналов. Другими словами, мы наблюдаем феномен "функционального перекрытия" (функциональных кругов по П. Анохину). Пример приведен на мал.6.26.

The example of **PE** is represented by the paradoxical reactions of BL-SP (oppression to the zone of the norm and further excitation). The example of **PO** is represented by the paradoxical reactions of LI-TE-SI, LU-PC-TE, ST-GB-KI-LR (excitation before and after the zone of the norm and further oppression). At the same time, the reactions of **PO** are characterized by specific levels of biophysical conflict – vegetative zones of the development of paradoxical reactions. Thus, while systemic paradoxical reactions of BL-SP (FC-1) and LI-TE-SI (FC-2) occur in the zone of vegetative equilibrium, channels of LU-PC-HT (FC-3) initiate biophysical resistance, which is higher than its functional level, and ST-GB-KI-LR, generally, form at the edge of excessive (critical) excitation.

And now, let us take notice of one substantial detail. One and the same channel is able to demonstrate paradoxical reactions to excitation (oppression) of several channels. In other words, we observe the reality of the phenomenon of "functional coverage" (functional cycles according to P. Anokhin). An example is shown on fig. 6.26.

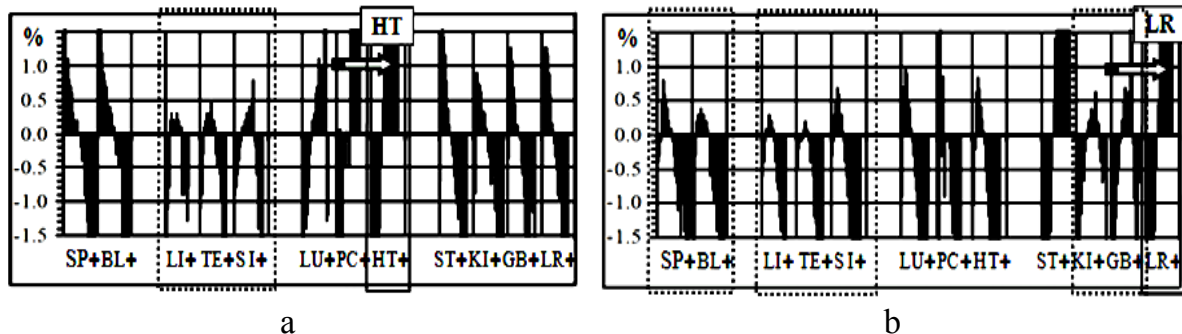


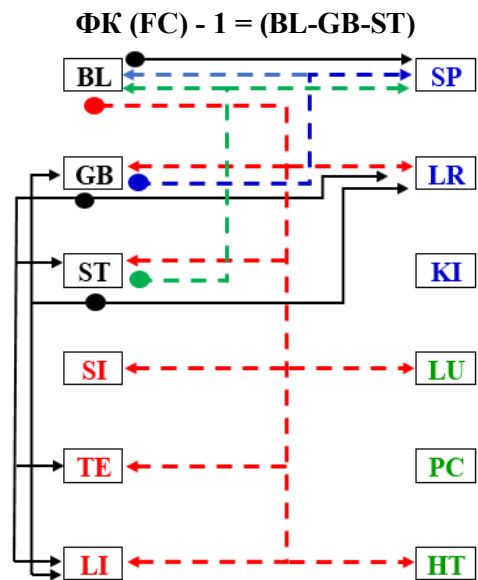
Рис.6.26 (а, б) Парадоксальные реакции **HT** на возбуждение LI+TE+SI+ и **LR** на возбуждение SP+BL+, LI+TE+SI+, KI+GB+.

Fig.6.26 (a, b) Paradoxical **HT** reactions on excessive excitation of LI+TE+SI+ and **LR** on excessive excitation SP+BL+, LI+TE+SI+, KI+GB+.

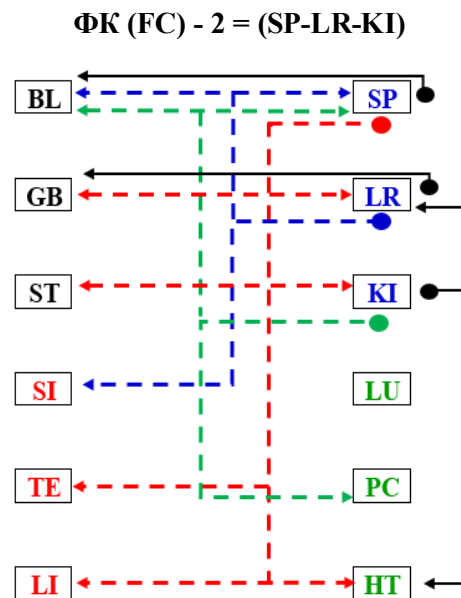
Значение "парадоксальных реакций" для поддержки динамической устойчивости функционально-вегетативного патогенеза не вызывает сомнения.

The significance of "paradoxical reactions" to support the dynamic constancy of functionally vegetative equilibrium is beyond doubt.

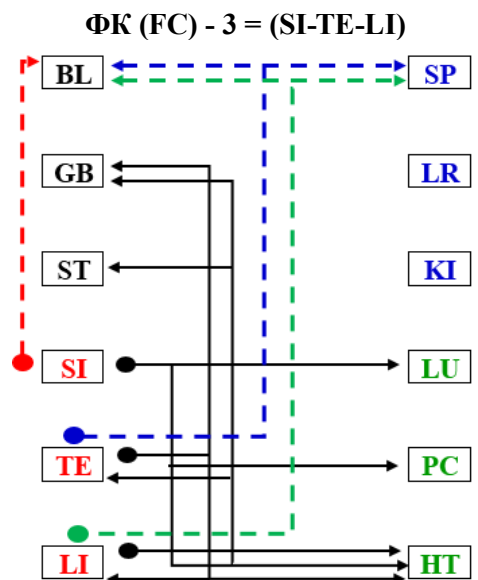
<b>6.5 Механизмы системно-вегетативного патогенеза</b>	<b>6.5 Mechanisms system-vegetative pathogenesis</b>
--	--



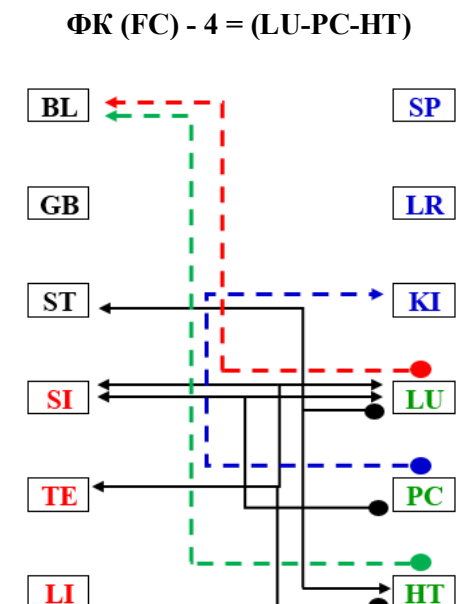
Примечание: ФК (FC) -1;  
 ФК (FC) -2; ФК (FC) -3; ФК (FC) -4  
 синхронная зависимость —  
 асинхронная зависимость - - -  
 Рис. 27



Note: ФК (FC) -2;  
 ФК (FC) -1; ФК (FC) -3; ФК (FC) -4  
 synchronous system dependence —  
 asynchronous system dependence - - -  
 Fig. 28



Примечание: ФК (FC) -3;  
 ФК (FC) -1; ФК (FC) -2; ФК (FC) -4  
 синхронная зависимость —  
 асинхронная зависимость - - -  
 Рис. 29



Note: ФК (FC) -4;  
 ФК (FC) -1; ФК (FC) -2; ФК (FC) -3;  
 synchronous system dependence —  
 asynchronous system dependence - - -  
 Fig. 30

## **Выводы**

1. Приведенные данные вносят существенную коррекцию в понимание механизмов патогенеза вегетативных нарушений

2. Атмосферные "резонансы Шумана" является фактором, формирующим суточный "двух часовой функционально-вегетативный ритм".

3. Синхронно-асинхронная активность систем первого и второго функциональных комплексов специфична. Она формирует направления вегетативного патогенеза и направлена на динамическую стабильность вегетативного гомеостаза.

4. Установленные ранее космофизических факторов вегетативной регуляции (фазы Лунной активности, солнечная УФ-радиация) играют значительную роль в механизмах комплексной функционально-вегетативной регуляции ...

## **Conclusions**

1 The above information makes a significant correction in understanding the mechanisms of pathogenesis of autonomic violations.

2. Atmospheric "resonances of Schumann" is a factor that forms the daily "two hour functional and vegetative rhythm."

3. Synchronous-asynchronous activity of systems of the first and second functional complexes is specific. It forms the direction of vegetative pathogenesis and aims at the dynamic stability of vegetative homeostasis.

4. The previously established cosmophysical factors of vegetative regulation (phases of the moon activity, solar UV radiation) play a significant role in the mechanisms of complex functional and vegetative regulation ...





## 7. ДИСПЕРСИЯ ВЕГЕТАТИВНЫХ УРОВНЕЙ КАК ПРОБЛЕМА ФУНКЦИОНАЛЬНОЙ ВЕГЕТОЛОГИИ И ЧЖЕНЬ-ЦЗЮ ТЕРАПИИ

### 7. DISPERSION OF VEGETATIVE LEVELS AS A PROBLEM OF FUNCTIONAL VEGETOLOGY AND ZHEN-TSZYU THERAPY

"Дисперсия (рассеивание) вегетативных уровней" касается проблем возрастной вегетологии, реабилитации и функционально-экологической экспертизы регионов компактного проживания детского населения Украины.

Анализ возрастных групп указывает на неудовлетворительное функциональное здоровья детей (О.В. Ермишев, В.Г.Макац, 2016-2018). Угрожающим выглядит его вегетативная дисперсия по уровням "парасимпатической и симпатической активности" и "вегетативного равновесия". Становится понятным, что "функционально-вегетативные" нарушения у детей "формируют патогенетическую основу будущей" клинической нозологии".

Поднятую проблему мы рассмотрим по "возрастным группам" (рис.7.1) и "годам жизни" детского населения Украины (мал.7.2-6). При этом обращаем внимание на аббревиатуру принятых сокращений:

1) **ПА** (ПАЗн + ПАв зона парасимпатической активности; **ФГ** (ФкП+ВР+ФкС зона допустимого функционального равновесия; **СА** (САв + САзн зона симпатической активности;

2) **ЖГ** - женская группа, **МГ** - мужская группа;

3) **ДВ** - дошкольный возраст (3-6л.), **МШВ** - младший школьный возраст (ЖГ 7-11л., МГ 7-12л.), **ПШВ** - подростковый школьный возраст (ЖГ 12-15л., МГ 13-16л.), **ЮШВ** - юношеский школьный возраст (ЖГ 16-20л., МГ 17-21л.), **ЗВ** - зрелый возраст (ЖГ 21-50л., МГ 22-50л.).

Всего в женской группе анализа было 8416 человек, в мужской - 5875.

"Dispersion (dispersion) of vegetative levels" primarily concerns the problems of age-related vegetation, rehabilitation practice and functional-ecological expertise of regions of compact residence of the children's population of Ukraine.

The analysis conducted by separate age groups indicates the poor state of functional and vegetative health of children (O.V. Yermyshev, M.P. Makats 2016-2018). They are threatened by the ratio of the "advantage of parasympathetic activity", "relative vegetative equilibrium" and "advantage of sympathetic activity". It becomes clear how modern "functional-vegetative" deviations form the pathogenetic basis for transforming into a future "clinical nosology".

We will consider the raised problem separately according to "age groups" (fig. 7.1) And "years of life" of the children's population of Ukraine (fig.7.2-6). At the same time we pay attention to the abbreviation of the adopted abbreviations:

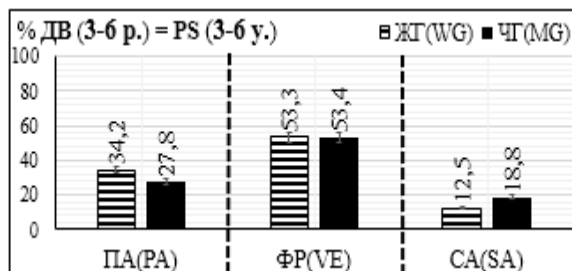
1) **PA** (PAs+PAe zone of preferences of parasympathetic activity; **VE** (FkP+VE+FkS zone of admissible functional equilibrium; **SA** (SAe+SAs zone of preferences of sympathetic activity;

2) **WG** - a female group, **MG** - a male group.

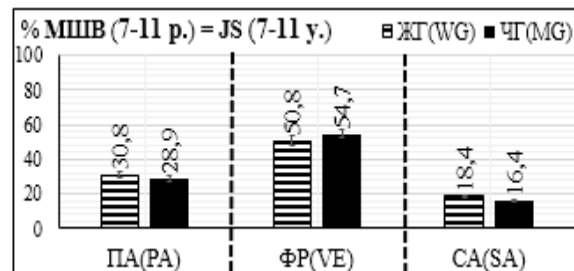
3) **PS** - preschool age (3-6 years); **JS** - junior school age (WG 7-11y., MG 7-12 y.); **ASA** - adolescent school age (WG 12-15 y., MD 13-16 y); **JSA** - juvenile school age (WG 16-20 y., MD 17-21 y.), **AA** - adult age (WG 21-50 y., MD 22-50 y.).

Overall, there were 8416 women in the female population and 5875 in the male population.

#### 1. ВЕГЕТАТИВНАЯ ДИСПЕРСИЯ ПО ВОЗРАСТНЫМ ГРУППАМ



#### 1. VEGETATIVE DISPERSION BY AGE GROUPS





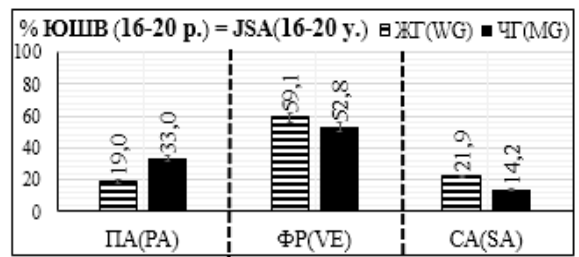
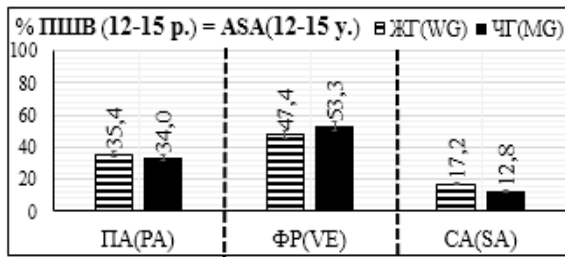


Рис. (Fig.) 7.1

Материалы (рис.7.1) указывают на идентичность вегетативной дисперсии по возрастным группам. Обращает внимание значительное количество детей в зонах парасимпатической (ЖГ 19,0-35,4%; МГ 27,8-34,2%) и симпатической (ЖГ 12,5-21,9%; МГ 12,8-18,8%) активности. Возникает целесообразность анализа по отдельным годам жизни возрастных групп (мал.7.2-6).

The above materials (fig.7.1) indicate the dynamic identity of the vegetative dispersion in separate age groups. A significant number of children in parasympathetic groups (LM 19.0-35.4%, MG 27.8-34.2%) and sympathetic (LM 12.5-21.9%, MG 12.8-18.8%) activity. There is an expediency to consider the problem of certain years of life of age groups (fig.7.2-6).

## 2. ВЕГЕТАТИВНАЯ ДИСПЕРСИЯ ПО ГОДАМ ЖИЗНИ (рис.7.2-6)

## 2. VEGETATIVE DISPERSION ON EVERY YEARS OF LIFE (fig. 7.2-6)

### ВЕГЕТАТИВНАЯ ДИСПЕРСИЯ ПО ГОДАМ ЖИЗНИ ДВ

### VEGETATIVE DISPERSION ON THE YEARS OF JS

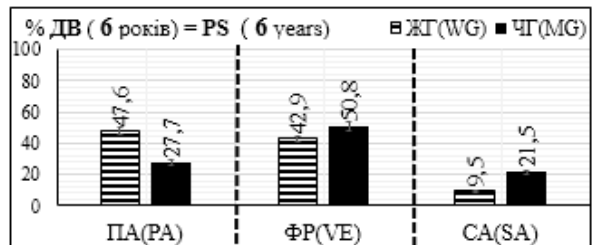
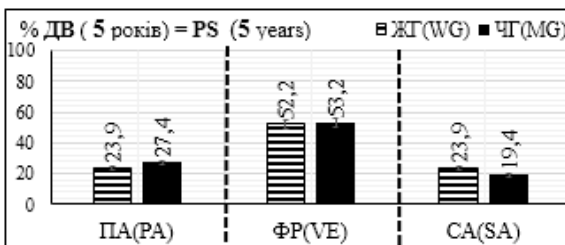
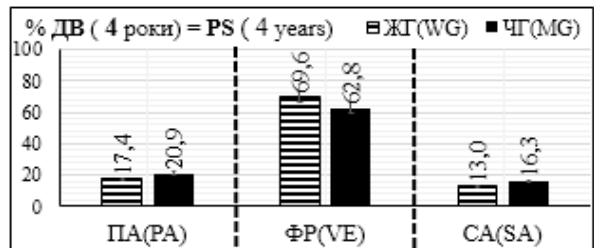
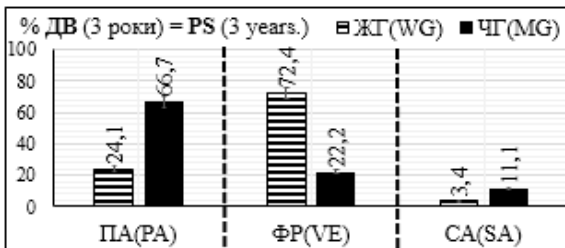
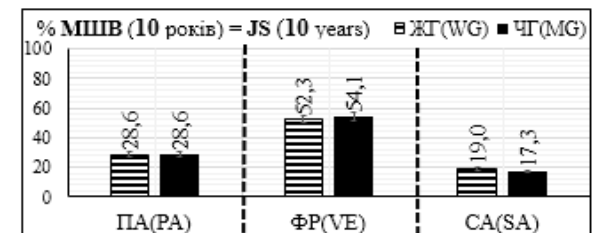
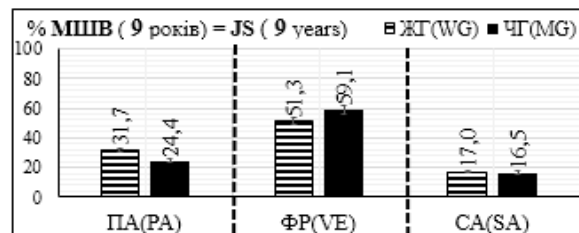
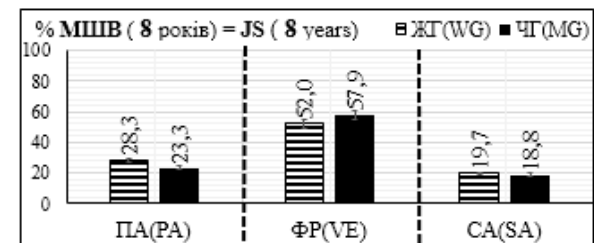
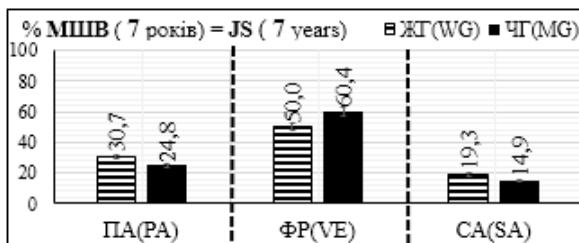


Рис. (Fig.) 7.2

### ВЕГЕТАТИВНАЯ ДИСПЕРСИЯ ПО ГОДАМ ЖИЗНИ МШВ

### VEGETATIVE DISPERSION ON THE YEARS OF JS



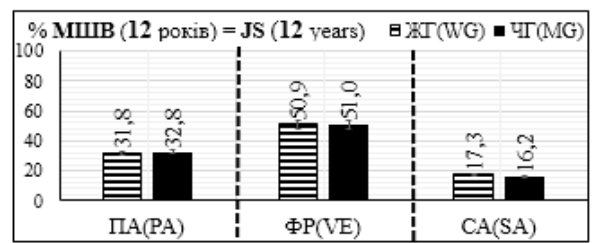
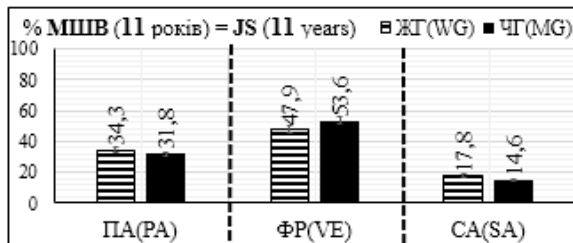


Рис. (Fig.) 7.3

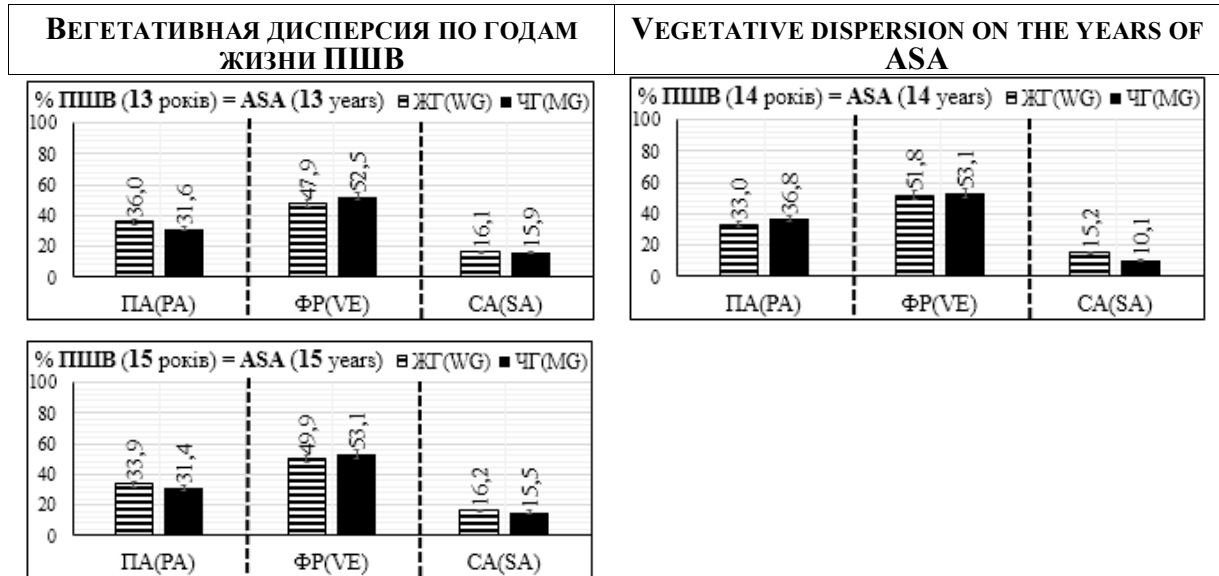


Рис. (Fig.) 7.4

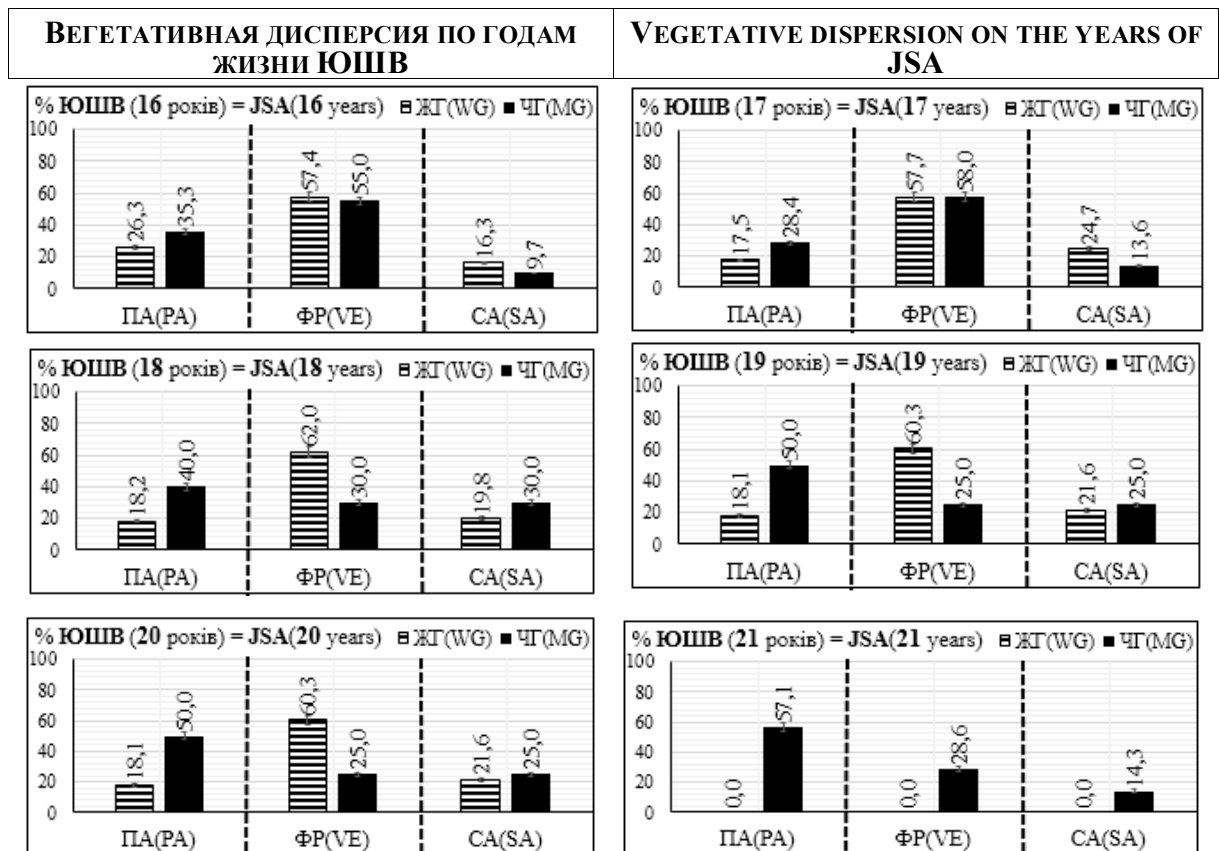
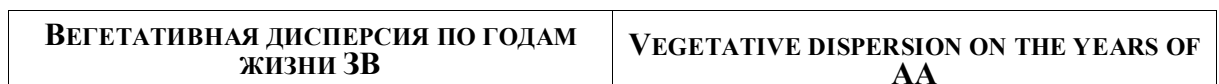
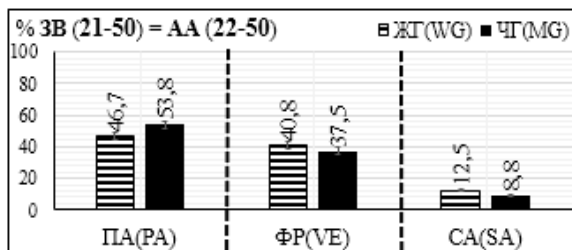


Рис. (Fig.) 7.5





Мал. (Fig.) 7.6

Дисперсия вегетативных уровней по отдельным годам жизни аналогична возрастным группам. Обращает на себя внимание преобладание парасимпатического угнетения в мужских группах юношеского (35,3-50,0%) и зрелого (53,8%) возраста.

Vegetative levels dispersion over different years of life is similar to their age groups. Attention is drawn to the prevalence of parasympathetic oppression in male groups of youthful (35.3-50.0%) and mature (53.8%) ages.

### Выводы

1. Значительное количество детей Украины пребывает в зоне функционально-вегетативного дискомфорта: парасимпатического угнетения (ЖГ 19,0-35,4%; МГ 27,8-34,2 %) и симпатического напряжения (ЖГ 12,5-21,9%; МГ 12,8-18,8%). Подобные состояния "формируют патогенетическую основу "клинической нозологии".

2. Дисперсия вегетативных уровней служит интегральным индикатором функционально-вегетативного здоровья детского населения Украины.

3. Рекомендована для внедрения поручениями КМ Украины №12010/87 в программе "Двух этапная система реабилитации вегетативных нарушений у детей, проживающих в зоне радиационного (экологического) контроля".

3. Служит прототипом современной функционально-вегетативной диспансеризации детского населения Украины ...

### Conclusions

1. A significant number of children in Ukraine are in the zone of functional-vegetative discomfort: parasympathetic oppression (WG 19.0-35.4%; MG 27.8-34.2%) and sympathetic stress (WG 12.5-21.9%; MG 12.8-18.8%). Such conditions "form the pathogenetic basis of clinical nosology".

2. Dispersion of vegetative levels is an integral indicator of functional and vegetative health of the children's population of Ukraine.

3. Recommended to the implementation of the Order of the Cabinet of Ministers of Ukraine №12010/87 in the program "Two-stage system of rehabilitation of vegetative disorders in children living in the zone of radiation (ecological) control".

3. Serves as a prototype of the modern functional-vegetative dispensary of children's population of Ukraine ...





## 8. ТЕОРЕТИЧЕСКИЕ ОШИБКИ ЧЖЕНЬ-ЦЗЮ ТЕРАПИИ КАК ПРОБЛЕМА ФУНКЦИОНАЛЬНОЙ ВЕГЕТОЛОГИИ

### 8. THEORETICAL ERRORS OF ZHEN-TSZYU THERAPY AS A PROBLEM OF FUNCTIONAL VEGETOLOGY

Теоретические положения Чжень-цзю не имеют биофизической поддержки [1, с.83-173]. Это её правила "Мать-Сын", "Дед-Внук", "Полдень-Полночь", "Левый-Правый (мужчина-женщина)", "Биологические часы", "Против угнетения" и свидетельствует о существовании других биофизических законов системной зависимости!

Имея в виду проблемный характер вопроса, биофизическую реальность рассмотрим в виде системной зависимости при возбуждении отдельных каналов (их угнетение обуславливает обратную системную зависимость).

Базовым предметом внимания стала динамика коэффициентов k-V. Их рост свидетельствует о симпатической (ЯН-синдром) активности отдельных функциональных систем, а угнетение - парасимпатической (ИНЬ-синдром).

Биофизическая экспертиза проведена по результатам ФВД в женской (9.947 случаев) и мужской (5.492) группах. А теперь к конкретным традиционным положениям ...

Theoretical provisions of the traditional Zhen-Tszyu do not have biophysical support [1, p. 83-173]. This applies to the rules of "Mother Son", "Grandfather-Grandson", "South-North", "Left-Right (Male-Woman)", "Biological Clock", "Against oppression" and testifies to the existence of other biophysical laws of the system Dependencies!

Taking into account the problematic character of the issue, we will observe the biophysical reality in the form of systemic dependency under *excitation* of separate channels (their oppression conditions the opposite systemic dependency).

The dynamics of coefficients k-V has become the main focus of attention. Their growth indicates the superiority of the sympathetic (YANG-syndrome) activity in the excitement of individual functional systems, and inhibition - parasymphathetic (YIN -syndrome).

Biophysical examination was performed on the results of FVD in female (9.947 observations) and male (5.492) groups. And now to specific traditional positions ...

#### МАТРИЧНАЯ РЕАЛЬНОСТЬ ТРАДИЦИОННОГО ПОЛОЖЕНИЯ "БОЛЬШОЙ КРУГ"

#### MATRICAL REALITY OF TRADITIONAL THE SITUATION "BIG CYCLE"

##### *Эмпирические основы положения*

##### *Empirical basis of the situation*

"Большой круг циркуляции энергии ЧИ" предусматривает энергетическую направленность по упорядоченной системе каналов LU-LI-ST-SP-HT-SI-BL-KI-PC-TE-GB-LR-LU (рис.1).

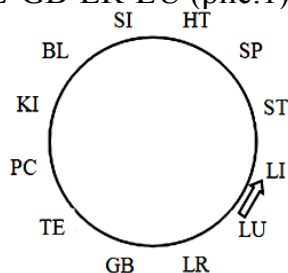


Рис. (Fig.) 8.1

На его биофизическую реальность указывает топографическая упорядоченность "Функционально-вегетативных комплексов" в указанной последовательности (рис.8.2).

Анализ (рис.8.3-14) свидетельствует, что нарастающее возбуждение одного из каналов обуславливает разно-

Traditional rule "Big Cycle of energy QI circulation" implies sequentially directed migration of "energy QI" through ordered system "LU-LI-ST-SP-HT-SI-BL-KI-PC-TE-GB-LR-LU" (fig.1).

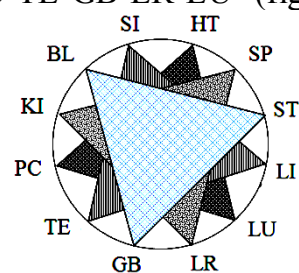


Рис. (Fig.) 8.2

His biophysical reality is confirmed by the topographical ordering of the "Functional-vegetative complexes" in the specified sequence (fig.8.2).

The conducted biophysical analysis (fig.8.3-14) testifies that the growing excitation of one of the channels conditions

направленную системную зависимость в виде повторных комплексов синхронных, асинхронных и парадоксальных реакций.

Показательно, что независимо от топографической локализации канала в системе Большого круга, направленность его активности не стабильна и зависит от возбуждения различных каналов. Это говорит о биофизически реальной системной зависимости, контролирующей функционально-вегетативный гомеостаз. При этом положение о периодах суток с максимальной и минимальной двух часовой активностью по "Большому кругу" становится сомнительным ...

Multidirected systemic dependency, which occurs in the form of repeated complexes of synchronous, asynchronous and paradoxical reactions.

It is rather significant that independently from the topographic location of a channel within the "Big Cycle", the orientation of its activity is unstable and differently depends on the activity of other channels. First of all, it points to the biophysical reality of systemic dependency that continuously controls functionally-dynamic homeostasis. In other words, the hypothetical provision of certain daily periods with maximal and minimal two-hour activity through the "Big Cycle" is questionable...

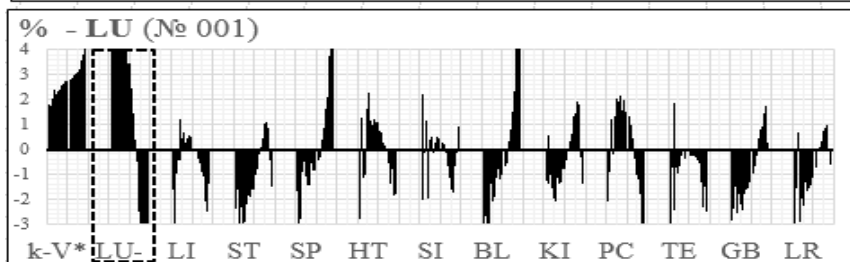
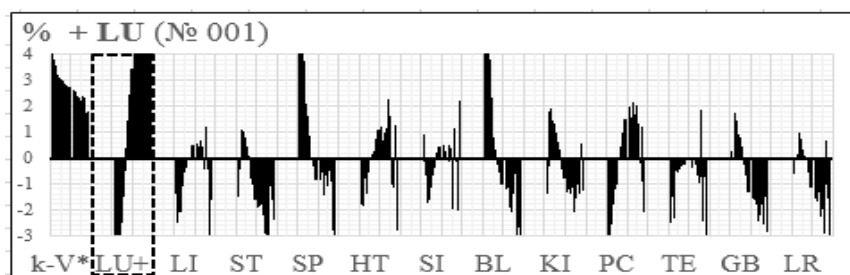


Рис.8.3 Разнонаправленная активность каналов по Большому кругу при возбуждении (+) и угнетении (-) LU

Fig. 8.3 Diverse channel activity in the Big Circle at excitement (+) and suppression (-) LU

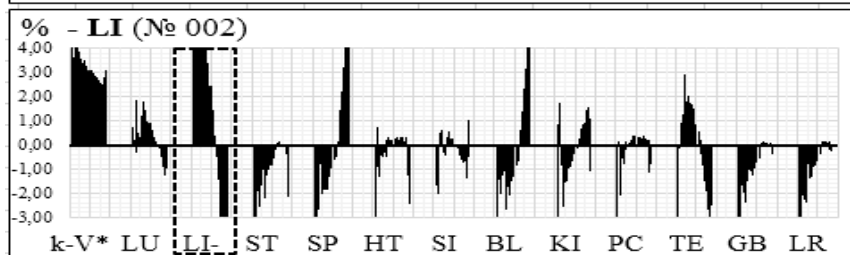
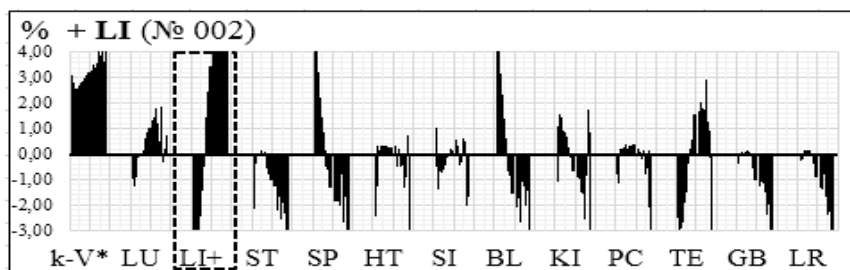


Рис.8.4 Разнонаправленная активность каналов по Большому кругу при возбуждении (+) и угнетении (-) LI

Fig. 8.4 Diverse channel activity in the Big Circle at excitement (+) and suppression (-) LI

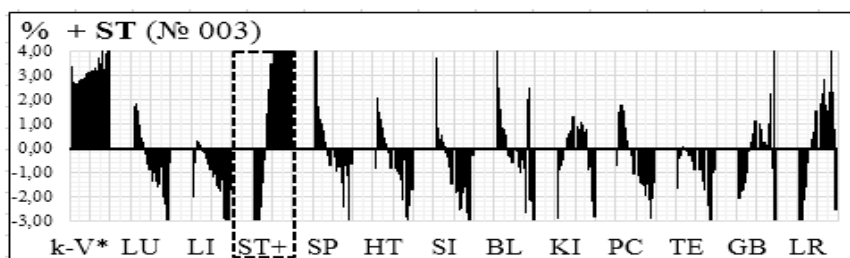


Рис.8.5 Разнонаправленная активность каналов по Большому кругу при возбуждении (+) и угнетении (-) ST

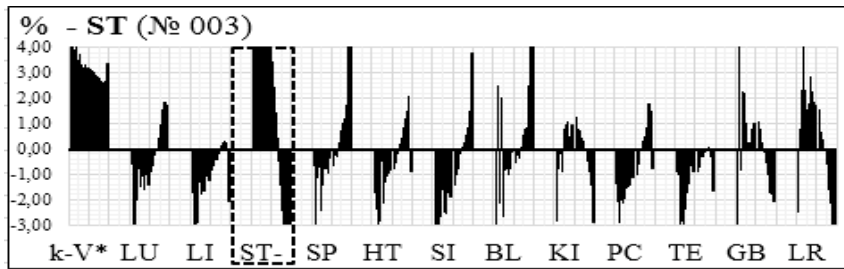


Fig. 8.5 Diverse channel activity in the Big Circle at excitement (+) and suppression (-) ST

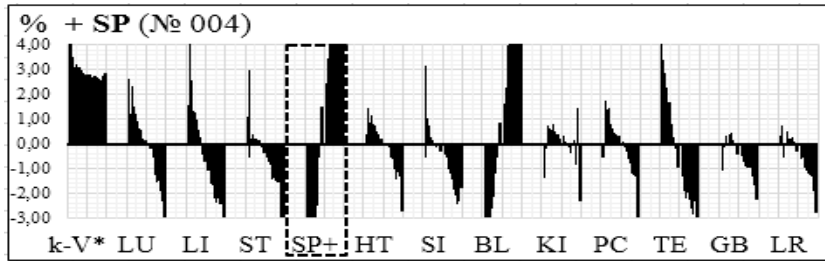


Рис.8.6 Разнонаправленная активность каналов по Большому кругу при возбуждении (+) и угнетении (-) SP

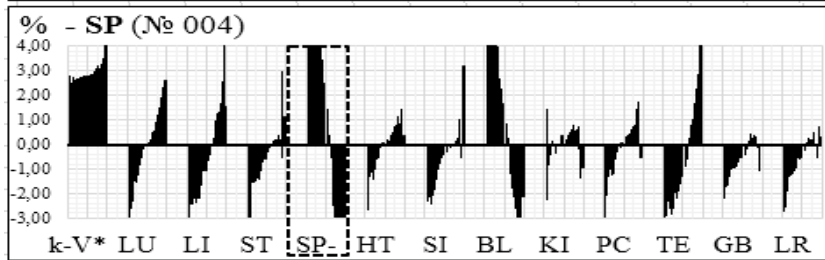


Fig. 8.6 Diverse channel activity in the Big Circle at excitement (+) and suppression (-) SP

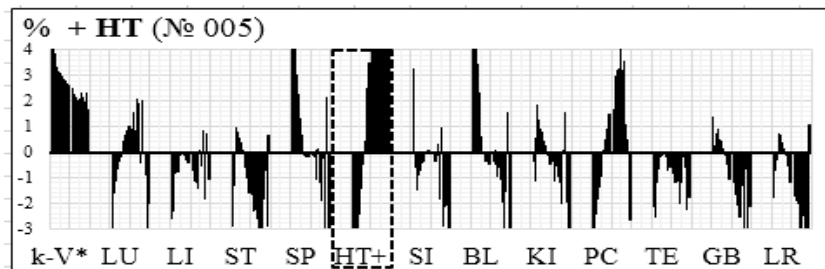


Рис.8.7 Разнонаправленная активность каналов по Большому кругу при возбуждении (+) и угнетении (-) HT

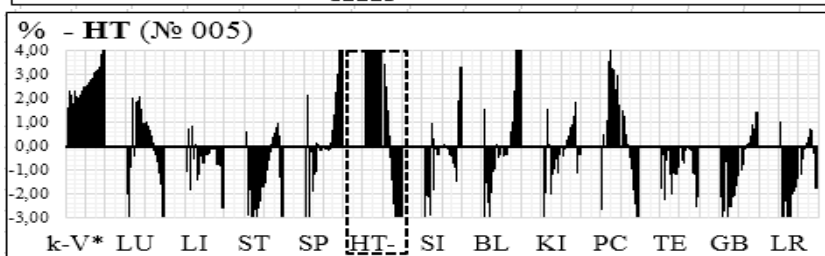


Fig. 8.7 Diverse channel activity in the Big Circle at excitement (+) and suppression (-) HT

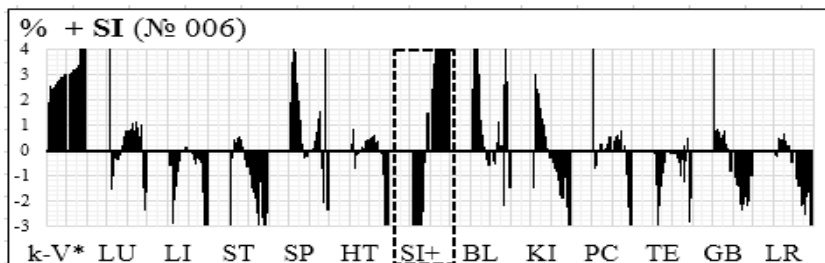


Рис.8.8 Разнонаправленная активность каналов по Большому кругу при возбуждении (+) и угнетении (-) SI

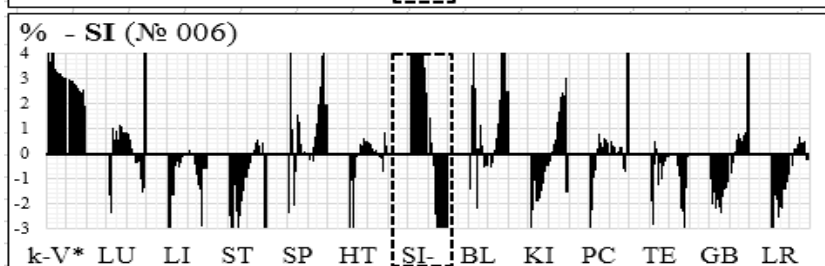


Fig. 8.8 Diverse channel activity in the Big Circle at excitement (+) and suppression (-) SI

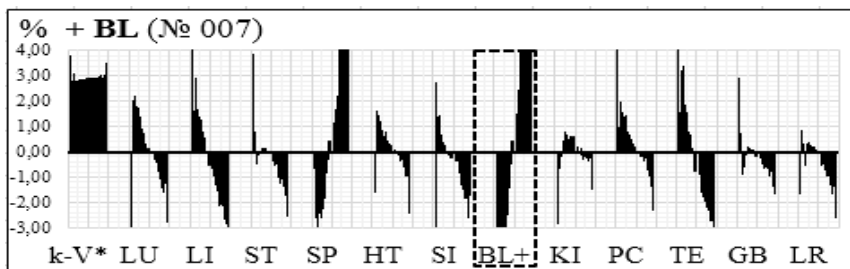


Рис.8.9 Разнонаправленная активность каналов по Большому кругу при возбуждении (+) и угнетении (-) BL

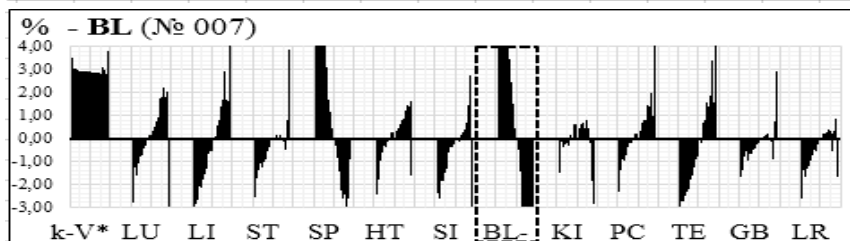


Fig. 8.9 Diverse channel activity in the Big Circle at excitement (+) and suppression (-) BL

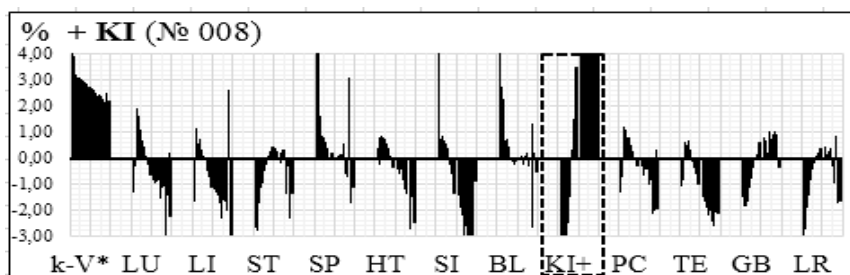


Рис.8.10 Разнонаправленная активность каналов по Большому кругу при возбуждении (+) и угнетении (-) KI

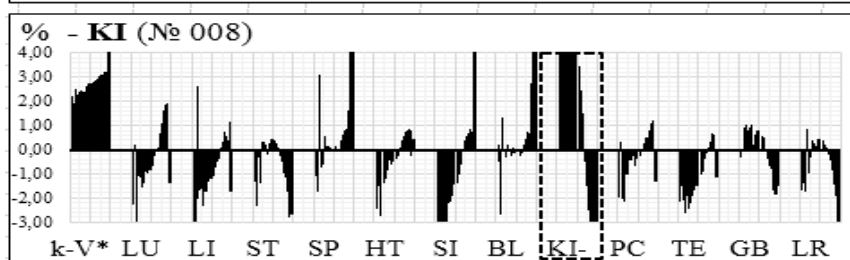


Fig. 8.10 Diverse channel activity in the Big Circle at excitement (+) and suppression (-) KI

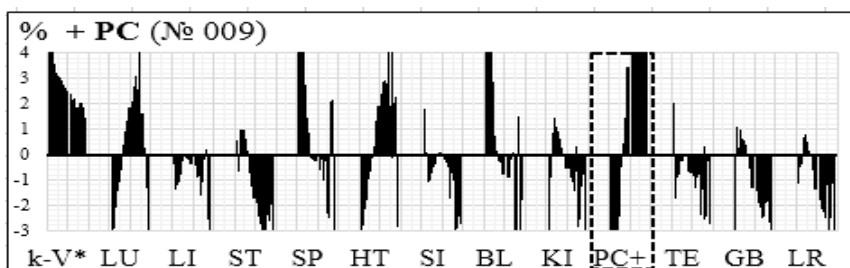


Рис.8.11 Разнонаправленная активность каналов по Большому кругу при возбуждении (+) и угнетении (-) PC

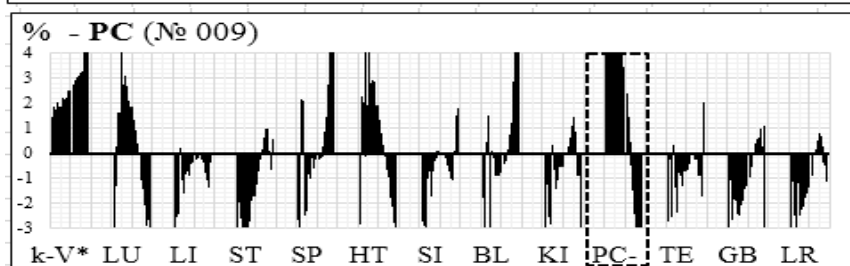


Fig. 8.11 Diverse channel activity in the Big Circle at excitement (+) and suppression (-) PC

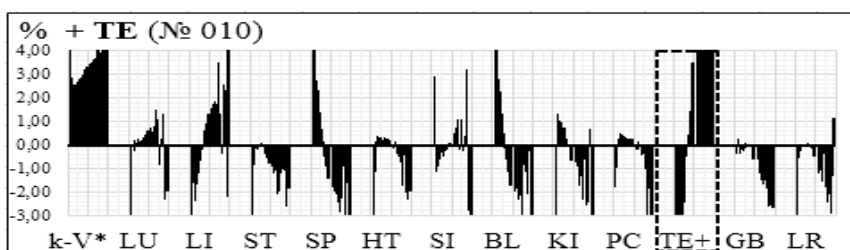


Рис.8.12 Разнонаправленная активность каналов по Большому кругу при возбуждении (+) и угнетении (-) TE

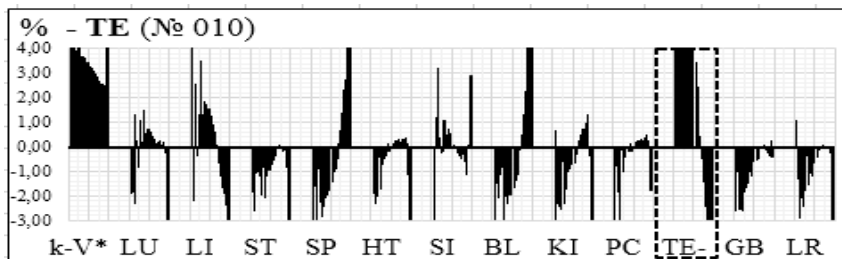


Fig. 12  
Diverse channel activity in the Big Circle at excitement (+) and suppression (-) TE

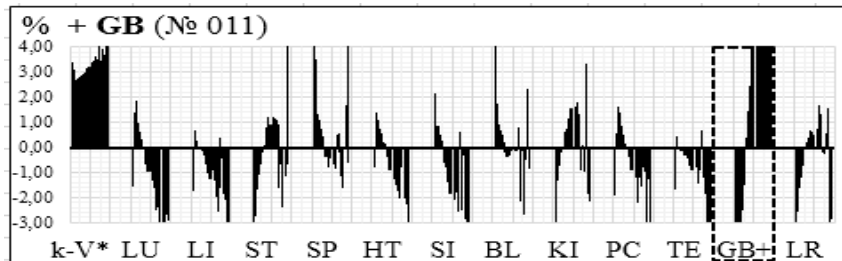


Рис.8.13 Разнонаправленная активность каналов по Большому кругу при возбуждении (+) и угнетении (-) GB

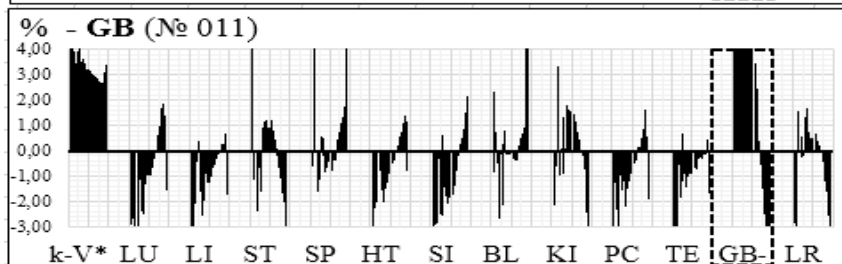


Fig. 8.13  
Diverse channel activity in the Big Circle at excitement (+) and suppression (-) GB

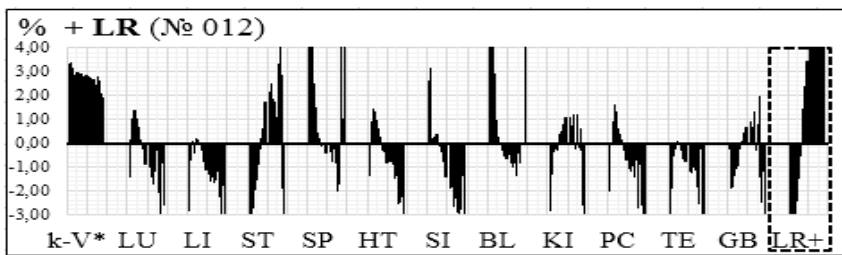


Рис.8.14 Разнонаправленная активность каналов по Большому кругу при возбуждении (+) и угнетении (-) LR

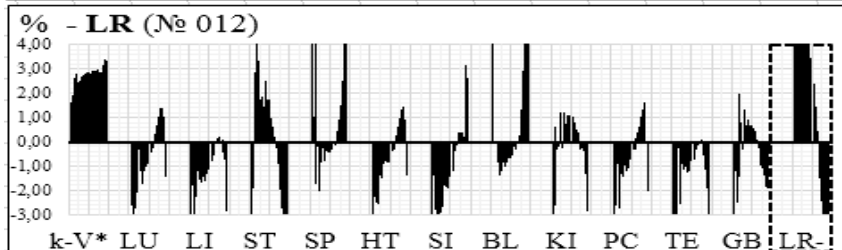


Fig. 8.14  
Diverse channel activity in the Big Circle at excitement (+) and suppression (-) LR

**Выводы.**

1. Реальность "Большого круга" биологически поддержана системной топографией "функциональных комплексов" (ФК) и отражает их вегетативную направленность.

**Conclusions**

1. Reality of the "Great Circle" is biophysically supported by the system topography of "Functional Complexes" (FC) and reflects their vegetative orientation.

<b>МАТРИЧНАЯ РЕАЛЬНОСТЬ ТРАДИЦИОННОГО ПОЛОЖЕНИЯ "МАТЬ-СЫН"</b>	<b>MATRICAL REALITY OF TRADITIONAL PROVISIONS "MOTHER-SON (BIG CIRCLE)"</b>
--	---

<b>Эмпирические основы положения</b>	<b>Empirical basis of the situation</b>
--------------------------------------	---

Согласно положению, возбуждение любой системы обуславливает угнетение предыдущей и возбуждения следующей по "Большому кругу":

- LU+LI ST+    -LI+**ST** SP+    -ST+**SP** HT+
- SP+**HT** SI+    -HT+**SI** BL+    -SI+**BL** KI+
- BL+**KI** PC+    -KI+**PC** TE+    -PC+**TE** GB+

According to the situation, the excitement of any system causes the inhibition of the previous and the excitement of the next on the "Great Circle":

- LU+LI ST+    -LI+**ST** SP+    -ST+**SP** HT+
- SP+**HT** SI+    -HT+**SI** BL+    -SI+**BL** KI+
- BL+**KI** PC+    -KI+**PC** TE+    -PC+**TE** GB+



-TE [+GB] LR+ -GB [+LR] LU+ -LR [+LU] LI+

Указанная системная зависимость биофизически не поддерживана (рис. 8.15-26).

-TE [+GB] LR+ -GB [+LR] LU+ -LR [+LU] LI+

The indicated system dependence is not biophysically supported (fig.8.15-26).

**Биофизическая реальность правила**

**Biophysical reality of the situation**

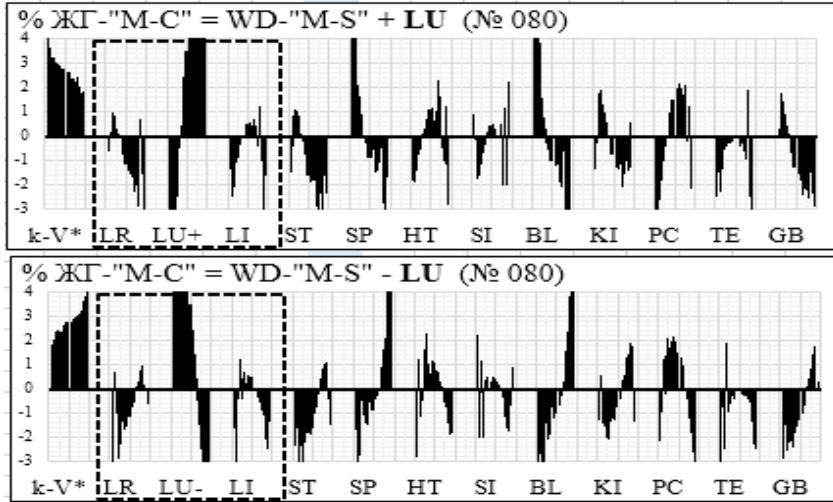


Рис.(Fig.) 8.15

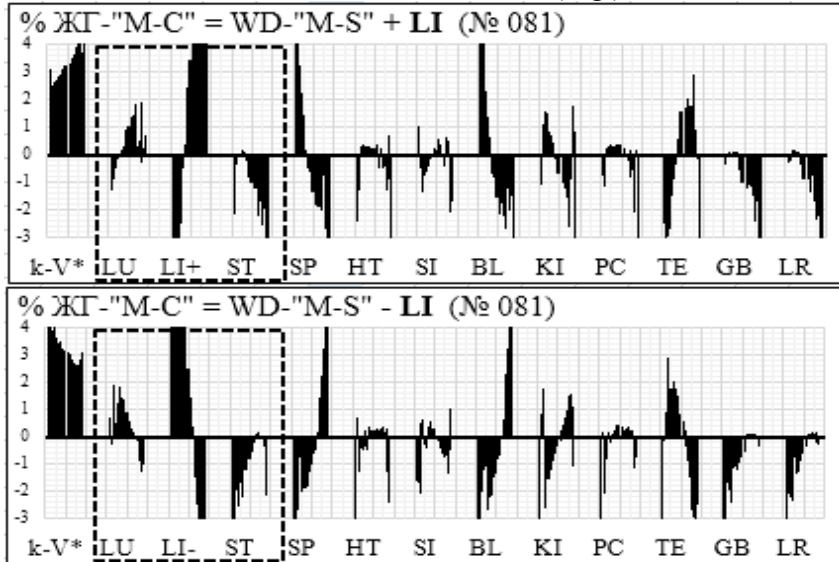
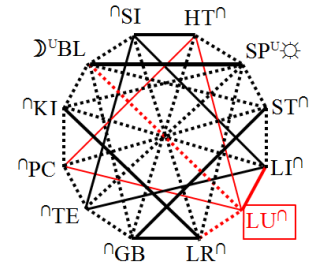


Рис.(Fig.) 8.16

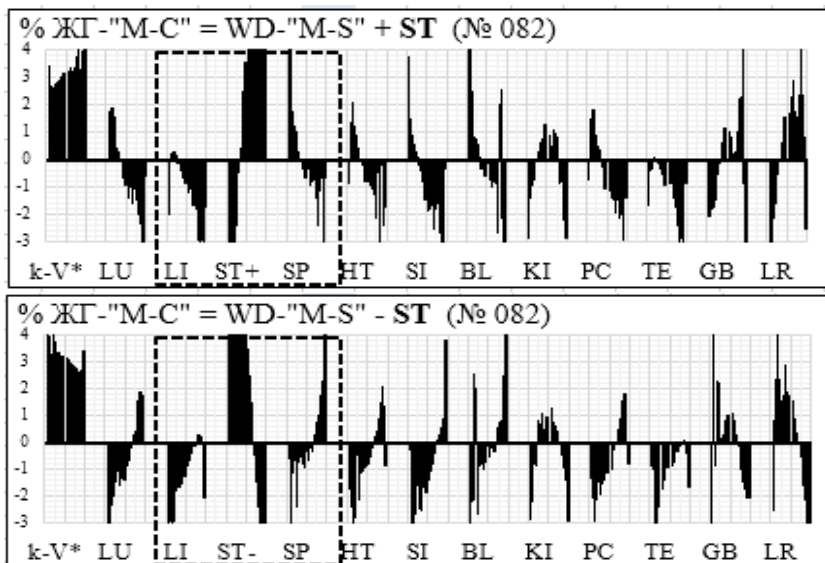
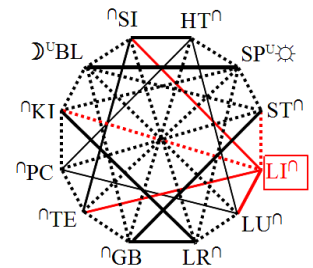
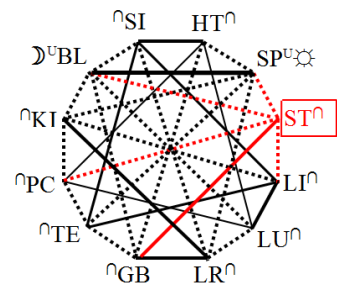


Рис.(Fig.) 8.17



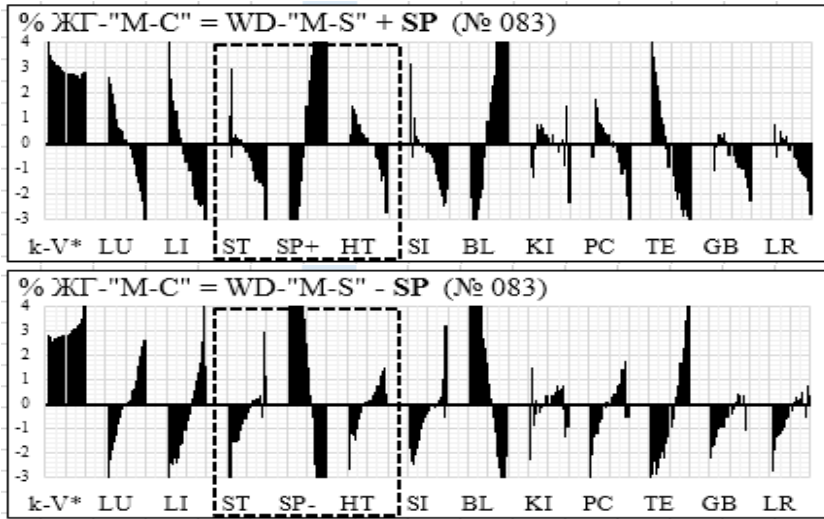


Рис.(Fig.) 8.18

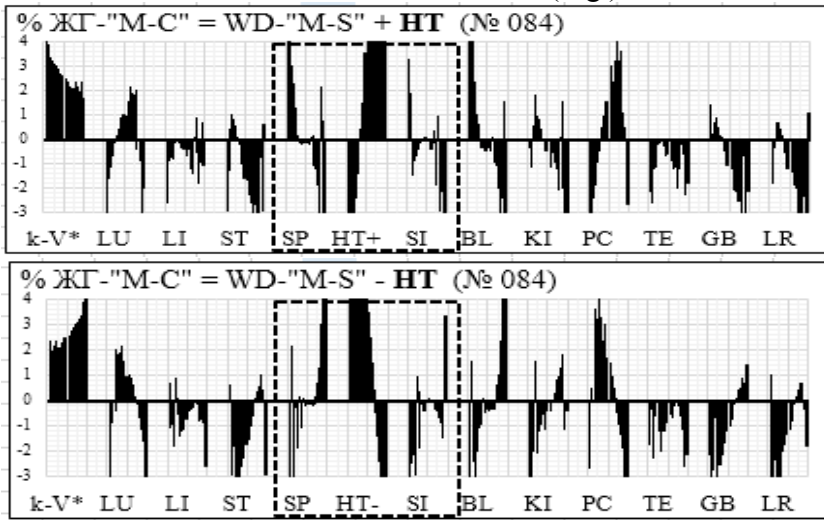
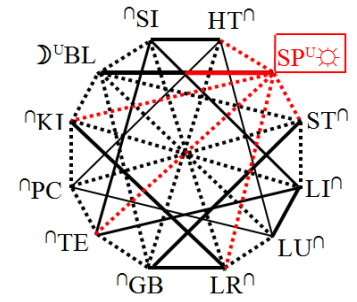


Рис.(Fig.) 8.19

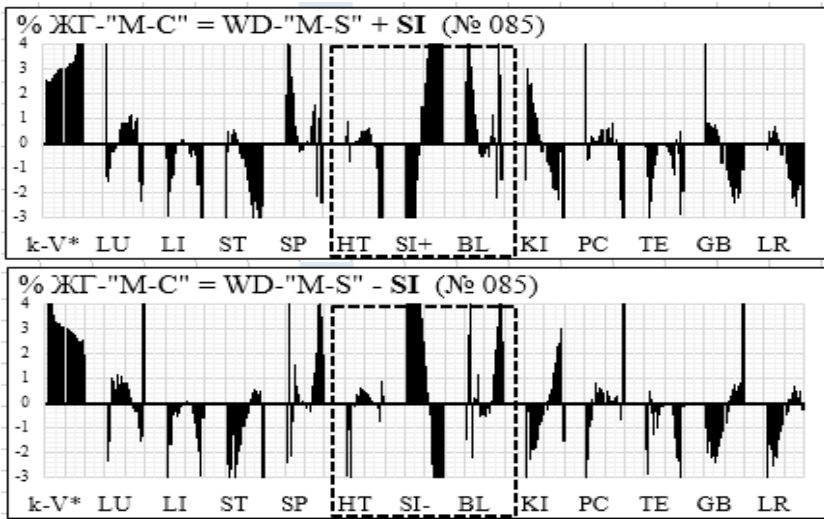
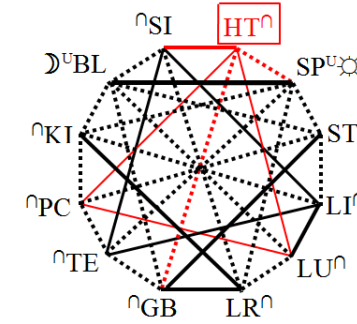
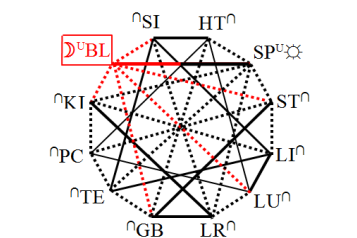
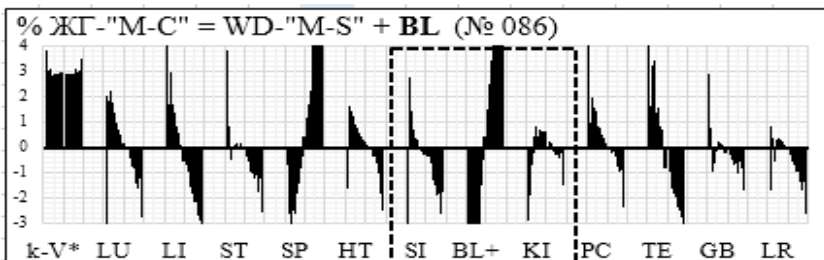
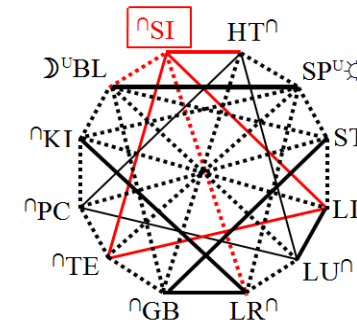


Рис.(Fig.) 8.20



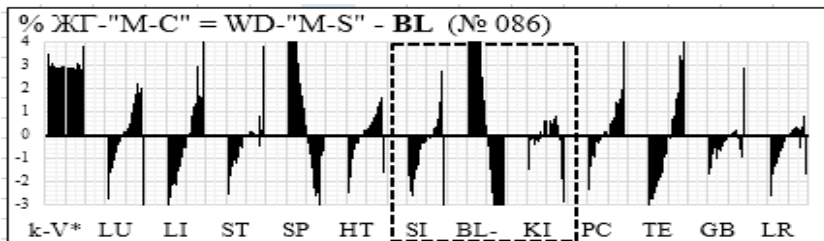


Рис.(Fig.) 8.21

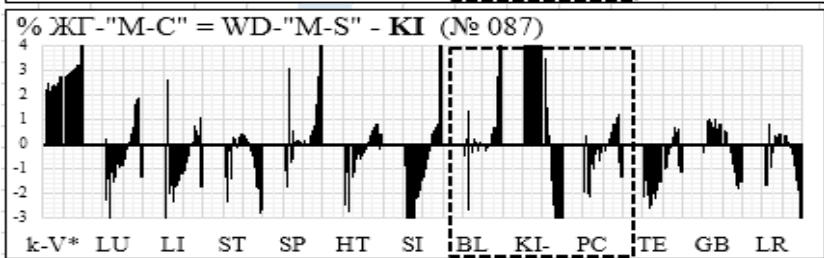
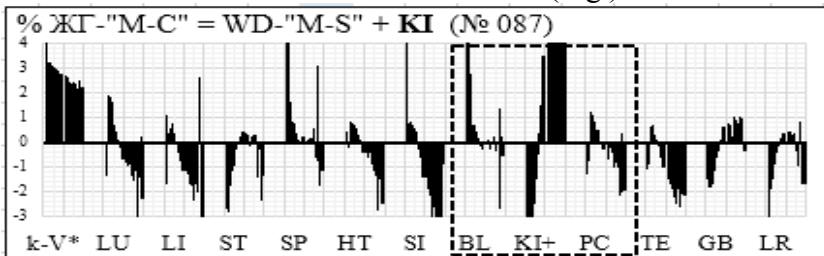


Рис.(Fig.) 8.22

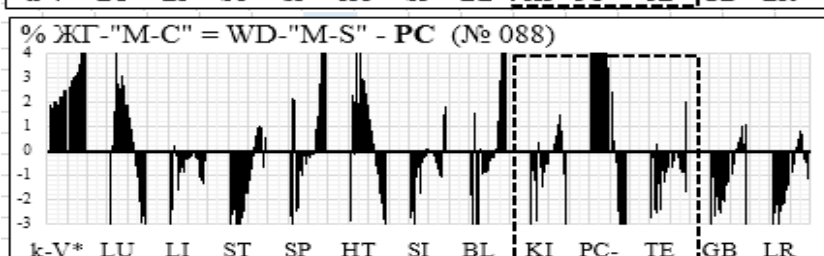
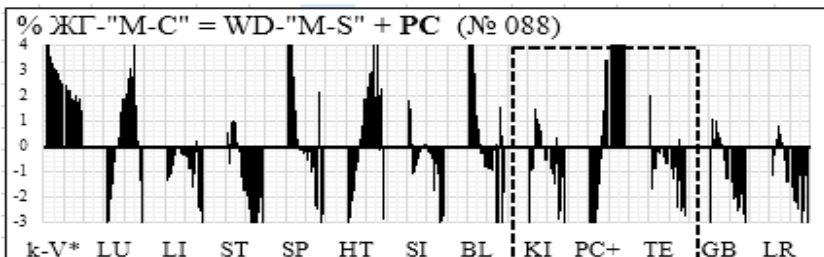


Рис.(Fig.) 8.23

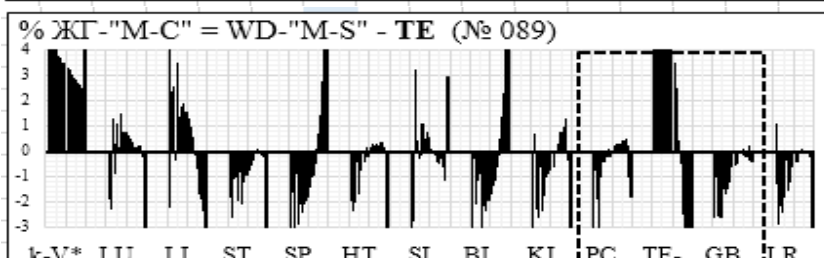
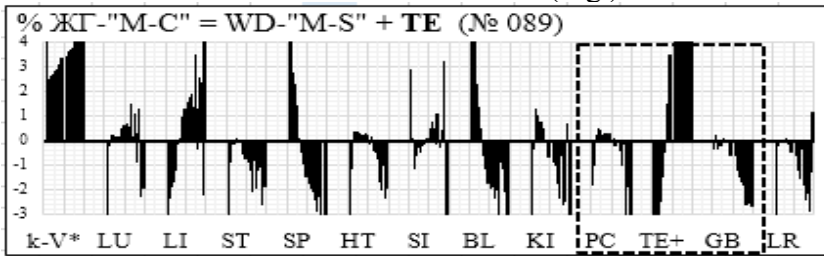
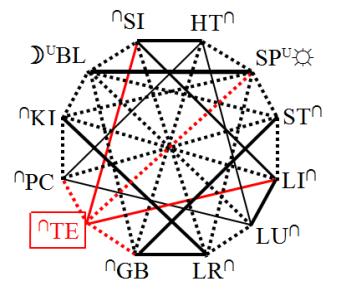
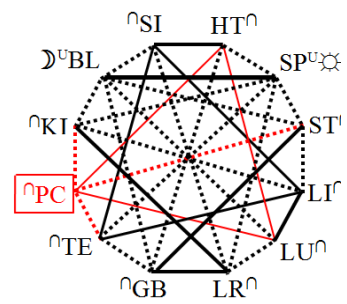
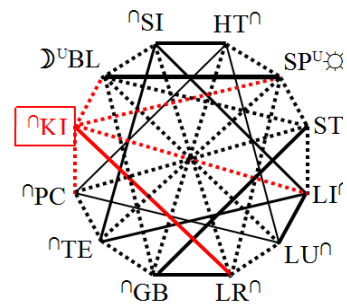


Рис.(Fig.) 8.24



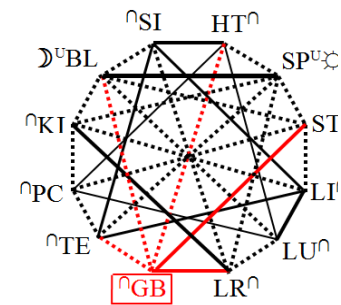
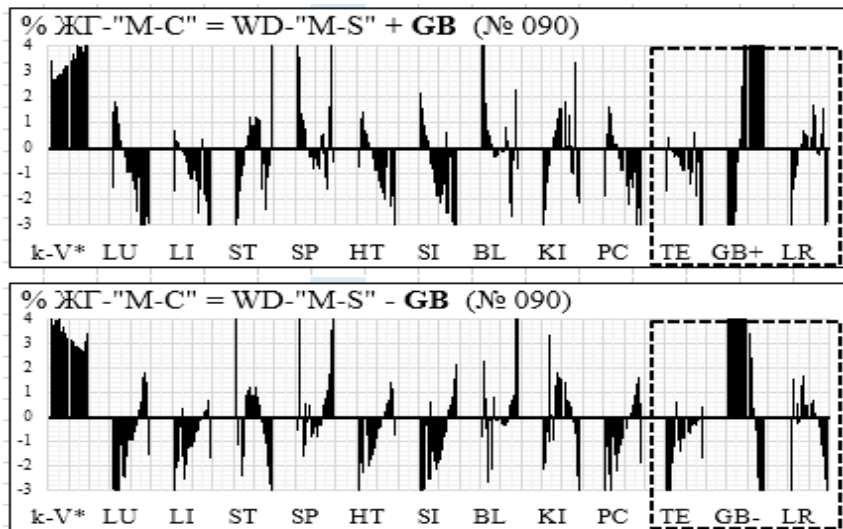


Рис.(Fig.) 8.25

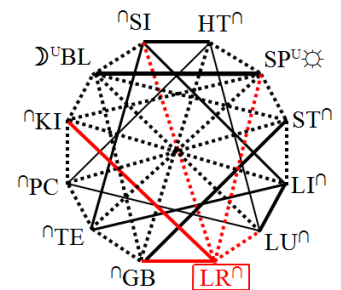
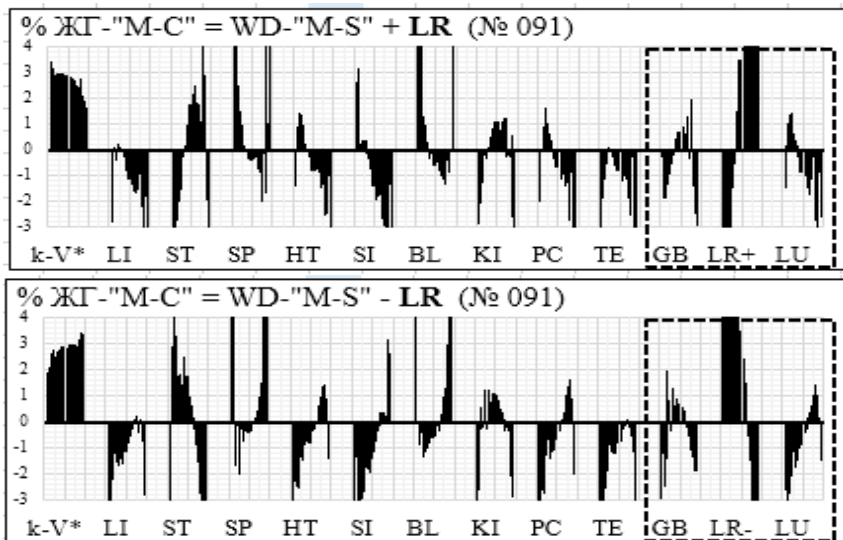


Рис.(Fig.) 8.29

**Выводы**

1. Матричный анализ эмпирической системной зависимости по правилу "Мать-Сын" негативный (*гипотетическое правило не имеет биофизической поддержки*).

2. "Вегетативная Матрица" указывает на биофизически реальную системную зависимость "эмпирического правила". Она выступает теоретической основой традиционной Чжень-Цзю терапии и современной "функциональной вегетологии".

**Conclusions**

1. A matrix analysis of the empirical systemic dependence on the rule of "Mother-Son" is negative (*the hypothetical rule does not have biophysical support*).

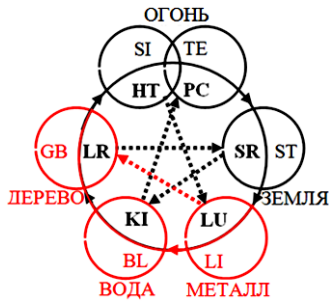
2. "Vegetative Matrix" indicates the biophysically real system dependence of the "empirical rule". It acts as the theoretical basis for traditional Zhen-Tszyu therapy and the modern "Functional Vegetology".

<b>МАТРИЧНАЯ РЕАЛЬНОСТЬ ТРАДИЦИОННОГО ПОЛОЖЕНИЯ "ДЕД-ВНУК"</b>	<b>MATRICAL REALITY OF TRADITIONAL PROVISIONS "GRANDFATHER-GRANDSON"</b>
--	--

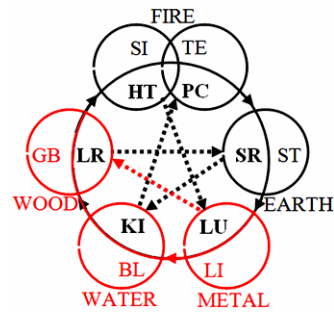
<i>Эмпирические основы положения</i>	<i>Empirical basis of the situation</i>
--------------------------------------	---

Традиционное положение "Дед-Внук" (Отец-Сын) предполагает наличие связей активации и угнетения в системных триадам "цикла ЗВЕЗДА" (например, рис.8.27).

The traditional "Grandfather-Grandson" provision assumes the presence of activation and depression ties in the system triads of the ZIRC cycle (for example, fig. 8.27).



Триада "LI(Дед) – BL(Сын) – GB(Внук)"  
(синхронное  $\rightarrow$  асинхронное  $\dashrightarrow$  влияние)



Triad "LI(Grandfather) – BL(Son) - GB (Grandson)" ( $\rightarrow$  synchronous effect;  $\dashrightarrow$  asynchronous effect)

Мал.(Fig.) 8.27

Согласно положению, возбуждение Главной системы триады "Деда" обуславливает синхронное возбуждение следующей по Большому кругу "Сына" и асинхронное угнетение "Внука":

$\boxed{+BL}$	$+GB - SI$	$\boxed{+GB}$	$+SI - ST$	$\boxed{+ST}$	$+LI - BL$
$\boxed{+SP}$	$+LU - KI$	$\boxed{+LR}$	$+HT - SP$	$\boxed{+KI}$	$+LR - PC$
$\boxed{+SI}$	$+ST - LI$	$\boxed{+TE}$	$+ST - LI$	$\boxed{+LI}$	$+BL - GB$
$\boxed{+LU}$	$+KI - LR$	$\boxed{+PC}$	$+SP - LU$	$\boxed{+HT}$	$+SP - LU$

Указанная системная зависимость не имеет биофизической поддержки.

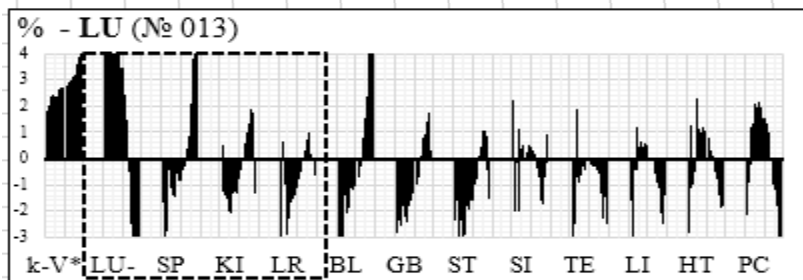
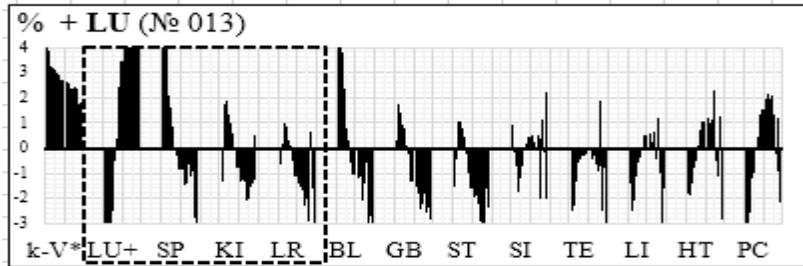
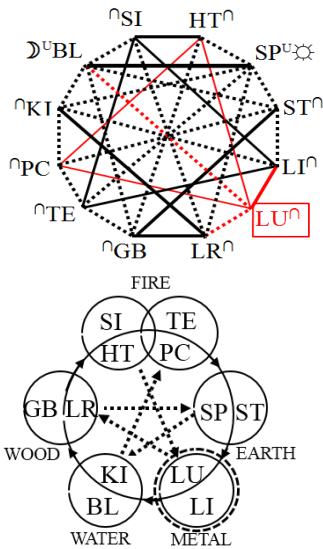
According to the situation, the excitation of the Main Triad System "Grandfather" causes the synchronous excitation of the next on the Great Circle "Son" and the asynchronous oppression of "Grandson":

$\boxed{+BL}$	$+GB - SI$	$\boxed{+GB}$	$+SI - ST$	$\boxed{+ST}$	$+LI - BL$
$\boxed{+SP}$	$+LU - KI$	$\boxed{+LR}$	$+HT - SP$	$\boxed{+KI}$	$+LR - HT$
$\boxed{+SI}$	$+ST - LI$	$\boxed{+TE}$	$+ST - LI$	$\boxed{+LI}$	$+BL - GB$
$\boxed{+LU}$	$+KI - LR$	$\boxed{+PC}$	$+SP - LU$	$\boxed{+HT}$	$+SP - LU$

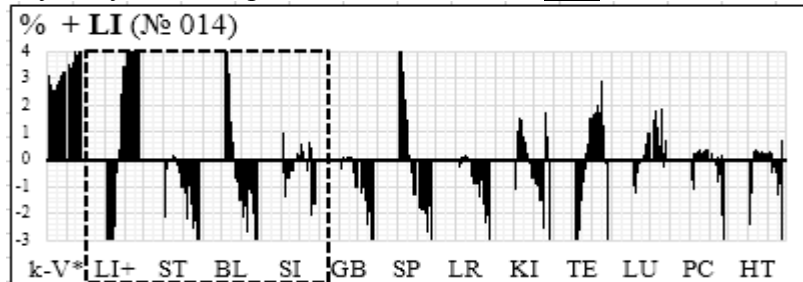
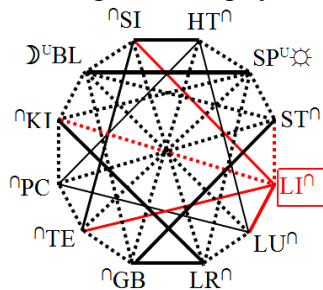
The indicated system dependence is not biophysically supported.

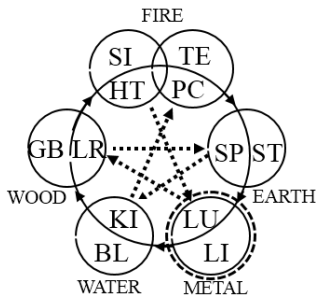
**Биофизическая реальность правила**  
(рис.8.28-39)

**Biophysical reality of the situation**  
(fig.8.28-39)

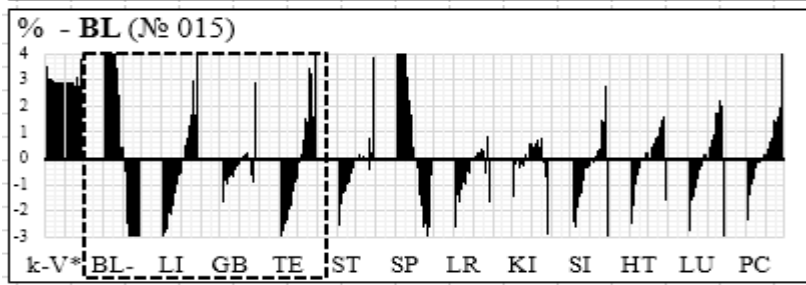
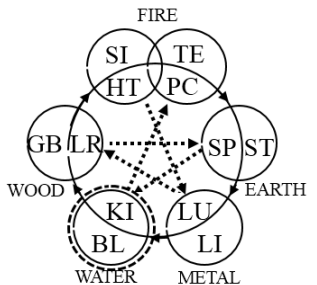
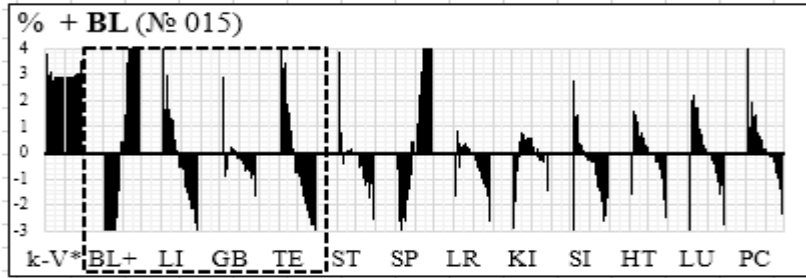
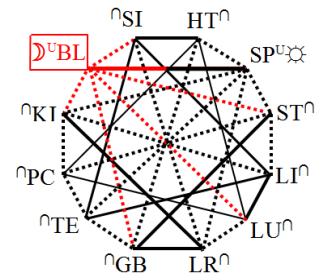


Мал.8.28 Биофизическая реальность системной зависимости в триаде " $\boxed{\pm LU}$   $\mp KI$   $\mp LR$ "  
Fig.8.28 Biophysical reality of systemic dependence in the triad " $\boxed{\pm LU}$   $\mp KI$   $\mp LR$ ".

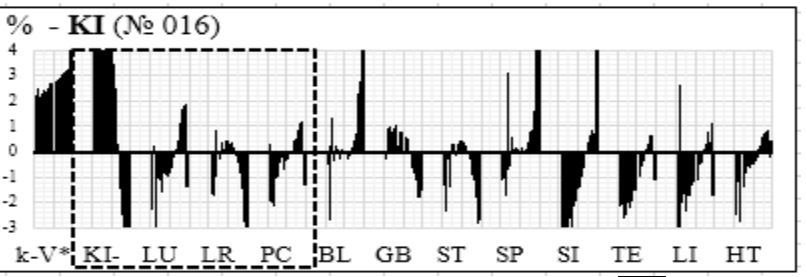
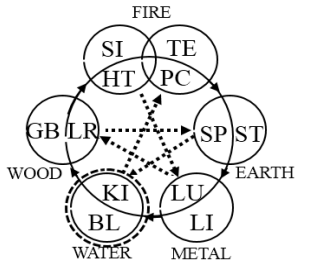
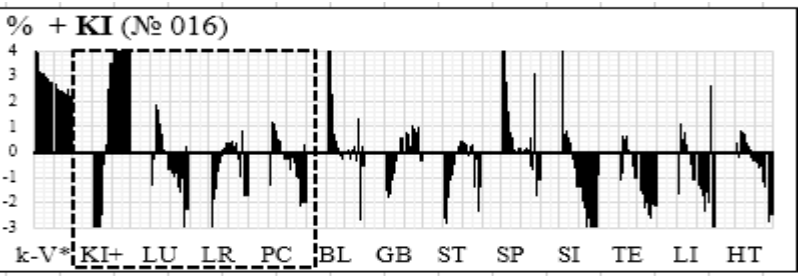
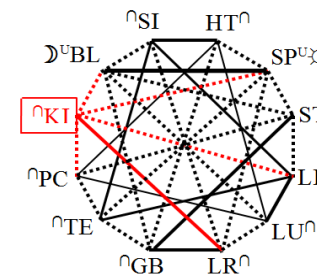




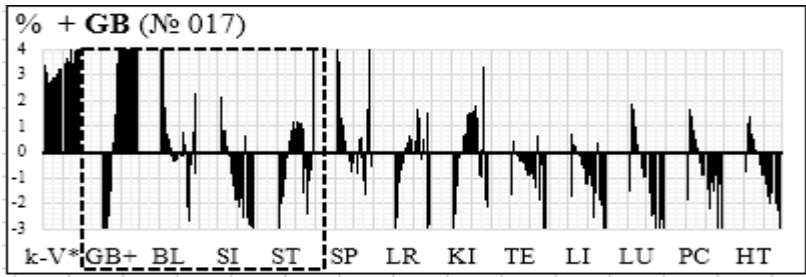
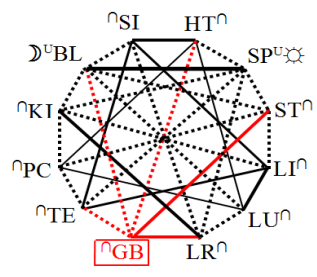
Мал.8.29 Биофизическая реальность системной зависимости в триаде " $\pm LI$   $\mp BL$   $\cap \mp GB$ "  
 Fig.8.29 Biophysical reality of systemic dependence in the triad " $\pm LI$   $\mp BL$   $\cap \mp GB$ ".

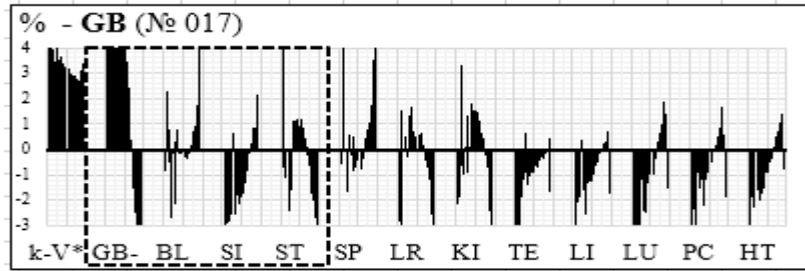
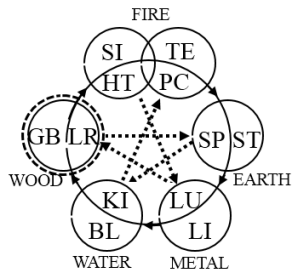


Мал.8.30 Биофизическая реальность системной зависимости в триаде " $\pm BL$   $\mp GB$   $\mp SI$ "  
 Fig.8.30 Biophysical reality of systemic dependence in the triad " $\pm BL$   $\mp GB$   $\mp SI$ ".

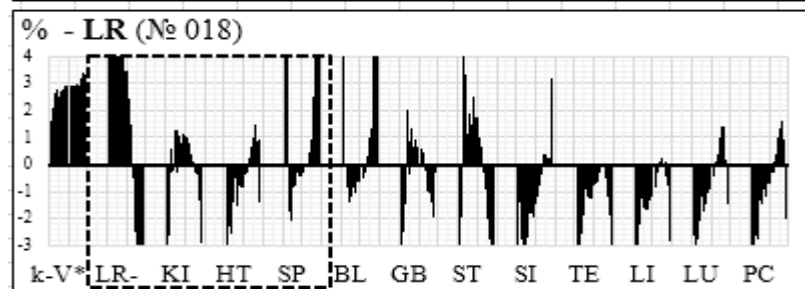
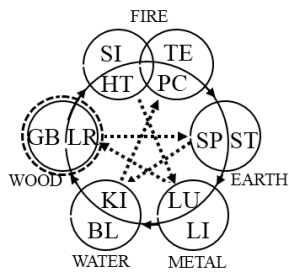
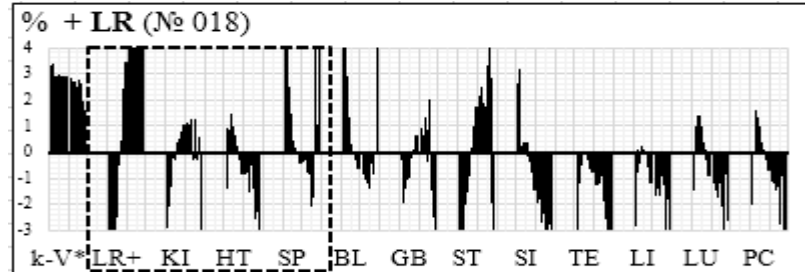
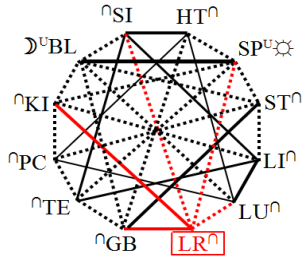


Мал.8.31 Биофизическая реальность системной зависимости в триаде " $\pm KI$   $\pm LR$   $\mp PC$ "  
 Fig.8.31 Biophysical reality of systemic dependence in the triad " $\pm KI$   $\pm LR$   $\mp PC$ ".

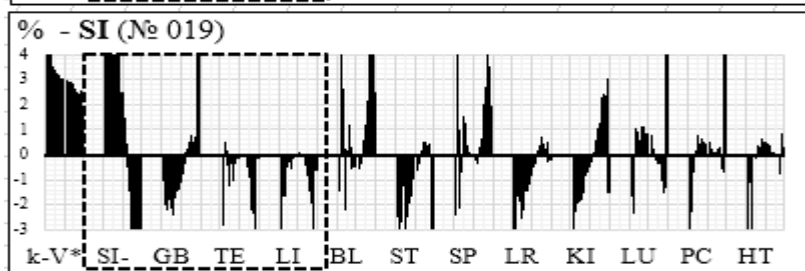
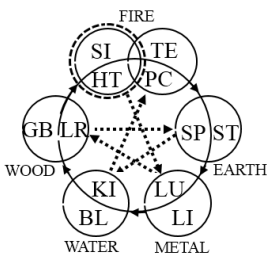
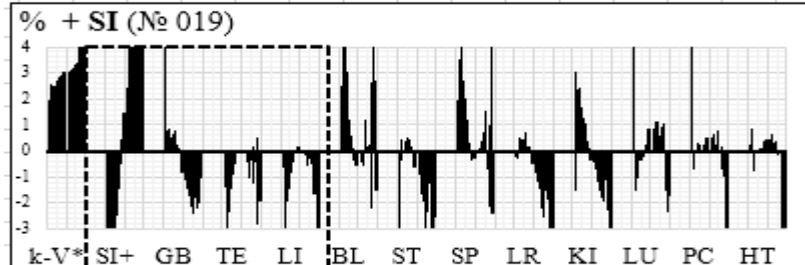
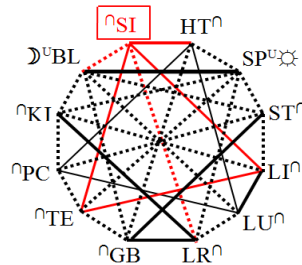




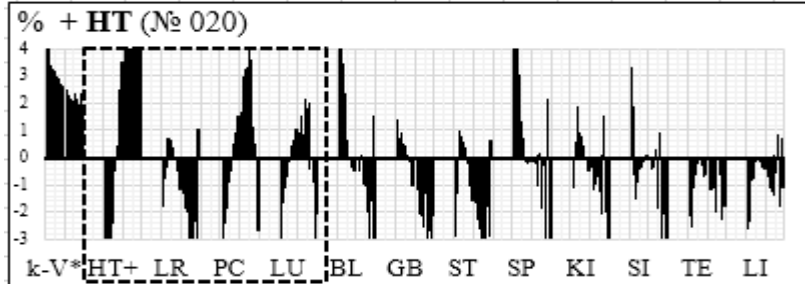
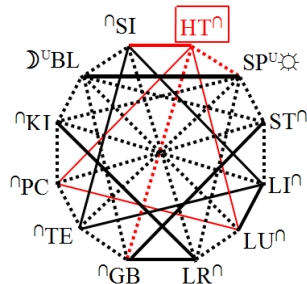
Мал.8.32 Биофизическая реальность системной зависимости в триаде " $\pm$ GB  $\mp$ SI  $\pm$ ST"  
 Fig.8.32 Biophysical reality of systemic dependence in the triad " $\pm$ GB  $\mp$ SI  $\pm$ ST".

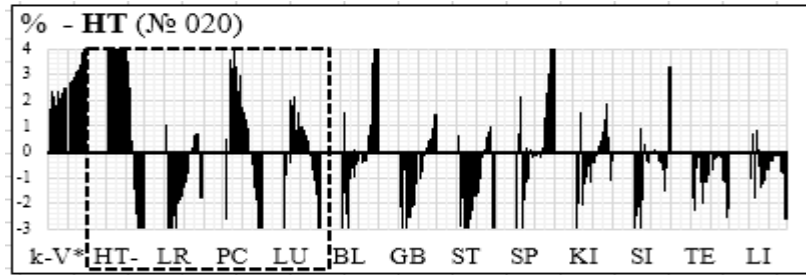
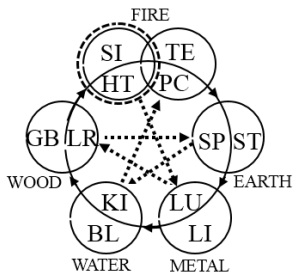


Мал.8.33 Биофизическая реальность системной зависимости в триаде " $\pm$ LR  $\mp$ HT  $\mp$ SP"  
 Fig.8.33 Biophysical reality of systemic dependence in the triad " $\pm$ LR  $\mp$ HT  $\mp$ SP".

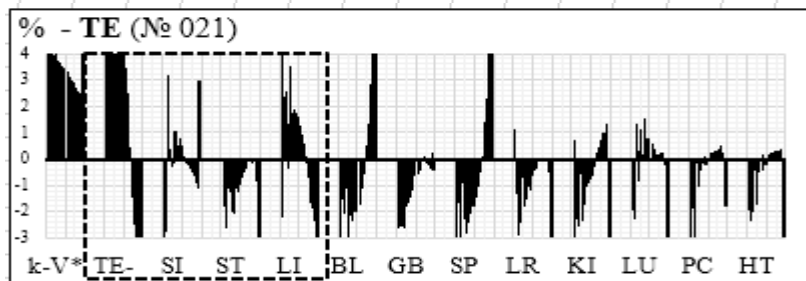
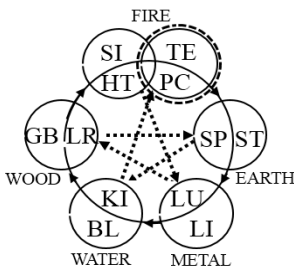
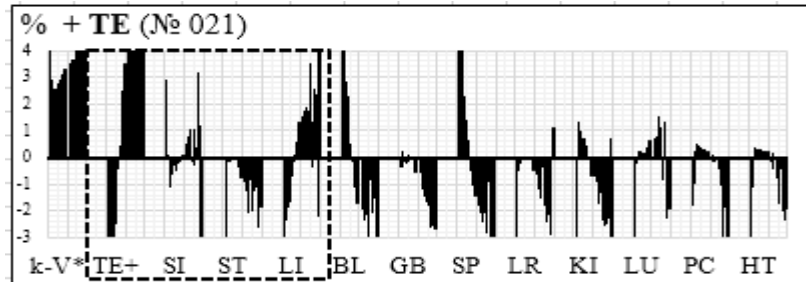
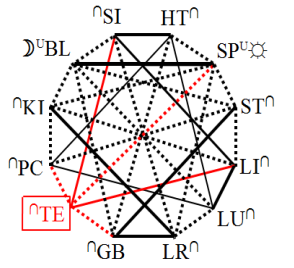


Мал.8.34 Биофизическая реальность системной зависимости в триаде " $\pm$ SI  $\mp$ ST  $\pm$ LI"  
 Fig.8.34 Biophysical reality of systemic dependence in the triad " $\pm$ SI  $\mp$ ST  $\pm$ LI".

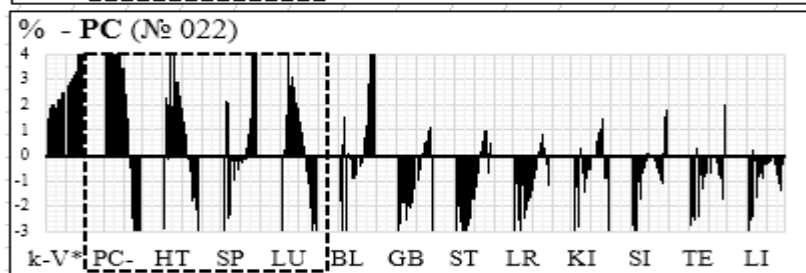
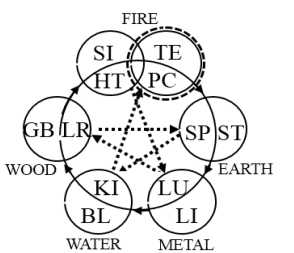
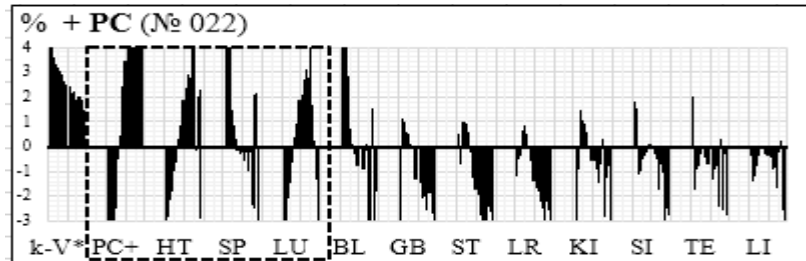
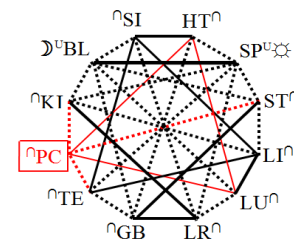




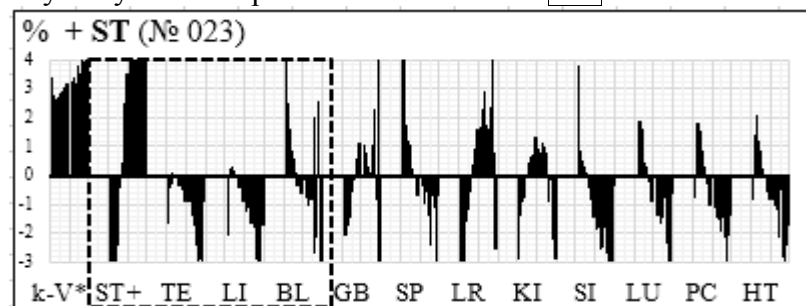
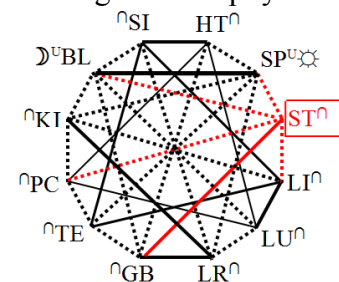
Мал.8.35 Биофизическая реальность системной зависимости в триаде " $\pm HT \pm SP \mp LU$ "  
 Fig.8.35 Biophysical reality of systemic dependence in the triad " $\pm HT \pm SP \mp LU$ ".



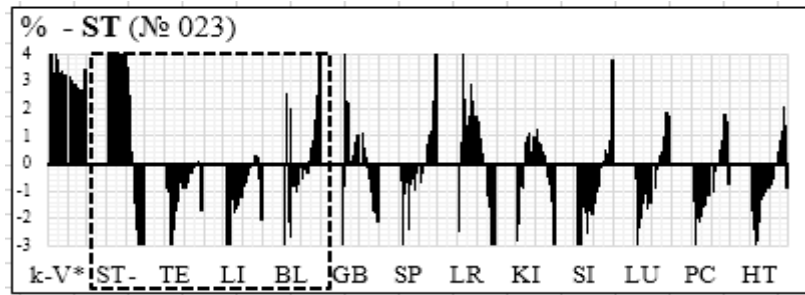
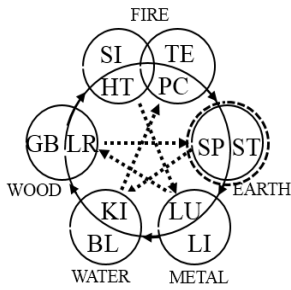
Мал.8.36 Биофизическая реальность системной зависимости в триаде " $\pm TE \cap \mp ST \pm LI$ "  
 Fig.8.36 Biophysical reality of systemic dependence in the triad " $\pm TE \cap \mp ST \pm LI$ ".



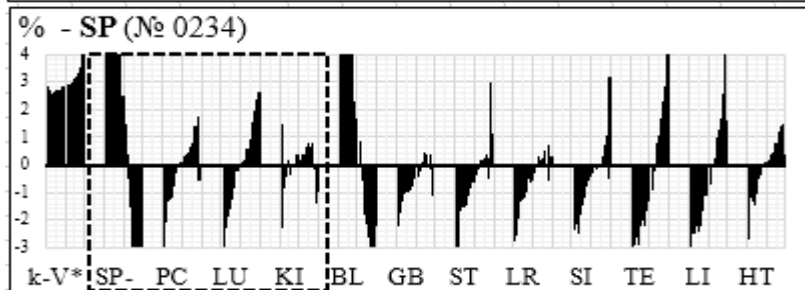
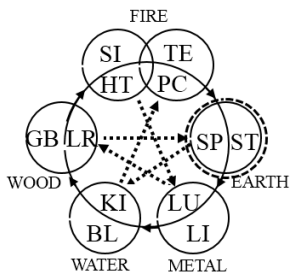
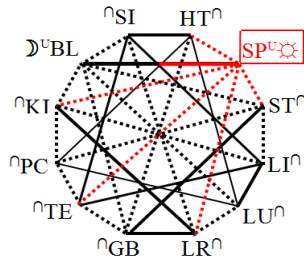
Мал.8.37 Биофизическая реальность системной зависимости в триаде " $\pm PC \mp SP \pm LU$ "  
 Fig.8.37 Biophysical reality of systemic dependence in the triad " $\pm PC \mp SP \pm LU$ ".







Мал.8.38 Биофизическая реальность системной зависимости в триаде " $\pm$ ST  $\mp$ LI  $\pm$ BL"  
 Fig.8.38 Biophysical reality of systemic dependence in the triad " $\pm$ ST  $\mp$ LI  $\pm$ BL".



Мал.8.39 Биофизическая реальность системной зависимости в триаде " $\pm$ SP  $\mp$ LU  $\mp$ KI"  
 Fig.8.39 Biophysical reality of systemic dependence in the triad " $\pm$ SP  $\mp$ LU  $\mp$ KI".

### Выводы

1. Матричный анализ эмпирической системной зависимости по правилу "Дед-Внук" негативный (*гипотетическое правило не имеет биофизической поддержки*).

2. "Вегетативная Матрица" указывает на биофизически реальную системную зависимость "эмпирического правила". Она выступает теоретической основой традиционной Чжень-Цю терапии и современной "функциональной вегетологии".

### Conclusions

1. A matrix analysis of the empirical systemic dependence on the rule of "Grandfather -Grandson" is negative (*the hypothetical rule does not have biophysical support*).

2. "Vegetative Matrix" indicates the biophysically real system dependence of the "empirical rule". It acts as the theoretical basis for traditional Zhen-Tszyu therapy and the modern "Functional Vegetology".

МАТРИЧНАЯ РЕАЛЬНОСТЬ ТРАДИЦИОННОГО ПОЛОЖЕНИЯ "ПОЛДЕНЬ-ПОЛНОЧЬ"	MATRICAL REALITY OF TRADITIONAL THE SITUATION "MIDDAY-MIDNIGHT"
<i>Эмпирические основы положения</i>	<i>Empirical basis of the situation</i>

Традиционное положение утверждает: периоды максимальной и минимальной активности в некоторых парах ИНЬ-ЯН систем асинхронны во времени и через 12-ти часовой интервал проявляют противоположную активность (рис. 8.40). Таких пар шесть (LU-BL, LI-KI, ST-PC, SP-TE, HT-GB и SI-LR). При этом время максимальной

The traditional position declares the following: the periods of maximum and minimum activity in some pairs of YIN - YANG organs asynchronous in time and after a 12-hour interval exhibit the opposite activity (Fig. 8.40). Such pairs are six (LU-BL, LI-KI, ST-PC, SP-TE, HT-GB and SI-LR). At the same time, time of maximal activity of one of channels of

активности одного канала будет вре-  
 мям минимальной активности другого.

functional pair will simultaneously be the  
 time of minimal activity of its opposition.

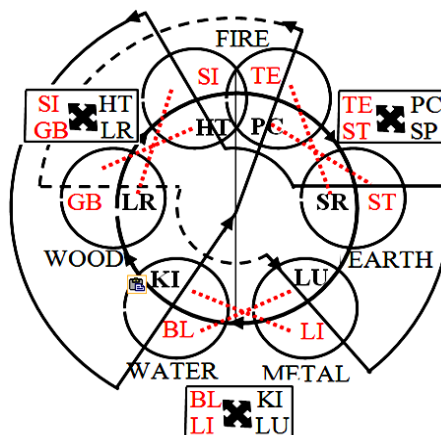
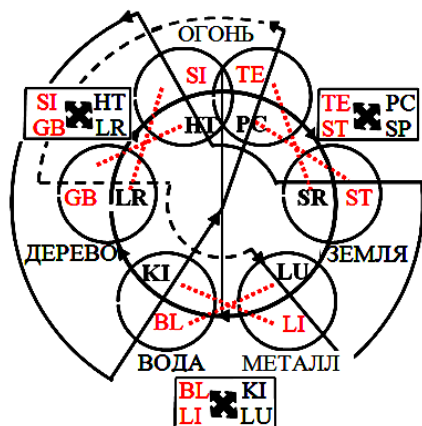


Рис.(Fig.) 8.40

Эмпирически указана системная за-  
 висимость биофизических не поддер-  
 жана. По всем группам наблюдения сис-  
 темные асинхронные реакции возни-  
 кают одновременно, на что указывает  
 "Матричный анализ" (рис.8.41-52).

The empirically indicated system de-  
 pendence is not biophysically sup-  
 ported. In all observation groups, sys-  
 temic asynchronous reactions arise si-  
 multaneously, as evidenced by their "matrix  
 analysis" (fig. 8.41-52)

<b>Биофизическая реальность правила</b>	<b>Biophysical reality of the situation</b>
---	---

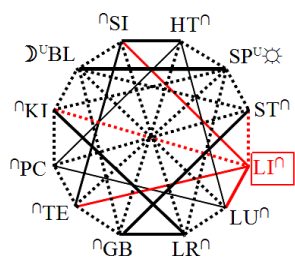


Рис.8.41 Матрица.  
 Асинхронная зависи-  
 мость комплекса "±  
 LI...KI"  
 Fig.8.41 Matrix. Asyn-  
 chronous dependence of  
 the complex "± LI ... KI"

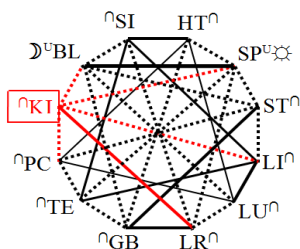
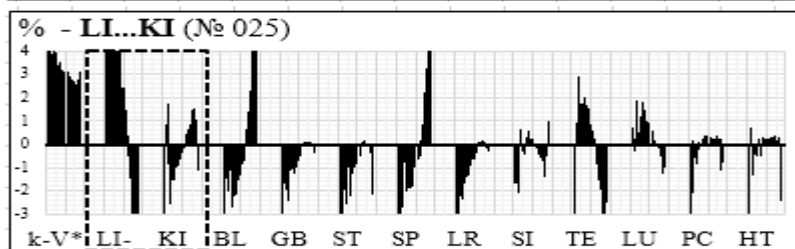
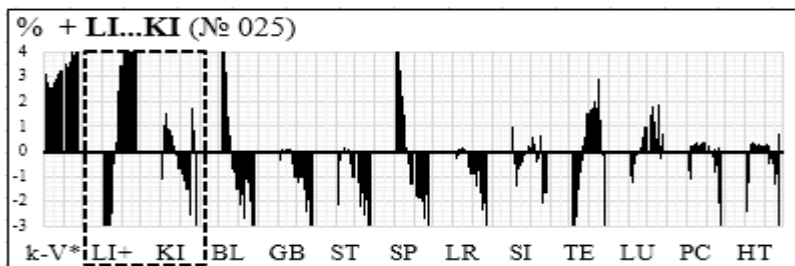
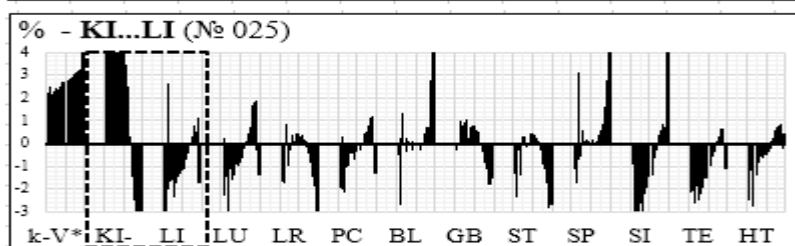
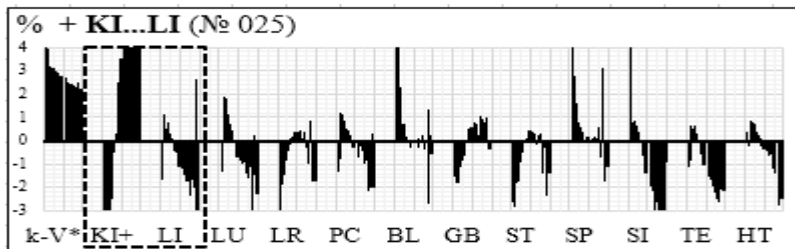


Рис.8.42 Матрица.  
 Асинхронная зависи-  
 мость комплекса  
 "± KI...LI"  
 Fig.8.42 Matrix. Asyn-  
 chronous dependence of  
 the complex "± KI... LI"



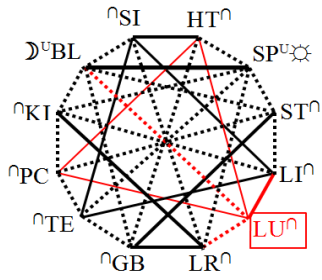


Рис.8.43 Матрица. Асинхронная зависимость комплекса "+UL...BL"

Fig.8.43 Matrix. Asynchronous dependence of the complex "+UL ... BL"

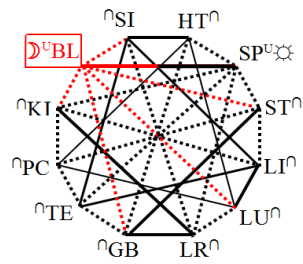
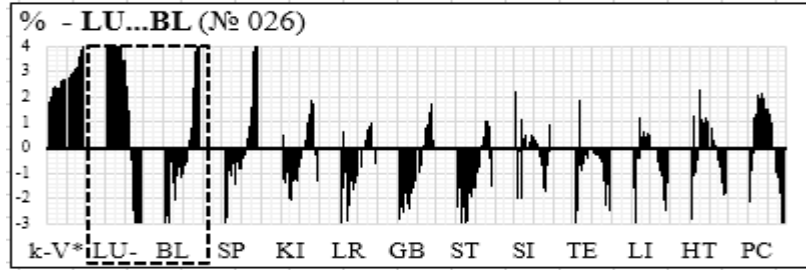
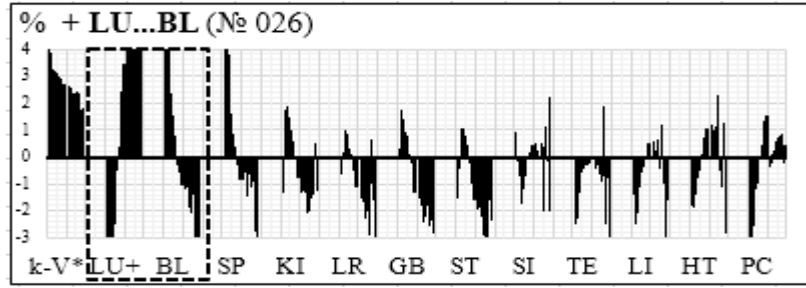


Рис.8.44 Матрица. Асинхронная зависимость комплекса "+BL...LU"

Fig.8.44 Matrix. Asynchronous dependence of the complex "+BL... LU"

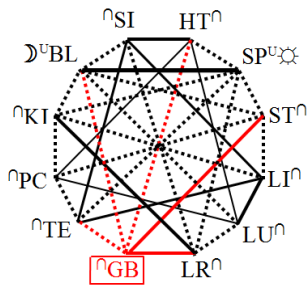
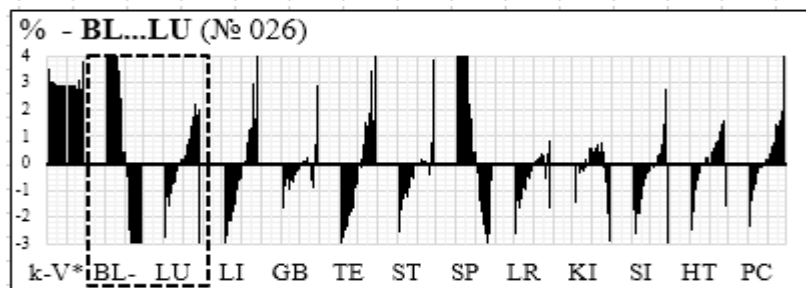
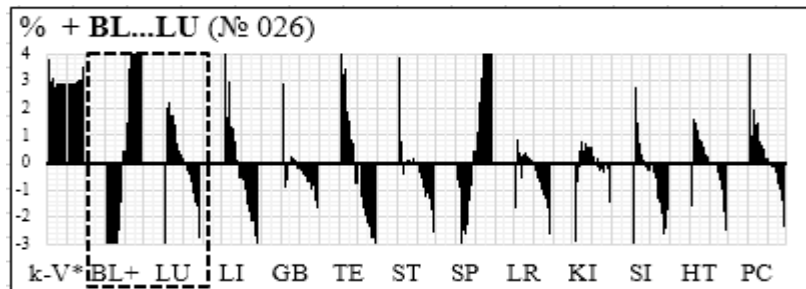
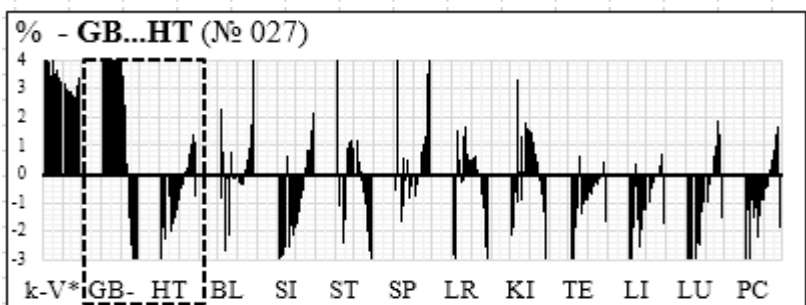
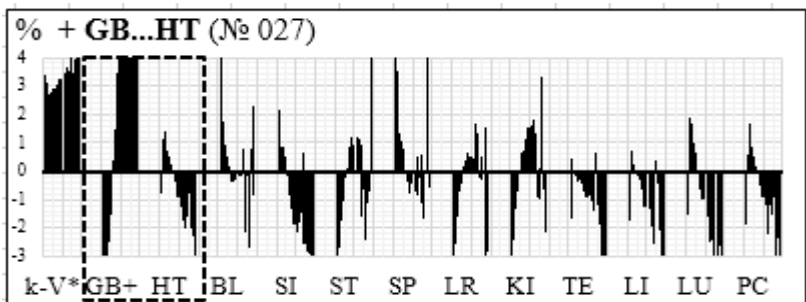


Рис.8.45 Матрица. Асинхронная зависимость комплекса "+GB...HT"

Fig.8.45 Matrix. Asynchronous dependence of the complex "+GB...TH"



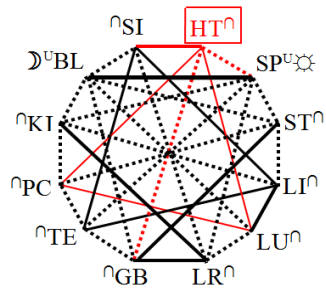


Рис.8.46 Матрица. Асинхронная зависимость комплекса "± HT...GB"

Fig.8.46 Matrix. Asynchronous dependence of the complex "±HT...GB"

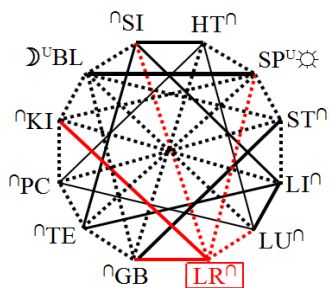
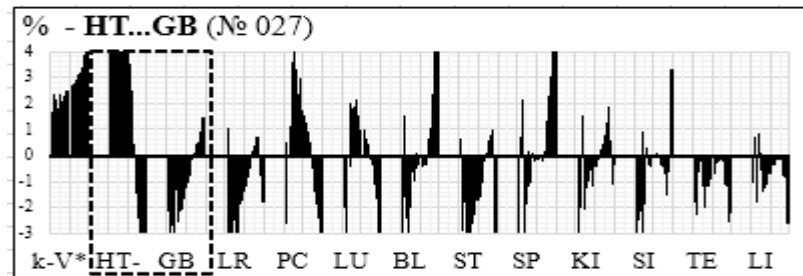
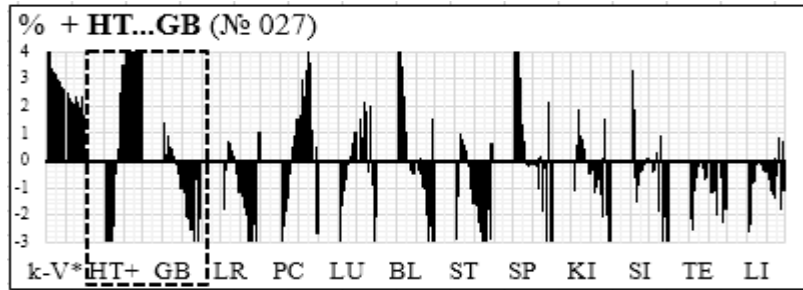


Рис.8.47 Матрица. Асинхронная зависимость комплекса "± LR...SI"

Fig.8.47 Matrix. Asynchronous dependence of the complex "± LR ... SI"

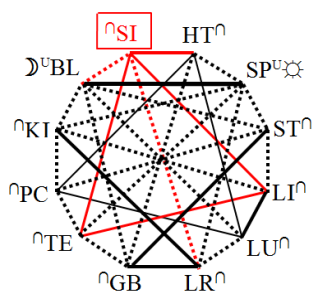
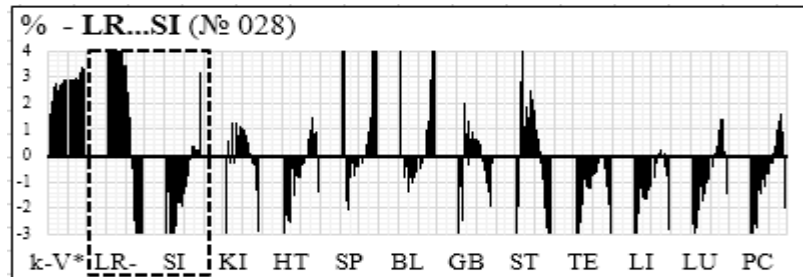
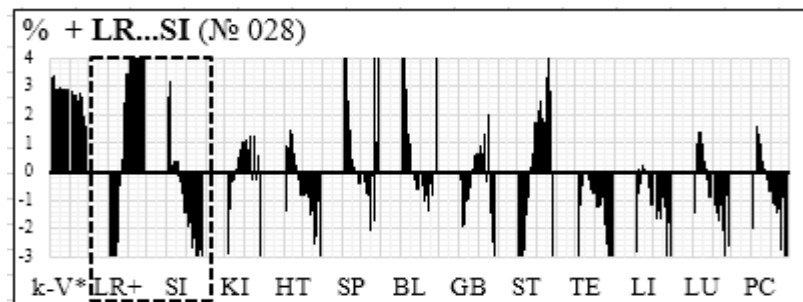
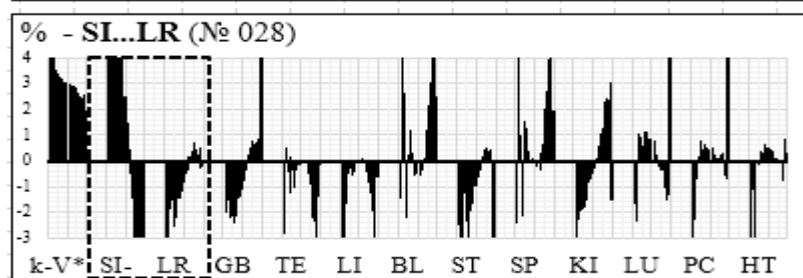
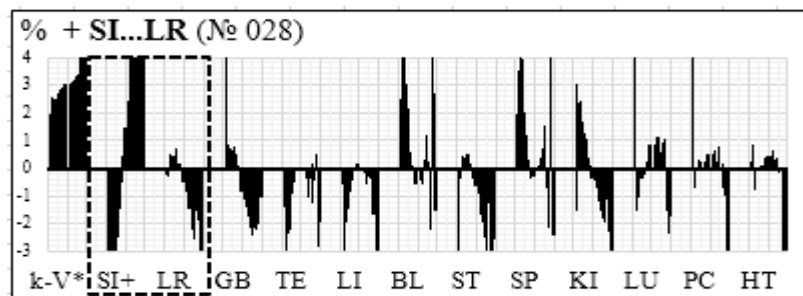


Рис.8.48 Матрица. Асинхронная зависимость комплекса "± SI...LR"

Fig.8.48 Matrix. Asynchronous dependence of the complex "± SI ... LR"



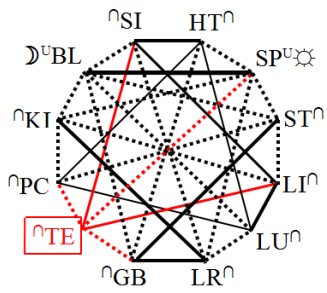


Рис.8.49 Матрица. Асинхронная зависимость комплекса "± TE...SP"

Fig.8.49 Matrix. Asynchronous dependence of the complex "± TE ... SP"

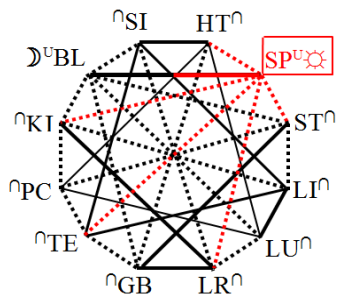
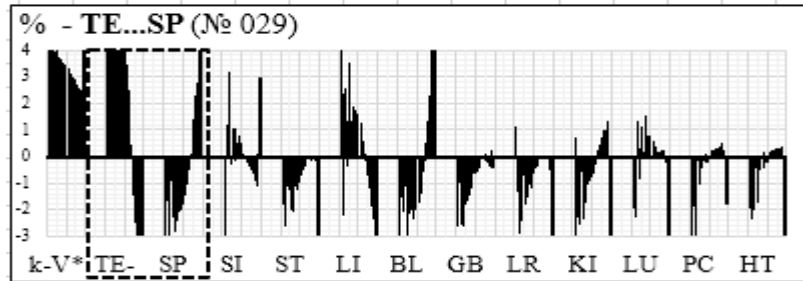
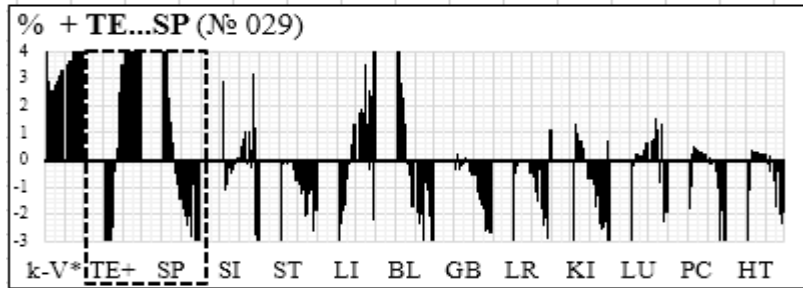


Рис.8.50 Матрица. Асинхронная зависимость комплекса "± SP...TE"

Fig.8.50 Matrix. Asynchronous dependence of the complex "± SP... TE"

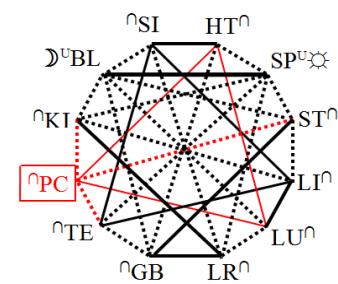
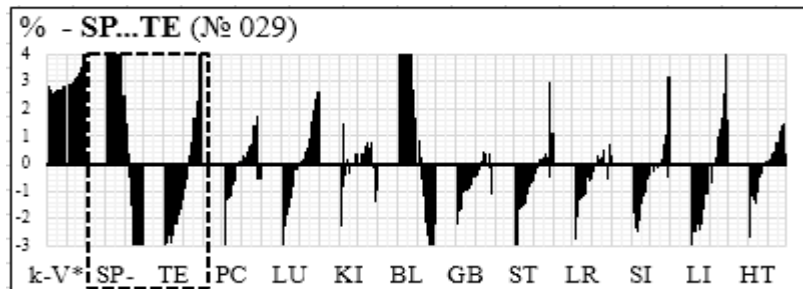
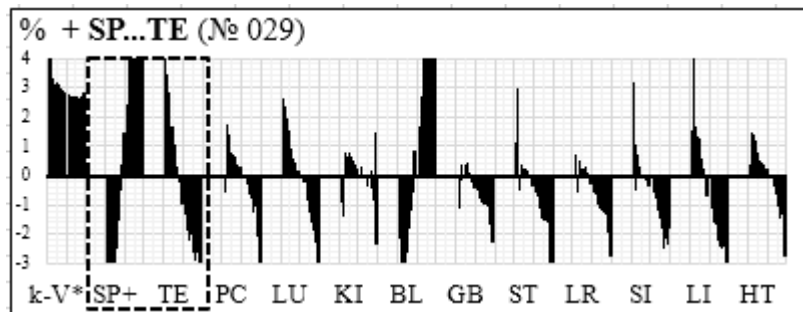
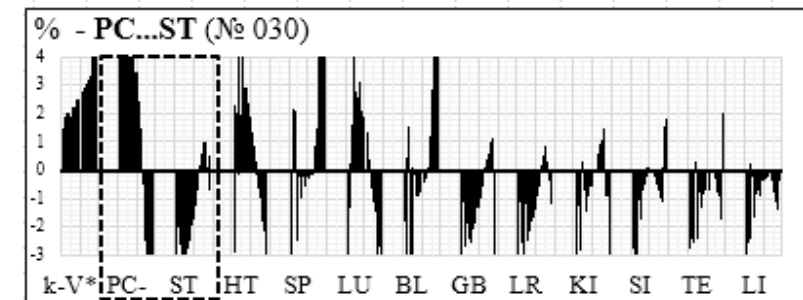
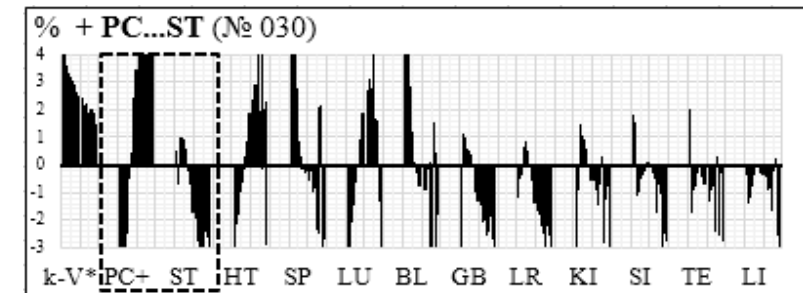


Рис.8.51 Матрица. Асинхронная зависимость комплекса "± PC...ST"

Fig.8.51 Matrix. Asynchronous dependence of the complex "± PC... ST"



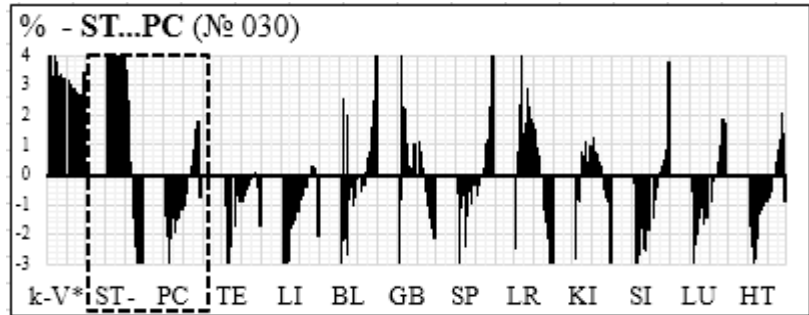
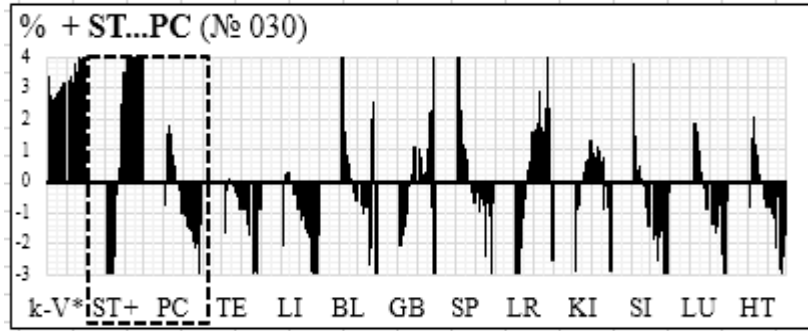
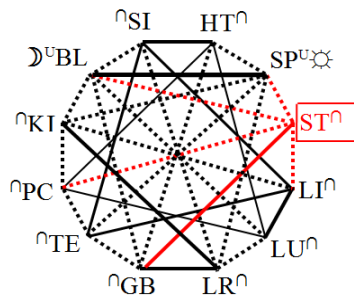


Рис.8.52 Матрица. Асинхронная зависимость комплекса "± ST...PC"

Fig.8.52 Matrix. Asynchronous dependence of the complex "± ST... PC"

### Выводы

1. Матричный анализ эмпирической системной зависимости по правилу "Полдень-Полночь" негативный (гипотетическое правило не имеет биофизической поддержки).

2. "Вегетативная Матрица" указывает на биофизически реальную системную зависимость "эмпирического правила". Она выступает теоретической основой традиционной Чжень-цзю терапии и современной "функциональной вегетологии".

### Conclusions

1. A matrix analysis of the empirical systemic dependence on the rule of "Mid-day-Midnight" is negative (*the hypothetical rule does not have biophysical support*).

2. "Vegetative Matrix" indicates the biophysically real system dependence of the "empirical rule". It acts as the theoretical basis for traditional Zhen-Tszyu therapy and the modern "Functional Vegetology".

### МАТРИЧНАЯ РЕАЛЬНОСТЬ ТРАДИЦИОННОГО ПОЛОЖЕНИЯ "ЛЕВЫЙ-ПРАВЫЙ (МУЖЧИНА-ЖЕНЩИНА)"

### MATRICAL REALITY OF TRADITIONAL THE SITUATION "LEFT-RIGHT (MAN-WOMAN)"

#### Эмпирические основы положения

#### Empirical basis of the situation

Согласно правила (рис.8.53) шесть пар каналов левой (мужской, ЯН) и правой (женской, ИНЬ) половин тела одновременно находятся в постоянной асинхронной зависимости. К этим комплексам относятся функциональные пары LI-SI, ST-GB, BL-TE (ЯН группа) и LU-HT, SP-LR, PC-KI (группа ИНЬ).

It is considered (fig.8.53) that six pairs of channels of left (male, YANG) and right (female, YIN) parts of the body are in continuous *asynchronous* dependency: LI-SI, ST-GB, BL-TE (YANG group) and LU-HT, SP-LR, PC-KI (YIN group).

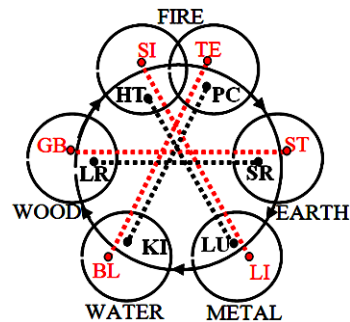
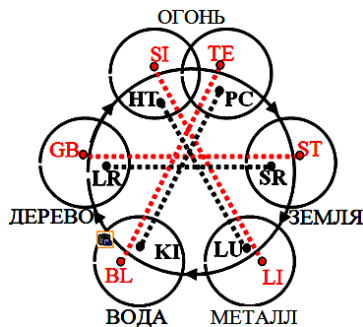
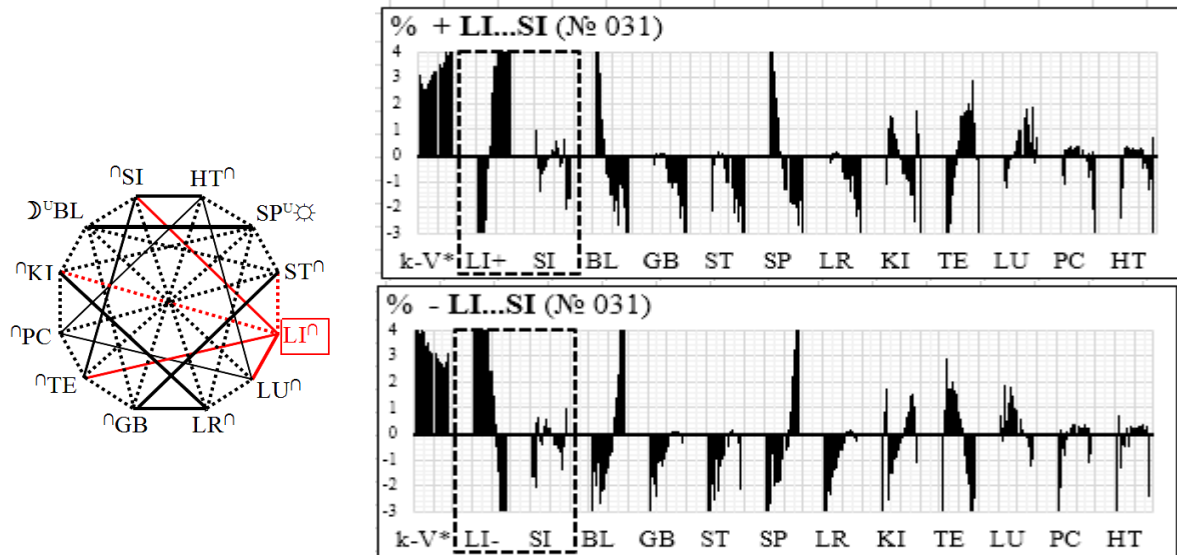


Рис. (Fig.) 8.53

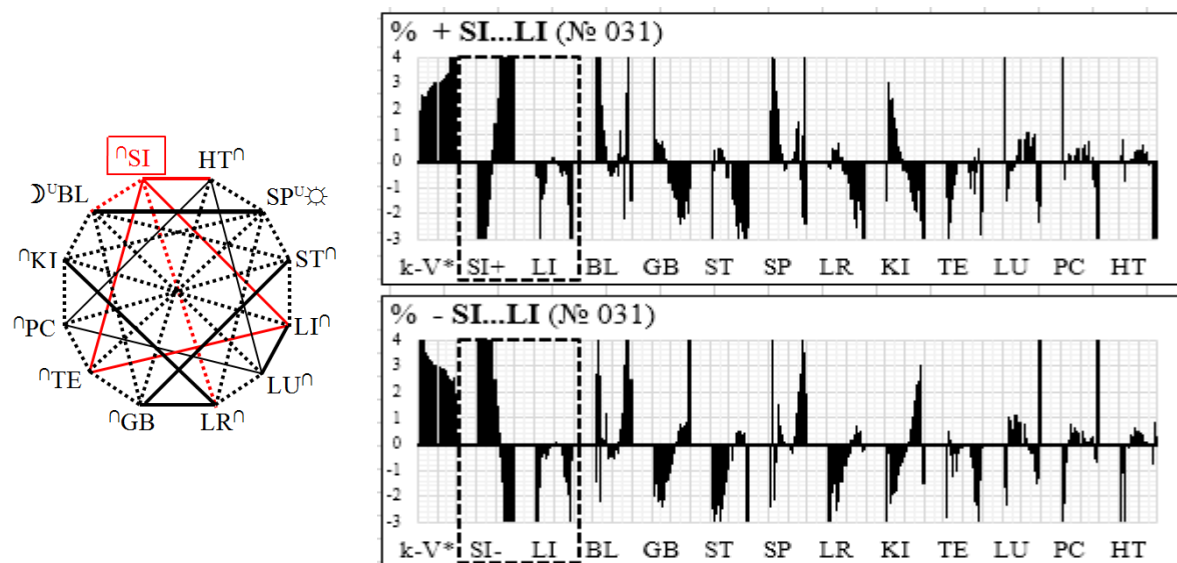
**Гипотетическая системная зависимость биофизических не подддержана (50% наблюдений). Это указывает на другие системные законы.**  
 "Матричный анализ" свидетельствует о следующем (рис.8.54-63).

**Hypothetical system dependence is not biophysically supported (50% of methods). This indicates the existence of other Laws of System Dependence**  
 "Matrix analysis" indicates the following (fig.8.54-63).

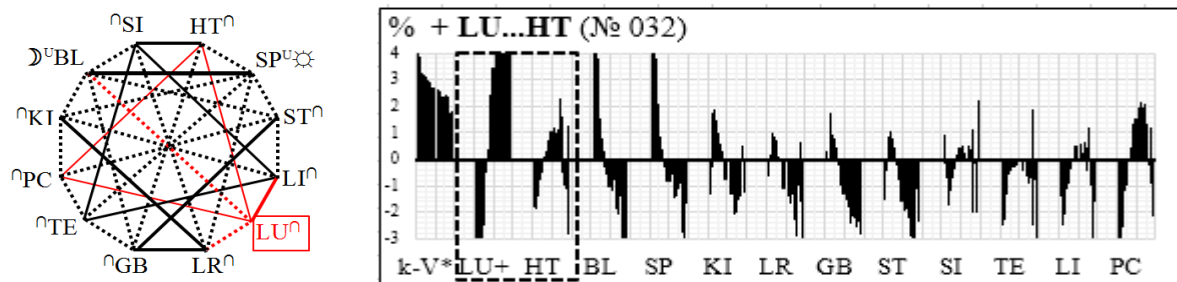
<b>Биофизическая реальность правила</b>	<b>Biophysical reality of the situation</b>
---	---



*Рис.8.54 Матрица. Парадоксальная зависимость комплекса "± LI...SI"*  
*Fig.8.54 Matrix. Paradoxical dependence of the complex "± LI...SI"*



*Рис.8.55 Матрица. Парадоксальная зависимость комплекса "± SI ... LI"*  
*Fig.8.55 Matrix. Paradoxical dependence of the complex "± SI ... LI"*



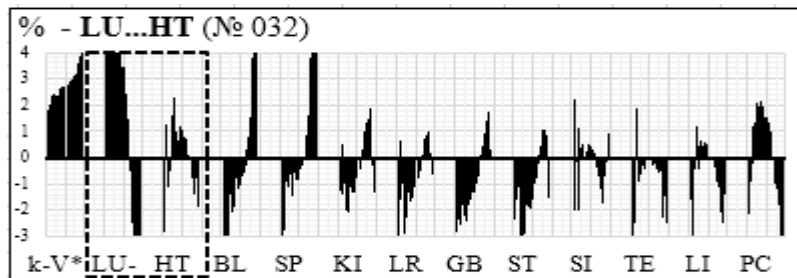


Рис.8.56 Матрица. Парадоксальная зависимость комплекса "± SI...LI"  
 Fig.8.56 Matrix. Paradoxical dependence of the complex "± SI ... LI"

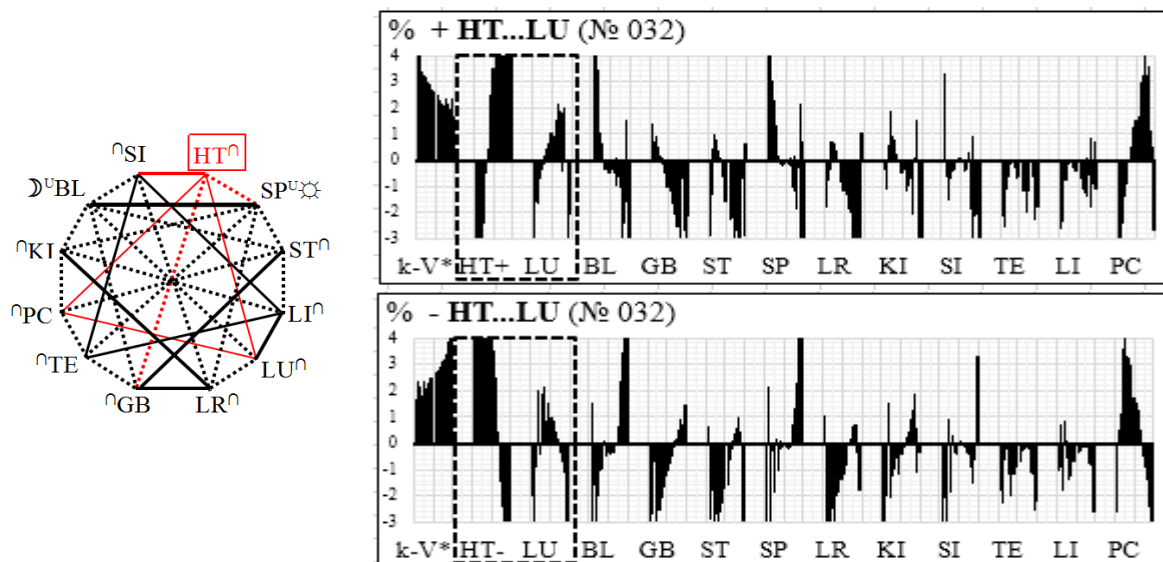


Рис.8.57 Матрица. Парадоксальная зависимость комплекса "± HT...LU"  
 Fig.8.57 Matrix. Paradoxical dependence of the complex "± HT...LU"

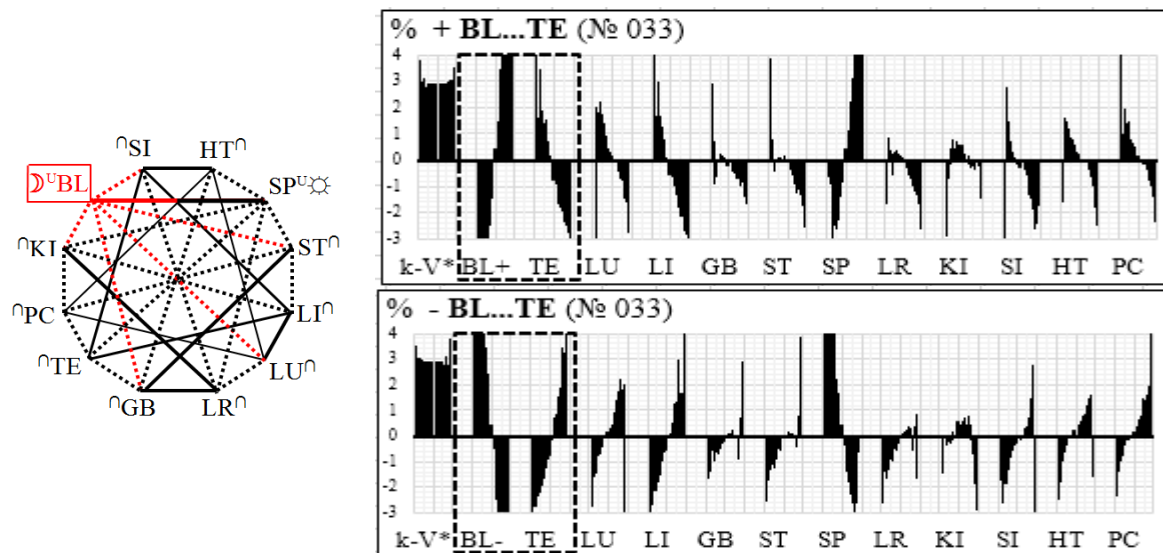
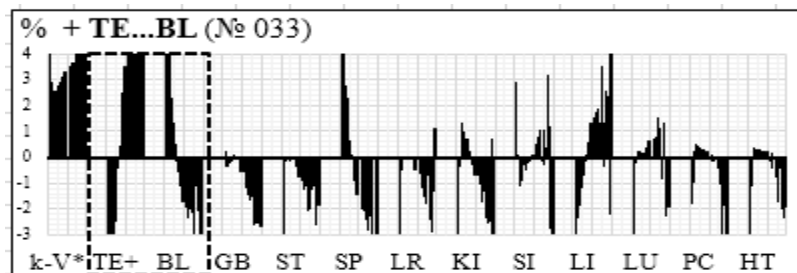


Рис.8.58 Матрица. Асинхронная зависимость комплекса "± BL...TE"  
 Fig.8.58 Matrix. Paradoxical dependence of the complex "± BL...TE"





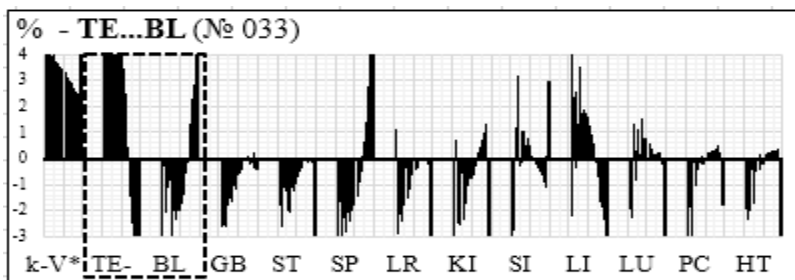
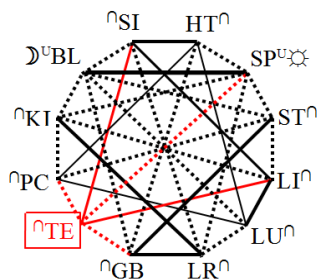


Рис.8.59 Матрица. Асинхронная зависимость комплекса "± TE...BL"  
 Fig.8.59 Matrix. Paradoxical dependence of the complex "± TE...BL"

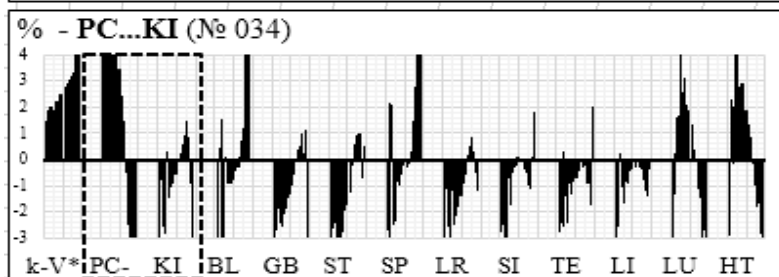
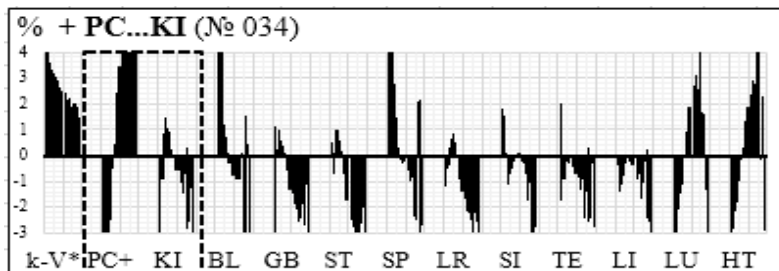
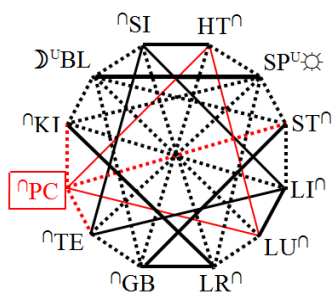


Рис.8.60 Матрица. Асинхронная зависимость комплекса "± PC...KI"  
 Fig.8.60 Matrix. Paradoxical dependence of the complex "± PC...KI"

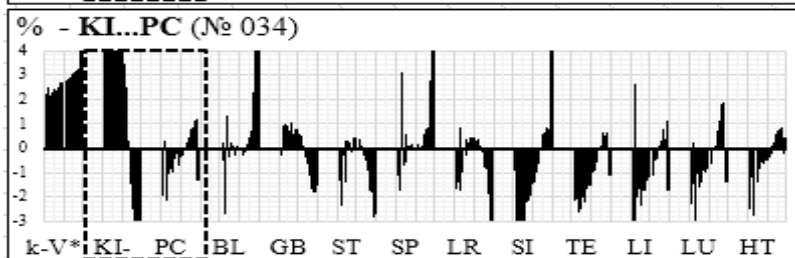
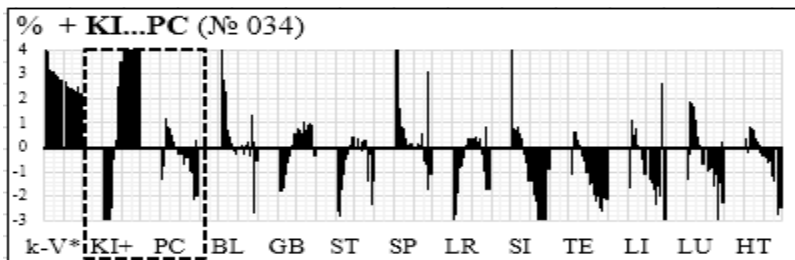
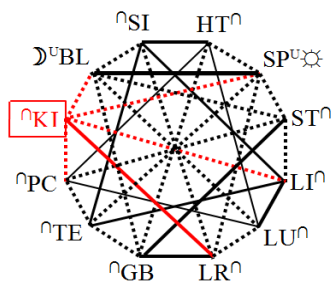
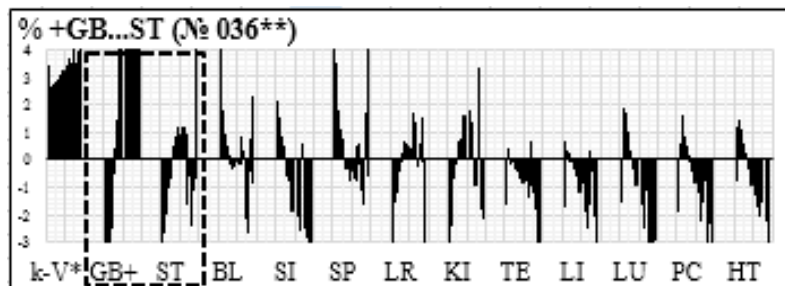
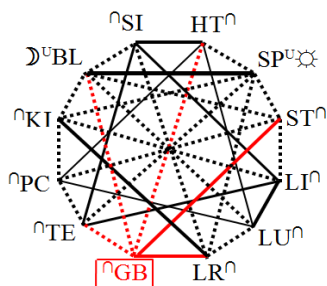


Рис.8.61 Матрица. Асинхронная зависимость комплекса "± KI...PC"  
 Fig.8.61 Matrix. Paradoxical dependence of the complex "± KI...PC"



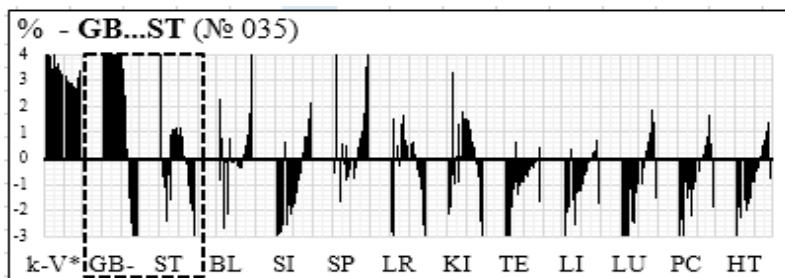
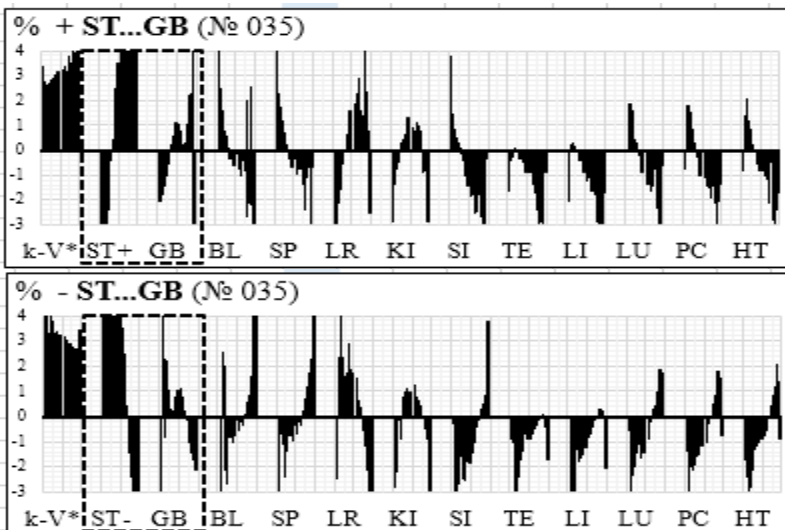
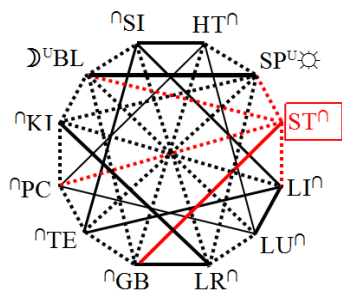


Рис.8.62 Матрица. Парадоксальная зависимость комплекса "± GB...ST"  
 Fig.8.62 Matrix. Paradoxical dependence of the complex "± GB...ST"



Мал.8.63 Матрица. Парадоксальная зависимость комплекса "± ST...GB"  
 Fig.8.63 Matrix. Paradoxical dependence of the complex "± ST...GB"

### Выводы

1. Матричный анализ эмпирической системной зависимости по правилу "Левый-Правый (мужчина-женщина)" негативный (гипотетическое правило **не имеет биофизической поддержки**).

2. "Вегетативная Матрица" указывает на биофизически реальную системную зависимость "эмпирического правила".

### Conclusions

1. A matrix analysis of the empirical systemic dependence on the rule of "Left-Right (Man-Woman)" is negative (**the hypothetical rule does not have biophysical support**).

2. "Vegetative Matrix" indicates the biophysically real system dependence of the "empirical rule".

МАТРИЧНАЯ РЕАЛЬНОСТЬ ТРАДИЦИОННОГО ПРАВИЛА "СПАРЕННЫЕ КАНАЛЫ"	MATRICAL REALITY OF TRADITIONAL THE SITUATION "PAIRED CHANNELS"
<p><i>Эмпирические основы положения</i></p> <p>"Спаренные каналы" представляют функциональные ИНЬ-ЯН комплексы в виде системных групп LU-LI, SP-ST, PC-TE, LR-GB и KI-BL (рис.8.64). Им приписывают асинхронную системную зависимость с "двух часовыми периодами максимальной и минимальной активности" ...</p> <p><b>Гипотетическая системная зависимость биофизических не поддерживается.</b> По группам формируется преимущественно системно-парадоксальная зависимость (рис.8.65-76).</p>	<p><i>Empirical basis of the situation</i></p> <p>"Paired channels" represent the functional YIN-YANG complexes in the form of separate system groups LU-LI, SP-ST, PC-TE, LR-GB and KI-BL (fig.8.64). They are assigned an <b>asynchronous</b> systemic dependence "on two hours of maximum and minimum activity" ...</p> <p><b>Hypothetical system dependence is not biophysically supported.</b> The groups are predominantly system-paradoxical (Fig. 8.65-76).</p>

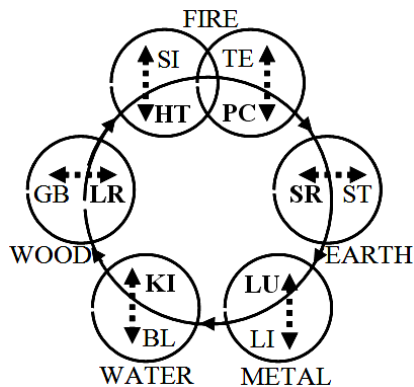
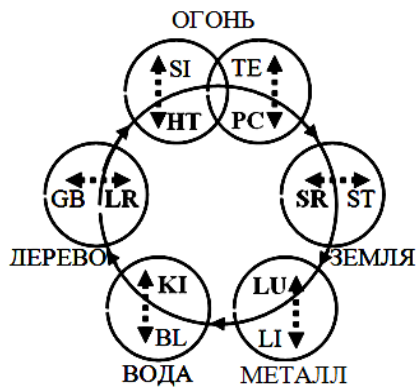


Рис. (Fig.) 8.64

<i>Биофизическая реальность правила</i>	<i>Biophysical reality of the situation</i>
---	---

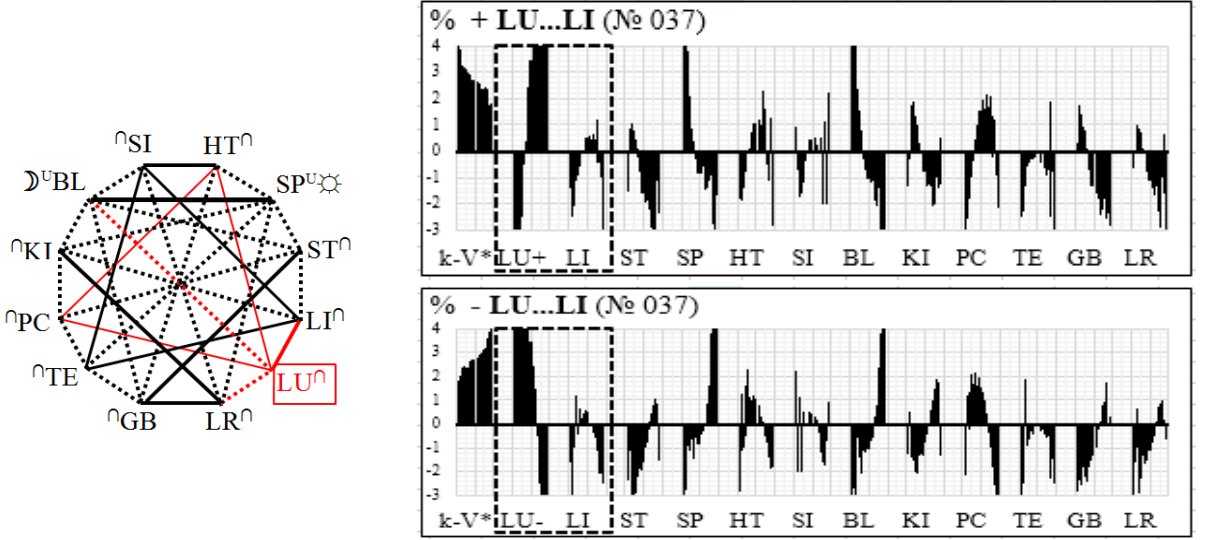


Рис.8.65 Матрица. Парадоксальная зависимость комплекса "± LU...LI"  
 Fig.8.65 Matrix. Paradoxical dependence of the complex "± LU ... LI"

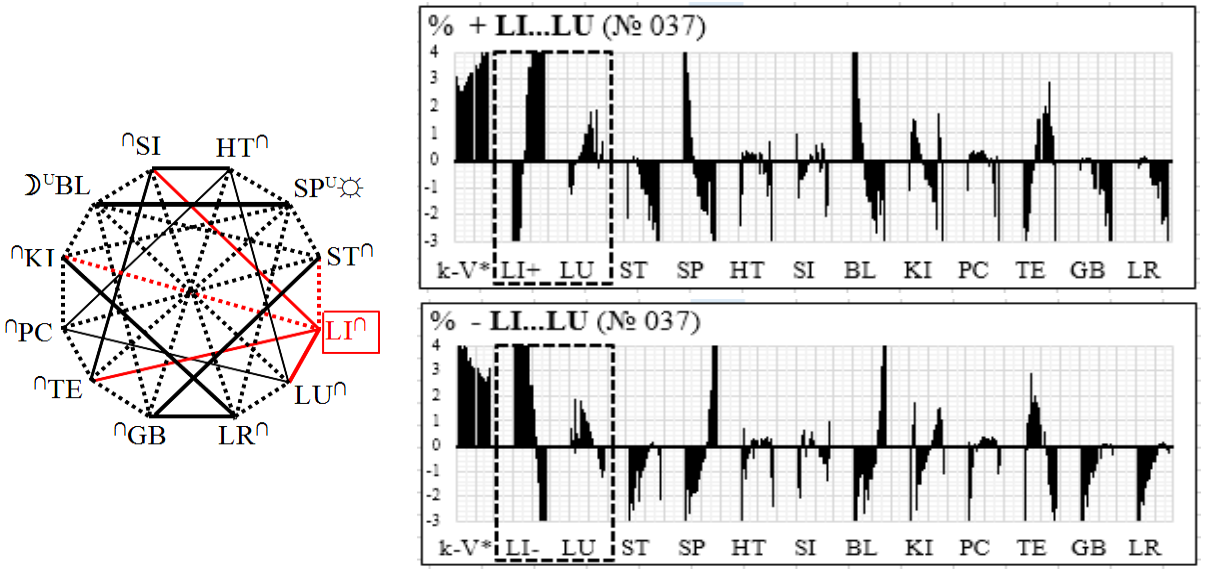


Рис.8.66 Матрица. Парадоксальная зависимость комплекса "± LI...LU"  
 Fig.8.66 Matrix. Paradoxical dependence of the complex "± LI...LU"

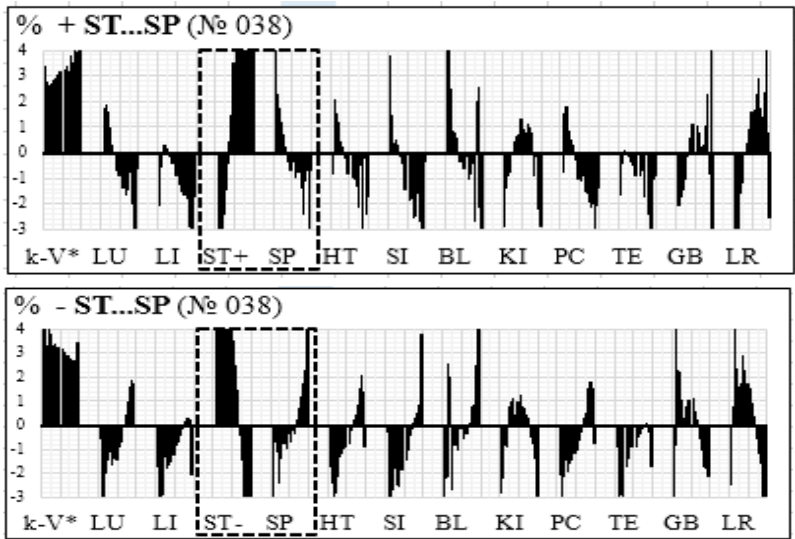
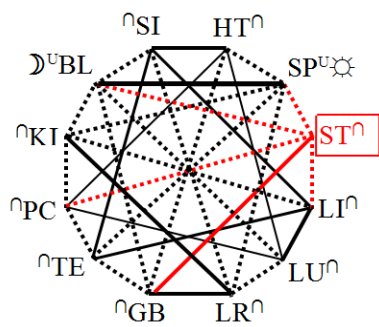


Рис.8.67 Матрица. Асинхронная зависимость комплекса "± ST...SP"  
 Fig.8.67 Matrix. Paradoxical dependence of the complex "± ST...SP"

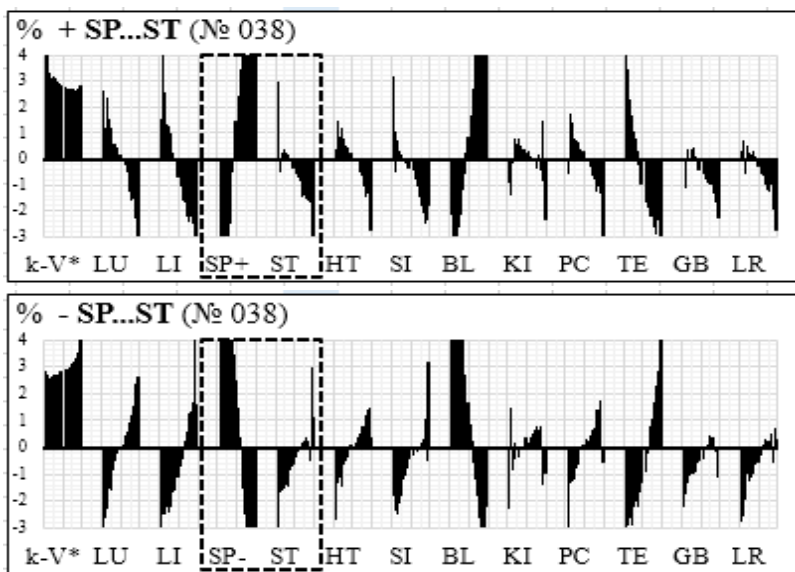
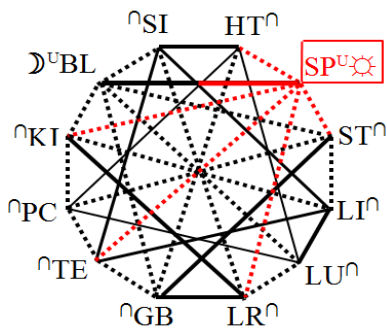


Рис.8.68 Матрица. Асинхронная зависимость комплекса "± SP...ST"  
 Fig.8.68 Matrix. Paradoxical dependence of the complex "± SP...ST"

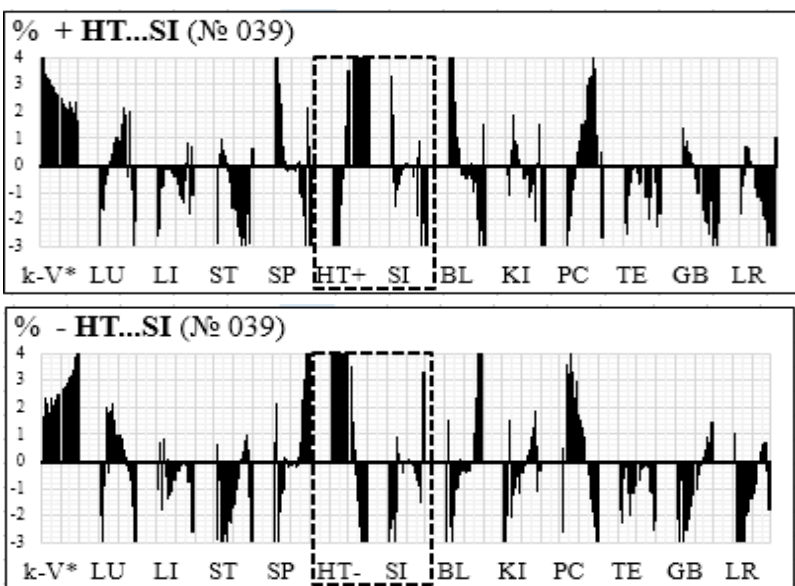
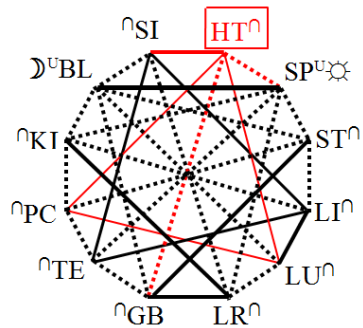


Рис.8.69 Матрица. Парадоксальная зависимость комплекса "± HT...SI"  
 Fig.8.69 Matrix. Paradoxical dependence of the complex "± HT...SI"

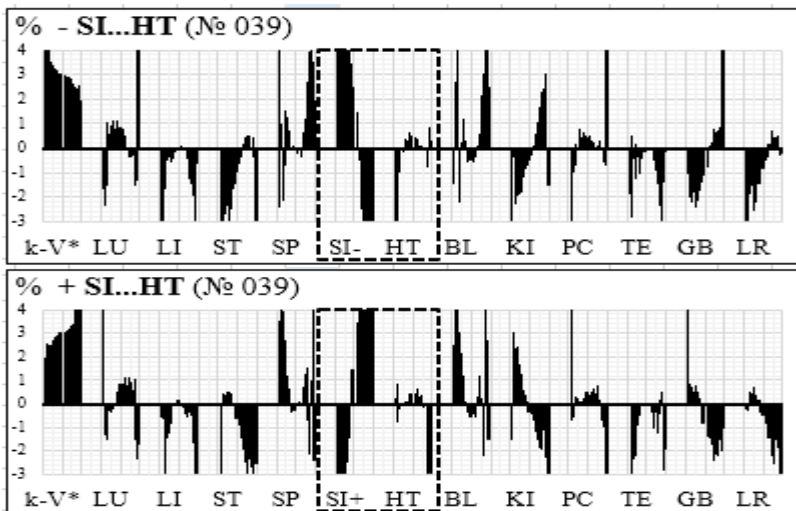
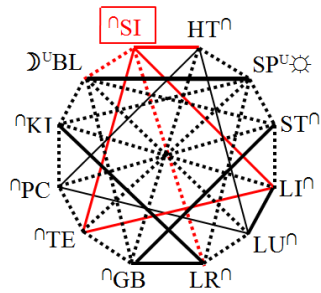


Рис.8.70 Матрица. Парадоксальная зависимость комплекса "± SI...HT"  
 Fig.8.70 Matrix. Paradoxical dependence of the complex "± SI...HT"

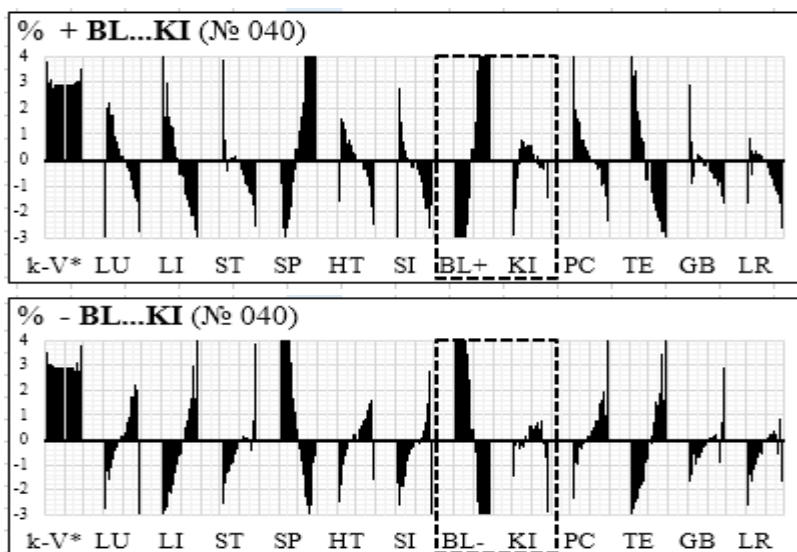
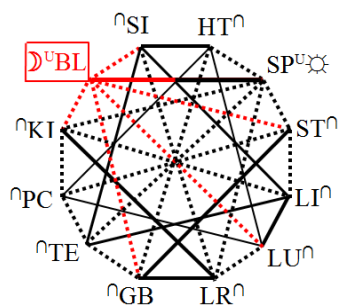


Рис.8.71 Матрица. Парадоксальная зависимость комплекса "± BL...KI"  
 Fig.8.71 Matrix. Paradoxical dependence of the complex "± BL...KI"

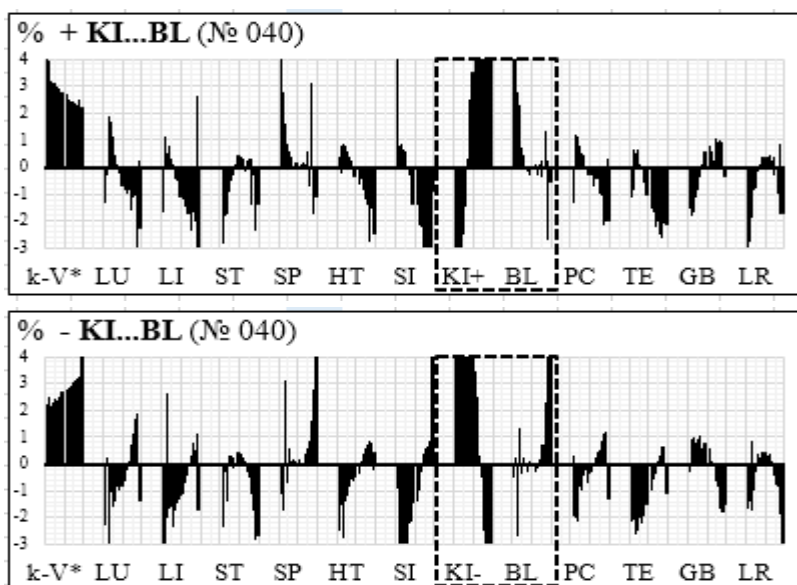
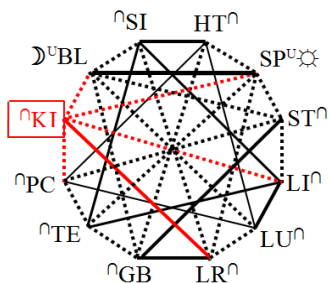


Рис.8.72 Матрица. Парадоксальная зависимость комплекса "± KI...BL"  
 Fig.8.72 Matrix. Paradoxical dependence of the complex "± KI...BL"

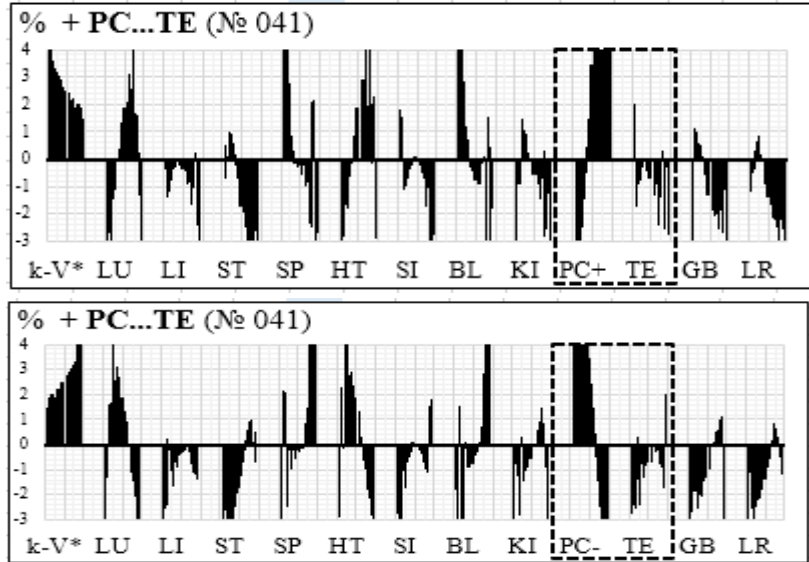
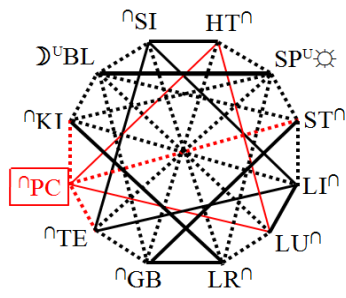


Рис.8.73 Матрица. Парадоксальная зависимость комплекса "± PC...TE"  
 Fig.8.73 Matrix. Paradoxical dependence of the complex "± PC...TE"

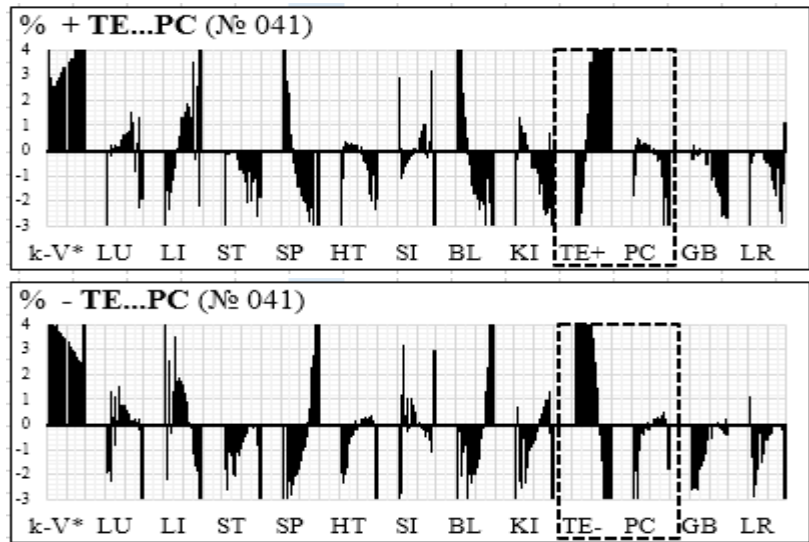
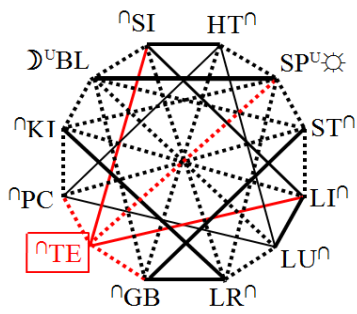


Рис.8.74 Матрица. Парадоксальная зависимость комплекса "± TE...PC"  
 Fig.8.74 Matrix. Paradoxical dependence of the complex "± TE...PC"

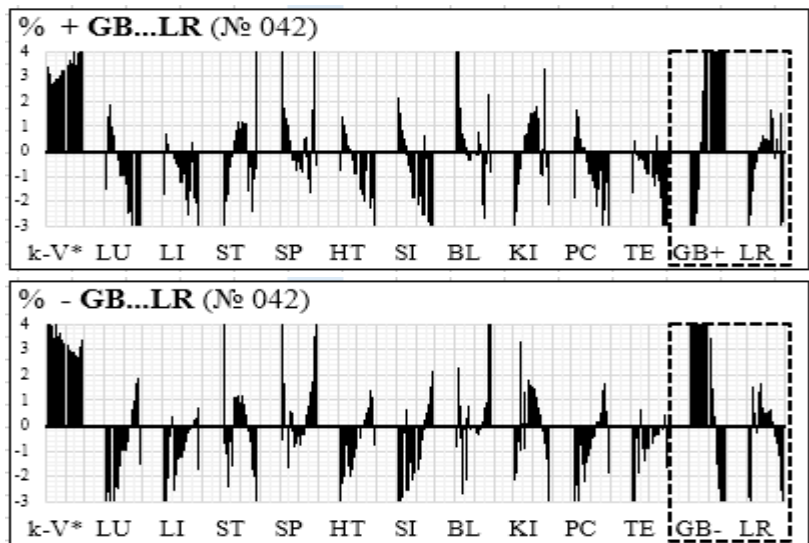
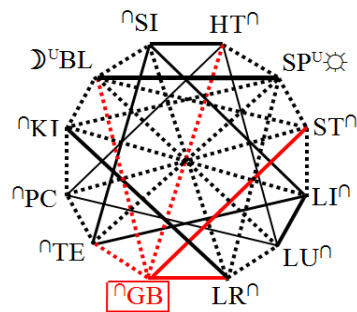


Рис.8.75 Матрица. Парадоксальная зависимость комплекса "± GB...LR"  
 Fig.8.75 Matrix. Paradoxical dependence of the complex "± GB...LR"

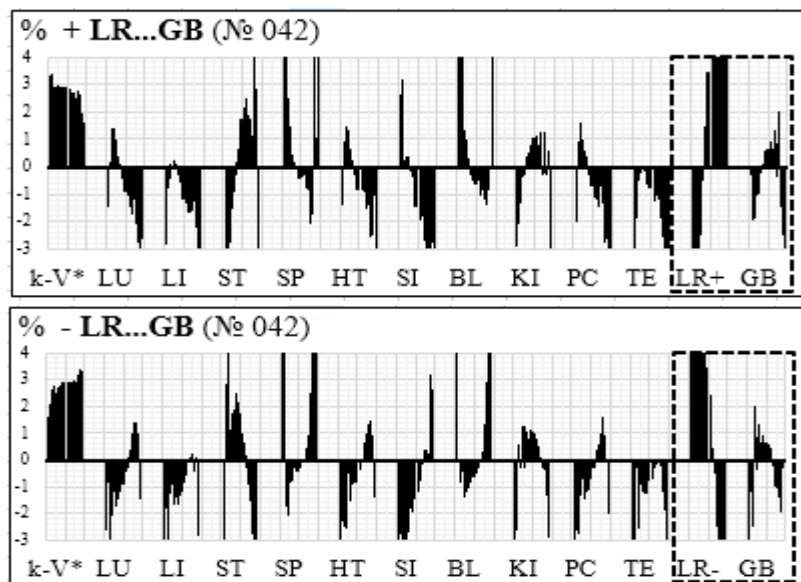
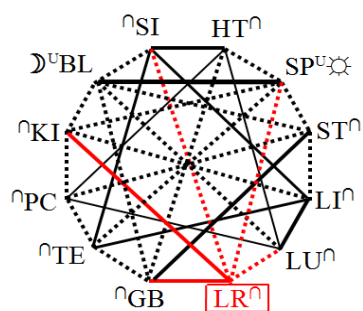


Рис.8.76 Матрица. Парадоксальная зависимость комплекса "± LR...GB"  
 Fig.8.76 Matrix. Paradoxical dependence of the complex "± LR...GB"

### Выводы

1. Матричный анализ эмпирической системной зависимости по правилу "Спаренные каналы" негативный (гипотетическое правило *не имеет биофизической поддержки*).

2. "Вегетативная Матрица" указывает на биофизических реальную системную зависимость "эмпирического правила". Она выступает теоретической основой традиционной Чжень-цзю терапии и современной "функциональной вегетологии".

### Conclusions

1. A matrix analysis of the empirical systemic dependence on the rule of "Paired channels" is negative (*the hypothetical rule does not have biophysical support*).

2. "Vegetative Matrix" indicates the biophysically real system dependence of the "empirical rule". It acts as the theoretical basis for traditional Zhen-Tszyu therapy and the modern "Functional Vegetology".

Общие выводы по разделу 8.	General conclusions under section 8
<p>Гипотетические правила эмпирических положений традиционной Чжень-цзю терапии <i>не имеют биофизической поддержки</i> ...</p> <p>2. "Матрица" отражает реальные механизмы "функционально-вегетативного патогенеза" - биофизической основы традиционной Чжень-цзю терапии и современной "функциональной вегетологии".</p> <p>3. Вегетативная динамика k-V при возбуждении (угнетении) любой системы обуславливает вегетативную направленность её комплекса ...</p> <p>4. Наведенная информация (разделы 1-8) необходима для врачей общей практики, реабилитологам и специалистам "традиционной Восточной медицины" ...</p>	<p>The hypothetical rules of the empirical provisions of the traditional Zhen-Tszyu therapy <i>do not have biophysical support</i> ...</p> <p>2. The "matrix" reflects the mechanisms of "functional-vegetative pathogenesis" - the biophysical basis of traditional Zhen-Tszyu therapy and the modern "Functional Vegetology."</p> <p>3. The vegetative dynamics of k-V during the excitement (or suppression) of any system causes the vegetative orientation of its complex....</p> <p>4. The following information (sections 1-8) is required for general practitioners, rehabilitants and specialists in "traditional Eastern medicine" ...</p>





## 9. ПРОГРАММЫ ФУНКЦИОНАЛЬНО-ВЕГЕТАТИВНОГО АНАЛИЗА

## 9. PROGRESS OF FUNCTIONAL-VEGETATIVE ANALYSIS

Направление "Функциональная вегетология (традиционная Чжень-цзю терапия)" имеет собственный комплекс компьютерного обследования и научно-исследовательского анализа. Приводим краткое описание его программ и примеры визуализации.

Direction "Functional vegetology (traditional Zhen-Tszyu therapy)" has its own computer survey and research analysis. Here is a brief description of the projects and visualization examples.

### 1. Программа "Функционально-вегетативная диагностика (ФВД)"

### 1. Program "Functional-vegetative diagnostics (FVD)"

Программный пакет обусловлен специфической половозрастной нормативной базой. Её особенности необходимо учитывать врачам общей практики и реабилитологам при коррекции вегетативных дисфункций.

The software package is due to a specific gender-age regulatory framework. Its features should be taken into account by general practitioners and rehabilitation physicians for the correction of autonomic dysfunctions.

#### ФВД дошкольного возраста – ДВ (пример $k-V=0,71$ ; ЖГ и МГ)

#### FVD of preschool age – PS (for example, $k-V = 0.71$ , WG and MG)

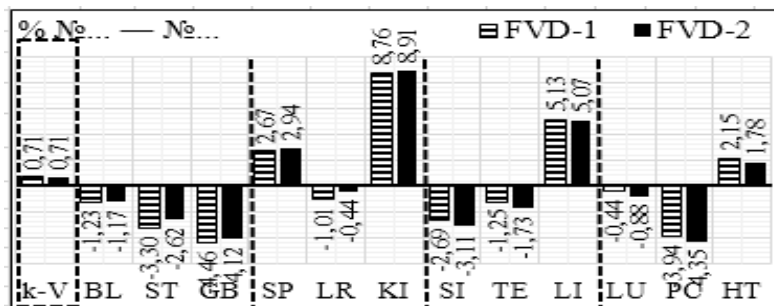
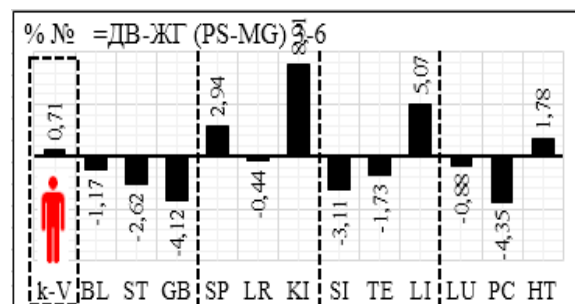
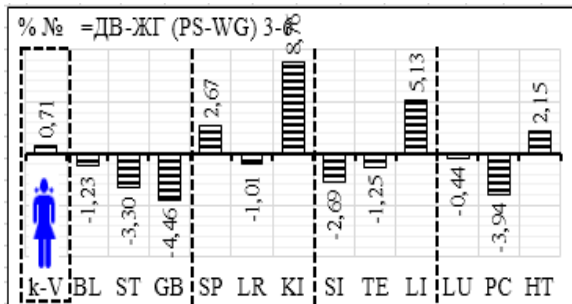
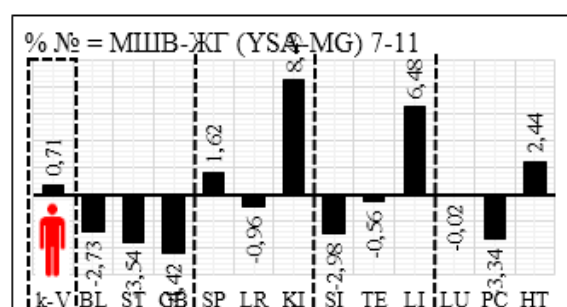
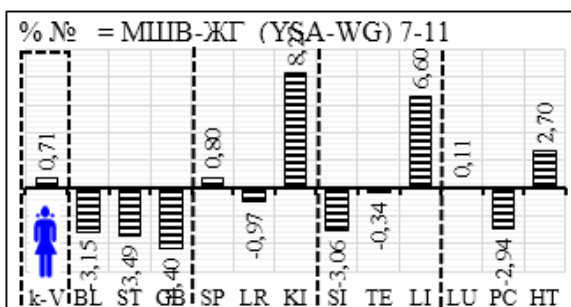


Рис.9.1.1 ФВД дошкольного возраста (ДВ)

Fig.9.1.1 FVD of preschool age (PS)

#### ФВД младшего школьного возраста – МШВ (пример $k-V=0,71$ ; ЖГ и МГ)

#### FVD of junior school age (JS) (for example, $k-V = 0.71$ , WG and MG)





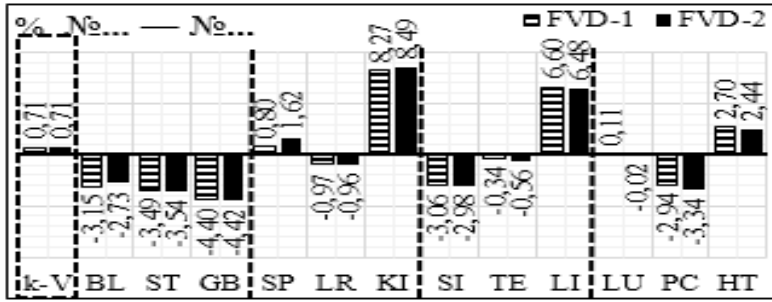


Рис.9.1.2 ФВД младшего школьного возраста МШВ)  
Fig.9.1.2 FVD of junior school age (JS)

**ФВД подросткового школьного возраста**  
-ПШВ (пример  $k-V=0,71$ ; ЖГ и МГ)

**FVD of adolescent school age (ASA)**  
(for example,  $k-V = 0.71$ , WG and MG)

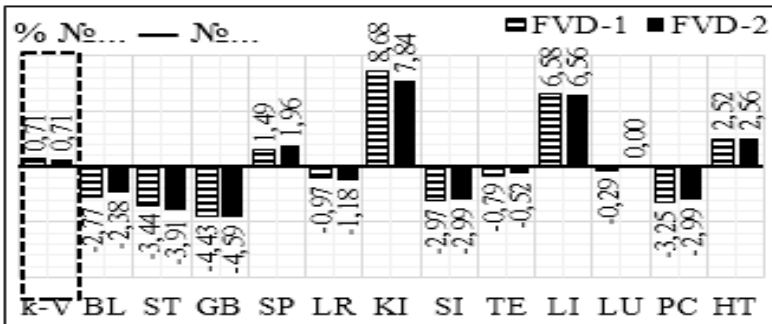
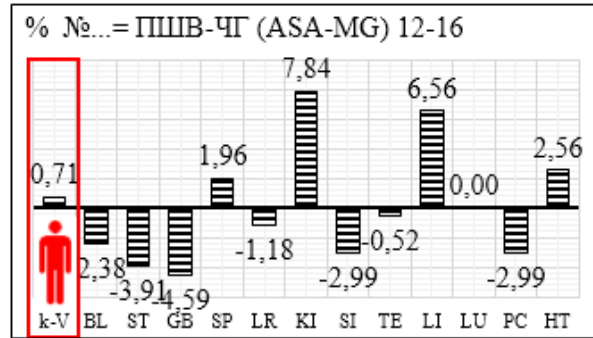
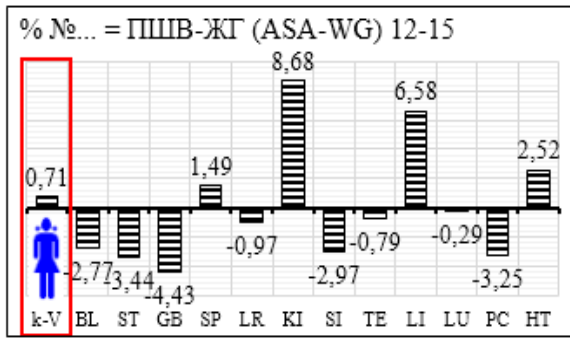


Рис.9.1.3 ФВД подросткового школьного возраста (ПШВ).  
Fig.9.1.3 FVD of adolescent school age (ASA)

**ФВД юношеского школьного возраста**  
-ЮШВ (пример  $k-V=0,71$ ; ЖГ и МГ)

**FVD of youth of school age (JSA)**  
(for example,  $k-V = 0.71$ , WG and MG)

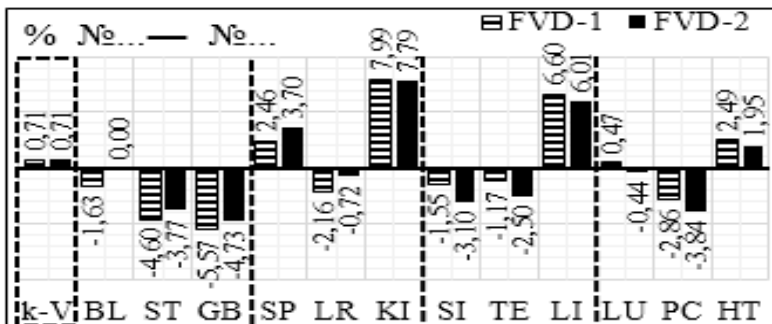
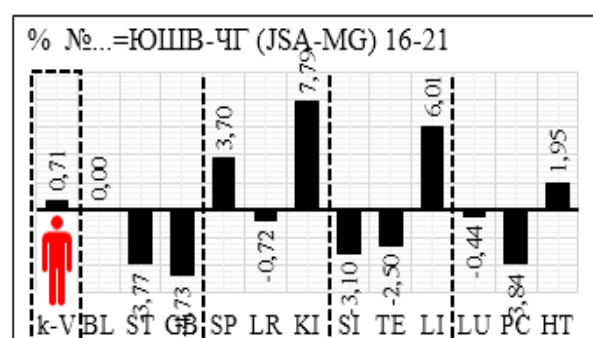
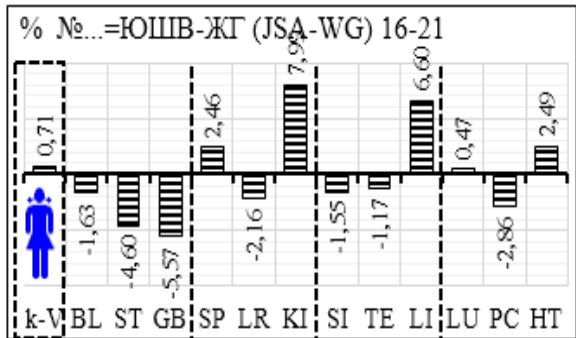


Рис.9.1.4 ФВД юношеского школьного возраста (ЮШВ).  
Fig.9.1.4 FVD of youth of school age (JSA)

<b>ФВД зрелого возраста – 3В</b> (пример $k-V=0,71$ ; ЖГ и МГ)	<b>FVD of adult age (AA)</b> (for example, $k-V = 0.71$ , WG and MG)
---	---

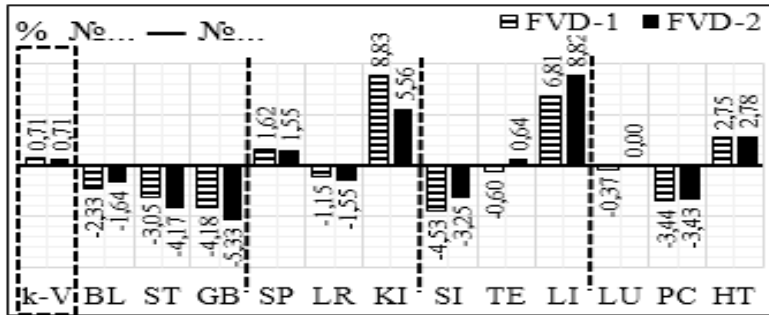
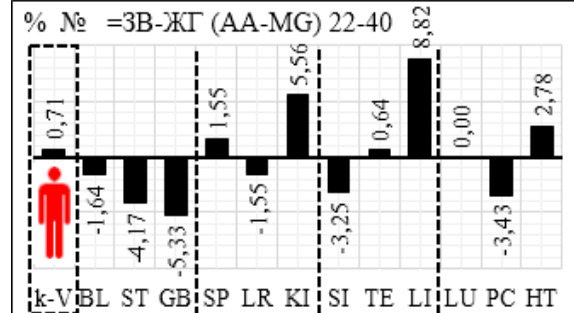
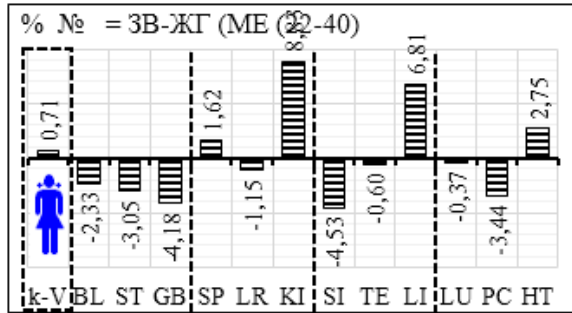


Рис.9.1.5 ФВД зрелого возраста (3В)  
 Fig.9.1.5 FVD of adult age (AA)

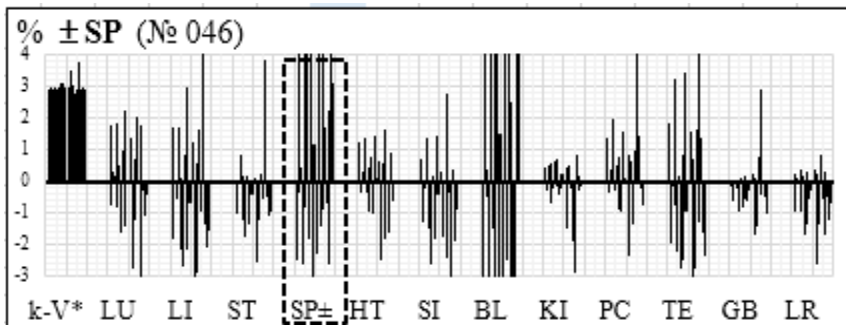
<b>2. Программа "Идентификация системной зависимости"</b>	<b>2. Program "Identification of system Dependence"</b>
---	---

Программный пакет направлен на идентификацию "акупунктурных каналов" и системной зависимости (экспериментальной доказательности их биофизической реальности).

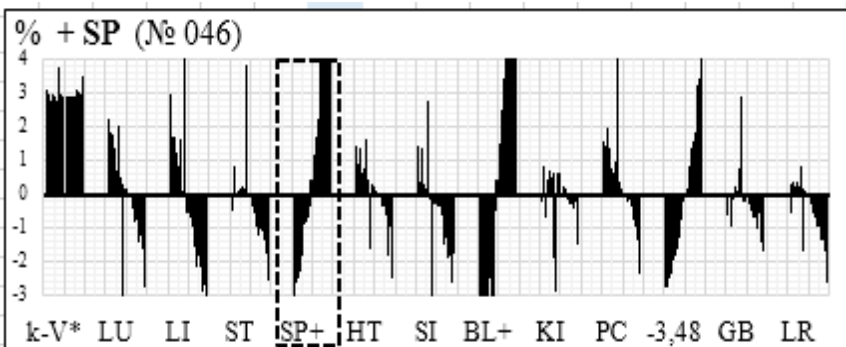
Алгоритм программы приведен во втором разделе (с.25-28). Компьютерная визуализация его последствий представлена на рис.9.2.1

The software package is aimed at identifying "acupuncture channels" and system dependence (experimental evidence of their biophysical reality).

The algorithm of the program is given in the second section (p.25-28). Computer visualization of its consequences is presented in fig.9.2.1



Идентификация каналов при  $\pm SP$  невозможна  
 Identification of channels at  $\pm SP$  is impossible



Идентификация каналов при  $+ SP$   
 Identification of channels at  $+ SP$

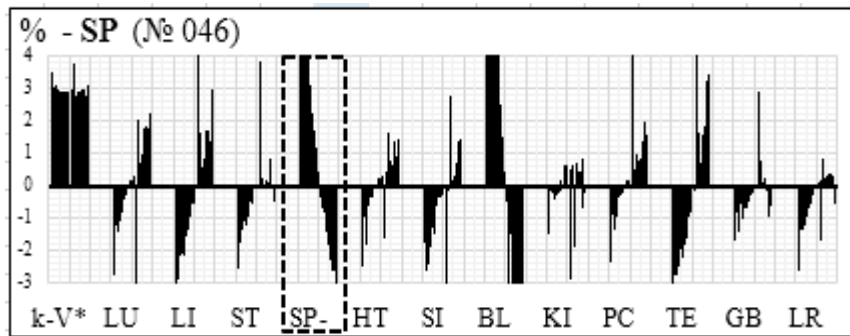


Рис. (Fig.) 9.2.1

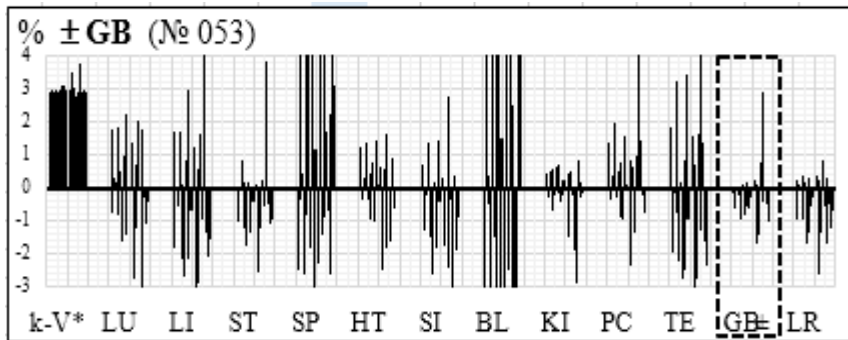
Идентификация  
каналов при – SP  
Identification of  
channels at – SP

**3. Программа "Идентификация комплексной зависимости" (№6/3;8/3)**

Программный пакет предназначен для идентификации комплексной системной зависимости (экспериментальной доказательности её биофизической реальности и вегетативной направленности).

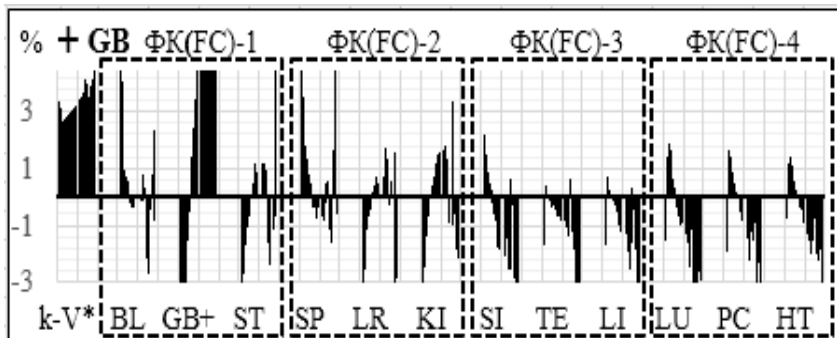
**3. Program "Identification complex dependencies" (No. 6/3;8/3)**

The software package is intended to identify the complex system dependence (experimental evidence of its biophysical reality and vegetative orientation).

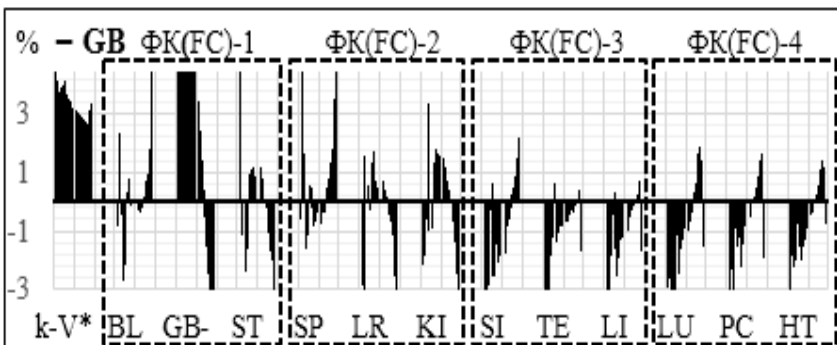


Идентификация  
комплексов при ± GB  
**НЕВОЗМОЖНА**

Identification of  
complexes at ± GB  
**is impossible**



Идентификация  
комплексов при + GB  
Identification  
of complexes at + GB



Идентификация  
комплексов при – GB  
Identification  
of complexes at – GB

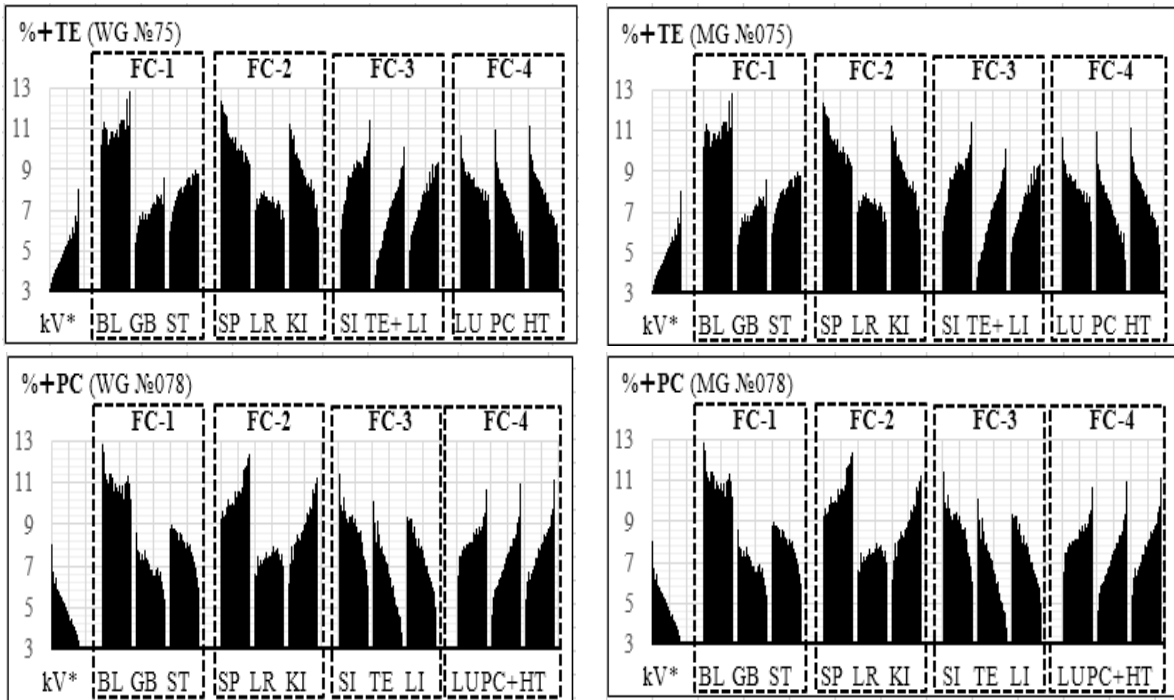
Рис. (Fig.) 9.3.1

**4. Программа "Идентификация системно-комплексной зависимости по вегетативным уровням" (№7/1)**

**4. Program "Identification system-complex dependence on vegetative levels" (No. 7/1)**

Программный пакет разработан для идентификации вегетативной направленности функциональных комплексов (по динамике их системных вегетативных уровней). Это дополнительно свидетельствует о биофизической реальности "акупунктурных каналов" (мал.9.4.1) ...

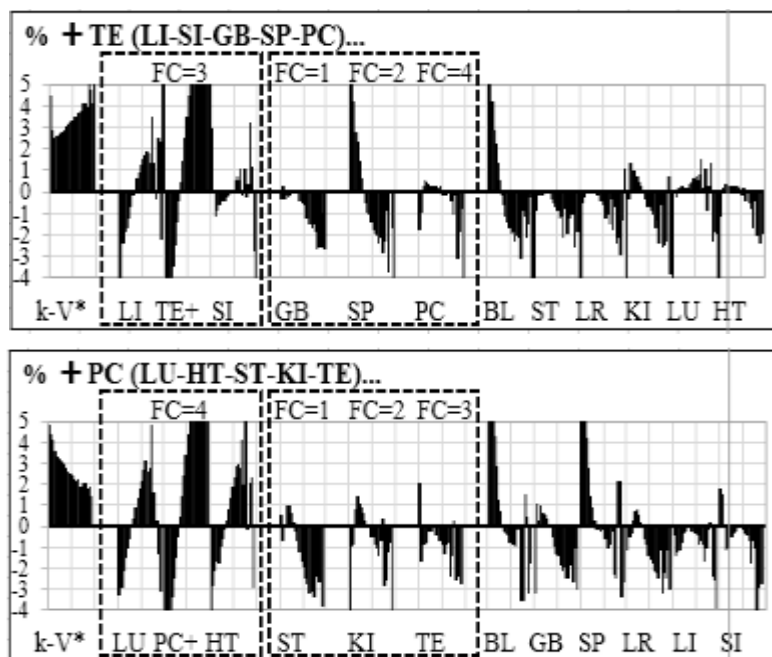
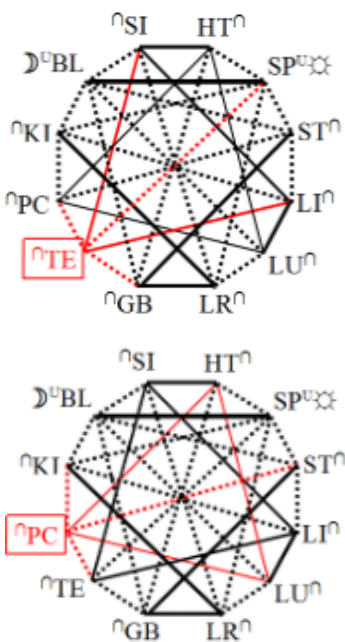
The software package is developed for identifying the vegetative orientation of functional complexes (according to the dynamics of their system vegetative levels). This additionally indicates the biophysical reality of "acupuncture channels" (fig.9.4.1)...



Мал. (Fig.) 9.4.1

**5. Программа "Вегетативная Матрица. Комплексные ключи" (№8/3)**

**5. Program "Vegetative Matrix. Complex keys" (№8/3)**



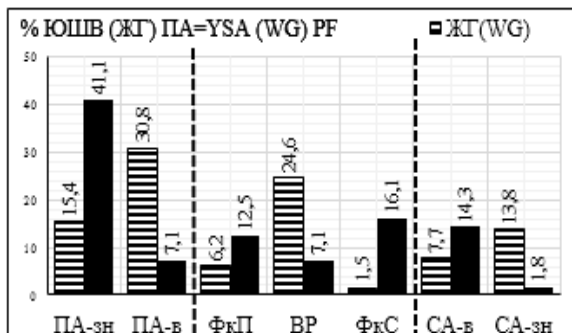
Мал. (Fig.) 9.5.1

**6. Программа "Дисперсия вегетативных уровней" (№6/6)**

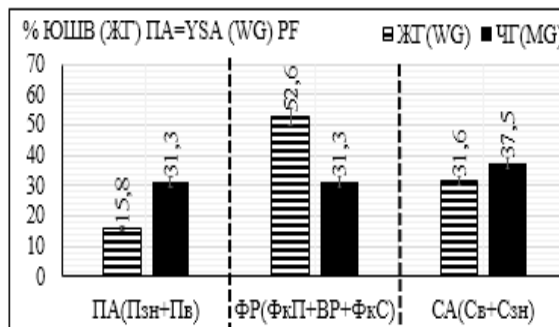
Программный пакет направлен на идентификацию дисперсии (рассеивания) "вегетативных уровней" под влиянием реабилитационных факторов. Используется также для проведения "Функционально-экологической экспертизы регионов компактного проживания детского населения Украины" ...

**6. Program "Dispersion of levels of vegetative equilibrium" (№6/6)**

The software package is aimed at identifying dispersion (dispersion) of "vegetative levels" under the influence of rehabilitation factors. It is also used for conducting "Functional-ecological examination of regions of compact residence of the children's population of Ukraine" ...



a



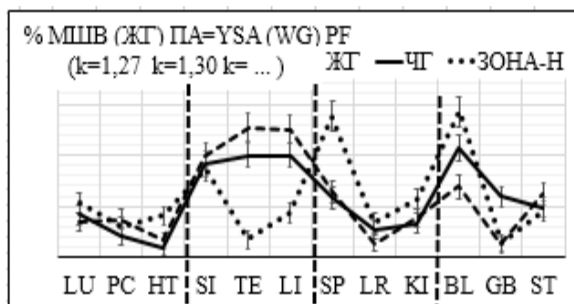
b

**7. Программа "Системная зависимость и зона нормы" (№6/5-7)**

Программный пакет направлен на идентификацию системной зависимости по отношению к зоне возрастной нормы.

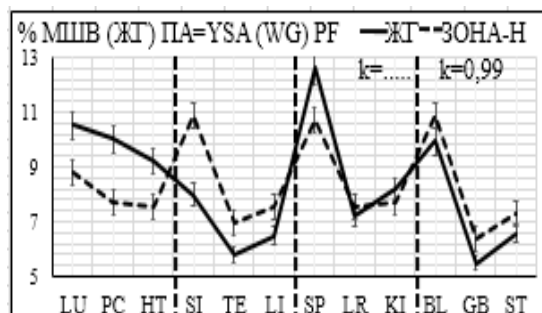
**7. Program " Systemic dependence and zone of norm" (№6/5-7)**

The software package is aimed at identifying the systemic dependence in relation to the age zone.



**Выводы**

Программный пакет компьютерного анализа ускоряет обработку и анализ материалов функционально-вегетативных исследований и не имеет аналогов.



**Conclusion**

The software package of computer analysis accelerates the processing and analysis of materials of functional-vegetative research and has no analogues.





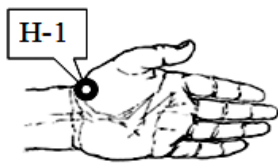
**10. АТЛАС ФУНКЦІОНАЛЬНО-АКТИВНИХ ЗОН  
ЯК ОСНОВА РЕАБІЛІТАЦІЙНОЇ ВЕГЕТОЛОГІЇ**  
**10. ATLAS OF FUNCTIONAL-ACTIVE ZONES AS A BASIS  
REHABILITATION VEGETOLOGY**

**10.1 ТОПОГРАФІЯ ЗОН  
ФУНКЦІОНАЛЬНОЇ ДІАГНОСТИКИ**

**10.1 TOPOGRAPHY ZONES  
OF FUNCTIONAL DIAGNOSIS**

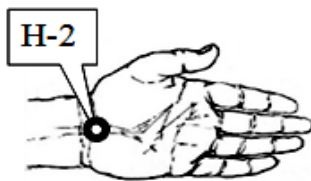
**Репрезентативні ФАЗ руки**

**Representative FAZ of hands**



**H1= LU<sup>9</sup> ТАЙ-ЮАНЬ ▼** – в заглибленні на кінці поперекової шкірної складки променево-зап'ясткового суглобу, у променевого краю променевої артерії.

**H1= LU<sup>9</sup> TAI-YUAN (▼)** – in the recess at the end of diametrical skin fold of the wrist joint, at radial edge of the radial artery.



**H2=PC<sup>7</sup> ДА-ЛІН ◆** – на поперековій шкірній складці променево-зап'ясткового суглобу, між сухожиллями довгого долонного м'яза і променевого згинача зап'ястка.

**H2=PC<sup>7</sup> DA-LING (◆)** – on diametrical skin fold of the wrist joint, between tendons of long palmar muscle and radial flexor muscle of wrist.



**H3=HT<sup>7</sup> ШЕНЬ-МЕНЬ ◆** - на поперековій шкірній складці променево-зап'ясткового суглобу в заглибленні між гороховидною і ліктьовою кістками (у променевого краю сухожилка ліктьового згинача зап'ястка).

**H3=HT<sup>7</sup> SHEN-MEN (◆)** – on diametrical skin fold of wrist joint in the recess between the pisiform and ulnar bones (at radial edge of the tendon of radial flexor muscle of wrist.)



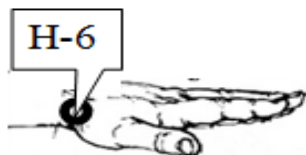
**H4=SI<sup>4</sup> ВАНЬ-ГУ ◆** – на ліктьовому краю долоні, між основою v п'ясткової кістки і кістками зап'ястка.

**H4=SI<sup>4</sup> WAN-GU (◆)** – on ulnar palmar edge, between the base of v metacarpal bone and wrist bones.



**H5=TE<sup>4</sup> ЯН-ЧІ ◆** – на ліктьовому краю долоні, між основою v п'ясткової кістки і кістками зап'ястка

**H5=TE<sup>4</sup> YANG-CHI (◆)** – on dorsal surface of wrist joint, in the recess between tendons of extensor muscle of fingers and extensor muscle of v finger.

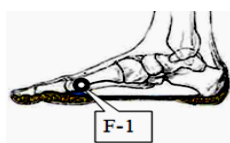


**H6=LI<sup>5</sup> ЯН-СІ ◆** - у променевого краю зап'ястка, між сухожиллями короткого і довгого розгиначів великого пальця(у центрі анатомічної табакерки).

**H6=LI<sup>5</sup> YANG-XI (◆)** – at radial edge of wrist joint, between tendons of short and long extensor muscles of thumb (in the center of anatomic snuffbox).

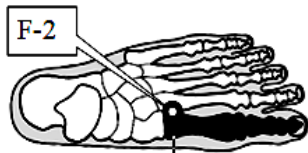
**Репрезентативні ФАЗ ноги.**

**Representative FAZ of feet**



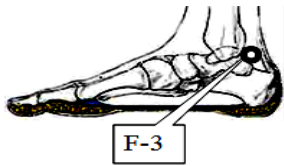
**F1=SP<sup>3</sup> ТАЙ-БАЙ ◆** - по медіальному краю, в заглибленні позаду і знизу від голівки I плеснової кістки.

**F1=SP<sup>3</sup> TAI-BAI (◆)** – on medial edge, in the recess, behind and below the head of I metatarsal bone.



**F2=LR<sup>-3</sup> ТАЙ-ЧУН** ◆ - на тильній поверхні стопи, в найвужчому місці між I-II плесновими кістками.

**F2=LR<sup>-3</sup> TAI-CHONG** ◆ – on the dorsal surface of foot, in the most narrow area between I-II metatarsal bones.



**F3=KI<sup>3</sup> ТАЙ-СІ** ◆ – посередині горизонтальної відстані між сухожиллям п'яти і медіальною кісточкою (на рівні її центру).

**F3=KI<sup>3</sup> TAI-XI** (◆ – in the middle of horizontal distance between heel string and medial malleolus (in center of it).



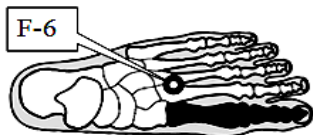
**F4=BL<sup>-65</sup> ШУ-ГУ** ▼ - по латеральному краю стопи, в заглибленні, позаду і знизу від голівки V плеснової кістки.

**F4=BL<sup>-65</sup> SHU-GU** ▼ – on the lateral foot edge, in the recess, behind and below the head of V metatarsal bone.



**F5=GB<sup>-40</sup> ЦЮ-СЮЙ** ◆ – попереду і знизу від латеральної кісточки, в заглибленні, з зовнішнього краю сухожилля довгого розгинача пальців.

**F5=GB<sup>-40</sup> QIU-XU** ◆ – in front and below of the lateral malleolus, in the recess, at the external edge of the tendon of long extensor muscle of toes.



**F6=ST<sup>-42</sup> ЧУН-ЯН** ▼ ◆ – на самій піднесеній частині тилу стопи, між суглобами II-III клиновидних і II-III плеснових кісток.

**F6=ST<sup>-42</sup> CHONG-YANG** ▼ ◆ – on the upper rear area of foot, between the joints of II-III cuneiform and II-III metatarsal bones.

## 10.2 ТОПОГРАФІЧНИЙ АТЛАС ЗОН ВЕГЕТАТИВНОЇ КОРЕКЦІЇ

## 10.2 TOPOGRAPHIC ATLAS ZONE VEGETATIVE CORRECTION

### ТОПОГРАФІЯ СТАНДАРТНИХ ФАЗ КАНАЛУ BL

### LOCATION OF STANDARD FAZ OF THE CHANNEL BL

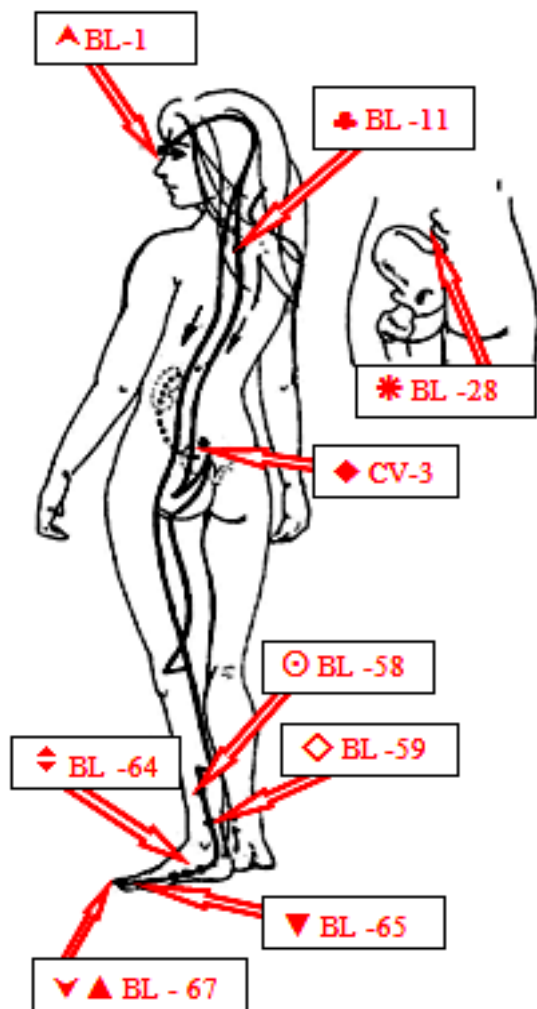
**ФЕС BL – “Сечовий міхур”**. Відцентровий, об'єднує 67 ФАЗ (134 з обох боків). Перша ФАЗ у внутрішнього кута ока, йде вгору і назад по черепу; у ший ділиться на дві гілки, які йдуть вниз паралельно по задній стороні тулуба до куприка. Одна гілка досягає п'яти, проходячи по середині задньої поверхні голімки, і закінчується біля основи нігтя мизинця стопи. Друга закінчується на п'яті.

Згідно традиційній Чжень-цзю терапії обумовлює судомні стани, порушення обміну речовин та водного обміну...

Згідно канонам "Функціональної вегетології" входить до першого комплексу (ФК-1=BL,GB,ST) і контролює його сим-патичну спрямованість...

**FPS BL – “Urinary bladder”**. Centripetal combines 67 FAZ (134 on both sides). First FAZ is in the internal corner of an eye, goes up and goes to the back of the skull; at the neck divides into two branches that go down in parallel through the back side of trunk and to the coccyx. One branch reaches the heel, passing through the central part of the back surface of the shin, and ends near the basis of the nail of the little toe. The other branch ends at the heel. According to the traditional Zhen-tszyu therapy, the treatment causes spasm states, metabolism disorders and substance exchange...

According to the canons of "Functional Vegeta -ology" is included in the first complex (FC-1 = BL, GB, ST) and controls its sympathetic orientation ...



**BL-1 ▲ ЦІН-МІН:** ВНУТРІШНІЙ КУТ ОКА, В ЗАГЛИБЛЕННІ ДО СЕРЕДИНИ І ДЕЩО ВВЕРХ (**JINGMING:** in the depression medial and superior to the medial canthus (approx. 0,3 cm).

**BL-28\* ПАН-ГУАН-ШУ:** 1,5 ЦУНЯ ЗОВНІ ЗАДНЬОЇ СЕРЕДИННОЇ ЛІНІЇ, В ЗАПАДИНІ МІЖ КУПРИКОМ І НИЖНІМ ВНУТРІШНІМ КРАЄМ КЛУБОВИДНОГО ГРЕБНЮ (**PANGGUANSHU:** 1,5 cun lateral to the to the lower edge of the 2-nd vertebransecrales).

**BL-58 ⊙ ФЕЙ-ЯН:** 7 ЦУНІВ ВИЩЕ МАЛОГОМІЛКОВОЇ КОЛОДОЧКИ, НА МІСЦІ ПЕРЕХОДУ ЛАТЕРАЛЬНОЇ ГОЛОВКИ ЛИТКОВОГО М'ЯЗУ В АХІЛЛІВ СУХОЖИЛОК (**FEIYANG:** 7 cun above the center of medial malleolus, at the transition area of the lateral head of gastrocnemius muscle into Achilles (calcaneal, heel) tendon).

**BL-59 ◇ ФУ-ЯН:** 3 ЦУНЯ ВИЩЕ МАЛОГОМІЛКОВОЇ КОЛОДОЧКИ З БОКУ П'ЯТКОВОГО СУХОЖИЛКУ (**FUYANG:** 3 cun above the medial malleolus from the side of Achilles tendon).

**BL-64 ◆ ЦІН-ГУ:** ЛАТЕРАЛЬНИЙ КРАЙ СТУПНІ, В ЗАГЛИБИНІ ЗНИЗУ І СПЕРЕДУ ОСНОВИ V-ГО ПЛЕСНЯКА (**JINGGU:** Postero-inferior to the tuberosity of the 5-th instep bone).

**BL-65 ▼ ШУ-ГУ:** ЛАТЕРАЛЬНИЙ КРАЙ СТУПНІ, В ЗАГЛИБИНІ, ЗЗАДУ І ЗНИЗУ ВІД ГОЛОВКИ V-ГО ПЛЕСНЯКА (**SHU-GU:** on the lateral foot edge, in the recess, behind and below the head of V metatarsal bone).

**BL-67 ▼ ▲ ЧЖІ-ІНЬ:** 3 ММ ЗОВНІ ВІД КОРИННЯ НІГТЯ V-ГО ПАЛЬЦЯ СТУПНІ (**ZHIYIN:** 2-3mm outside from the nail root of the 5-th toe).

**CV-3 ◆ ЧЖУН-ЦЗИ:** ПЕРЕДНЯ СЕРЕДИННА ЛІНІЯ, 4 ЦУНЯ НИЖЧЕ ПУПКА (**ZHONGJI:** front medial line, 4 cun below the navel).

ТОПОГРАФІЯ СТАНДАРТНИХ ФАЗ КАНАЛУ GB	LOCATION OF STANDARD FAZ OF THE CHANNEL GB
--------------------------------------	--

**ФВС GB – “Жовчний міхур”.** Відцентровий, об’єднує 44 ФАЗ (88 з обох боків). Починаючись від зовнішнього кута ока, проходить через скроню і потилицю до трапецієвидного м’яза, огинає плечовий суглоб і прямує уздовж зовнішньої поверхні ноги до нігтьового ложа четвертого пальця стопи.

Згідно традиційній Чжень-цзю терапії обумовлює невралгічну біль.

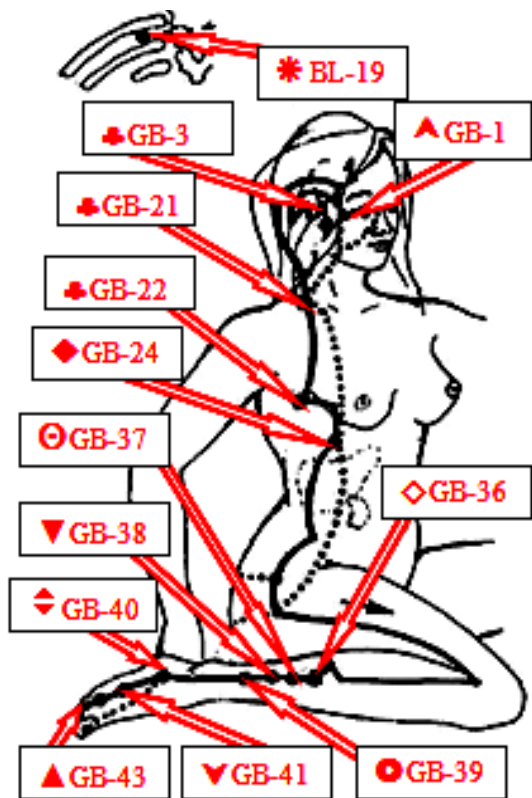
Згідно канонам "Функціональної вегетології" входить до першого комплексу (ФК-1=BL,GB,ST) і контролює його сим-патичну спрямованість...

**FVS GB – “Gall Bladder”.** Centrifugal, co-mbines 44 FAZs (88 from both sides). Begins at the exterior corner of the eye, runs through the temple and occipital area of the Trapezius muscle, binds the shoulder joint and goes along the exterior surface of a foot to the nail-bed of the fourth toe.

According to the traditional Zhen-tszyu, the treatment causes painful states of neuralgic character.

According to the canons of "Functional Vegeta -ology" is included in the first complex (FC-1=BL,GB,ST) and controls its sympathetic orientation ...





**GB-1 ▲Тун-цзи-ляо:** 0, 5 ц. НАЗОВНІ БОКОВОГО КУТКА ЗАПАДИНИ ОЧНИЦЬ (*TONGZILIAO: 0,5 cun lateral to the angulus oculi lateralis*).

**GB-21♣Цзян-цзін:** СЕРЕДИНА МІЖ АКРОМІОНОМ І НИЖНІМ КРАЄМ ОСТИСТОГО ПАРОСТКУ VII-ГО ШИЙНОГО ХРЕБЦЯ (*JIANJING: on the average distance between the acromion and the lower edge of spinous process of the VII cervical vertebra*).

**GB-22 (♣LU-PC-HT) Юань-с:** V-ТА МІЖРЕБРИНА СЕРЕДНЬОЇ ПІДПАХВИННОЇ ЛІНІЇ (*YUANYE: in V intercostal space amidst axillary line*).

**GB-36◇Вай-цю:** ГОРИЗОНТАЛЬНИЙ РІВЕНЬ GB-35, ПОПЕРЕДУ МАЛОГОМІЛКОВОЇ КІСТКИ (*WAIQIU: 7 cun above the malleolus lateralis in the posterior border of the fibula*).

**GB-37 ⊙Гуан-мін:** 5 ц. ВИЩЕ ЦЕНТРУ МАЛОГОМІЛКОВОЇ КОЛОДОЧКИ, ПО ПЕРЕДНЬОМУ КРАЮ МАЛОГОМІЛКОВОЇ КІСТКИ (*GUANGMING: 5 cun above the top of the malleolus lateralis on the anterior edge of the fibula*).

**GB-38 ▼Ян-фу:** 4 ц. ВИЩЕ ЦЕНТРУ МАЛОГОМІЛКОВОЇ КОЛОДОЧКИ ПО ПЕРЕДНЬОМУ КРАЮ МАЛОГОМІЛКОВОЇ КІСТКИ (*YANGFU: 4 cun above the top of the malleolus lateralis, on the anterior edge of the fibula*).

**GB-39 (⊙ST-GB-BL) Сюань-чжун:** На 3ц. ВИЩЕ ЦЕНТРУ МАЛОГОМІЛКОВОЇ КОЛОДОЧКИ, МІЖ МАЛОГОМІЛКОВОЮ КІСТКОЮ ТА СУХОЖИЛКОМ ІІ М'ЯЗІВ (*XUANZHONG: 3 cun above the top of the malleolus lateralis, on the anterior edge of the fibula*).

**GB-40 ◆Цю-сюй:** ПОПЕРЕДУ І ЗНИЗУ МАЛОГОМІЛКОВОЇ КОЛОДОЧКИ, В ЗАГЛИБЛЕННІ ЗОВНІШНЬОГО КРАЮ СУХОЖИЛКУ ДОВГОГО РОЗГИНАЧА ПАЛЬЦІВ (*GIUXU: in front and below of the lateral malleolus, in the recess, at the external edge of the tendon of long extensor muscle of toes*).

**GB-41 ▼Цзу-лїнь-ці:** ВЕРХНІЙ КУТ МІЖ IV-V-М ПЛЕСНЯКАМИ (*ZULINQI: in the pit anterior to the junction of the ossa metatarsal IV-V*).

**GB-43 ▲Ся-сі:** ЗАПАДИНА МІЖ V-VI ПЛЕСНО ФАЛАНГОВИМ СУГЛОБОМ (*XIAXI: on the crevice between the IV and V metatarsophalangeal articulations of toes*).

**GB-3 (♣GB, TE- ST-LI) Шан-гуань:** НАД ЦЕНТРОМ ВЕРХНЬОГО КРАЮ ВИЛИЧНОЇ КІСТКИ (*SHANGGUAN: at the upper edge of malar arch, over its central part*).

**BL-19 \*Дань-шу:** 1,5 цуня НАЗОВНІ ОСТИСТОГО ПАРОСТКУ X-ГО ГРУДНОГО ХРЕБЦЯ (*DANSHU: 1,5 cun outwards from the lower edge of spinous process of X thoracic vertebra*).

ТОПОГРАФІЯ СТАНДАРТНИХ ФАЗ КАНАЛУ ST	LOCATION OF STANDARD FAZ OF THE CHANNEL ST
--------------------------------------	--

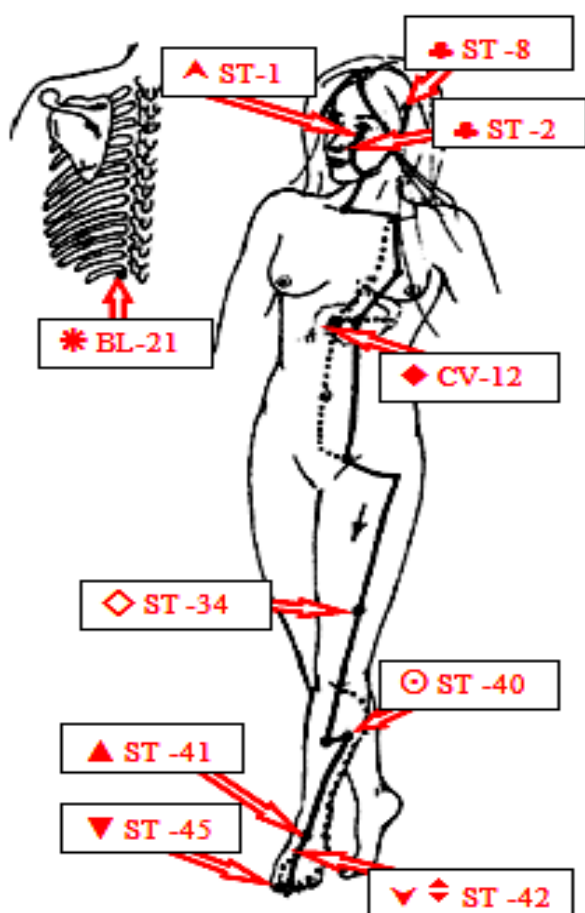
ФВС ST–“Шлунок”. Відцентровий, об’єднує 45 ВАЗ (90 з обох боків). Починається у носо-губної складки, йде уздовж нижньої щелепи до скроневої області, повертається до нижньої щелепи, проходить через ключицю і по со-

FVS ST – “Stomach”. Centrifugal, combines 34 FAZs (90 from both sides). Begins at the nasolabial fold, runs along the lower jaw to the temporal region, returns to the lower jaw, goes through collar bone and through the mammary line, then through navel to the huckle

сковій лінії через пупок до області стегна. Йде по передній поверхні гомілки, закінчуючись у зовнішнього краю нігтя другого пальця стопи.

Згідно традиційній Чжень-цзю терапії обумовлює розлад шлунково-кишкового тракту, судоми лицьових м'язів (тик) і болями в м'язах шиї.

Згідно канонам "Функціональної вегетології" входить до першого комплексу (ФК-1=BL,GB,ST) і контролює його сим-патичну спрямованість...



**ST-42** ▼ ◆ **Чун-ян:** між суглобами II і III-ї клинчастих кісток та II-III-го плесня-ків (*CHONGYANG: on the upper rear area of foot, between the joints of II-III cuneiform and II-III metatarsal bones*).

**ST-45** ▼ **Лі-дуй:** на 0,3 см. зовні коріння нігтя II-го пальця стопи (*LIDUI: on the distal phalanx of the II-nd toe, 0,3 cm. towards the outside of nail root*).

**ST-8** (♣ **ТЕ-ЛІ-СІ**) **Тоу-вей:** 0,5 цуня позаду лобного кута волосистої частини голови, в западині з'єднання лобної та тім'яної кісток (*TOUWEI: 0,5 cun backward from the frontal angle of hair part of head, in the pit, formed by the joining of the frontal and parietal bones*).

**CV-12** **Чжун-вань** ◆: на 4 цуня вище пупка по передній серединній лінії (*GUANYUAN ◆: 4 cun higher from navel through front medial line*).

**BL-21** \* **Вей-шу:** на 1,5 цуня на-зовні від нижнього краю остистого процесу XII-го грудного хребця (*WEISHU: 1,5 cun towards the outside of the lower edge of the spinous process XII of thoracic vertebra*).

region. Runs along the front surface of the sign, ending at the external edge of the second toe.

According to the traditional Zhen-tszyu therapy, the treatment causes disorder of the gastrointestinal tract, secondary spasms of the facial muscles (trembling) and pain in jugular region.

According to the canons of "Functional Vegeta -ology" is included in the first complex (FC-1=BL,GB,ST) and controls its sympathetic orientation ...

**ST-1** ▲ **Чен-ці:** область нижньої повіки, між очним яблуком і серединою нижнього краю очниці (*CHENGQI: In the area of the inferior eyelid, between eyeball and the midst of the lower eye-pit edge*).

**ST-2** (♣ **ST-BL-GB**) **Си-бай:** у впадині підочного отвору, під ST-1 (*SIBAI: under the point ST-1, in the valley of supraorbital incisurae*).

**ST-34** ◇ **Лян-цю:** на 2 ц. вище верхнього бокового краю накліника, в заглибленні бокового краю прямого м'язу стегна (*LIANGQIU: 2 cun higher from the upper side edge of the kneecap, in the pit from the side edge of rectus muscle of thigh*).

**ST-40** ⊙ **Фен-лун:** на 8 ц. вище центру велико-гомілкової колодошки, передній край малогомілкової кістки (*FENGLONG: 8 cun higher from the center of lateral malleolus, at the front edge of calf bone*).

**ST-41** ▲ **Цзе-сі:** тильна поверхня стопи, западина між сухожилками довгих розгиначів великого та інших пальців (*JIEXI: on the rear side foot side, in the pit between the tendon of long flexor muscle of first toes and long flexor muscle of toes*).

ФВС SP – “Селезінка–підшлункова залоза”. Доцентровий, об’єднує 21 ФАЗ (всього – 42 з обох боків). Починається на зовнішній верхній області фаланги великого пальця стопи, проходить уздовж внутрішньої сторони ноги, повз пупок, по кривій лінії повз соска і закінчується в другому міжреберному просторі.

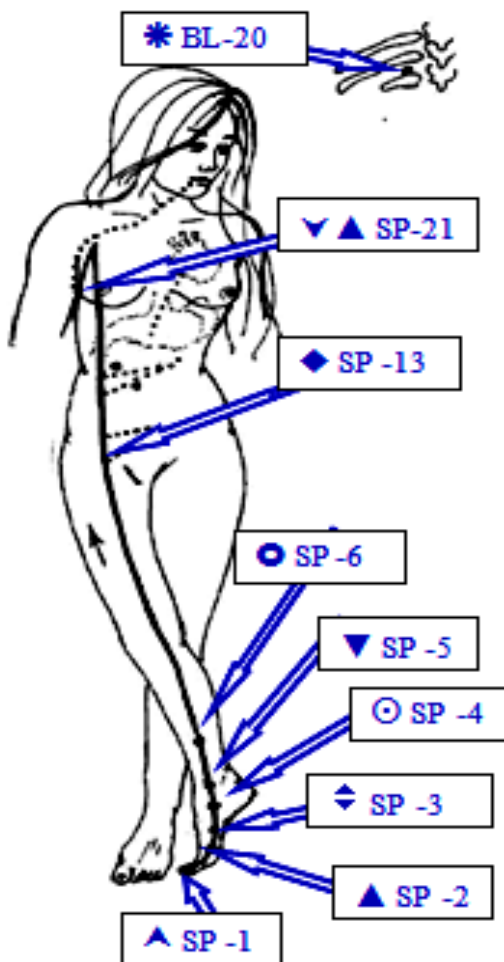
Згідно традиційній Чжень-цзю терапії обумовлює порушення травлення та вмісту цукру в організмі, темпераменту і схильністю до алергії і судом.

Згідно канонам "Функціональної вегетології" входить до другого комплексу (ФК-2=SP,LR,KI) і забезпечує його парасимпатичну спрямованість...

FVS SP – “Spleen-Pancreas”. Centripetal, combines 21 FAZs (in total – 42 on both sides). Begins at the exterior surface of the big toe phalanx area, runs along the interior side of the foot, past navel, through the curved line past mamma and ends in the second intercostal space.

According to the traditional Zhen-tszyu therapy, the treatment causes digestinal and blood sugar level disorders, temperament and disposition towards allergies and spasms.

According to the canons of "Functional Vegetology" is included in the second complex (FC-2=SP, LR, KI) and provides its para-sympathetic orientation ...



**BL-20 \*Пі-шу:** НА 1,5Ц. ЗОВНІ ВІД НИЖНЬОГО КРАЮ ОСТИСТОГО ПАРОСТКУ ХІ-ГО ГРУДНОГО ХРЕБЦЯ (**PISHU:** 1,5 cun towards outside of the lower edge of the spinous process XI of thoracic vertebra).

**SP-1▲ Інь-бай:** ТИЛЬНА СТОРОНА ДИСТАЛЬНОЇ ФАЛАНГИ І-ГО ПАЛЬЦЯ СТУПНІ, 0,3 СМ ВСЕРЕДИНУ ВІД КОРИННЯ НІГТЯ (**YINBAI:** on the rear side of distal phalanx of the 1-st toe, 0,3 cm to the midst from the nail root).

**SP-2▲ Да-ду:** СПЕРЕДУ І ЗНИЗУ ПЛЕЧНО-ФАЛАНГОВОГО СУГЛОБУ, МЕДІАЛЬНИЙ КРАЙ І-ГО ПАЛЬЦЯ СТОПИ, В ЗАПАДИНІ (**DADU:** on the medial edge of the 1-st toe, in the pit towards the front and back side from metatarsophalangeal articulation).

**SP-3◆ Тай-бай:** МЕДІАЛЬНИЙ КРАЙ СТУПНІ, ЗАГЛИБИНА ПО-ЗАДУ І ЗНИЗУ ГОЛОВКИ І-ГО ПЛЕСНЯКА (**TAI-BAI:** on medial edge, in the recess, behind and below the head of I metatarsal bone).

**SP-4◎ Гун-сунь:** МЕДІАЛЬНИЙ КРАЙ СТУПНІ, ЗАГЛИБИНА ПЕРЕДНЬО-НИЖНЬОГО КРАЮ ОСНОВИ І-ГО ПЛЕСНЯКА (**GONGSUN:** on the medial foot edge, in the pit of the front-inferior basis edge of I instep bone).

**SP-6 (ORP-F-R) Сань-інь-цзяо:** БІЛЯ ЗАДНЬОГО КРАЮ ВЕЛИКОМІЛКОВОЇ КІСТКИ, НА 3Ц. ВИЩЕ ЦЕНТРУ ВЕЛИКОМІЛКОВОЇ КОЛОДОЧКИ (**SANYIN-JIAO:** at the medial edge of shin bone, 3 cun higher from the center of the medial malleolus).

**SP-5▼ Шан-цю:** ПЕРЕХРЕСТЯ ГОРИЗОНТАЛІ ПІД НИЖНІМ КРАЄМ ВЕЛИКОМІЛКОВОЇ КОЛОДОЧКИ І ВЕРТИКАЛІ, ПРОВЕДЕНОЇ ЧЕРЕЗ ЇЇ ПЕРЕДНІЙ КРАЙ (**SHANGQIU:** in the pit on the midst between the center of medial malleolus and the tuberosity of

navicular bone (or in the crossing of the horizontal line under the lower edge of medial malleolus and the vertical line of its front edge).

**SP-21** ▼ ▲ **ДА-БАО**: в VII-й міжребрині по середній під пахвинній лінії (**ДАВАО**: in VII intercostal space along the medial axilla line).

ТОПОГРАФІЯ СТАНДАРТНИХ ФАЗ КАНАЛУ LR	LOCATION OF STANDARD FAZ OF THE CHANNEL LR
--------------------------------------	--

ФВС LR–“Печінка”. Доцентровий, об’єднує 14 ФАЗ (28 з обох боків). Починається між великим і другим пальцями стопи, переходить на внутрішню поверхню гомілки і стегна, проходить через пах і сечовий міхур, торкається неправдивих ребер і закінчується у сооска.

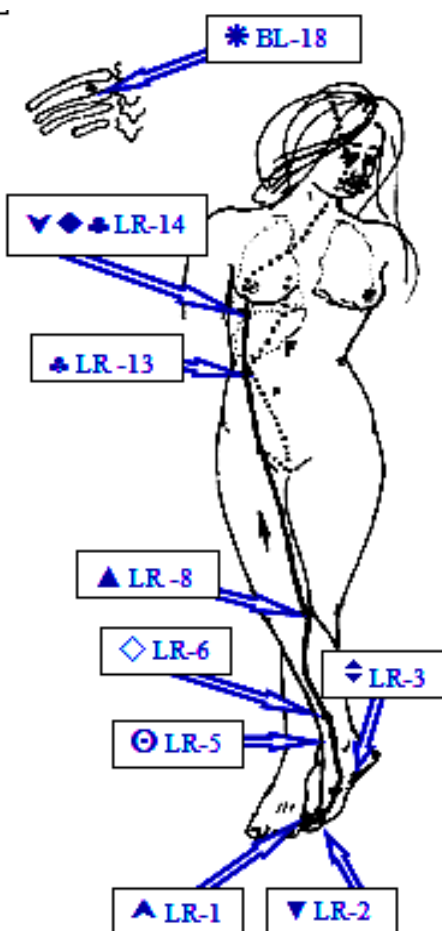
Згідно традиційній Чжень-цзю терапії обумовлює вегетативні симптоми втоми, пухлину печінки, розлад кишечника і вторинні прояви (жовтяниця, дерматози, головні і суглобові болі).

Згідно канонам "Функціональної вегетології" входить до другого комплексу (ФК-2=SP,LR,KI) і забезпечує його парасимпатичну спрямованість...

FVS LR – “Liver”. Centripetal, combines 14 FAZs (28 from both sides). Begins between the big and the second toes, runs goes to the internal surface of the shin and hip, goes through the groin and the urinary bladder, touches asternal ribs and ends at mammilla.

According to the traditional Zhen-tszyu therapy, the treatment causes vegetative symptoms of tiredness, tumor of liver, disorder of intestines and secondary symptoms (jaundice, dermatosis, headache and articular pain).

According to the canons of "Functional Vegetology" is included in the second complex (FC-2=SP,LR,KI) and provides its para-sympathetic orientation ...



**LR-1** ▲ **ДА-ДУНЬ**: тильна поверхня дистальної фаланги 1-го пальця ступні, 3 мм зовні кутка коріння нігтя (**ДАДУН**: on the lateral aspect of the dorsum phalanx of the 1 toe, 3 mm from the exterior corner of nail root).

**LR-2** ▼ **СІН-ЦЗЯНЬ**: тильна поверхня ступні, в западині між I-II плесно-фаланговим суглобами, 0,5 ц. вище краю поміж пальцевої перетинки (**ХІНГІАН**: on the web between the I and II toes).

**LR-3** ◆ **ТАЙ-ЧУН**: тильна поверхня ступні, саме вузьке місце вверху між I-II плесняками (**ТАЙ-ЧОНГ**: on the dorsal surface of foot, in the most narrow area between I-II metatarsal bones).

**LR-5** ○ **ЛІ-ГОУ**: внутрішня поверхня гомілки, задній край великогомілкової кістки, 5 ц. від центру великогомілкової колодочки (**ЛІГОУ**: 5 cun above the malleolus medialis, on the medial surface of the tibia near the medial edge).

**LR-6** ◇ **ЧЖУН-ДУ**: медіальний край великогомілкової кістки, 7 ц. від центру великогомілкової колодочки (**ЖОНГДУ**: 7 cun above the malleolus medialis).

**LR-8** ▲ **ЦЮЙ-ЦЮАНЬ**: медіальний кінець підколінної складки. при визначенні нога зігнута в колінному суглобі (**ЦЮАНЬ**: in the pit at the medial end of the transverse fold of the articulation genus with flexed knee).

**LR-13♣ GB ЧЖАН-МЕНЬ:** НИЖНІЙ КРАЙ ВІЛЬНОГО КІНЦЯ ХІ-ГО РЕБРА (*HANG-MEN: at the lower edge of the free end of the XI rib*).

**LR-14▼◆ (♣GB-ST-SP) ЦІ-МЕНЬ:** В VI МІЖРЕБРІНІ ПО СЕРЕДНЬО КЛЮЧИЧНІЙ ЛІНІЇ (*QIMEN: in the VI intercostal space amidst the clavicular line*).

**BL-18\* ГАНЬ-ШУ:** 1,5 ЦУНЯ ЗОВНІ ОСТИСТОГО ПАРОСТКУ ІХ-ГО ГРУДНОГО ХРЕБЦЯ (*GANSHU: 1,5 cun lateral to the lower edge of the processus spinous of the IX-th thoracic vertebra*).

ТОПОГРАФІЯ СТАНДАРТНИХ ФАЗ  
КАНАЛУ КІ

LOCATION OF STANDARD FAZ  
OF THE CHANNEL КІ

ФВС КІ–“Нирки”. Доцентровий, об’єднує 27 ФАЗ (54 з обох боків). Починається в центрі підшви, проходить по внутрішній стороні стопи і стегна, піднімаючись до області сечового міхура, звідти через пупок і грудику і закінчується в підключичній ямці.

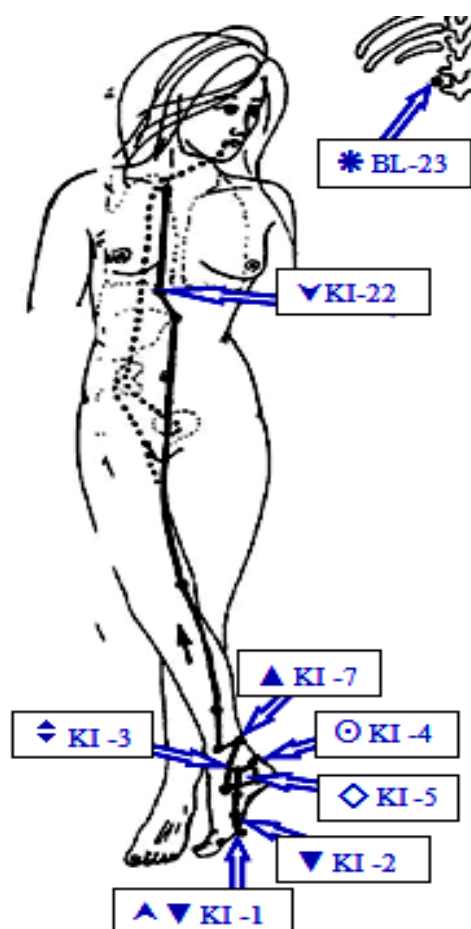
Згідно традиційній Чжень-цзю терапії обумовлює порушення ниркового і серцевого кровообігу, схильність до неврастенії і епілепсії.

Згідно канонам "Функціональної вегетології" входить до другого комплексу (ФК-2=SP,LR,КІ) і забезпечує його парасимпатичну спрямованість...

FVS КІ – “Kidneys”. Centripetal, combines 27 FAZs (in total – 54 on both sides). Begins at the center of the sole, runs through the interior side of the foot and hip, going up to the area of the urinary bladder, then through the navel and chest, and ends in the subclavian artery.

According to the traditional Zhenzuyu therapy, the treatment causes disorders of renal and cardiac blood circulation, disposition towards neurasthenia and epilepsy.

According to the canons of "Functional Vegetology" is included in the second complex (FC-2=SP,LR,КІ) and provides its para-sympathetic orientation ...



**КІ-2▼ ЖАНЬ-ГУ:** МЕДІАЛЬНА СТОРОНА СТОПИ, ЗАПАДИНА СПЕРЕДУ І ЗНИЗУ ГОРБКУВАТОСТІ ЧОВНОВИДНОЇ КІСТКИ (*RANGU: in the pit at the lower edge of the tuberositas ossis navicularis*).

**КІ-3◆ ТАЙ-СІ:** ПОСЕРЕДИНІ ПОМІЖ П’ЯТКОВИМ СУХОЖИЛКОМ І ВЕЛИКОГОМІЛКОВОЮ КОЛОДОЧКОЮ НА РІВНІ ЇЇ ЦЕНТРУ (*TAIXI: in the middle of horizontal distance between heel string and medial malleolus (in centre of it)*).

**КІ-4◎ ДА-ЧЖУН:** В ЗАПАДИНІ КРІПЛЕННЯ П’ЯТКОВОГО СУХОЖИЛКУ ДО П’ЯТКОВОЇ КІСТКИ (*DAZHONG: in the pit, where Achilles tendon is connected with the heel bone*).

**КІ-5◇ ШУЙ-ЦЮАНЬ:** 1 Ц. НИЖЧЕ ЗОНИ R-3, В ЗАПАДИНІ БІЛЯ МЕДІАЛЬНОГО ПАРОСТКУ БУГРА П’ЯТКОВОЇ КІСТКИ (*SUIQUAN: 1 cun below the zone R-3, in the pit near the medial process of calcanean tuber*).

**КІ-7▲ ФУ-ЛЮ:** 2 Ц. ВИЩЕ ЦЕНТРУ ВЕЛИКО-ГОМІЛКОВОЇ КОЛОДОЧКИ, ПО ПЕРЕДНЬОМУ КРАЮ АХІЛЛОВОГО СУХОЖИЛКУ (*FULIU: 2 cun above the center of medial malleolus, along the front edge of Achilles tendon*).

**KI-22** ▼ **БУ-ЛАН:** 2 Ц. ЗОВНІ ПЕРЕДНЬОЇ СЕРЕДИННОЇ ЛІНІЇ, В V-Й МІЖРЕБРИНІ (*BULANG: 2 cun lateral to the front medial line in the intercostal space*).

**BL-23** **ШЕНЬ-ШУ \***: 1,5 ЦУНЯ ЗОВНІ ОСТИСТОГО ПАРОСТКУ II-ГО ПОПЕРЕКОВОГО ХРЕБЦЯ (*SHENSHU \*: 1,5 cun entoleted from the lower edge of the spinous process of the II lumbar vertebra*).

ТОПОГРАФІЯ СТАНДАРТНИХ ФАЗ КАНАЛУ SI	LOCATION OF STANDARD FAZ OF THE CHANNEL SI
--------------------------------------	--

**ФВС SI** – “Тонкий кишковик”. Доцентровий, об’єднує 19 ФАЗ (38 з обох боків). Зовнішній хід починається від нігтьової пластинки мизинця, проходить по задній поверхні передпліччя уздовж ліктьової кістки до плечового суглоба, піднімається ззаду кута нижньої щелепи до вилицюватої дуги та зовнішнього кута ока і закінчується у вушного козелка.

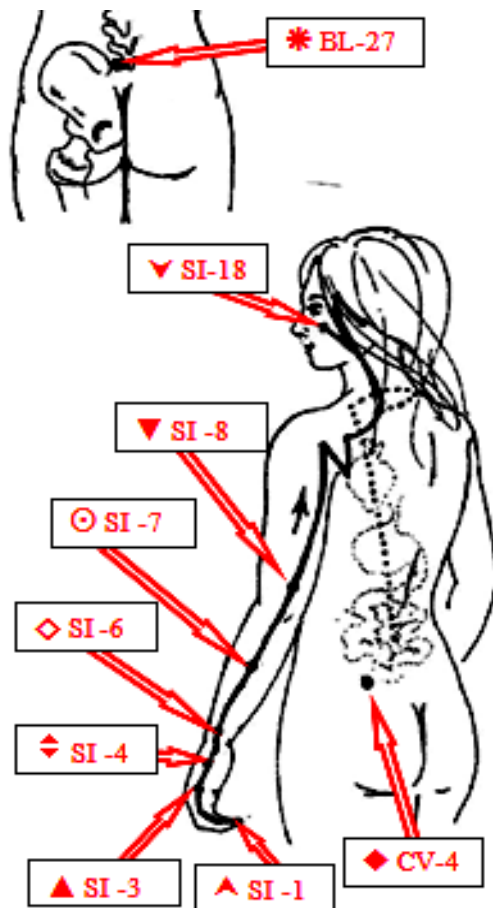
Згідно традиційній Чжень-цзю терапії обумовлює стан тонкого кишковика, функціональні розлади шлунку і серця, має відношення до неврастенії, психозу, паркінсонізму і епілепсії.

Згідно канонам "Функціональної вегетології" входить до третього комплексу (ФК-3=SI,TE,LI) і підтримує його симпатичну спрямованість...

**FVS SI** – “Small intestine”. Centripetal, combines 19 FAZs (38 from both sides). The exterior path begins at the nail plate of the small finger, goes through the posterior surface of forearm along the ulnar bone to the shoulder joint, goes up on the posterior side of the corner of the lower jaw to the cheek arch and the exterior corner of the eye and ends at the antilobium.

According to the traditional Zhen-tszyu therapy, the treatment causes the state of the small intestine, functional disorders of stomach and heart, has relation to neurasthenia, psychosis, Parkinson disease and epilepsy.

According to the canons of "Functional Vegetology", it enters the third complex (FC-3=SI,TE,LI) and supports its sympathetic orientation ...



**SI-1** ▲ **ШАО-ЦЗЕ:** ДИСТАЛЬНА ФАЛАНГА V-ГО ПАЛЬЦЯ ДОЛОНІ, 3 ММ ЗОВНІ ВІД КОРИННЯ НІГТЯ (*SHAOZE: on the distal phalanx of the V-th finger, 3 mm towards the outside of nail root*).

**SI-3** ▲ **ХОУ-СІ:** ЛІКТЬОВИЙ КРАЙ ДОЛОНІ, В ЗАПАДИНІ ЗА ДИСТАЛЬНОЮ ГОЛОВКОЮ V-ї П'ЯСТКОВОЇ КІСТКИ (*HOUXI: on the ulnar edge of the caput of os metacarpale V, in the depression of the end of the palmar transverse fold*).

**SI-4** ◆ **ВАНЬ-ГУ:** ЛІКТЬОВИЙ КРАЙ ДОЛОНІ, ПРОМІЖОК МІЖ ОСНОВОЮ V-ї П'ЯСТКОВОЇ КІСТКИ І КІСТКАМИ ЗАП'ЯСТКА (*WANGU: on ulnar palmar edge, between the base of V metacarpal bone and wrist bones*).

**SI-6** ◆ **ЯН-ЛАО:** НАД ШИЛОВИДНИМ ПАРОСТКОМ ГОЛОВКИ ЛІКТЬОВОЇ КІСТКИ, МІЖ СУХОЖИЛКАМИ ЛІКТЬОВОГО РОЗГИНАЧА ЗАП'ЯСТКА І РОЗГИНАЧА МІЗИНЦЯ (*YANGLAO: over styloid process of ulna, between ulnar extensor muscle of wrist tendons and the extensor of the little finger*).

**SI-7** ◎ **ЧЖІ-ЧЖЕН:** 5 Ц. ВИЩЕ ПРОМЕНЕВО-ЗАП'ЯСТКОВОГО СУГЛОБУ, НА ЛІНІЇ ЗОН SI-5 ТА SI-8 (*ZHIZHENG: 5 cun higher from wrist joint, on the line of zones SI-5 and SI-8*).

**SI-8 ▼ Сяо-хай:** ЛІКТЬОВА БОРОЗНА МІЖ ВНУТРІШНЬОЮ КОЛОДОЧКОЮ ПЛЕЧА І ЛІКТЬОВИМ ПАРОСТКОМ ЛІКТЬОВОЇ КІСТКИ (*XIAOHAI: in ulnar pit between internal epicondyle of humeral bone and olecranon of ulnar bone*).

**SI-18 ▼ Цюан-ляо:** ЗАПАДИНА НИЖНЬОГО КРАЮ ВИЛИЧНОЇ КІСТКИ, ПО ВЕРТИКАЛЬНІЙ ЛІНІЇ ВІД ЗОВНІШНЬОГО КУТКА ОКА (*QUANLIAO: in the pit of the lower edge of zygomatic bone, along the vertical line from external eye angle*).

**CV-4 ◆ Гуань-юань:** ПЕРЕДНЯ СЕРЕДИННА ЛІНІЯ, 3Ц. НИЖЧЕ ПУПКА (*GUANYUAN: front medial line, 3 cun down from navel*).

**BL-27 \*Сяо-чан-шу:** 1,5 ЦУНЯ ЗОВНІ ЗАДНЬОЇ СЕРЕДИННОЇ ЛІНІЇ, В ЗАПАДИНІ МІЖ КУПРИКОМ І ВЕРХНІМ ВНУТРІШНІМ КРАЄМ КУБОВИДНОГО ГРЕБНЯ (*XIAOCHANGSHU: 1,5 cun towards outside from the rear medial line, on the level of the first dorsal sacral foramen, in the pit between internal edge of upper rear hipbone and sacrum*).

ТОПОГРАФІЯ СТАНДАРТНИХ ФАЗ КАНАЛУ ТЕ	LOCATION OF STANDARD FAZ OF THE CHANNEL TE
--------------------------------------	--

**ФВС ТЕ – “Трійний обігрівач – лімфатична система”.** Доцентровий, об’єднує 23 ФАЗ. Починається над нігтем безіменного пальця, йде по задній поверхні руки до ключиці і скроневої кістки, огинає вухо, опускається до нижньої щелепи і закінчується у зовнішнього краю ока.

Складається з нижнього, центрального і верхнього відрізків (обігрівачів). Верхній контролює дихання, центральний – травлення, нижній – сечостатеву систему і біохімічний стан організму. Згідно традиційній Чжень-цзю терапії обумовлює порушення дихання, судоми, глухоту і невралгії.

Згідно канонам "Функціональної вегетології" входить до третього комплексу (ФК-3=SI,TE,LI) і підтримує його симпатичну спрямованість...

**FVS TE – “Triple energizer – lymphatic system”.** Centripetal, combines 23 FAZs (46 from both sides). Begins over the nail of the ring finger, runs along the posterior side of hand to the collar bone and temporal bone, binds ear, goes down to the lower jaw and ends on the exterior edge of the eye.

Composed of the inferior, central and superior segments (energizers). The superior segment controls breathing, central controls digestion, and the inferior controls urogenital system and biochemical state of the organism. According to the traditional Zhen-tszyu therapy, the treatment causes disorders of breathing, spasms, deafness and neuralgias.

According to the canons of "Functional Vegetology", it enters the third complex (FC-3=SI,TE,LI) and supports its sympathetic orientation ...

**ТЕ-1▲ Гуань-чун:** 0,3 см від кута ліктьового краю нігтьового коріння IV-го пальця (*GUANCHONG: 0,3 cm interior (to the ulnar side) from the nail root of the IV finger*).

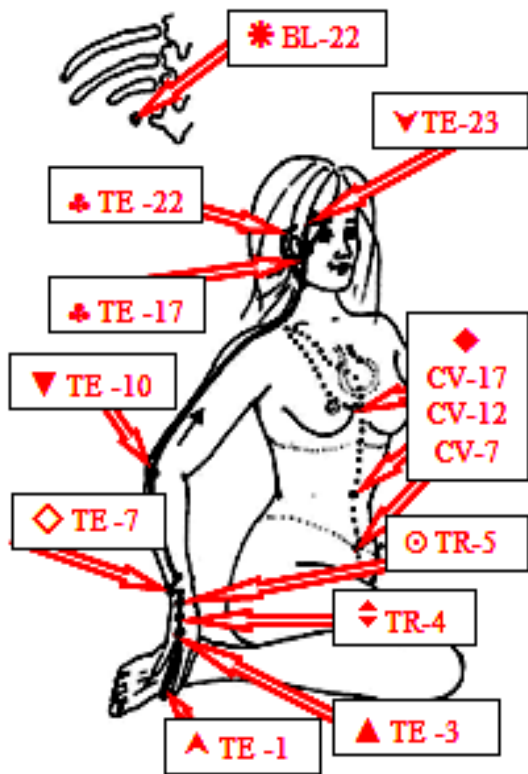
**ТЕ-3▲ Чжун-чжу:** ТИЛ ДОЛОНІ МІЖ IV-V П’ЯСТКОВИМИ КІСТКАМИ, В ЗАПАДИНІ ПОЗАДУ ГОЛОВКИ IV-ї КІСТКИ (*ZHONGZHU: on the rear surface of palm between the IV-V metacarpal bones, in the pit backwards from the IV bone*).

**ТЕ-4◆ Ян-чи:** ТИЛЬНА ПОВЕРХНЯ ЗАП’ЯСТКОВОГО СУГЛОБУ, ЗАПАДИНА МІЖ СУХОЖИЛКАМИ РОЗГИНАЧІВ ПАЛЬЦІВ І V-ГО ПАЛЬЦЯ (*YANG-CHI: on dorsal surface of wrist joint, in the recess between tendons of extensor muscle of fingers and extensor muscle of V finger*).

**ТЕ-5○ Вай-гуань:** 2Ц. ВИЩЕ ЗАП’ЯСТКОВОГО СУГЛОБУ, ВНУТРІШНЯ ПОВЕРХНЯ МІЖ ПРОМЕНЕВОЮ І ЛІКТЬОВОЮ КІСТКАМИ (*WAIGUAN: 2 cun above the transverse fold of dorsum of wrist between the radius and the ulna*).

**ТЕ-7◇ Хуей-цзун:** НА ГОРИЗОНТАЛЬНІЙ ЛІНІЇ ВІД TR-6, ПРОМЕНЕВИЙ КРАЙ ЛІКТЬОВОЇ КІСТКИ (*HUIZONG: on the horizontal level of the point TE-6, at the radial edge of ulnar bone*).

**ТЕ-8(○ LI-TE-SI) Сань-ян-ло:** 4Ц. ВИЩЕ ЗАП’ЯСТКОВОГО СУГЛОБУ, МІЖ ПРОМЕНЕВОЮ І ЛІКТЬОВОЮ КІСТКАМИ, НА ВНУТРІШНІЙ ПОВЕРХНІ (*SANYANGLUO: 4 cun superior of wrist joint, between radial and ulnar bones on the rear surface of forearm*).



ТОПОГРАФІЯ СТАНДАРТНИХ ФАЗ  
КАНАЛУ LI

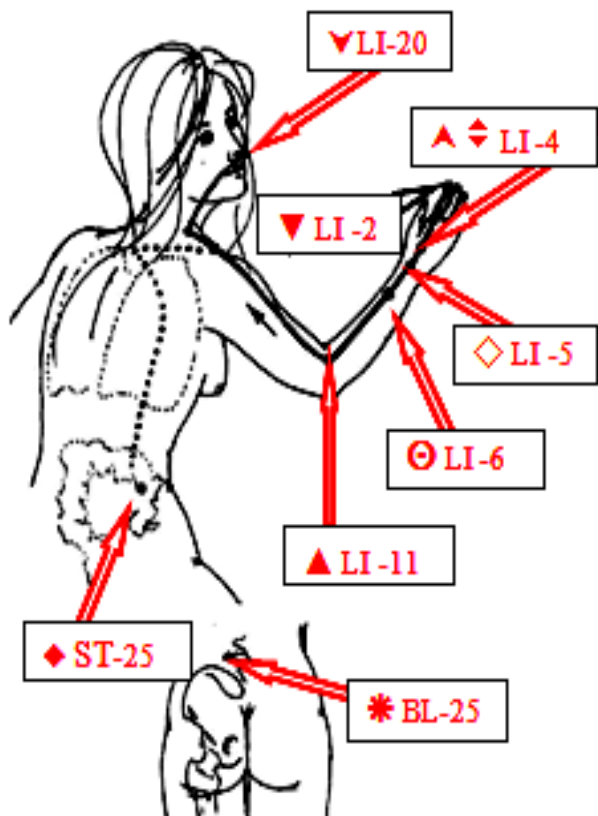
**TE-10 ▼ Тянь-цзин:** 1 ц. вище ліктьового паростку ліктьової кистки (*TIANJING: superior to the olecranon, in the pit, when the elbow is flexed.*)

**TE-17 (♣ GB-TE) І-Фен:** між пупко-видним паростком (позаду мочки вуха) і глікою нижньої щелепи (*YIFENG: posterior to the lower edge of the lobulus auriculae in the pit of antero-inferior to the processus mastoideus.*)

**TE-23 ▼ Си-чжу-кун:** кінець брів, латеральний край виличного паростку лобної кістки (*SIZHUKONG: in the pit lateral to the lateral tip of the supercilium.*)

**BL-22\* Сань-цзяо-шу:** 1,5 цуня зовні остистого паростка I-го поперекового хребця (*SANJIAOSHU: 1,5 cun lateral to the lower edge of the processus spinosus of the 1st lumbar vertebra.*)

LOCATION OF STANDARD FAZ  
OF THE CHANNEL LI



**LI-2 ▼ Ер-цзянь:** променевий край вказівного пальця, в западині вище п'ястково-фалангового суглобу (*ERJIAN: at the radial edge of the forefinger, in the pit higher of metacarpophalangeal articulation.*)

**LI-4 ▲ ◆ Хе-гу:** проміжок між I-II п'ястковими кістками, ближче до променевого краю II-ї п'ясткової кістки (*HEGU: in the space between I-II metacarpal bones, closer to the radial edge of the II metacarpal bone.*)

**LI-5 ◆ Ян-сі:** променевий край зап'ястка, між сухожилками короткого і довгого розгинача великого пальця. центр анатомічної табакерки (*YANGXI: at radial edge of wrist joint, between tendons of short and long extensor muscles of thumb (in the centre of anatomic snuffbox).*)

**LI-6 ⊙ Пянь-лі:** тильна поверхня променевої кістки, на 3 ц. вище GI-5. якщо схрестити долоні, точка опиниться під кінчиком середнього пальця (*PIANLI: on the rear surface of the radial bone, 3 cun higher of GI-5 (if to cross palms, the point would be under the long finger tip).*)



**LI-11 ▲ Цюй-чи:** МЕДІАЛЬНИЙ КІНЕЦЬ ЛІКТЬОВОЇ СКЛАДКИ, ПРИ ЗГІНАННІ ЛІКТЬОВОГО СУГЛОБУ (*QUCHI: on the average distance between external epicondyle of humerus and radial edge of the skin fold of the elbow crease (during bending of the elbow joint).*)

**LI-20 ▼ Інь-сян:** НОСО-ГУБНА СКЛАДКА, 0,5 ЦУНЯ ЗОВНІ ЦЕНТРУ НОСОВОГО КРИЛА (*YINGXIANG : In the nasolabial fold 0,5 cun outside of the wing of nose center).*)

**BL-25 \* Да-чан-шу:** НА 1,5 Ц. ЗОВНІ НИЖНЬОГО КРАЮ ОСТИСТОГО ПАРОСТКУ IV-ГО ПОПЕРЕКОВОГО ХРЕБЦЯ (*DACHANGSHU: 1,5 cun outside of the lower edge of spinous process of IV lumbar vertebra).*)

**ST-25 ♦ Тянь-шу:** НА РІВНІ ПУПКА, 2Ц. НАЗОВНІ ВІД ПЕРЕДНЬОЇ СЕРЕДИННОЇ ЛІНІЇ (*TIANSHU: on the navel level, 2 cun outside of the front medial line).*)

**ФВС LI – “Товстий кишковик”.** Доцентровий, об’єднує 20 ФАЗ (28 з обох боків). Починається на зовнішній стороні верхньої фаланги вказівного пальця, біля кута нігтьового ложа, проходить уздовж зовнішньої, вентральної сторони руки до ключиці, торкається верхніх шийних хребців, повертається до ключиці ближче до грудної кістки. Проходить через нижню щелепу і куточок рота до протилежної носо-губної складки і закінчується

Згідно традиційній Чжень-цзю терапії обумовлює захворювання товстого кишковика, зубів і ясен, астматичні скарги і шкірні хвороби.

Згідно канонам "Функціональної вегетології" входить до третього комплексу (ФК-3=SI,TE,LI) і підтримує його симпатичну спрямованість...

**FVS LI – “Large intestine”.** Centripetal, combines 20 FAZs (40 from both sides). Begins at the exterior side of the upper phalanx of the forefinger, near the corner of the nail-bed, goes along the exterior ventral side of the arm up to the collarbone, touches upper cervical vertebrae, returns to collarbone closer to the chest bone. Passes through the lower jaw in the mouth corner to the opposite nasolabial fold and ends.

According to the traditional Zhenzsyu therapy, the treatment causes diseases of the large intestine, teeth and gums, asthma and skin diseases.

According to the canons of "Functional Vegetology", it enters the third complex (FC-3=SI,TE,LI) and supports its sympathetic orientation ...

<p>ТОПОГРАФІЯ СТАНДАРТНИХ ФАЗ КАНАЛУ LU</p>	<p>LOCATION OF STANDARD FAZ OF THE CHANNEL LU</p>
---	---

**ФВС LU – “Легені”.** Відцентровий, об’єднує 11 ФАЗ (22 з обох боків). Починається біля пахви між другим і третім ребрами, проходить уздовж внутрішньої сторони плеча та передпліччя і закінчується на внутрішній стороні великого пальця руки.

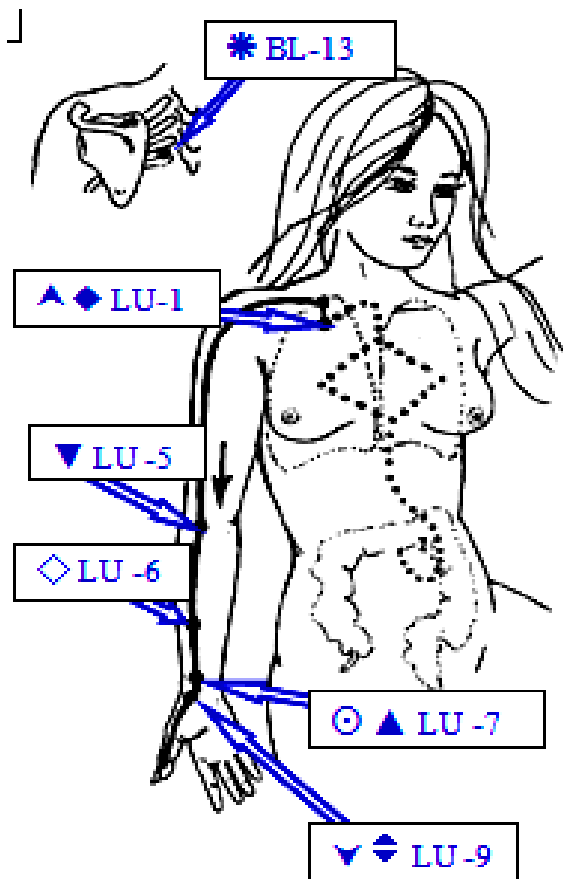
Згідно традиційній Чжень-цзю терапії обумовлює функціональні порушення дихальної системи і ускладнення хвороб серця, носа і очей.

Згідно канонам "Функціональної вегетології" входить до четвертого комплексу (ФК-4=LU,PC,HT) і підтримує його парасимпатичну спрямованість...

**FVS LU – “Lungs”.** Centrifugal, combines 11 FAZs (22 from both sides). Begins near the armpit between the second and the third ribs, goes along the interior side of the shoulder and forearm, and ends on the interior side of the big finger.

According to the traditional Zhenzsyu therapy, the treatment causes functional dis-orders of the respiratory system and complication of heart diseases, diseases of nose and eyes.

According to the canons of "Functional Vegetology", it is included in the fourth complex (FC-4=LU,PC,HT) and supports its parasympathetic orientation ...



**LU-1▲◆♣ ЧЖУН-ФУ:** ПІДКЛЮЧИЧНА ЯМКА, 6Ц. НАЗОВНІ ВІД ПЕРЕДНЬОЇ СЕРЕДИННОЇ ЛІНІЇ НА РІВНІ I-Ї МІЖРЕБРИНИ (*ZHONGFU: in subclavian pit, 6 cun outside of the front medial line on the level of I-st intercostal space*).

**LU-5▼ ЧІ-ЦЗЕ:** НА СКЛАДЦІ ЛІКТЬОВОГО ЗГИНУ. ПРОМЕНЕВИЙ КРАЙ СУХОЖИЛКА ДВОГОЛОВОГО М'ЯЗУ ПЛЕЧА (*CHIZE: in the fold of cubital crease at the radial edge of tendon of biceps muscle of arm*).

**LU-6◇ КУН-ЦЗУЙ:** НА ЛІНІЇ ПОМІЖ ЗОНАМ LU-5 І LU-9. 5 Ц. НИЖЧЕ ЛІКТЬОВОЇ СКЛАДКИ (*KONGZUI: on the line between the zones LU-5 and LU-9. 5 cun lower of the elbow fold*).

**LU-7◎▲ ЛЕ-ЦЮЄ:** ЛАТЕРАЛЬНА СТОРОНА ПРОМЕНЕВОЇ КІСТКИ, ЗАГЛИБЛЕННЯ ВИЩЕ ШИЛО-ВИДНОГО ПАРОСТКУ (1,5 Ц. ВІД ПРОМЕНЕВО-ЗАП'ЯСТКОВОГО СУГЛОБУ). ЯКЩО СХРЕСТИТИ ДОЛОНІ МІЖ ВЕЛИКИМИ ПАЛЬЦЯМИ, ВОНА БУДЕ ПІД КІНЦЕМ ВКАЗІВНОГО ПАЛЬЦЯ (*LIEQUE: on the radial edge of the radial bone, in the pit higher of the styloid process, in 1,5 cun proximally of the wrist joint (if to cross palms between big fingers, the point would be under the tip of the forefinger)*).

**LU-9▼◆ ТАЙ-ЮАНЬ:** ЗАПАДИНА НА КІНЦІ ПОПЕРЕКОВОЇ ШКІРНОЇ СКЛАДКИ ПРОМЕНЕВО-ЗАП'ЯСТКОВОГО СУГЛОБУ, З ПРОМЕНЕВОГО КРАЮ ПРОМЕНЕВОЇ АРТЕРІЇ (*TAIYUAN: in the recess at the end of diametrical skin fold of wrist joint, at radial edge of radial artery*).

**BL-13\*ФЕЙ-ШУ:** 1,5 ЦУНЯ НАЗОВНІ ВІД НИЖНЬОГО КРАЮ ОСТИСТОГО ПАРОСТКУ III-ГО ГРУДНОГО ХРЕБЦЯ (*FEISHU: in 1,5 cun on the outside of the lower edge of spinous process of the III of thoracic vertebra*).

ТОПОГРАФІЯ СТАНДАРТНИХ ФАЗ  
КАНАЛУ РС

LOCATION OF STANDARD FAZ  
OF THE CHANNEL РС

**ФВС РС –“Перикард – регулятор серця”.** Відцентровий, об'єднує 9 ФАЗ (18 з обох боків). Починається між соском і паховою між третім і четвертим ребрами, проходить уздовж внутрішньої сторони руки і закінчується на внутрішній стороні верхньої фаланги вказівного пальця.

Згідно традиційній Чжень-цзю терапії обумовлює функціональний вплив на периферичний кровообіг, склад крові і постачання поживними речовинами ІНЬ-органів.

Згідно канонам "Функціональної вегетології" входить до четвертого комплексу (ФК-4=LU,PC,HT) і підтри-мує

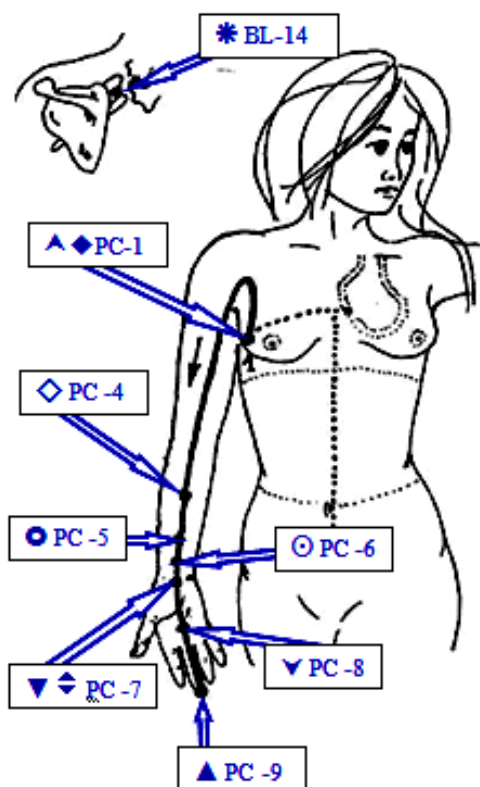
**FVS РС – “Pericardium – heart regulator”.** Centrifugal, combines 9 FAZ (18 from both sides). Begins near the mamma and the armpit between the third and the fourth ribs, goes along the interior side of the arm and ends on the interior side of the superior phalanx of the forefinger.

According to the traditional Zhen-tszyu therapy, the treatment causes functional influence on the peripheral blood circulation, blood composition and supply of YIN organs with nutrients.

According to the canons of "Functional Vegetology", it is included in the fourth complex (FC-4=LU,PC,HT) and

його парасимпатичну спрямова-  
ність...

supports its parasympathetic orientation  
...



**PC-4◇ Сі-мень:** ДОЛОННО-СЕРЕДИННА ЛІНІЯ, 5Ц. ВИЩЕ ЗАП'ЯСТКОВОГО СУГЛОБУ, МІЖ ПРОМЕНЕВИМ ЗГИНАЧЕМ ЗАП'ЯСТКА І ДОВГИМ ДОЛОННИМ М'ЯЗОМ (*XIMEN: 5 cun above the transverse wrist fold, between the tendons of the radial flexor muscle of wrist and long palmar muscle*).

**PC-5○ Цзянь-ши:** МІЖ СУХОЖИЛКАМИ ДОВГОГО ДОЛОННОГО М'ЯЗУ І ПРОМЕНЕВИМ ЗГИНАЧЕМ ЗАП'ЯСТКА, НА 3Ц. ВИЩЕ ЗАП'ЯСТКОВОГО СУГЛОБУ (*JIAN-SHI: between the tendons of long palmar muscle and radial flexor muscle of wrist, 3 cun above radiocarpal articulation*).

**PC-6○ Ней-гуань:** МІЖ СУХОЖИЛКАМИ ДОВГОГО ДОЛОННОГО М'ЯЗУ І ПРОМЕНЕВИМ ЗГИНАЧЕМ ЗАП'ЯСТКА, НА 2Ц. ВИЩЕ ЗАП'ЯСТКОВОГО СУГЛОБУ (*NEIGUAN: between the tendons of long palmar muscle and radial flexor muscle of wrist, 2 cun above the transverse wrist fold*).

**PC-7▼◆ Да-лін:** ПОПЕРЕКОВА ШКІРНА СКЛАДКА ЗАП'ЯСТКОВОГО СУГЛОБУ, МІЖ СУХОЖИЛКАМИ ДОВГОГО ДОЛОННОГО М'ЯЗУ І ПРОМЕНЕВОВОГО ЗГИНАЧА ЗАП'ЯСТКА (*DALING: on diametrical skin fold of wrist joint, between tendons of long palmar muscle and radial flexor muscle of wrist*).

**PC-8▼ Лао-гун:** В ЦЕНТРИ ДОЛОНІ МІЖ ІІ І ІІІ-Ю П'ЯСТКОВИМИ КІСТКАМИ. ЯКЩО ДОЛОНІЮ ЗЖАТИ В КУЛАК ЗОНА БУДЕ ПІД ІІІ-М ПАЛЬЦЕМ (*LAOGONG: in the middle of the palm, between the middle line of II-III metacarpal bones (if to make a fist, the point would be under the III finger)*).

**PC-9▲ Чжун-чун:** ДИСТАЛЬНА ФАЛАНГА ІІІ-ГО ПАЛЬЦЯ ДОЛОНІ, 0,3 СМ ВІД ПРОМЕНЕВОВОГО КОРИННЯ НІГТЯ (*ZHONGCHONG: at the tip of the middle finger*).

**PC-1▲◆ (♣ LR-GB-TE-PC) Тянь-чі:** ІV-ТА МІЖРЕБРИНА, 5Ц. НАЗОВНІ ПЕРЕДНЬОЇ СЕРЕДИННОЇ ЛІНІЇ ГРУДЕЙ (*TIANCHI: in the IV intercostal space, 5 cun outside from the front medial chest line*).

**BL-14\* Цює-інь-шу:** 1,5Ц. ЗОВНІ ОСТИСТОГО ПАРОСТКУ ІІ-ГО ПОПЕРЕКОВОГО ХРЕБЦЯ (*JUEYINSHU: 1,5 cun lateral to the lower edge of the processus spinosus of the 4-th thoracic vertebra*).

ТОПОГРАФІЯ СТАНДАРТНИХ ФАЗ  
КАНАЛУ НТ

LOCATION OF STANDARD FAZ  
OF THE CHANNEL НТ

ФВС НТ –“Седце”. Відцентровий, об'єднує 9 ФАЗ (18 з обох боків). Починається під грудним м'язом (musculus pectoralis) на рівні третього ребра, проходить уздовж внутрішньої сторони плеча і передпліччя і закінчується біля внутрішнього кута нігтьового валика мізинця.

Згідно ТЧЦТ обумовлює хвороби серця і порушення кровообігу, хворобливі прояви тонкого кишковика, горла

FVS НТ “Heart”. Centrifugal, combines 9 FAZs (18 from both sides). Begins under the pectoral muscle at the level of the third rib, goes along the interior side of the shoulder and forearm, and ends near the interior corner of the nail fold of the small finger.

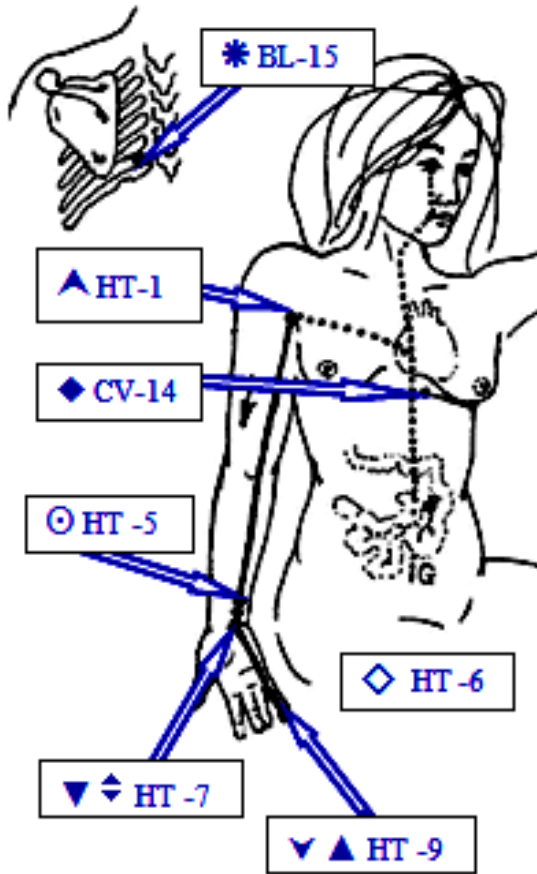
According to the traditional Zhen-tszyu therapy, the treatment causes heart diseases and disorders of blood

і очей.

Згідно канонам "Функціональної веге-тології" входить до четвертого комплексу (ФК-4=LU,PC,HT) і підтримує його парасимпатичну спрямованість...

circulation, disease states of the small intestine, throat and eyes.

According to the canons of "Functional Vegetology", it is included in the fourth complex (FC-4=LU,PC,HT) and supports its parasympathetic orientation ...



**HT-1▲ Цзі-цюань:** ЦЕНТР ПІДПАХВИННОЇ ЯМКИ, МЕДІАЛЬНО ПІДПАХВИННОЇ АРТЕРІЇ (*JIQUAN: in the center of axillary pit, towards the inside of axillary artery*).

**HT-5◎ Тун-лі:** ПРОМЕНЕВИЙ КРАЙ СУХОЖИЛКА ЛІКТЬОВОГО ЗГИНАЧА ЗАП'ЯТКА, НА 1 Ц. ВИЩЕ ЗОНИ HT-7 (*TONGLI: at the radial edge of ulnar flexor muscle of wrist tendon, 1 cun higher from the point HT-7*).

**HT-6◇ Ін-сі:** ПРОМЕНЕВИЙ КРАЙ СУХОЖИЛКА ЛІКТЬОВОГО ЗГИНАЧА ЗАП'ЯТКА, НА 0,5Ц. ВИЩЕ ЗОНИ HT-7 (*YINXI: on the radial edge of ulnar flexor muscle of wrist tendon, 0,5 cun higher from the point HT-7*).

**HT-7▼◇ Шень-мень:** ПОПЕРЕКОВА ШКІРНА СКЛАДКА ПРОМЕНЕВЕВО-ЗАП'ЯТКОВОГО СУГЛОБУ, ЗАПАДИНА МІЖ ГОРОХУВАТОЮ ТА ЛІКТЬОВОЮ КІСТКАМИ, З ПРОМЕНЕВОГО КРАЮ СУХОЖИЛКА ЛІКТЬОВОГО ЗГИНАЧА ЗАП'ЯТКА (*SHENMEN: on diametrical skin fold of wrist joint in the recess between pisiform and ulnar bones (at radial edge of the tendon of radial flexor muscle of wrist)*).

**HT-9▼▲ Шао-чун:** ДИСТАЛЬНА ФАЛАНГА V-ГО ПАЛЬЦЯ, 0,3 СМ В ПРОМЕНЕВУ СТОРОНУ ВІД КОРИННЯ НІГТЯ (*SHAOCHONG: on distal phalanx of the V finger 0,3 cm to the radial side from nail root*).

**CV-14◆ Цзюй-цює:** НА 6Ц. ВИЩЕ ПУПКА ПО БІЛІЙ ЛІНІЇ ЖИВОТА (*JIQUE: 6 cun higher from navel along the abdominal raphe*).

**BL-15\* Сінь-шу:** НА 1,5Ц. ЗОВНІ НИЖНЬОГО КРАЮ ОСТИСТОГО ПАРОСТКУ XI-ГО ГРУДНОГО ХРЕБЦЯ (*XINHUA: 1,5 cun towards outside from the lower edge of spinous process of the XI thoracic vertebra*).





## 11. СПРАВОЧНО-ИНФОРМАЦИОННАЯ СТРАНИЦА 11. BACKGROUND LITERATURE-INFORMATION PAGE

<b>НЕИЗВЕСТНАЯ КИТАЙСКАЯ ИГЛОТЕРАПИЯ (РЕАЛЬНОСТЬ, ОШИБКИ, ПРОБЛЕМЫ)</b>	<b>UNKNOWN CHINESE ACUPUNCTURE (REALITY, ERRORS, PROBLEMS)</b>
---	--

*В.Макац, Е.Макац, НЕИЗВЕСТНАЯ КИТАЙСКАЯ ИГЛОТЕРАПИЯ (РЕАЛЬНОСТЬ, ОШИБКИ, ПРОБЛЕМЫ) ТОМ I // Україна, Вінниця, 2016, 276 С. ISBN 978-966-2932-80-5*

Учебник не имеет аналогов. Его второе переработанное и дополненное издание обусловлено открытием неизвестных ранее "Функционально-вегетативной системы человека" и "Функционально-вегетативной Матрицы". Феномены указывают на биофизическую реальность акупунктурных каналов и их вегетативную сущность. Идентификация матричной системной и комплексной зависимости обнаружили теоретические и практические ошибки традиционного направления и вносят коррекцию в основы Восточной и Западной терапевтических философий ...

Книга адресована желающим получить неординарные знания по новой фундаментальной основе биологии, способным критически осмыслить механистические постулаты европейской терапевтической школы.

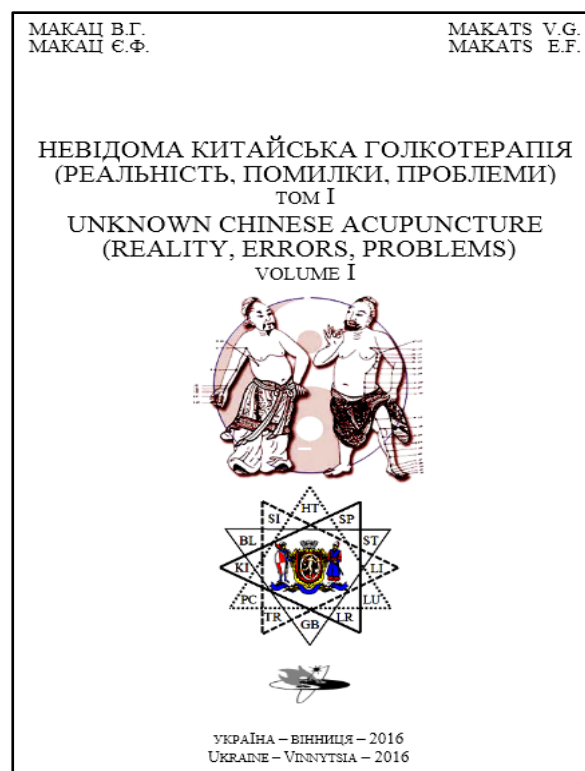
*Приоритет научного открытия принадлежит народу Украины.*

*V.Makats, E.Makats, UNKNOWN CHINESE ACUPUNCTURE (REALITY, ERRORS, PROBLEMS). VOL.I // Ukraine, Vinnytsia, 2016, 276 P. ISBN 978-966-2932-80-5*

The textbook had no analogues. Its second and revised edition is conditioned by the previously unknown "Human functional-vegetative system" and "Functional-vegetative Matrix". The discovered phenomena point to the biophysical reality of acupuncture channels of the Acupuncture therapy and its vegetative essence. Identification of matrix systemic and complex dependency revealed theoretical and practical errors of the traditional trend and introduced a substantial correction into the bases of the Eastern and Western therapeutic philosophies...

The book (biophysical atlas) is addressed to those who are willing to get uncommon knowledge about the new fundamental basis in biology, and who are capable of critical assessment of the mechanistic postulates of the European therapeutic school.

*Priority of the scientific discovery belongs to the people of Ukraine.*



*"... Приводится содержание последних (2016-2017) монографий по анализу отдельных положений "Функциональной вегетологии" (традиционной Чжень-цзю терапии). Обращается внимание на их постоянное экспериментальное дополнение и новые формы научного анализа. Рекомендована желающим ознакомиться с подробной информацией по разработанным направлениям".*

*"...The content of the last (2016-2017) monographs with the analysis of separate provisions of "Functional Vegetology" (traditional Zhen-Tszyu therapy) is given. Attention is drawn to their constant experimental complement and new forms of scientific computer analysis. Recommended wishing to see detailed information on developed areas".*

<b>СОДЕРЖАНИЕ (ТОМ I)</b>	С-Р	<b>CONTENTS (VOL. I)</b>
Замість рецензій	9	Instead of reviews
Функціонально-вегетативна діагностика	13	Functional-vegetative diagnostics as a bio-

як біофізична проблема		physical issue
Методологія акупунктурної діагностики	46	Methodology of acupuncture diagnostics
Гіпотетичні основи Голкотерапії як теоретична проблема	59	Hypothetical bases of the Acupuncture therapy as a theoretical issue ...
Ідентифікація акупунктурних каналів, як проблема східної Голкотерапії	75	Identification of acupuncture channels, as a problem of eastern Acupuncture therapy
Біофізична реальність традиційного положення "Велике енергетичне коло"	83	Biophysical reality of the traditional provision of the "Big cycle"
Біофізична реальність традиційного правила "Мати-син (по великому колу)"	92	Biophysical reality of the rule "Mother-son (through the Big cycle)"
Біофізична реальність традиційного правила "Біологічний годинник"	100	Biophysical reality of the traditional rule "Biological clock"
Біофізична реальність системної залежності по циклу "П'ять елементів (цикл зірки)"	110	Biophysical reality of systemic dependency through the cycle of "Five elements (Star cycle)"
Біофізична реальність традиційного правила "Дід-внук (батько-син)"	123	Biophysical reality of the traditional rule "Grandfather-grandson (father-son)"
Біофізична реальність традиційного правила "Лівий-правий(чоловік-жінка)"	133	Biophysical reality of the traditional rule "Left-right (Man-woman)"
Біофізична реальність традиційного правила "Спарені канали"	140	Biophysical reality of the traditional rule "Paired channels"
Біофізична реальність традиційного правила "Південь-північ"	147	Biophysical reality of the traditional rule "Midday – midnight"
Біофізична реальність традиційного правила "Проти пригнічення"	154	Biophysical reality of the traditional rule "Anti-oppression"
Біофізична реальність традиційного правила "Енергетична спрямованість каналів"	170	Biophysical reality of the traditional rule "Energy orientation of channels"
Комплекси акупунктурних каналів як біофізична проблема	174	Complexes of acupuncture channels as a biophysical problem
"Вегетативна матриця Макаца" як біофізична проблема традиційної Голкотерапії	185	"Makats's vegetative matrix" as a biophysical issue of traditional acupuncture
Матрична ідентифікація системної залежності як проблема традиційної Голкотерапії	199	Matrix identification of systemic dependency as an issue of traditional acupuncture
Вегетативна сутність Голкотерапії як проблема "функціональної вегетології"	233	Vegetative essence of Acupuncture therapy as an issue of "functional vegetology"
Зміст	274	Contents

<b>НЕИЗВЕСТНАЯ КИТАЙСКАЯ ИГЛОТЕРАПИЯ (БИОФИЗИЧЕСКИХ АТЛАС СИСТЕМНОГО ЗАВИСИМОСТИ)</b>	<b>UNKNOWN CHINESE ACUPUNCTURE (BIOPHYSICAL ATLAS OF SYSTEMIC DEPENDENCY)</b>
---	---

*В.Макац, Е.Макац, НЕИЗВЕСТНАЯ КИТАЙСКАЯ ИГЛОТЕРАПИЯ (БИОФИЗИЧЕСКИЙ АТЛАС СИСТЕМНОЙ ЗАВИСИМОСТИ) ТОМ II // Украина, Винница, 2016, 204 С.ISBN 978-966-2932-80-5*

Учебник не имеет аналогов. Его второе переработанное издание обусловлено открытием неизвестных ранее "Функционально-вегетативной системы" и "Вегетативной Матрицы". Феномены указывают на биофизическую реальность акупунктурных каналов и их вегетативную сущность. Идентификация матричной и комплексной системной зависимости вскрыла теоретические и практические ошибки традиционного направления и вносит коррекцию в основы Восточной и Западной терапевтических философий ...

Книга адресована желающим получить неординарные знания по новой фундаментальной основе биологии, способным осмыслить механистические постулаты европейской терапевтической школы. *Приоритет научного*

*V.Makats, E.Makats UNKNOWN CHINESE ACUPUNCTURE (BIOPHYSICAL ATLAS OF SYSTEMIC DEPENDENCY). VOL.II // Ukraine, Vinnytsia, 2016, P.204, ISBN 978-966-2932-80-5*

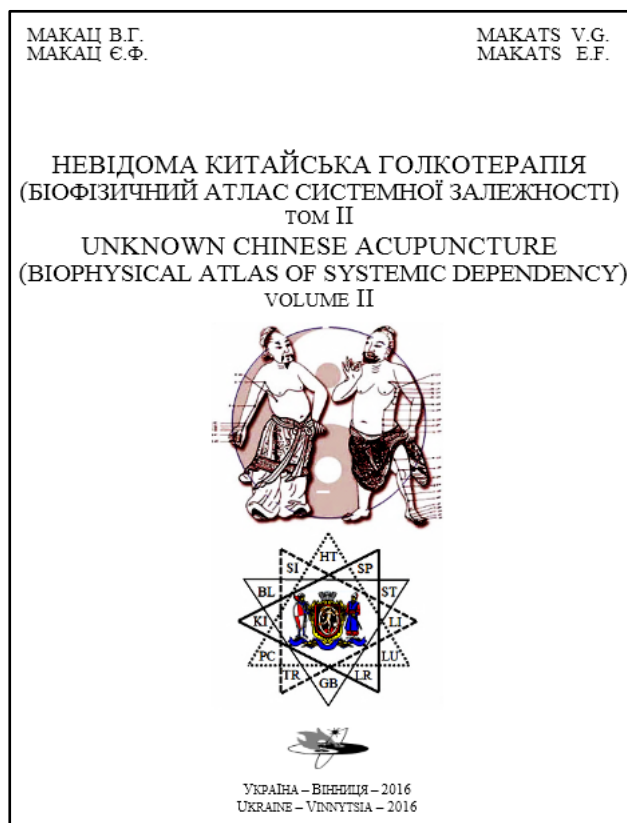
The textbook had no analogues. Its second and revised edition is conditioned by the previously unknown "Human functional-vegetative system" and "Functional-vegetative Matrix". The discovered phenomena point to the biophysical reality of acupuncture channels of the Acupuncture therapy and its vegetative essence. Identification of matrix systemic and complex dependency revealed theoretical and practical errors of the traditional trend and introduced a substantial correction into the bases of the Eastern and Western therapeutic philosophies...

The book (biophysical atlas) is addressed to those who are willing to get uncommon knowledge about the new fundamental basis of contemporary rehabilitation technology (functional vegetology), and who are capable of critical as-

открытия принадлежит народу Украины.

assessment of the mechanistic postulates of the European therapeutic school.

Priority of the scientific discovery belongs to the people of Ukraine.



"... Приводится содержание последних (2016-2017) монографий по анализу отдельных положений "Функциональной вегетологии" (традиционной Чжень-цзю терапии). Обращается внимание на их постоянное экспериментальное дополнение и новые формы научного анализа. Рекомендована желающим ознакомиться с подробной информацией по разработанным направлениям".

"...The content of the last (2016-2017) monographs with the analysis of separate provisions of "Functional Vegetology" (traditional Zhen-Tszyu therapy) is given. Attention is drawn to their constant experimental complement and new forms of scientific computer analysis. Recommended wishing to see detailed information on developed areas".

СОДЕРЖАНИЕ (ТОМ II)	C-P	CONTENTS (VOL. II)
Від авторів	6	From the authors
Замість рецензій	9	Instead of reviews
Біофізичний атлас функціональних систем	12	Biophysical atlas of functional systems
Функціонально-вегетативна система <b>BL</b> (сечовий міхур) як біофізична реальність	13	Functional-vegetative system <b>BL</b> (Urinary bladder) as biophysical reality
Функціонально-вегетативна система <b>ST</b> (шлунок) як біофізична реальність	28	Functional-vegetative system <b>ST</b> (Stomach) as biophysical reality
Функціонально-вегетативна система <b>GB</b> (жовчний міхур) як біофізична реальність	41	Functional-vegetative system <b>GB</b> (Gall bladder) as biophysical reality
Функціонально-вегетативна система <b>SP</b> (селезінка-підшлункова залоза) як біофізична реальність	56	Functional-vegetative system <b>SP</b> (Spleen-pancreas) as biophysical reality.
Функціонально-вегетативна система <b>KI</b> (нирки) як біофізична реальність	72	Functional-vegetative system <b>KI</b> (Kidneys) as biophysical reality
Функціонально-вегетативна система <b>LR</b> (печінка) як біофізична реальність	86	Functional-vegetative system <b>LR</b> (Liver) as biophysical reality
Функціонально-вегетативна система <b>LI</b> (товстий кишковик) як біофізична реальність	99	Functional-vegetative system <b>LI</b> (Large intestine) as biophysical reality
Функціонально-вегетативна система <b>TE</b> (трійний обігрівач) як біофізична реальність	112	Functional-vegetative system <b>TE</b> (Triple energizer) as biophysical reality
Функціонально-вегетативна система <b>SI</b> (тонкий кишковик) як біофізична реальність	126	Functional-vegetative system <b>SI</b> (Small intestine) as biophysical reality
Функціонально-вегетативна система <b>LU</b> (легені) як біофізична реальність	140	Functional-vegetative system <b>LU</b> (Lungs) as biophysical reality
Функціонально-вегетативна система <b>PC</b> (перикард) як біофізична реальність	154	Functional-vegetative system <b>PC</b> (Pericardium) as biophysical reality.
Функціонально-вегетативна система <b>HT</b> (серце) як біофізична реальність	168	Functional-vegetative system <b>HT</b> (Heart) as biophysical reality
Функціонально-вегетативний гомеостаз як біофізична реальність	182	Functional-vegetative homeostasis as biophysical reality
Функціонально-вегетативний біоритм як біофізична реальність	191	Functional-vegetative biorhythm as biophysical reality
Список монографій по невідомій "функціонально-вегетативній системі людини"	208	List of monographs on "human functionally-vegetative system"
Зміст і короткі анотації	213	Contents and Abstracts
Ненавязлива реклама	210	Unobtrusive advertisement

<b>НЕИЗВЕСТНАЯ КИТАЙСКАЯ ИГЛОТЕРАПИЯ (ПРОБЛЕМЫ ФУНКЦИОНАЛЬНОЙ ВЕГЕТОЛОГИИ)</b>	<b>UNKNOWN CHINESE ACUPUNCTURE (PROBLEMS OF FUNCTIONAL VEGETALES)</b>
--	---

*В.Макац, В.Нагайчук, Е.Макац, НЕИЗВЕСТНАЯ КИТАЙСКАЯ ИГЛОТЕРАПИЯ (ПРОБЛЕМЫ ФУНКЦИОНАЛЬНОЙ ВЕГЕТОЛОГИИ) ТОМ III // Украина, Вінниця, 2017, 204 С. ISBN 978-966-2932-80-5*

Учебник не имеет аналогов. Его второе дополненное издание обусловлено биофизической реальностью "Функционально-вегетативной системы человека" и "Вегетативной матрицей Макаца". Открытые феномены вносят коррекцию в основы реабилитационной философии и переводят традиционную Чжень-цзю терапии в доказательную медицину. Современная реальность требует своего места в системной физиологии и ревизии соответствующих учебных программ.

Книга адресована заинтересованным в неординарных знаниях по новой фундаментальной основе современной реабилитационной технологии (функциональной вегетологии), способным критически осмыслить механистические постулаты европейской терапевтической школы.

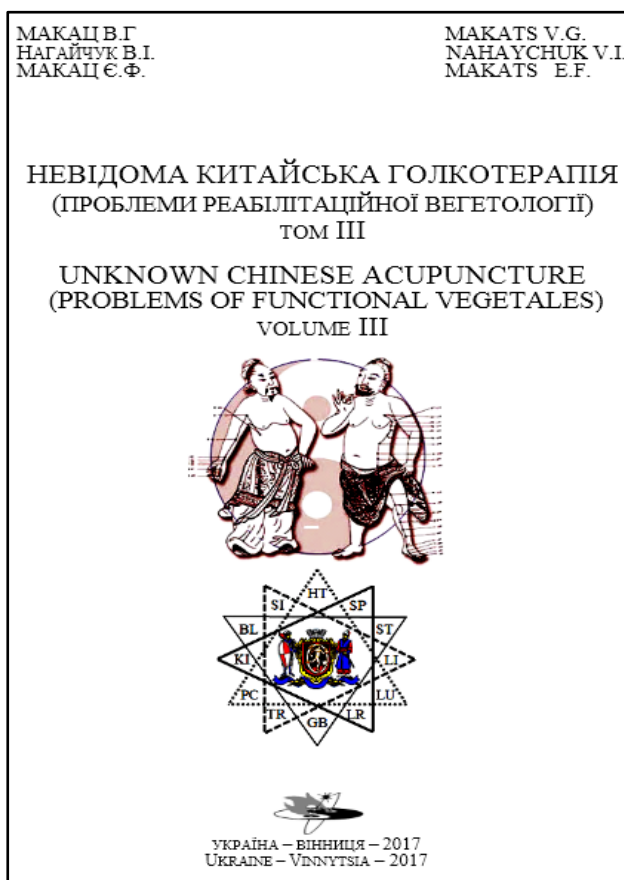
Приоритет научных разработок принадлежит народу Украины.

*V.Makats, V.Nahaychuk, E.Makats, UNKNOWN CHINESE ACUPUNCTURE (PROBLEMS OF FUNCTIONAL VEGETALES) VOL.III //Ukraine, Vinnytsia, 2017, 204 P., ISBN 978-966-2932-80-5*

The textbook had no analogues. Its second and revised edition is conditioned by the previously unknown "Human functional-vegetative system" and "Functional-vegetative Matrix". Open phenomena make significant correction in rehabilitation basics philosophy and translate traditional Chinese Acupuncture therapy in evidence-based medicine. Contemporary reality demands its place in the system of physiology and view relevant training programs.

The book is addressed to those wishing to get creative new knowledge on the fundamentals of modern rehabilitation technology (functional vegetology), able to critically reflect mechanistic postulates European therapeutic school.

*Priority of the scientific discovery belongs to the people of Ukraine.*



*"... Приводится содержание последних (2016-2017) монографий по анализу отдельных положений "Функциональной вегетологии" (традиционной Чжень-цзю терапии). Обращается внимание на их постоянное экспериментальное дополнение и новые формы научного анализа. Рекомендована желающим ознакомиться с подробной информацией по разработанным направлениям".*

*"...The content of the last (2016-2017) monographs with the analysis of separate provisions of "Functional Vegetology" (traditional Zhen-Tszyu therapy) is given. Attention is drawn to their constant experimental complement and new forms of scientific computer analysis. Recommended wishing to see detailed information on developed areas".*

<b>СОДЕРЖАНИЕ (ТОМ III)</b>	C-P	<b>CONTENTS (VOL. III)</b>
-----------------------------	-----	----------------------------



Від авторів	5	From the authors
Замість рецензій	6	Instead of reviews
<b>РОЗДІЛ-I БІОАКТИВАЦІЯ ЯК ПРОБЛЕМА ВЕГЕТАТИВНОЇ РЕАБІЛІТАЦІЇ</b>	9	<b>SECTION-I BIOACTIVITY AS A PROBLEM OF VEGETATIVE REHABILITATION</b>
Фактори малої інтенсивності як основа корекції вегетативних порушень	10	Factors of low intensity as the basis of correction of vegetative disorders
Принципи і методи біоактивації як основа корекції вегетативних порушень	28	Principles of bioactivation as the basis of correction of vegetative disorders
Морфологічні основи біоактивації як проблема реабілітаційної вегетології	53	Morphological bases of bioactivation as problem rehabilitation vegetales
Імунологічні основи біоактивації як проблема реабілітаційної вегетології	58	Immunological bases of bioactivation as problem rehabilitation vegetales
Гемодинамічні основи біоактивації як проблема реабілітаційної вегетології	69	Hemodynamic bases of bioactivation as problem rehabilitation vegetales
Біофізичні основи біоактивації як проблема реабілітаційної вегетології	76	Biophysical bases of bioactivation as problem rehabilitation vegetales
Мікробіологічні основи біоактивації як проблема реабілітаційної вегетології	84	Microbiological bases of bioactivation as problem rehabilitation vegetales
Клінічні основи біоактивації як проблема реабілітаційної вегетології	89	Clinical bases of bioactivation as problem rehabilitation vegetales
Вегетативні основи біоактивації як проблема реабілітаційної вегетології	103	Vegetative bases of bioactivation as problem rehabilitation vegetales
<b>РОЗДІЛ-II ВЕГЕТАТИВНА КОРЕКЦІЯ ПО ПРОГРАМІ "ГАРМОНІЗАТОР" ЯК ПРОБЛЕМА РЕАБІЛІТАЦІЙНОЇ ВЕГЕТОЛОГІЇ</b>	110	<b>SECTION-II VEGETATIVE CORRECTION ACCORDING TO THE PROGRAM "HARMONIZATION" AS PROBLEM REHABILITATION VEGETALES</b>
<b>РОЗДІЛ-III ФІЗИОТЕРАПІЯ ЯК ПРОБЛЕМА ВЕГЕТАТИВНОЇ РЕАБІЛІТАЦІЇ</b>	113	<b>SECTION-III PHYSIOTHERAPY AS A PROBLEM OF VEGETATIVE REHABILITATION</b>
Вегетативні проблеми лазеро-терапії	117	Autonomic problems LASER THERAPY
Вегетативні проблеми магніто-терапії	127	Autonomic problems magneto therapy
Вегетативні проблеми мікро резонансної терапії.	142	Autonomic problems micro resonance therapy
Вегетативні проблеми електрофорезу	145	Autonomic problems electrophoresis
<b>РОЗДІЛ-IV ЧУДОВІ МЕРИДІАНИ – ВЕГЕТАТИВНА СУТНІСТЬ ЯК ПРОБЛЕМА РЕАБІЛІТАЦІЙНОЇ ВЕГЕТОЛОГІЇ</b>	147	<b>SECTION-IV MIRACULOUS MERIDIANS – VEGETATIVE ESSENCE AS PROBLEM REHABILITATION VEGETALES</b>
<b>РОЗДІЛ-V МАТРИЧНІ КЛЮЧІ – ВЕГЕТАТИВНА ЛОГІКА</b>	165	<b>SECTION-V MATRIX KEYS – VEGETATIVE LOGIC</b>
<b>РОЗДІЛ-VI ПРОБЛЕМИ САНАТОРНО-КУРОРТНОЇ РЕАБІЛІТАЦІЇ</b>	175	<b>SECTION VI ISSUES OF REHABILITATION AT TREATMENT AND HEALTH RESORTS</b>
<b>РОЗДІЛ-VII ФУНКЦІОНАЛЬНО-ЕКОЛОГІЧНА ЕКСПЕРТИЗА ЯК ПРОБЛЕМА ВЕГЕТАТИВНОЇ РЕАБІЛІТАЦІЇ</b>	189	<b>SECTION-VII FUNCTIONALLY ENVIRONMENTAL EXPERTISE AS A PROBLEM OF VEGETATIVE REHABILITATION</b>
Список монографій по напрямку	207	List of books in a direction
Список захищених дисертацій	209	List of protected theses
Зміст	210	Content
Ненавзлива реклама	211	Unobtrusive advertisement

<b>НЕИЗВЕСТНАЯ КИТАЙСКАЯ ИГЛОТЕРАПИЯ (ПРОБЛЕМЫ ВЕГЕТАТИВНОГО ПАТОГЕНЕЗА)</b>	<b>UNKNOWN CHINESE ACUPUNCTURE (PROBLEMS OF VEGETATIVE PATHOGENESIS)</b>
--	--

*В. В. Макац, В. Нагайчук, Е. Макац, О. Ермишев* НЕИЗВЕСТНАЯ КИТАЙСКАЯ ИГЛОТЕРАПИЯ (ПРОБЛЕМЫ ВЕГЕТАТИВНОГО ПАТОГЕНЕЗА) ТОМ IV // *Україна*, Вінниця: Видавництво "Наукова ініціатива", редакція Нілан-ЛТД, 2017, 286 С., ISBN 978-966-2932-80-5

Учебник не имеет аналогов. Его издание обусловлено биофизической реальностью "Функционально-вегетативной системы человека" и "вегетативной матрицы Макац". Представленные материалы вносят существенную коррекцию в понимание механизмов функционально-вегетативного патогенеза и переводят традиционную китайскую Чжень-цзю терапии в доказательную медицину (реабилитационную вегетологию).

Книга адресована желающим получить неординарные знания по новой

*V. Makats, V. Nagaychuk, E. Makats, O. Yermyshev* UNKNOWN CHINESE ACUPUNCTURE (PROBLEMS OF VEGETATIVE PATHOGENESIS). Vol. IV // *Vinnytsia: "Naukova Initsiaty-va"*, Editorial office "Nilan Ltd.", 2017, 286 P. ISBN 978-966-2932-80-5

The book has no analogues. Its publication is conditioned by the biophysical reality of the "Human functional-vegetative system" and "Vegetative matrix of Makats". The presented materials make a significant correction in understanding the mechanisms of functional-vegetative pathogenesis and translate traditional Chinese Zhenjiu therapy into evidence-based medicine (rehabilitation vegetology).

The book is addressed to those wishing to get new knowledge on the fundamentals

фундаментальної основі сучасної реабілітаційної технології, здатним критично осмислити механістичні постулати європейської терапевтичної школи.

*Приоритет наукових розробок належить народу України.*

of modern rehabilitation technology, able to critically analyze mechanistic postulates of the European therapeutic school.

*Priority of the scientific discovery belongs to the people of Ukraine*



*"... Приводиться содержание последних (2016-2017) монографий по анализу отдельных положений "Функциональной вегетологии" (традиционной Чжень-цзю терапии). Обращается внимание на их постоянное экспериментальное дополнение и новые формы научного анализа. Рекомендована желающим ознакомиться с подробной информацией по разработанным направлениям".*

*"...The content of the last (2016-2017) monographs with the analysis of separate provisions of "Functional Vegetology" (traditional Zhen-Tszyu therapy) is given. Attention is drawn to their constant experimental complement and new forms of scientific computer analysis. Recommended wishing to see detailed information on developed areas".*

СОДЕРЖАНИЕ (ТОМ IV)	Ст-Р	CONTENTS (VOL. IV)
Від авторів	5	From the authors
Передмова	6	Foreword
Чи визнають функціонально-вегетативну систему?	14	Is the functional-vegetative system recognized?
<b>ЧАСТИНА – I</b>		<b>PART – I</b>
<b>РОЗДІЛ–1 ІНФОРМАЦІЙНИЙ РІВЕНЬ ОР-ГАНІЗАЦІЇ ЖИВОГО</b>	19	<b>SECTION–1 INFORMATIONAL LEVEL OF THE ORGANIZATION OF THE ALIVE</b>
Загальні механізми функціонального патогенезу	32	General mechanisms of functional pathogenesis
Біофізичні механізми функціонального патогенезу	38	Biophysical mechanisms of functional pathogenesis
Особливості біологічного впливу факторів малої інтенсивності	49	Peculiarities of biological influence of small intensity factors
<b>РОЗДІЛ–2 ВОДА ЯК ФУНКЦІОНАЛЬНА ОСНОВА ВЕГЕТАТИВНОЇ МАТРИЦІ</b>	53	<b>SECTION–2 WATER AS FUNCTIONAL BASIS OF VEGETATIVE MATRIX</b>
А що ми знаємо про воду?	54	What do we know about water?
Чи може вода і її композиційні системи бути природними генераторами енергії?	71	Can water and compositional systems on its basis be natural generators of energy?
<b>РОЗДІЛ–3 ФУНКЦІОНАЛЬНІ СИСТЕМИ ФІЗИЧНОГО РІВНЯ – ПРИНЦИПОВА СУТНІСТЬ</b>	78	<b>SECTION–3 FUNCTIONAL SYSTEMS OF PHYSICAL LEVEL – PRINCIPLE ESSENCE</b>
Функціональна вегетологія як розділ медицини майбутнього	78	Functional vegetology as the division of the medicine of the future
Біофізичні механізми функціонально-вегетативного патогенезу	81	Biophysical mechanisms of functional-vegetative pathogenesis
<b>РОЗДІЛ–4 ВЕГЕТАТИВНИЙ ПАТОГЕНЕЗ – БІОФІЗИКА ПОЛЬОВОГО РІВНЯ</b>	93	<b>SECTION–4 VEGETATIVE PATHOGENESIS – BIOPHYSICS OF THE FIELD LEVEL</b>
Взаємодія фізичної матерії і вакуумного ефіру (ефекти Доплера)	93	Interaction of physical material and vacuum ether (effects of Doppler)
Меридіан-гліальна мережа – зона контакту акупунктурної і нервової систем	95	Meridian-glia network - the area of the contact of acupuncture and nervous systems
Космічні механізми як елементи життя .	100	Cosmic mechanisms as the elements of life...
Колівальні процеси як основа Живого	105	Moving processes as the basis of the Living

Про роботи Л.Я. Глибіна (щодо вегетативної активності)	110	The work of L.Y. Glybin (with regard to vegetative activity)
<b>ЧАСТИНА – II</b>		<b>PART – II</b>
<b>РОЗДІЛ–5 БІОФІЗИЧНІ ОСНОВИ ФУНКЦІОНАЛЬНОЇ ВЕГЕТОЛОГІЇ</b>	114	<b>SECTION–5 BIOPHYSICAL BASES OF FUNCTIONAL VEGETOLOGY</b>
Теоретичні основи функціональної вегетології	114	Theoretical bases of functional vegetology
Вегетативні принципи функціональної діагностики	119	Vegetative principles of functional diagnosis
Ідентифікація акупунктурних каналів як проблема вегетології	123	Identification of acupuncture channels as a problem of vegetology
Вегетативна сутність функціональної системи	126	Vegetative essence of the functional system
Системна залежність вегетативних коефіцієнтів	128	Systemic dependency of vegetative coefficients
Вегетативні показники і залежність ян-інь систем	129	Vegetative indexes and the dependency of yang-yin systems
Вегетативна дисперсія при збудженні окремих систем	132	Vegetative dispersion during the excitation of separate systems
Вегетативні профілі (ВП) як біофізична реальність	133	Vegetative profiles (VP) as a biophysical reality
Функціонально-вегетативні закони	137	Functional-vegetative laws
<b>ЧАСТИНА – III</b>		<b>PART – III</b>
<b>РОЗДІЛ–6 СИСТЕМО-ВЕГЕТАТИВНІ КОМПЛЕКСИ</b>	142	<b>SECTION–6 SYSTEM-VEGETATIVE CO-MPLEXES</b>
<b>РОЗДІЛ–7 ВЕГЕТАТИВНА МАТРИЦЯ ЯК ПРОБЛЕМА ФУНКЦІОНАЛЬНОЇ ВЕГЕТОЛОГІЇ</b>	153	<b>SECTION–7 VEGETATIVE MATRIX AS AN ISSUE OF FUNCTIONAL VEGETOLOGY</b>
П'ять кроків до "вегетативної матриці"	153	Five steps to "vegetative matrix"
Матричні комплекси (вегетативні ключі)	158	Matrix complexes (vegetative keys)
<b>РОЗДІЛ–8 ХРОНОБІОЛОГІЯ СИСТЕМО-ВЕГЕТАТИВНОГО ГОМЕОСТАЗУ</b>	166	<b>SECTION–8 CHRONOBIOLOGY OF SYSTEMIC-VEGETATIVE HOMEOSTASIS</b>
<b>РОЗДІЛ–9 ОСНОВИ ФУНКЦІОНАЛЬНО-ВЕГЕТАТИВНОГО ПАТОГЕНЕЗУ</b>	176	<b>SECTION–9 FUNDAMENTALS OF FUNCTIONAL-VEGETATIVE PATHOGENESIS</b>
Перший ФК (BL-ST-GB): ЯН, симпатична вегетативна активність	177	First FC (BL-ST-GB): YANG, sympathetic vegetative activity
Другий ФК (SP-KI-LR): ІНЬ, парасимпатична вегетативна активність	183	Second FC (SP-KI-LR): YIN, parasympathetic vegetative activity
Третій ФК (TE-SI-LI): ЯН, симпатична вегетативна активність	189	Third FC (BL-ST-GB): YANG, sympathetic vegetative activity
Четвертий ФК (PC-LU-HT): ІНЬ, парасимпатична вегетативна активність	195	Fourth FC (BL-ST-GB): YIN, parasympathetic vegetative activity
<b>РОЗДІЛ – 10 ВІДОМІ ФАКТОРИ ФУНКЦІОНАЛЬНО-ВЕГЕТАТИВНОГО ВПЛИВУ</b>	202	<b>SECTION – 10 KNOWN FACTORS OF FUNCTIONAL-VEGETATIVE INFLUENCE</b>
BL-SP – базовий вегетативний регулятор	205	BL-SP as the basic vegetative regulator
Феномен пози як базовий вегетативний регулятор	205	Phenomenon of posture as the basic vegetative regulator
Статеві особливості BL-SP як базовий вегетативний регулятор	207	Gender peculiarities of BL-SP as the basic vegetative regulator
Парадоксальні реакції як основа вегетативної регуляції	209	Paradoxical reactions as the basis of vegetative regulation
Космофізичні фактори як основа вегетативної регуляції	218	Cosmo physical factors as the basis of vegetative regulation
<b>РОЗДІЛ-11 БІОФІЗИЧНА МОДЕЛЬ ФУНКЦІОНАЛЬНО-ВЕГЕТАТИВНОГО ПАТОГЕНЕЗУ</b>	224	<b>SECTION-11 BIOPHYSICAL MODEL OF FUNCTIONAL-VEGETATIVE PATHOGENESIS</b>
ФЗ як перша лінія біофізичного вегетативного контролю	224	FAZ as the first line of biophysical Vegetative control
Принципова схема функціонально-вегетативного патогенезу	229	Principle scheme of functional-vegetative pathogenesis
Функціонально-вегетативний атлас	234	Minor functional-vegetative atlas
Література по напрямку	277	References
Ненавязлива реклама	280	Unobtrusive advertisement
Зміст	283	Contents



Литература:	Used Books
1. Крюк Э. Современная концептуальная модель энергоинформационного взаимодействия // Бинар Аура Z., 1977, №3 с.14-17.	1. Kryuk E. <i>Sovremennaya kontseptual'naya model' energoinformatsionnogo vzaimodeystviya</i> // Binar Aura Z., 1977, №3 s.14-17.
2. Лувсан Г. Очерки методов восточной рефлексотерапии (под редакцией проф. В.Н. Цибуляка и проф. И.З. Самосюка) // К., "Здоров'я", 1992. с.84-93.	2. Luvsan G. <i>Essays on the methods of eastern reflexotherapy</i> (edited by Prof. V.N. Tsibulyak and Prof. I.Z. Samosyuk) // K., "Zdorovya", 1992. 231S.
3. Макац В., Макац Є. Невідома китайська голкотерапія (реальність, помилки, проблеми) Том I // Україна, Вінниця: видавництво "Наукова ініціатива", редакція Нілан-ЛТД, 2016, 276—С с. ISBN 978-966-2932-80-5	3. Makats V., Makats E. <i>Unknown Chinese acupuncture (reality, errors, problems). v Vol. i</i> // Ukraine, Vinnytsia: "Naukova initsiatyva", editorial office "Nilan LTD", 2016, 276 P. ISBN 978-966-2932-80-5
4. Макац В., Макац Є. Невідома китайська голкотерапія (біофізичний атлас системної залежності) Том II // Україна, Вінниця: видавництво "Наукова ініціатива", редакція Нілан-ЛТД, 2016, 204С. ISBN 978-966-2932-80-5	4. Makats V., Makats E. <i>Unknown Chinese acupuncture (biophysical atlas of systemic dependency). Vol. II</i> // Ukraine, Vinnytsia: "Naukova initsiatyva", editorial office "Nilan LTD", 2016, 204P. ISBN 978-966-2932-80-5
5. Макац В., Нагайчук В., Макац Є. Невідома китайська голкотерапія (проблеми функціональної вегетології) Том III // Україна, Вінниця: видавництво "Наукова ініціатива", редакція Нілан-ЛТД, 2017, 204С. ISBN 978-966-2932-80-5	5. Makats V., Nahaychuk V., Makats E. <i>Unknown Chinese acupuncture (problems of functional vegetales). Vol. III</i> // Ukraine, Vinnytsia: "Naukova initsiatyva", editorial office "Nilan LTD", 2017, 204P. ISBN 978-966-2932-80-5
6. Макац В., Нагайчук В., Макац Є., Єрмішев О. Невідома китайська голкотерапія (проблеми вегетативного патогенезу) Том IV // Україна, Вінниця: видавництво "Наукова ініціатива", редакція Нілан-ЛТД, 2017, 286С. ISBN 978-966-2932-80-5	6. Makats V., Nahaychuk V., Makats E., Yermyshev O. <i>Unknown Chinese acupuncture (problems of vegetative pathogenesis). Vol. IV</i> // Vinnytsia: "Naukova initsiatyva", editorial office "Nilan LTD", 2017, 286P. ISBN 978-966-2932-80-5
7. Тихоплав В., Тихоплав Т. Жизнь напрокат // "ВЕСЬ", Санкт-Петербург, 2002, с.67	7. Tikhoplav V., Tikhoplav T. <i>Zhizn' naprokat // "VES"</i> , Sankt-Peterburg, 2002, s.67
8. Шуман В.О. Про безвихідні коливання провідної сфери, оточеної повітряним шаром та іоносферною оболонкою // Zeitschrift und Naturforschung 7a, 1952, s.49-154	8. Schumann W.O., <i>Über die strahlungslosen Eigenschwingungen einer leitenden Kugel, die von einer Luftschicht und einer Ionosphärenhülle umgeben ist</i> // Zeitschrift und Naturforschung 7a, 1952, s.149-154
9. Шуман В.О. Про ослаблення електромагнітних коливань системи "Земля-повітря-іоносфера" // Journal and Naturforsch 7a, 1952, s.250-252	9. Schumann W.O. <i>Über die Dämpfung der elektromagnetischen Eigenschwingungen des tems "Erde-Luft-Ionosphäre"</i> // Zeitschrift und Naturforschung 7a, 1952, s.250-252.
10. Шуман В.О. Про розповсюдження довгих електромагнітних хвиль при сигналах блискавки // Nuovo Cimento 9, 1952, с.1116-1138. DOI:10.1007/BF02782924	10. Schumann W.O. <i>Über die Ausbreitung sehr Langer elektriseher Wellen um die Signale des Blitzes</i> // Nuovo Cimento 9, 1952, p.1116-1138. DOI:10.1007 /BF 02782924
<b>Интернет-ресурсы:</b>	
11. <a href="http://ruslekar.info/Rezonans-SHumana...4947.html">http://ruslekar.info/Rezonans-SHumana...4947.html</a>	
12. <a href="http://новости.ru-an.info">http://новости.ru-an.info</a>	
13. <a href="http://www.insider.revelations.ru/forum/forum18/topic2809/">http://www.insider.revelations.ru/forum/forum18/topic2809/</a>	

<b>СОДЕРЖАНИЕ (ТОМ IV)</b>	<b>С-Р</b>	<b>CONTENTS (VOL. IV)</b>
Предисловие.....	5	Foreword .....
<b>1. ФУНКЦИОНАЛЬНО-ВЕГЕТАТИВНАЯ ДИАГНОСТИКА БЕЗ ВНЕШНИХ ИСТОЧНИКОВ ТОКА</b>	<b>8</b>	<b>1. FUNCTIONAL-VEGETATIVE DIAGNOSTICS WITHOUT EXTERNAL CURRENT SOURCES</b>
Биофизические основы ФВД	8	Biophysical basis of FVD
Биофизические феномены ФВД	10	Biophysical phenomena of FVD
Технические особенности ФВД	15	Technical peculiarities of FVD
Методические особенности ФВД	17	Methodological features of FVD
Функциональные принципы ФВД	17	Functional principles of FVD
Биоэнергетические принципы ФВД	19	Bioenergetic principles of FVD
<b>2. ИДЕНТИФИКАЦИЯ ГИПОТЕТИЧЕСКИХ АКУПУНКТУРНЫХ КАНАЛОВ КАК ПРОБЛЕМА "ФУНКЦИОНАЛЬНОЙ ВЕГЕТОЛОГИИ"</b>	<b>23</b>	<b>2. BIOPHYSICAL IDENTIFICATION OF "ACUPUNCTURAL CHANNELS" AS A PROBLEM OF FUNCTIONAL VEGETOLOGY</b>
Биофизическая реальность "акупунктурных зон"	23	The biophysical reality of "acupunctural zones"
Биофизическая реальность "акупунктурных каналов"	25	The biophysical reality of "acupunctural channels"
Идентификация "акупунктурных каналов" по вегетативным уровням	35	Identification of acupunctural channels on the vegetative level
<b>3. СИСТЕМНО-ВЕГЕТАТИВНЫЕ КОМПЛЕКСЫ КАК ПРОБЛЕМА ФУНКЦИОНАЛЬНОЙ ВЕГЕТОЛОГИИ И ЧЖЕНЬ-ЦЗЮ ТЕРАПИИ</b>	<b>38</b>	<b>3. SYSTEM-VEGETATIVE COMPLEXES AS A PROBLEM OF FUNCTIONAL VEGETOLOGY AND ZHEN-TSZYU THERAPY</b>
Каналы первого комплекса (ЯН)	39	Channels of the first complex YANG
Каналы второго комплекса (ИНЬ)	40	Channels of the other complex YIN
Каналы третьего комплекса (ЯН)	42	Channels of the third complex YANG
Каналы четвертого комплекса (ИНЬ)	43	Channels of the fourth complex YIN
Биофизическая реальность комплексных "Вегетативных профилей"	44	Biophysical reality of complex "vegetative profiles"
<b>4. ВЕГЕТАТИВНАЯ МАТРИЦА КАК ТЕОРЕТИЧЕСКАЯ ОСНОВА ФУНКЦИОНАЛЬНОЙ ВЕГЕТОЛОГИИ И ЧЖЕНЬ-ЦЗЮ ТЕРАПИИ</b>	<b>47</b>	<b>4. VEGETATIVE MATRIX AS A THEORETICAL BASIS FUNCTIONAL VEGETOLOGY AND ZHEN-TSZYU THERAPY</b>
Пять шагов к вегетативной "Матрице".	47	Five steps to "vegetative Matrix"
Матричные комплексы (вегетативные ключи)	51	Matrix complexes (Vegetative keys)
<b>5. ВЕГЕТАТИВНЫЕ КЛЮЧИ – КАК БИОФИЗИЧЕСКИЙ АНАЛОГ "ЧУДЕСНЫХ МЕРИДИАНОВ"</b>	<b>60</b>	<b>5. VEGETATIVE KEYS - AS A BIOPHYSICAL ANALOGUE OF "MAGIC MERIDIANS"</b>
Первая пара ЧМ-I Вегетативный статус – "Управитель ЯН"	61	First park MM-I Vegetative status – Governor of YANG
Вторая пара ЧМ-II Вегетативный статус – "Охранник ЯН"	62	Other part MM-II Vegetative status – Guardian YANG
Третья пара ЧМ-III Вегетативный статус – "Управитель ИНЬ"	65	Third park MM-III Vegetative status – Ruler YIN
Четвертая пара ЧМ-IV Вегетативный статус – "Охранник ИНЬ"	67	Fourth park MM-IV Vegetative status - Guardian YIN
На что следует обратить внимание?	69	What should you pay attention to?
<b>6. ВЕГЕТАТИВНЫЙ БИОРИТМ КАК ПРОБЛЕМА ФУНКЦИОНАЛЬНОЙ ВЕГЕТОЛОГИИ И ЧЖЕНЬ-ЦЗЮ ТЕРАПИИ</b>	<b>70</b>	<b>6. VEGETATIVE BIORHYTHM AS A PROBLEM OF FUNCTIONAL VEGETOLOGY AND ZHEN-TSZYU THERAPY</b>
Резонансы Шумана	70	Resonances of Schumann
Функциональные особенности суточных вегетативных ритмов	73	Functional features dogs of vegetative rats
Синхронная системная зависимость как фактор вегетативного патогенеза	73	Synchronous system dependence as a vegetative pathogenesis factor
Асинхронная системная зависимость как фактор вегетативного патогенеза	76	Asynchronous system dependence as a vegetative pathogenesis factor
Биофизический атлас несинхронной (синхронно-асинхронной) системной зависимости	80	Biophysical atlas of not synchronized (synchrono-asynchronous) system dependence
Системные парадоксальные реакции как фактор вегетативного патогенеза	82	System paradoxes reactions as factor of vegetative pathogenesis
Механизмы системно-вегетативного патогенеза	84	Mechanisms system-vegetative pathogenesis
<b>7. ДИСПЕРСИЯ ВЕГЕТАТИВНЫХ УРОВНЕЙ КАК ПРОБЛЕМА ФУНКЦИОНАЛЬНОЙ ВЕГЕТОЛОГИИ И ЧЖЕНЬ-ЦЗЮ ТЕРАПИИ</b>	<b>86</b>	<b>7. DISPERSION OF VEGETATIVE LEVELS AS A PROBLEM OF FUNCTIONAL VEGETOLOGY AND ZHEN-TSZYU THERAPY</b>

Вегетативная дисперсия по возрастным группам	86	Vegetative dispersion by age groups.....
Вегетативна дисперсия по годам жизни	87	Vegetative dispersion on every years of life
<b>8. ТЕОРЕТИЧЕСКИЕ ОШИБКИ ЧЖЕНЬ-ЦЗЮ ТЕРАПИИ КАК ПРОБЛЕМА ФУНКЦИОНАЛЬНОЙ ВЕГЕТОЛОГИЇ</b>	90	<b>8. THEORETICAL ERRORS OF ZHEN-TSZYU THERAPY AS A PROBLEM OF FUNCTIONAL VEGETOLOGY</b>
Матричная реальность традиционного положения "Большой круг"	90	Matrical reality of traditional the situation " Big cycle"
Матричная реальность традиционного положения "Мать-Сын"	95	Matrical reality of traditional provisions "Mother-Son (Big circle)"
Матричная реальность традиционного положения "Дед-Внук "	100	Matrical reality of traditional provisions "Grandfather-Grandson"
Матричная реальность традиционного положения "Полдень-Полночь"	105	Matrical reality of traditional the situation "Midday-Midnight"
Матричная реальность традиционного положения "Левый-Правый (Мужчина - Женщина)".	110	Matrical reality of traditional the situation "Left-Right (Man-Woman)"
Матричная реальность традиционного положения "Спаренные каналы" .....	114	Matrical reality of traditional the situation "Paired channels"
<b>9. ПРОГРАММИ ФУНКЦИОНАЛЬНО-ВЕГЕТАТИВНОГО АНАЛІЗУ</b>	120	<b>9. PROGRESS OF FUNCTIONAL-VEGETATIVE ANALYSIS</b>
<b>10. АТЛАС ФУНКЦИОНАЛЬНО-АКТИВНЫХ ЗОН КАК ОСНОВА РЕАБИЛИТАЦИОННОЙ ВЕГЕТОЛОГИИ</b>	126	<b>10. ATLAS OF FUNCTIONAL-ACTIVE ZONES AS A BASIS REHABILITATION VEGETOLOGY</b>
<b>11. ЛИТЕРАТУРНО-ИНФОРМАЦИОННАЯ СТРАНИЦА</b>	141	<b>11. LITERATURE-INFORMATION PAGE</b>
Литература	148	Used Books
СОДЕРЖАНИЕ	149	CONTENTS



*В.Г.Макац, Є.Ф. Макац, Д.Д. Макац, Д.Д. Макац* ОСНОВИ ФУНКЦІОНАЛЬНОЇ ВЕГЕТОЛОГІЇ (НЕВІДОМА КИТАЙСЬКА ГОЛКОТЕРАПІЯ). ТОМ 5.–Вінниця: Видавництво "Наукова ініціатива", Редакція "Нілан-ЛТД", 2018,–152 С.

ISBN 978-617-7706-69-3

В монографії наведені базові положення нового науково-практичного напрямку. В його основі лежить ідентифікація біофізичної реальності "акупунктурних каналів" і їх безпосереднього відношення до вегетативного гомеостазу. Розглянуті реальні механізми функціонально-вегетативного патогенезу. Розроблений напрямок трансформує гіпотетичні положення Східної терапевтичної філософії в сучасну доказову медицину і вимагає свого місця в системній фізіології.

Книга адресована науковцям, студентам медичних учбових закладів і лікарям загальної практики, зацікавленим в сучасних реабілітаційних технологіях.

*Пріоритет наукових розробок належить народу України.*

*V.G. Makats, E.F. Makats, D.D.Makats, D.D.Makats* BASES OF FUNCTIONAL VEGETOLOGY (UNKNOWN CHINESE ACUPUNCTURE). - Vinnytsia: "Naukova Initsiatyva", Editorial office "Nilan Ltd", 2018. – 152 P.

ISBN 978-617-7706-69-3

The monograph contains the basic provisions of the new scientific and practical direction. It is based on the identification of the biophysical reality of "acupuncture channels" and their direct relation to the vegetative homeostasis. The real mechanisms of functional-vegetative pathogenesis are considered. The developed direction transforms the hypothetical positions of the Eastern Therapeutic Philosophy into modern evidentiary medicine and requires its place in system physiology.

The book is addressed to scholars, students of medical schools and general practitioners who are interested in modern rehabilitation technologies.

*Priority of the scientific discovery belongs to the people of Ukraine*

*В.Г.Макац, Є.Ф. Макац, Д.Д. Макац, Д.Д. Макац* ОСНОВЫ ФУНКЦИОНАЛЬНОЙ ВЕГЕТОЛОГИИ (НЕИЗВЕСТНАЯ КИТАЙСКАЯ ИГЛОТЕРАПИЯ). ТОМ 5. Украина, Винница: издательство "Научная инициатива", Редакция "Нілан-ЛТД", 2018, 152 С.

ISBN 978-617-7706-69-3

В монографии приведены базовые положения нового научно-практического направления. В его основе лежит идентификация биофизической реальности "акупунктурных каналов" и их непосредственного отношения к вегетативному гомеостазу. Рассмотрены реальные механизмы функционально-вегетативного патогенеза. Разработанное направление трансформирует гипотетические положения Восточной терапевтической философии в современную доказательную медицину и требует своего места в системной физиологии.

Книга адресована научным работникам, студентам медицинских учебных заведений и врачам общей практики, заинтересованным в современных реабилитационных технологиях.

*Пріоритет научных разработок принадлежит народу Украины.*

Учебно-научное издание  
МАКАЦ Владимир Геннадиевич,  
МАКАЦ Евгения Фёдоровна,  
МАКАЦ Дмитрий Владимирович  
МАКАЦ Денис Владимирович

Educational-scientific publication  
MAKATS VOLODYMYR HENNADIPOVYCH  
MAKATS YEVHENA FEDORIVNA  
MAKATS DMYTRO VOLODYMYROVYCH  
MAKATS DENYS VOLODYMYROVYCH

КОНТАКТ: [prof.makats@gmail.com](mailto:prof.makats@gmail.com)

CONTACT: [prof.makats@gmail.com](mailto:prof.makats@gmail.com)



ОСНОВЫ ФУНКЦИОНАЛЬНОЙ ВЕГЕТОЛОГИИ  
(НЕИЗВЕСТАЯ КИТАЙСКАЯ ИГЛОТЕРАПИЯ).  
ТОМ V

BASES OF FUNCTIONAL VEGETOLOGY  
(UNKNOWN CHINESE ACUPUNCTURE).  
VOLUME V

На русском и та английском языках.  
Книга издаётся в авторской редакции с сохранением авторской стилистики,  
орфографии и пунктуации.

Оригинал-макет подготовлен авторским коллективом.  
The original model of the book was prepared by the authors.

Підписано до друку 21.08.2018.  
Формат 60x16. Папір офсетний.  
Друк різнографічний.  
Умов. друк. лист. 9,50. Обл.-видав. лист. 8,84  
Тираж 100 прим. Зам. №6058

Віддруковано з оригіналів замовника.  
ФОП Корзун Д.Ю.

Видавець ТОВ "ТВОРИ"  
Свідоцтво про внесення суб'єкта видавничої справи до  
Державного реєстру видавців, виготовлювачів і розповсюджувачів  
Видавничої продукції серія ДК №6188 від 18.05.2018 р.  
21027, а/с 8825, м. Вінниця, вул. 600-річчя, 21.  
Тел.: (0432) 69-67-69, 603-000  
e-mail: [info@tvory.com.ua](mailto:info@tvory.com.ua)  
<http://www.tvory.com.ua>





**МАКАЦ В.Г.** Эксперт высшего уровня НАН Украины, доктор медицинских наук, профессор (Европейский центр последипломного образования врачей ОО "Украинская национальная академия естествознания»). [prof.Makats@gmail.com](mailto:prof.Makats@gmail.com).

**MAKATS V.G.** MD, professor (European centre for postgraduate education of doctors of the PO the "Ukrainian national Academy of Natural Sciences"). Expert of the highest level of NAS of Ukraine. [prof.Makats@gmail.com](mailto:prof.Makats@gmail.com).



**МАКАЦ Є.Ф.** Кандидат биологических наук, доцент (Винницкий национальный медицинский университет им. Н. И. Пирогова, Украина)

**MAKATS E.F.** PhD, associate professor (Vinnytsia National medical university named after Pirogov M.I., Ukraine)



**МАКАЦ Д.В.** Научный сотрудник (Европейский центр последипломного образования врачей ОО "Украинская национальная академия естествознания")

**MAKATS D.V.** Scientific worker (European centre for postgraduate education of doctors of the PO the "Ukrainian national Academy of Natural Sciences")



**МАКАЦ Д.В.** Научный сотрудник (Европейский центр последипломного образования врачей ОО "Украинская национальная академия естествознания")

**MAKATS D.V.** Scientific worker (European centre for postgraduate education of doctors of the PO the "Ukrainian national Academy of Natural Sciences")

**Информация по разработанному направлению опубликована в 37 монографиях.**  
**Information on the developed direction is published in 37 monographs.**

**В частности, это (In particular):** *Біогальванізація в фізіо- та рефлексотерапії (1992); Функціональна діагностика вегетативного гомеостазу і біоактиваційна корекція його порушень за методом В.Г.Макаца (1997); Основи біоактиваційної медицини. Відкрита функціонально-енергетична система біологічних об'єктів (2001); Функціонально-енергетична система біологічних об'єктів. Теорія та помилки китайської Чжень-цзю терапії (2002); Функціонально-енергетична система людини і вегетативний гомеостаз. Енергетична матриця Живого (2003); Rover-informational system of the person (biophysical basics of Tsen Tsu Therapy). Part -1 (2005); Енергоінформаційна система людини (помилки і реальність китайської Чжень-цзю терапії) Том-1 (2007); Енергоінформаційна система людини (біодіагностика і реабілітація вегетативних порушень) Том-2 (2007); Енергоінформаційна система людини. Вегетативна діагностика (основи функціонально-екологічної експертизи) Том-3 (2009); Тайны китайской иглотерапии. Ошибки, реальность, проблемы (2009); Функціональна діагностика і корекція вегетативних порушень у дітей (2011); Functional vegetology as a division of contemporary medicine. Vol.-1 (2012); Functional vegetology (diagnostics, prognosis and correction of child systemic disorders) Vol.-2 (2012); Unknown chinese acupuncture (reality, errors, problems). Vol.-I (2016); Unknown chinese acupuncture (problems of functional vegetales) Vol.-III (2017); Unknown chinese acupuncture (problems of vegetative pathogenesis) Vol.-IV (2017).*

Европейским научно-производственным консорциумом, Украинской, Европейской и Российской академиями естествознания разработанные направления признаны научной школой проф. В.Г.Макаца (Украина, Винница) и отмечены научными наградами за весомый вклад в развитие мировой науки. Информация вошла в энциклопедии "Выдающиеся ученые России" и "Российские научные школы".

The European Scientific and Production Consortium, the Ukrainian, European and Russian Academy of Natural Sciences developed trends that are recognized as the school of science prof. V.G.Makats (Ukraine, Vinnytsia) and marked with scientific awards for significant contribution to the development of the world science. The information about the trend was included in the encyclopedias: "Outstanding scientists of Russia" and "Russian scientific schools".

